

1984 047 329 01



BLOEMFONTEIN LIBRARY

HIERDIE EXEMPLAAR MAG ONDER  
GEEN OMSTANDIGHEDE UIT DIE

U.O.V.S. - BIBLIOTEEK

\*198404732901220000019\*



PROFISETINIDIENE: DIE EERSTE SINTESE VAN TETRAFLAVANOÏEDE:  
Bi- EN TRIFLAVANOÏEDE MET TERMINALE DIOLFUNKSIE

PROEFSKRIF VOORGELE TER VERVULLING VAN DIE VEREISTES  
VIR DIE GRAAD

PHILOSOPHIAE DOCTOR

in die Departement Chemie, Fakulteit Natuurwetenskappe  
van die Universiteit van die Oranje-Vrystaat

deur

DESMOND AUSTIN YOUNG

Promotor: Prof. D.G. Roux  
Medepromotor: Prof. D. Ferreira

Januarie 1984

## DANKBETUIGINGS

Hiermee wens ek my oopregte dank en waardering te betuig aan :

Proff. D.G. Roux en D. Ferreira as promotor en medepromotor onderskeidelik vir hul bekwame en waardevolle leiding, opbouende kritiek, belangstelling en bereidwillige hulp tydens hierdie ondersoek;

Dr. E.V. Brandt vir afname en hulp met  $^{13}\text{C}$  kmr-spektra;

Dr. W.E. Hull, Bruker-Physik AG, Rheinstetten, Wes-Duitsland vir afname van 500 MHz kmr-spektra;

Dr. J.M. Steyn, Departement Farmakologie, UOVS, vir afname van massaspektra;

Personnel en mede-nagraadse studente vir die aangename gees van samewerking;

Die Suid-Afrikaanse Wattelbasnywerheid vir finansiële ondersteuning;

Mev. C. Greeff vir haar bekwame tikwerk;

My moeder, skoonouers en familie vir hul belangstelling en aanmoediging en in besonder Esmé, vir haar hulp, opoffering, belangstelling en aanmoediging tydens die voorbereiding van hierdie werk.

D.Y.

## INHOUDSOPGawe

Bladsy

## SAMEVATTING

(i)

## LITERATUROORSIG

Inleiding	1
1. Sintese van Flavanoïede	2
1.1 Suurgekataliseerde kondensasie van flavan-3,4-diole met flavan-3-ole	2
1.2 Kinoonmetied intermediêre tydens fla= vanoïedsintese	8
2. Elektron digthede	12
3. $^{13}\text{C}$ kmr van flavanoïede	18
4. Lineêre en angulêre oligomeer tanniene	30

## BESPREKING

Inleiding	34
Afkortings	36
5. Isolasie en sintese van dioksaan-gekoppelde profisetinidiene	38
5.1 Isolasie van dibenso- $\alpha$ -pirone	38
5.2 Isolasie van [3,4':3',4]-O,O-gekoppelde profisetinidien ( <u>108</u> )	40
5.3 Sintese van O,O-gekoppelde profisetini= diene	
5.3.1 Dioksolaantipe verbinding	42
5.3.2 O,O-gekoppelde profisetinidiene	
a) Dimeriese O,O-gekoppelde pro= fisetinidiene	44

## INHOUDSOPGAVE (vervolg)

b) Trimeriese O,O-gekoppelde pro-	
fisetinidiene	47
6. Flobafeenvorming	50
7. Suurgekataliseerde koppeling van (+)-katesjien en (-)-fisetinidol aan (+)-mollisacacidien en derivate van (+)-mollisacacidien	
7.1 Koppeling van (+)-katesjien aan (+)-mollisacacidien	57
7.2 Koppeling van (+)-katesjien aan tri-O-metiel-(+)-mollisacaciendiensetaat	60
7.3 Koppeling van (-)-fisetinidol ( <u>32a</u> ) aan tri-O-metiel-(+)-mollisacacidien	64
8. Sintese van lineêre tetraflavanoïede	67
9. Sintese van lineêre triflavanoïede	71
10. Isolasie van tetraflavanoïede uit <i>A. mearnsii</i>	78
11. Sintese van angulêre tetraflavanoïede	
11.1 Inleiding	86
11.2 [4,6]-Bi-(-)-fisetinidol-[4,8]-(-)-fisetinidol-tetraflavanoïede	89
11.3 [4,8]-Bi-(-)-fisetinidol-[4,6]-(-)-fisetinidol-tetraflavanoïede	92
11.3.1 Koppeling van 3,4- <i>cis</i> :3,4- <i>cis</i> -metieletertriasetaat-(-)-fisetinidol-(+)-mollisacacidienbiflavanoïed ( <u>122c</u> ) met [4,6]-(-)-fisetinidol-(+)-katesjienbiflavanoïede	93
11.3.2 Reaksie van tri-O-metiel-(+)-mollisacacidien met [4,8]-gekoppelde (-)-fisetinidol-(+)-katesjien biflavanoïede	96
11.3.2.1 Kondensasie met [4,8]-3,4- <i>cis</i> -(-)-fisetinidol-(+)-katesjienbiflavanoïed ( <u>10a</u> )	96

## INHOUDSOPGAWE (vervolg)

11.3.2.2	
Kondensasie met [4,8]-3,4-trans- (-)-fisetinidol-(+)-katesjienbi= flavanoïed (9a)	99
12. $^{13}\text{C}$ KMR van profisetinidiene	103

## EKSPERIMENTEEL

13. Standaard eksperimentele metodes	110
14. Isolasie van metaboliete uit <i>A. mearnsii</i>	114
15. Isolasie van 'n dioksaan en dibenso- $\alpha$ -pirone uit <i>A. mearnsii</i>	115
16. Sintese van heksametiel [3,4':3',4]-0,0-gekop= pelde profisetinidiene	118
17. Flobafeenvorming	124
18. Koppeling van (+)-katesjien aan (+)-mollisaca= cidien	128
19. Koppeling van (+)-katesjien aan tri-0-metiel- (+)-mollisacaciendiendasetaat	131
20. Koppeling van (-)-fisetinidol aan tri-0-metiel- (+)-mollisacacidien	132
21. Sintese van lineêre tetraflavanoïede	134
22. Sintese van lineêre triflavanoïede	137
23. Isolasie van tetraflavanoïede uit <i>A. mearnsii</i>	140
24. Sintese van 'angulêre' tetraflavanoïede	143

## MASSASPEKTROMETRIE

KERNMAGNETISCHE RESONANSSPEKTROMETRIE

SIRKULÄRE DICHROISMUS

BIBLIOGRAFIE

ERRATA

-----ooOoo-----

(i)

### SAMEVATTING

Chemici in die flavanoïedveld leun swaar op spektroskopiese metodes ter ontrafeling van die komplekse strukture van bi- en hoëre flavanoïede. Die kragtigste van hierdie tegnieke naamlik ultra-hoë resolusie  $^1\text{H}$  en  $^{13}\text{C}$  kmr-spektrometrie gaan egter mank aan sekere inherente tekortkomings op veral die tetraflavanoïedvlak vanweë veral die abnormale hoë temperatuurvereistes ( $>200^\circ\text{C}$ ) om vinnige rotasie om die onderskeie interflavanoïedbodings en aldus skerpgedefinieerde spektre te induseer. Hierdie probleme het die behoeftte aan sintetiese toegang tot oligomeriese tanniene beklemtoon en verteenwoordig hierdie studie dus primêr 'n ekskursie ten opsigte van die bepaling van koppelingsvolgorde en stereochemie van tetraflavanoïede deur middel van sintese.

'n Herondersoek van die komplekse fenoliese mengsel van die kernhout van *A. mearnsii* het verskeie 'nuwe' produkte gelewer. 'n Pienk band vanaf sellulose kolomme (lae mobiliteit met water as eluant) het onder ander 'n nuwe dioksaantipe bifisetinidol met 2,3-*trans*-3,4-*trans*:2,3-*trans*-3,4-*cis* stereochemie gelewer. Sintese van die dioksaantipe biflavanoïed is vanaf tri-O-metiel-(+)-mollisacacidien met  $\text{BF}_3$ , as katalisator uitgevoer. Die sintese het, benewens die genoemde isomeer, die bekende

(ii)

3,4-alles-*cis* dioksaan biflavanoïed as hoofproduk gevlewer tesame met 'n 2,3-*cis*-3,4-*cis*:2,3-*trans*-3,4-*cis* analoog en twee [4,6]-C-C-gekoppelde triflavanoïed dioksane waarvan die stereochemie van die 6-flavaniel-eenhede as 3,4-*trans* en 3,4-*cis* onderskeidelik bepaal is. Uit dieselfde fraksie is 'n nuwe 3,8,9-trihidroksidibenzo- $\alpha$ -piroon, 3,9,10-trihidroksidibenzo- $\alpha$ -piroon en 'n komplekse dibenso- $\alpha$ -piroon identies aan dié uit *Umtiza listerana* vir die eerste keer uit *A. mearnsii* verkry. Die isolasie van laasgenoemde reeks verbindings beklemt oopnuut die kompleksiteit van die metaboliese poel van *Acacia mearnsii*.

Om insaai te kry in sommige aspekte van die mekanisme van flobafeenvorming, is die [4,8]-3,4-*trans*(-)-fisetinidol-(+)-katesjien biflavanoïed in asynsuur/monochloorasyneur/etanol vir 24 uur onder stikstof gerefluks. Bewyse vir snyting van die interflavanoïedbining is verkry deur isolasie van (+)-katesjien, [4,6]-*trans*- en *cis*-biflavanoïede (1,3-flavanielmigrasie) en twee angulêre triflavanoïede. Hierdie produkte word vergesel deur twee verbindings waarin die heterosikliese ring van die (-)-fisetinidoleenheid herraangskikkking ondergaan het. Herraangskikkking vind plaas deur aanval van O<sub>7</sub> van die (+)-katesjieneenheid op C<sub>2</sub> van die O-geprotoneerde C-ring om verbindings van beide retensie en inversie van konfigurasie op die betrokke

(iii)

koolstof te lewer. Hierdie herrangskikking het effektief die 'vrystelling' van die resorsinol A-ring van die (-)-fisetinidoleenheid tot gevolg met gepaardgaande verhoogde nukleofiliteit en aldus verhoogde dryfkrag vir kondensasie na onoplosbare en hoogsgekondenseerde tanniene (ekwivalent van flobafeenvorming).

'n Noukeurige herondersoek na die kondensasiereaksie van (+)-katesjien met (+)-mollisacacidien het al vier moontlike isomere gelewer wat die vermoede bevestig dat die [4,6]-*cis* produk in 'n vorige ondersoek oor die hoof gesien is.  $^1\text{H}$  kmr (80MHz) spektra ( $\delta$ DMSO  $150^\circ\text{C}$ ) het spesifieke diagnostiese patrone aangedui, naamlik dat  $\Delta\delta_{\text{H}_2-\text{H}_3}$  vir die F-ring (+)-katesjieneenheid groot is (0.61) vir [4,8]-*cis* koppeling en klein (0.14) vir [4,8]-*trans* koppeling. Uitbreiding hiervan na die angulêre triflavanoidede uit *A. mearnsii* bevestig hierdie waarneming en dui daarop dat soortgelyke parameters ook vir hoër oligomere geldig is.

Reaksie van (+)-katesjien met die vryfenoliese triflavanoidfraksie uit *A. mearnsii* het drie produkte gelewer waarvan twee [4,6] en [4,8]-gekoppel, in ooreenstemming is met verwagte strukture gebaseer op 3,4-*cis*:3,4-*trans*:3,4-*trans*-stereochemie van die diol triflavanoid. Die derde produk dui daarop dat 'n tweede diol triflavanoid met 'n 3,4-*trans*:3,4-*trans*-interflavanoid stereochemie

(iv)

waarskynlik in bogenoemde fraksie teenwoordig is. Weens gebrek aan materiaal kon die struktuur van die kondensasie produkte egter slegs gedeeltelik bepaal word.

Om as modelle te dien vir hoër oligomere, is (+)-katesjien aan die diolbiflavanoïede gekoppel. Dit is opmerklik dat 3,4-*cis* interflavanoïed stereochemie van die diolbiflavanoïede uitsluitlik 3,4-*trans* aansluiting met (+)-katesjien en 3,4-*trans* interflavanoïed stereochemie, 3,4-*cis* aansluiting tot gevolg gehad het. Hierdie waarneming kan slegs gedeeltelik verklaar word aan die hand van die rigtende invloed deur die A-ring van die [6]-flavaniëleenheid op koppeling van (+)-katesjien aan die elektrofiele C<sub>4</sub>-sentrum.

Struktuurbepaling van tetraflavanoïede uit *A. mearnsii* het tekortkominge in kmr-tegnieke blootgelê, aangesien die koppelingspunt van die bifisetinidoleenheid aan die ten volle gesubstitueerde A-ring van die (+)-katesjieneenheid nie bepaal kan word nie en vanweë die hoë temperatuurvereistes om vinnige rotasie en dus 'skerp' kmr-spektra te bewerkstellig. Sintese van tetraflavanoïede is dus aangepak om die strukture van die geïsoleerde analoë te bepaal. Toegerus met kennis van stereochemie via sintese, kon 80MHz kmr sinvol benut word om karakteristieke kmr-patrone te identifiseer en sodoende redelik volledig kmr-interpretasie moontlik te maak.

(v)

SD-spektra van die meerderheid van die hoëre oligomere het getoon dat die stereochemie van die koppelingspunt aan (+)-katesjien in die lineêre tri- en tetraflavanoïede die teken van die lae golflengte hoë-intensiteit Cotton-effek bepaal. Vir meeste van die 'angulêre' tetraflavanoïede het dit geblyk dat die stereochemie van die C<sub>8</sub> koppelingspunt van (+)-katesjien soortgelyk die teken van die Cotton-effek bepaal. Hoewel normale koppelingskonstantes waargeneem word, is uitsonderings egter verkry wat daarop wys dat die SD-metode met huidige korrelasies nie op hoër oligomeriese vlak met dieselfde vertroue as op biflavanoïed vlak toegepas kan word nie.

<sup>13</sup>C kmr-spektrometrie van sommige profisetinidiene dui daarop dat C<sub>4</sub>-kwasi-aksiale-(3,4-*cis*)-flavanielgroepes 'n γ skermende effek op C<sub>2</sub> relatief ten opsigte van die ongesubstitueerde koolstof uitoefen, terwyl C<sub>4</sub>-kwasi-ekuatoriale groepes 'n γ ontskermende effek uitoefen.

Op die vryfenoliese (-)-fisetinidol-(+)-katesjien profisetinidiene kan die koppelingspunt aan (+)-katesjien afgelei word. Koppeling aan 'n spesifieke koolstof het ontskerming van daardie koolstof tot gevolg met 3,4-*trans* stereochemie wat 'n groter mate van ontskerming as in die geval van die 3,4-*cis* analoog veroorsaak. Op die metielsterdiasetaatvlak word <sup>13</sup>C kmr-spektra egter ook gekompliseer deur beperking op rotasie om die interflavanoïed=

(vi)

binding en word studies by verhoogde temperatuur benodig  
alvorens sinvolle interpretasie en ekstrapolering na  
hoër oligomere moontlik is.

-----

## LITERATUUROOORSIG

### INLEIDING

Alhoewel navorsing op flavanoïede die afgelope aantal jare redelike momentum verkry het as gevolg van veral hoër magneetveld kmr en ander fisiese metodes soos sirkulêre dichroïsme, bestaan daar steeds verskille betreffende die biosintetiese aspekte. In hierdie oorsig word gepoog om die verskillende *in vitro* sintetiese metodes te evalueer sowel as om verklarings, veral ten opsigte van koppelingsposisie, te maak. Verder word gelet op die ontwikkeling van  $^{13}\text{C}$  kmr op die flavaanskelet om struktuur en stereochemiese toesummings moontlik te maak.

-----

## HOOFSTUK 1

### 1. SINTESE VAN FLAVANOÏEDE

Twee voorstelle is gemaak om die biosintetiese vorming van interflavanoïedbbindings te verklaar, naamlik

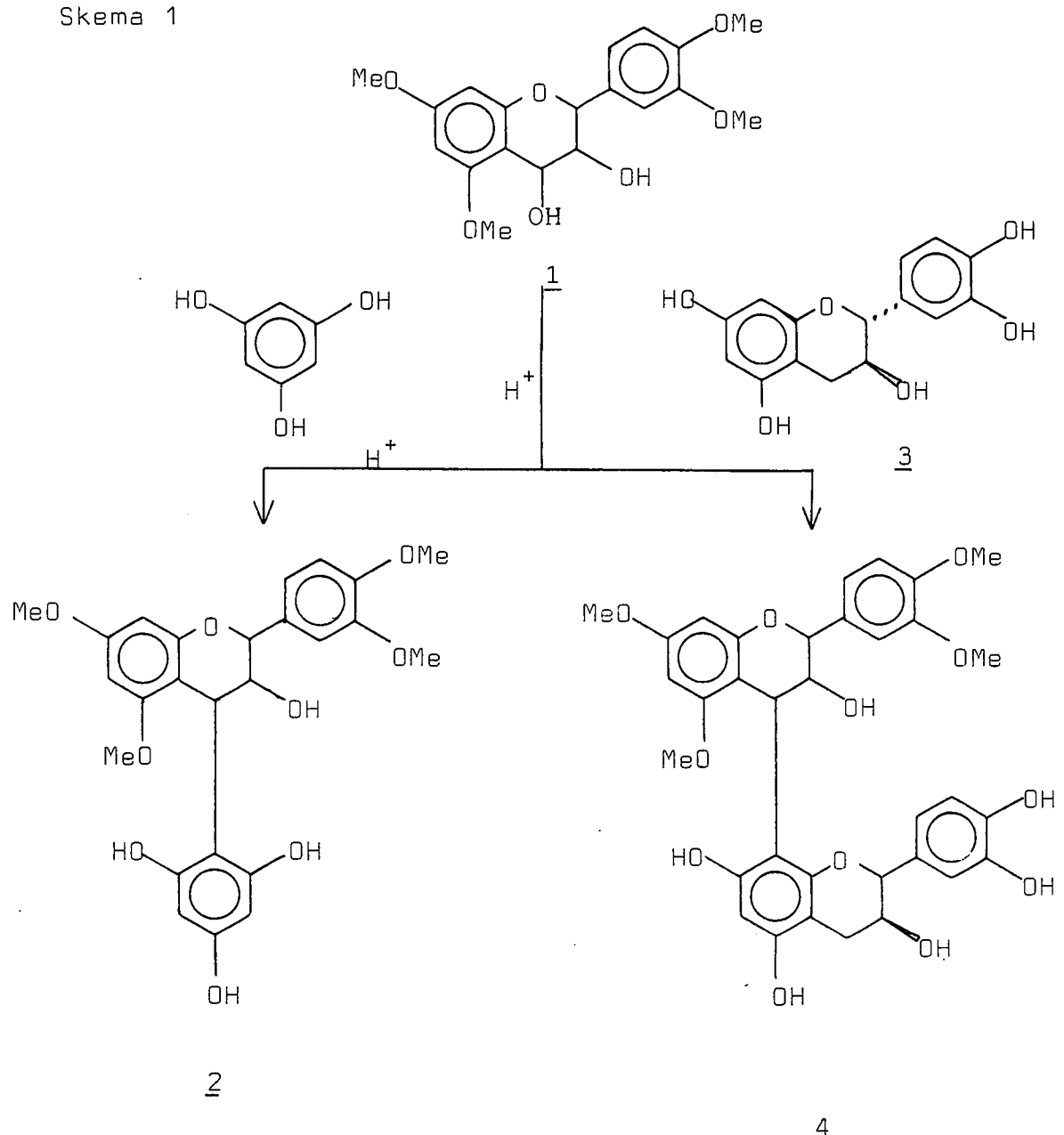
- i) suurgekataliseerde kondensasie tussen fenoliese flavan-3,4-diol en flavan-3-ol voorlopers<sup>1-6</sup> en
- ii) oksidatiewe kondensasie van flavan-3-ole<sup>7,8</sup>

#### 1.1 Suurgekataliseerde kondensasie van flavan-3,4-diole met flavan-3-ole

Die eerste sintese van 'n 4-arielflavan-3-ol (2) en 'n C<sub>4</sub>-C<sub>8</sub>-gekoppelde prosianidien (4) gebaseer op nukleofiele aanval op 'n intermediêre C<sub>4</sub>-karbeniumioon-tipe, is reeds in 1966 uitgevoer<sup>1</sup> (Skema 1).

Na die isolasie en gedeeltelike struktuuropklaring met behulp van kmr en massaspektrometrie (ms) van prosianidiene<sup>11-15</sup>, het Haslam *et al.*<sup>16</sup> 'n elegante metode vir strukturbepaling, met tolueen- $\alpha$ -tiol as splettingsreagens, ontwikkel. As 'n biflavanoïed, byvoorbeeld 5, in asyn-suur/ethanol gerefluks word, word die biflavanoïed gesplet om (+)-katesjien (3) en 'n C<sub>4</sub>-tiobensieleter (7) te lewer. Laasgenoemde ontstaan deur reaksie van die vormende C<sub>4</sub>-karbeniumioon (6) met tolueen- $\alpha$ -tiol (Skema 2).

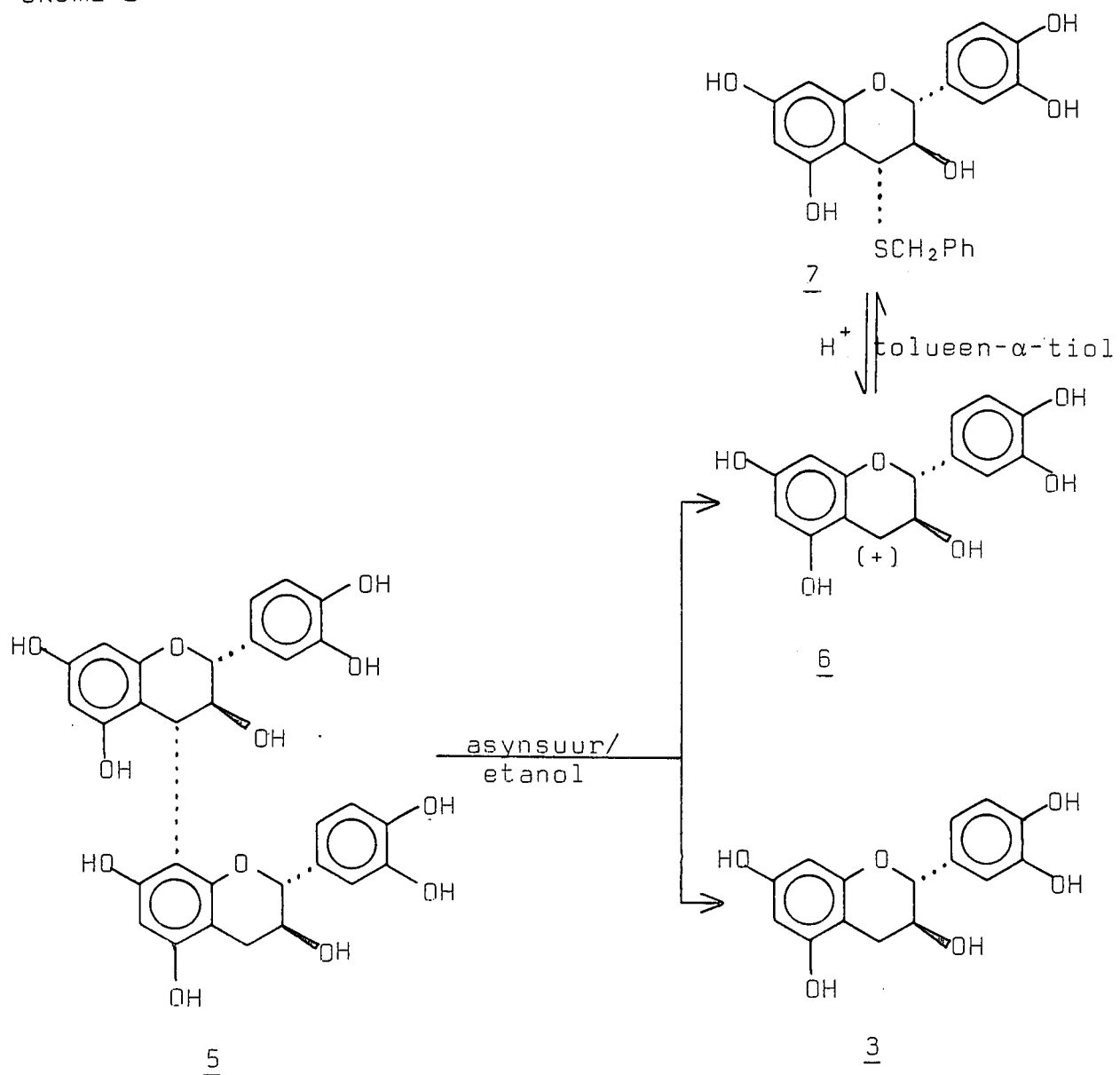
Skema 1



Deur gebruik te maak van hierdie potensiële karbeniumioon, is 'n reeks biflavanoïede gesintetiseer. Hierdie metode het egter die nadeel dat genoegsame gekondenseerde prosianidiene met korrekte absolute stereochemie beskikbaar moet wees. Probleme ontstaan met fisetinidol-tipe analoë, aangesien die opbrengste dramaties verlaag word tydens snyting,

vermoedelik weens die feit dat die interflavanoiedbinding moeiliker gesplyt word<sup>18</sup> vanweë verlaagde stabilisering van die vormende karbeniumioon deur die laer geoksigeneerde A-ring.

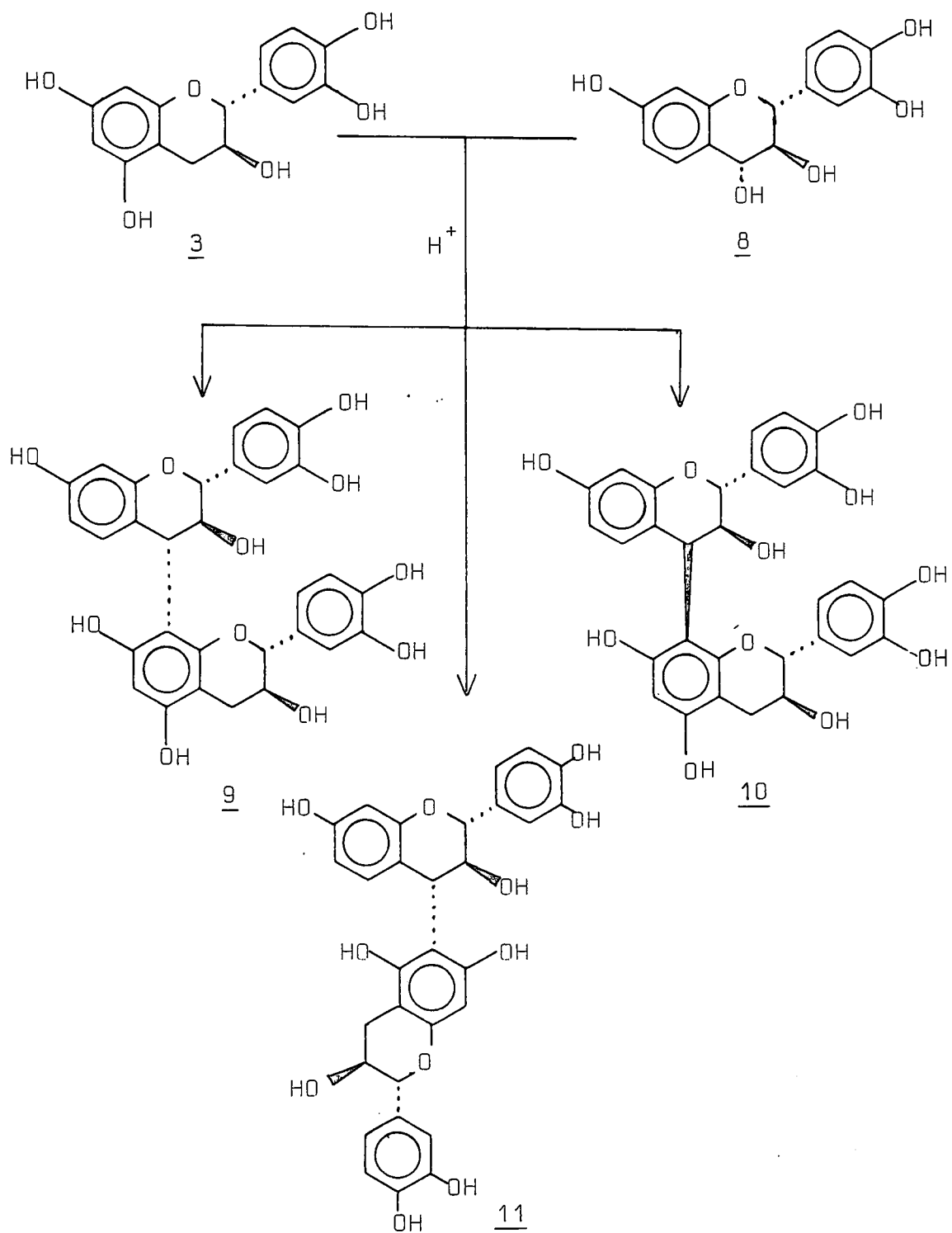
Skema 2

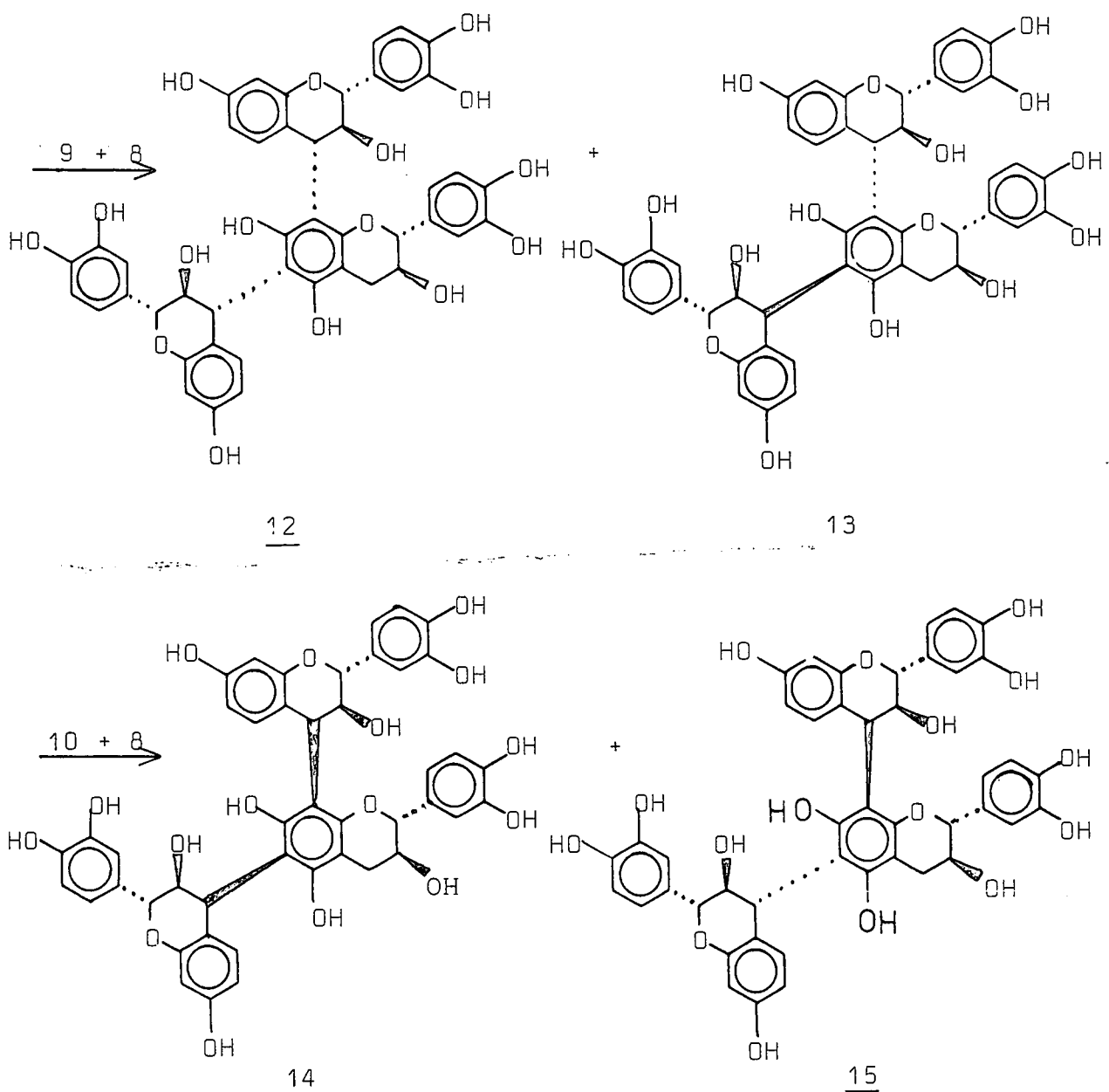


Die beskikbaarheid van monomericse flavan-3,4-<sup>19-22</sup>, dimeriese-flavan-3,4-diole<sup>23</sup> en 'n trimericse flavan-3,4-diol<sup>24</sup>, het hierdie probleem grootliks oorbrug. Koppeling van

byvoorbeeld (+)-katesjien (3) aan (+)-mollisacacidien (8) is onder milde suurkondisies (0.1N HCl) by kamertemperatuur uitgevoer om 'n reeks [4,8] en [4,6]-gekoppelde biflavanoïede<sup>25</sup> (9-11) en angulêre triflavanoïede<sup>17</sup> (12-15) te lewer (Skema 3).

Skema 3

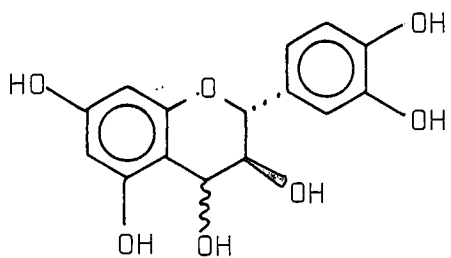
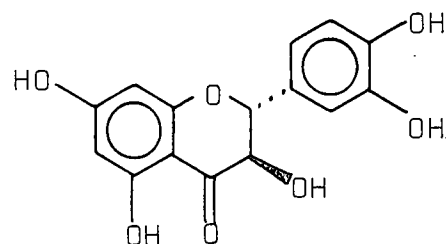




Leukosianidien (16) is nog nooit uit natuurlike bronne geïsoleer om as bewys te dien dat flavan-3,4-diole ook die basiese voorloper tydens die biosintese van prosianidiene is nie.

Leukosianidien kan egter berei word deur reduksie van (+)-taksifolin (17) met  $\text{NaBH}_4^{26}$  om na aansuring met 'n geskik-

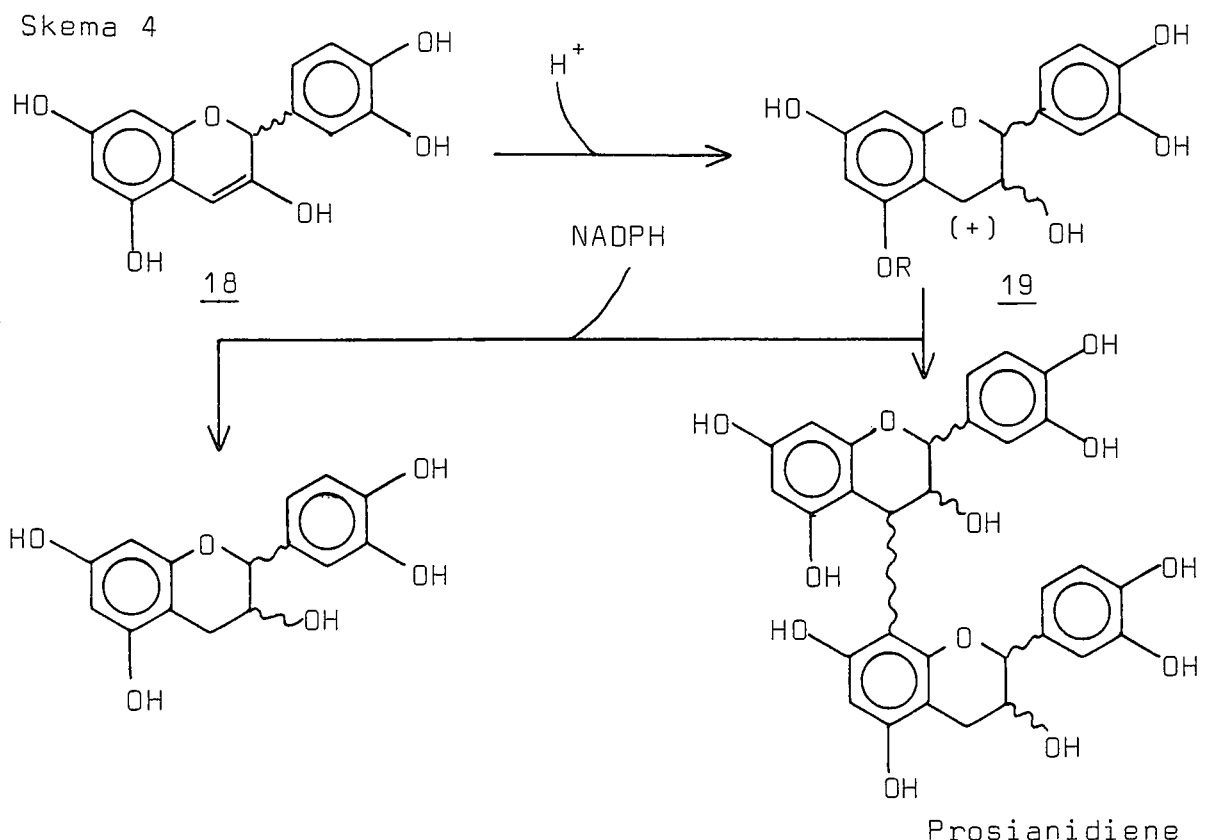
te flavan-3-ol te reageer. Deur 17 eers te metileer en dan te reduseer, het Porter en Foo<sup>27</sup> die flavan-3,4-diol geïsoleer en die stereochemie as 2,3-trans:3,4-trans bepaal. Aangesien kondensasiereaksies suksesvol met tri-O-metiel-(+)-mollisacacidien uitgevoer is<sup>28</sup>, kan die leukosianidien=metieleter dus benut word om die prosianidiene te sintetiseer. Die gepaardgaande deaktivering van die A-ring deur metilering behoort dus die tempo waarmee die C<sub>4</sub>-karbeniumioon gevorm word te inhibeer en aldus selfkondensasie tot 'n groot mate te beperk.

1617

Biosinteties<sup>29-31</sup> is dit voorgestel dat 'n karbeniumioon (19) vanaf 'n flav-3-een (18) vorm om as voorloper te dien vir die gekondenseerde tanniene (Skema 4).

Flav-3-ene is egter nog nooit geïsoleer nie. Vorming van 18 moet noodwendig vanaf flavan-3,4-diole geskied. Verder moet gelet word dat 18 in teenwoordigheid van suur (plant sap) sianidiene sal vorm.

Skema 4

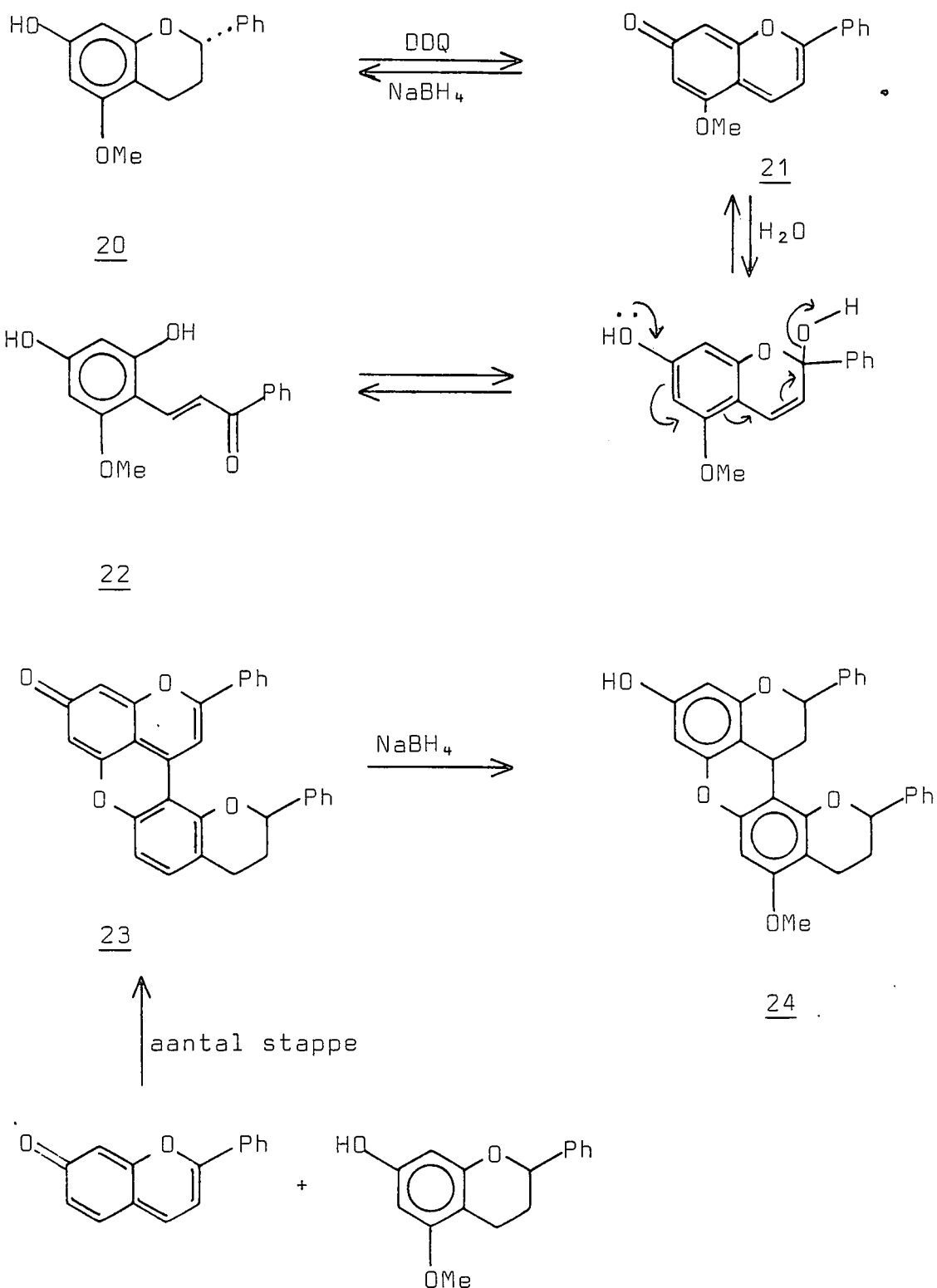


### 1.2 Kinoonmetied intermediêre tydens flavanoïed-sintese

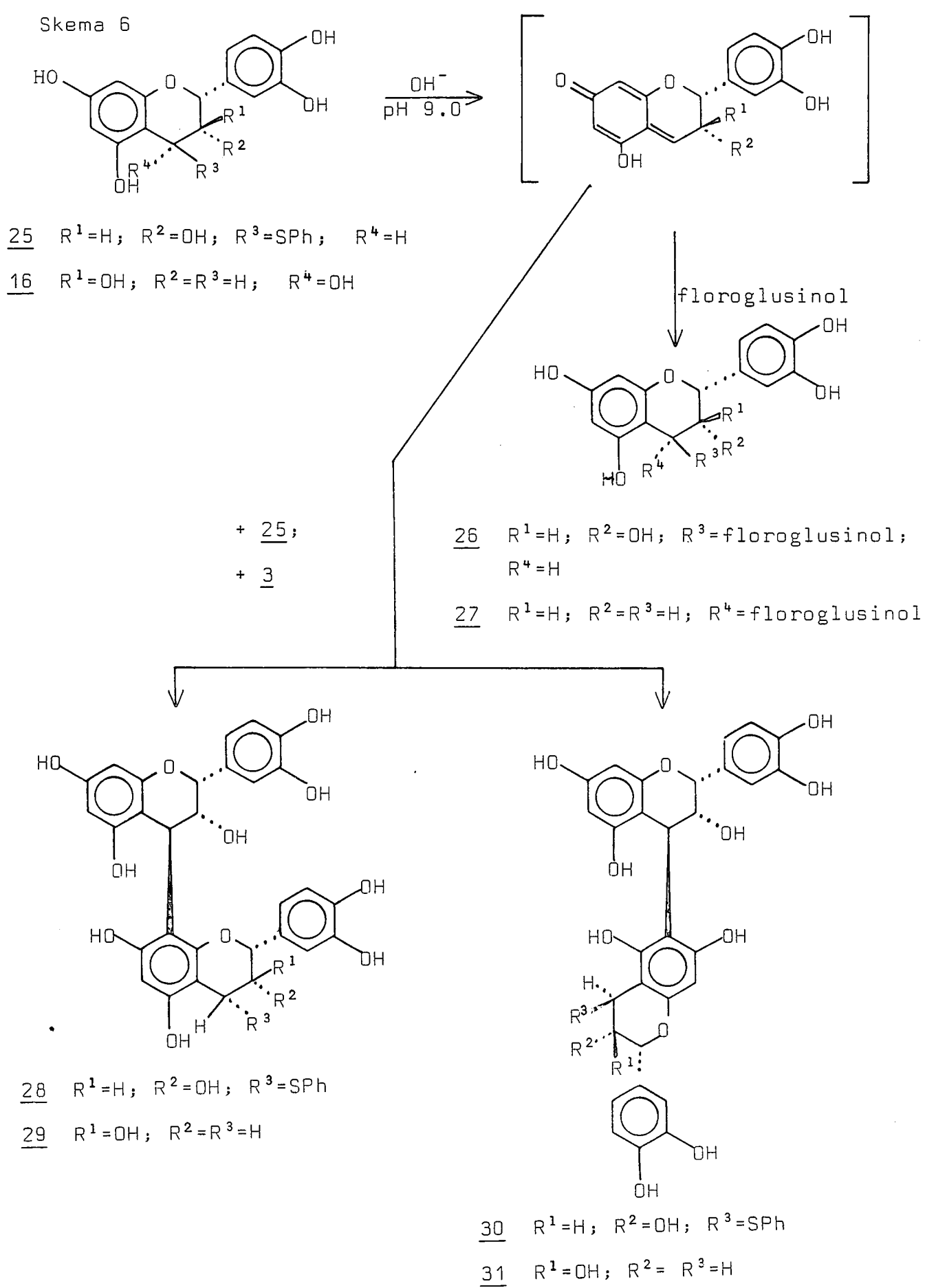
Isolasie van sintetiese kinoonmetiede<sup>32</sup> en verwante verbinding<sup>s</sup> (20-23) het die idee laat ontstaan dat verbinding<sup>s</sup> van tipe 23 deur die reaksie tussen 'n kinoonmetied en 'n flavaan (Skema 5) gevorm word, soos vroeër deur Dean<sup>33</sup> voorgestel.

Hemmingway<sup>8</sup> het voorgestel dat dit moontlik is om prosianidiene biosinteties deur 'n kinoonmetied intermediêr te verkry. Om hierdie stelling te staaf is suur en basis gekataliseerde reaksies van flavanielderivate met goeie C<sub>4</sub> verlatende groepe vergelyk (Skema 6).

Skema 5



Skema 6



Epikatesjien-(4 $\beta$ )-fenielsulfied (25) [*3,4-trans*] het na 30 minute by kamertemperatuur en pH 9.0 28 en 30 teen same met polimeriese materiaal gelewer terwyl by pH 3.0 daar na 8 uur geen kondensasieprodukte gevorm het nie. Leukosianidien (16) het by pH 9.0 vinniger as by pH 3.0 polimerisasie ondergaan. Reaksie van 16 en 25 met floroglusinol het ook vinniger by pH 9.0 as pH 3.0 verloop. Die biflavanoïede 29 en 31 het geen reaksie na 'n aantal uur by pH 9.0 met floroglusinol getoon nie, wat 'n aanduiding is dat die 'onderste' flavanieleenheid nie 'n goeie verlatende groep is nie. Aangesien die 'onderste' floroglusinol A-ring met dieselfde gemak as die boonste A-ring ioniseer, word die interflavanoïedbining gestabiliseer met gevolglike inhibering van kiononmetiedvorming. Die gevormde biflavanoïede kan dus verder met 'n kiononmetied reageer om hoër oligomere te vorm.

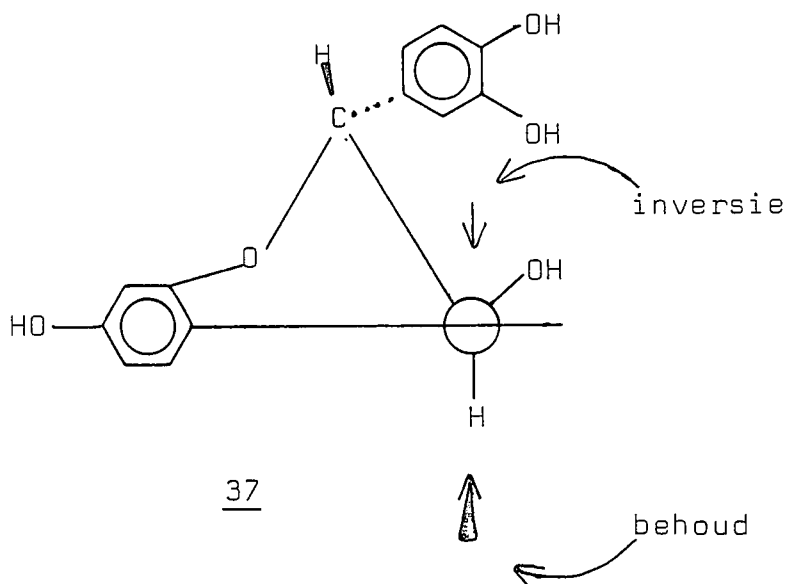
Dit is egter te betwyfel dat prosianidiene biogeneties volgens hierdie meganisme sal ontstaan, aangesien die pH van plant sap neig om suur te wees.

-----ooOoo-----

HOOFSTUK 2ELEKTRON DIGTHEDE

Die reaksie tussen (+)-mollisacacidien (8) en (+)-katesjien (3) verloop stereoselektief<sup>25</sup> om [4,8]-*trans* (9), [4,8]-*cis* (10) en [4,6]-*trans* (11) biflavanoïede (sien bladsy 5 hoofstuk 1) in die verhouding 5:3:1 onderskeidelik te lewer. Hier teenoor is die reaksieverloop tussen (+)-mollisacacidien (8) en (-)-fisetinidol (32) (Skema 7) regiospesifiek ten opsigte van die C<sub>6</sub>- posisie van (-)-fisetinidol en stereoselektief om die [4,6]-alles *trans* (33) en [4,6]-3,4-*cis* (34) dimere in die verhouding 1.4:1 te lewer. Herhaling van laasgenoemde reaksie<sup>34</sup> het die twee biflavanoïede, 'n triflavanoïed (35) en 'n tetraflavanoïed (36) in die verhouding 1.5:7:5:2 gelewer. Vorming van hierdie tetraflavanoïed verteenwoordig ook die eerste koppeling aan die C<sub>8</sub>- posisie van 'n flavan-3-ol met 'n resorsinol A-ring.

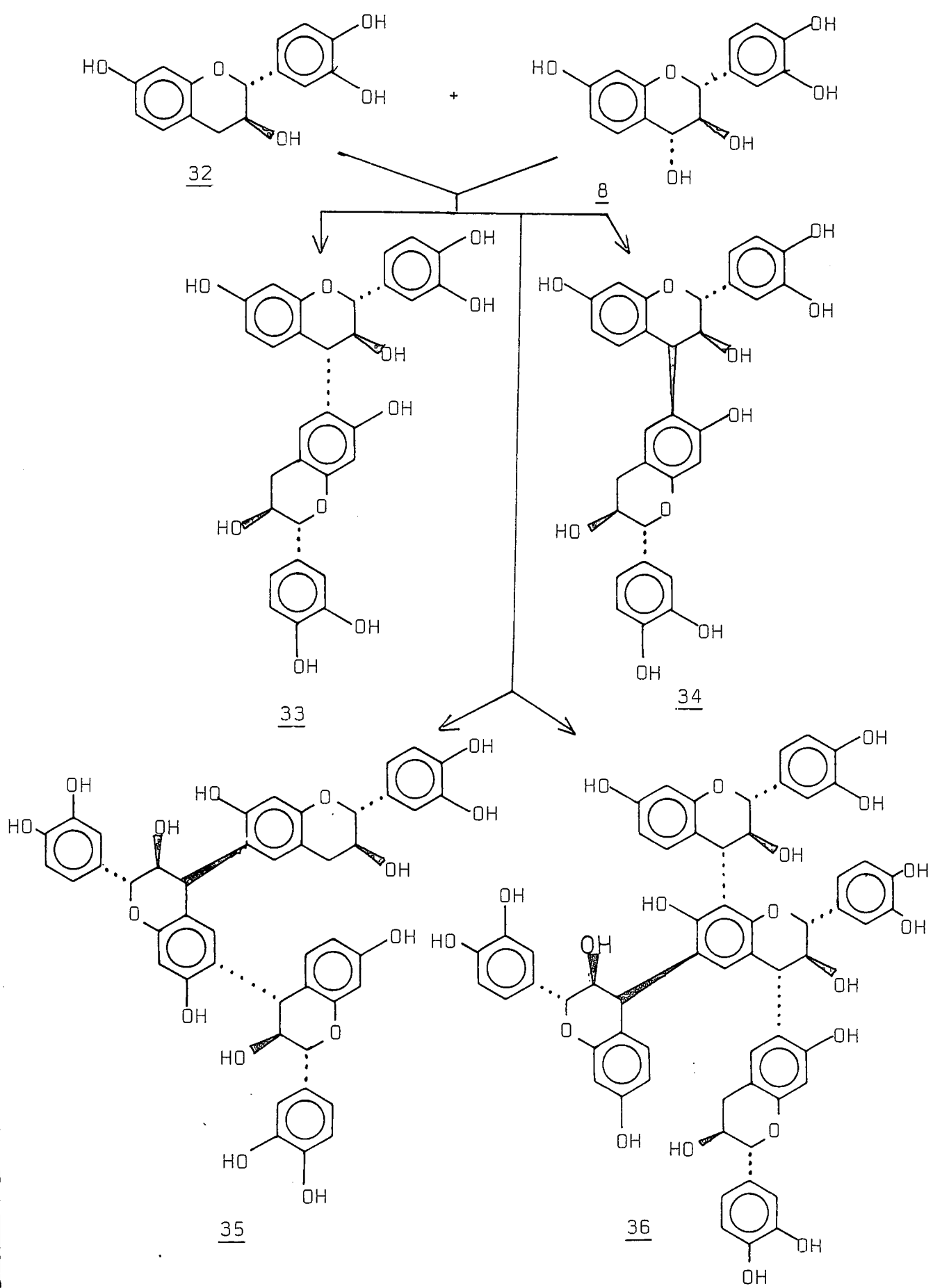
Die stereoselektiewe verloop van die eerste reaksie<sup>25</sup> is aan die hand van steriese verhindering verklaar. Die groter verhouding van *trans* tot *cis* produkte (ca. 2:1) kan maklik aan die hand van onderstaande voorstelling (37) verklaar word waar preferensiële aanval vanaf die mins verhinderde kant die 3,4-*trans* produk lewer.



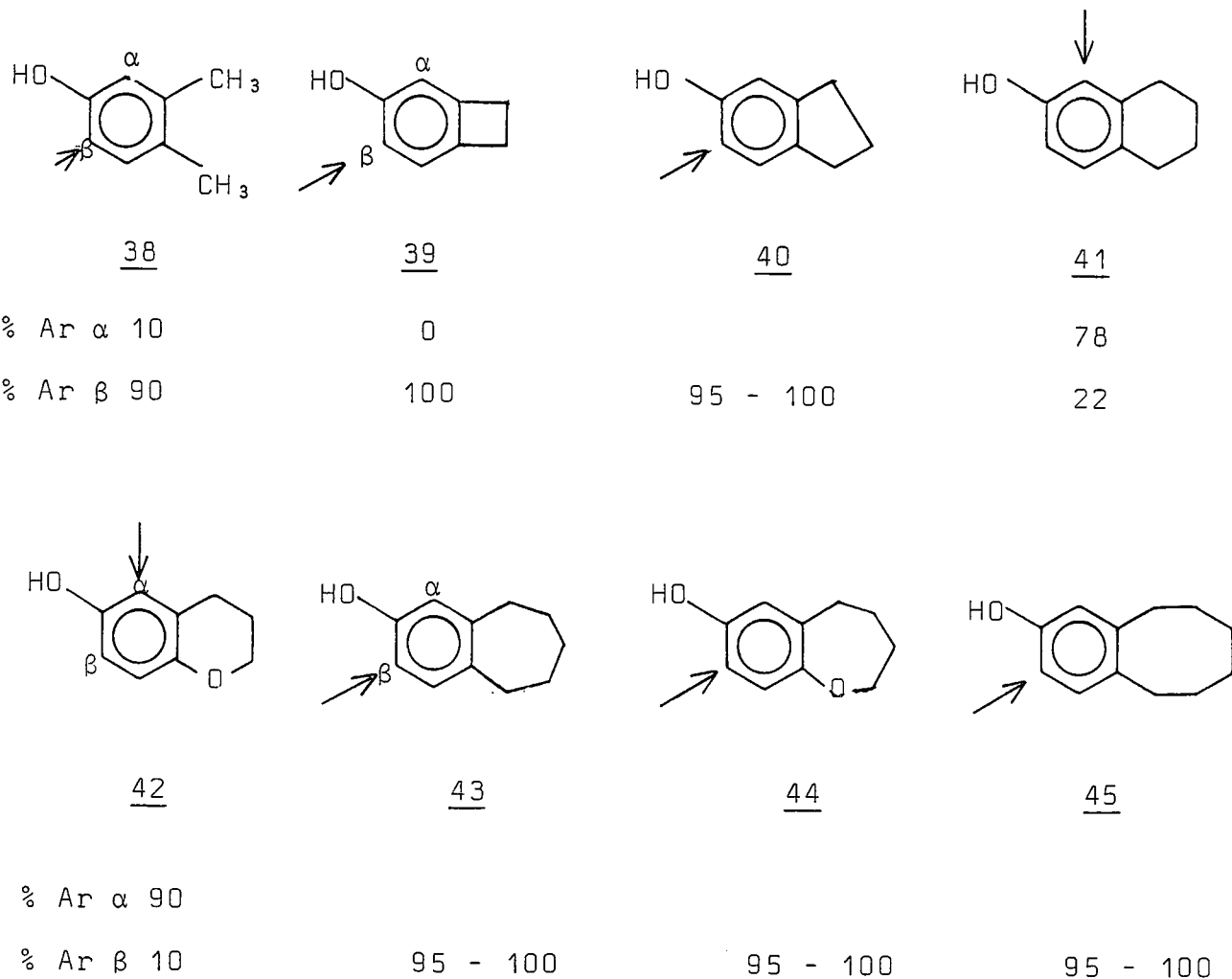
Die vorming van groter hoeveelheid [4,8]-gekoppelde produkte teenoor [4,6]-gekoppelde produkte (*ca.* 8:1) is aan die groter toeganklikheid van die C<sub>8</sub>-posisie van (+)-katesjien toegeskryf. Hierdie verklaring is egter oppervlakkig en volleemtes, aangesien (volgens modelle) [4,8]-*cis* gekoppelde dimere steries moeiliker behoort te vorm as [4,6]-*trans* analoë. Op soortgelyke wyse kan die aanname dat die C<sub>6</sub>-posisie van (-) fisetinidol meer toeganklik as die 8-posisie is, verklaar waarom [4,8]-gekoppelde bi- en triflavanoiëde met resorsinol A-ringe nie sinteties toeganklik is nie.

Tydens die bestudering van die invloed van 'n nie-aromatiese ring op die bromineringspatroon van die aromatiese ring<sup>35</sup>, is gevind dat die "grootte" van die nie-aromatiese ring, die substitusiepatroon beïnvloed (Skema 8).

Skema 7

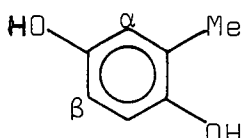


Skema 8 Brominering van 3,4-dimetielfenol en verwante fenole

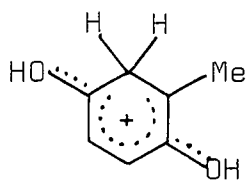


Die grootte van die ring sowel as die substituente het dus 'n rigtende invloed op die reaksies. Tydens bepaling van reaksiesnelheidskonstantes, is gevind dat die suurstofbevattende 6-lid ring (42),  $\alpha$ -substitusie dramaties, in vergelyking met 41, versnel. Toepassing van Hückel berekenings

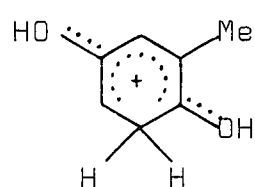
op 46, om die energie van die  $\pi$ -sisteme 47 en 48 te bepaal<sup>36</sup>, het egter getoon dat substitusie eerder by die  $\beta$ -posisie sal plaasvind.



(46)



(47)



(48)

Berekening van die elektrondigthede<sup>37</sup> van (+)-katesjien en (-)-epikatesjien, het getoon dat die C<sub>6</sub>-posisie 'n groter nukleofiele karakter behoort te hê. In 'n onlangse studie het Elliot<sup>38</sup> *et al.* die "frontier orbital theory" van Fukui<sup>39</sup>, benut. Hierdie teorie aanvaar dat substitusiereaksies in die gebied van hoogste elektrondigthede van die grensorbitale ('frontier orbitals'), wat volgens reakstipe gedefinieer word, sal plaasvind. Voordat elektrofiele reaksies plaasvind, word die hoogste besette molekulêre orbitaal (HOMO), voor nukleofiele reaksie die laagste onbesette molekulêre orbitaal (LUMO) en voor vryradikale reaksie beide die HOMO en LUMO orbitale in berekening gebring. As die verskil tussen die HOMO en NHOMO ('Next highest molecular orbital') klein is (< 94.5 kJ/mol), moet die NHOMO orbitaal om die grens elektron populasie tydens elektrofiele reaksies te bepaal, ook in berekening gebring

word<sup>38</sup>.

Vir (+)-katesjien is die verskil tussen die HOMO en NHOMO orbitale 38.1kJ/mol. Berekening van die grenselektron=digthede<sup>37</sup> kon egter nie 'n bevredigende antwoord verskaf nie. As die som van die kwadrate van die orbitaalkoëfisiënte van die HOMO en NHOMO orbitale vir die C<sub>6</sub> en C<sub>8</sub>-posisies egter bepaal word, is gevind dat beide die HOMO en NHOMO waardes hoër vir C<sub>8</sub> as vir C<sub>6</sub> was. Vir die C<sub>8</sub>-posisie van (+)-katesjien was die waardes van die som van die kwadrate van die orbitaalkoëfisiënte 0.0037 en 0.0944 vir die HOMO en NHOMO onderskeidelik. Vir die C<sub>6</sub>-posisie was die waardes 0.0015 en 0.0401 onderskeidelik.

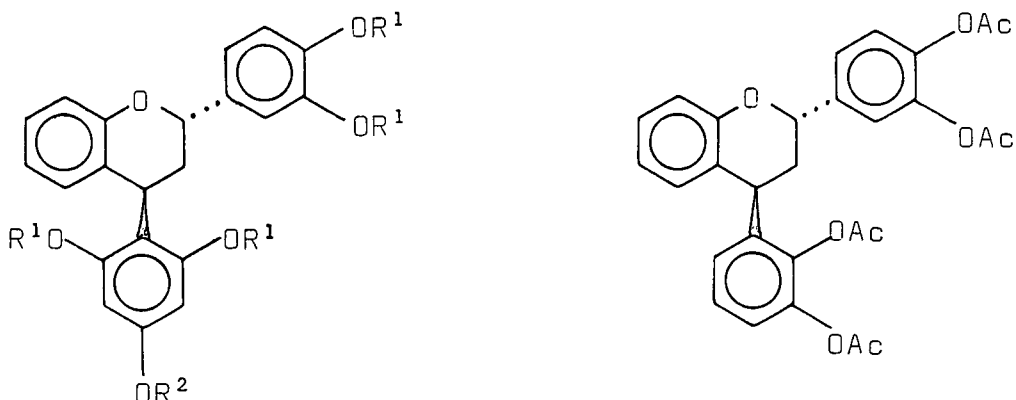
Vanaf bestaande resultate kon die stelling gemaak word dat die C<sub>8</sub>-posisie van (+)-katesjien 'n hoër nukleofiele karakter as die C<sub>6</sub>-posisie besit. Soortgelyke resultate is vir (-)-epikatesjien verkry. Ongelukkig is dieselfde bepalings op (-)-fisetinidol en ander resorsinol A-ring flavanoïede nog nie gedoen nie.

-----ooOoo-----

HOOFSTUK 3<sup>13</sup>C KMR VAN FLAVANOIDE

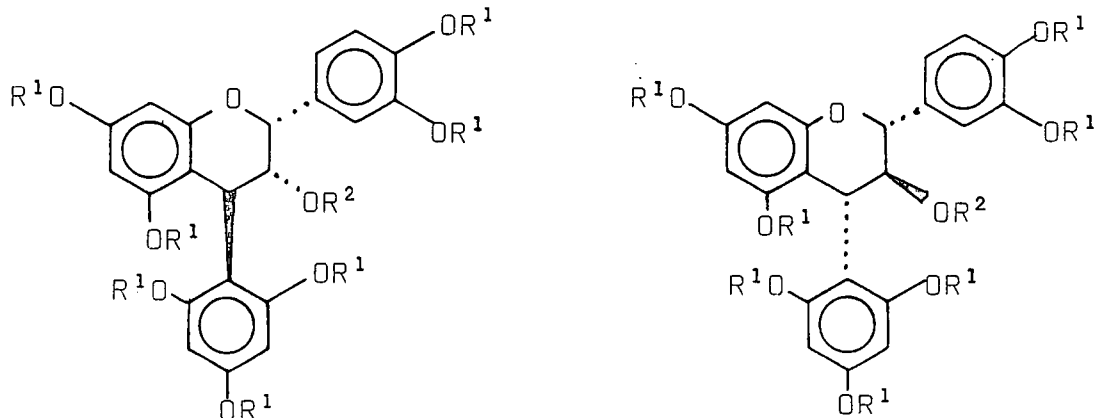
<sup>13</sup>C KMR-spektrometrie is aanvanklik gebruik<sup>40</sup> om die absolute konfigurasie van prosianidien dimere B1-4 (67-70) te bepaal. Om hierdie metode daar te stel, is 'n reeks modelverbindingen 49-57 gesintetiseer (Skema 9).

Skema 9



49       $R^1 = R^2 = Ac$

50       $R^1 = Ac; R^2 = Et$



$R^1$        $R^2$

52      H      H

53      Ac      Ac

54      Me      H

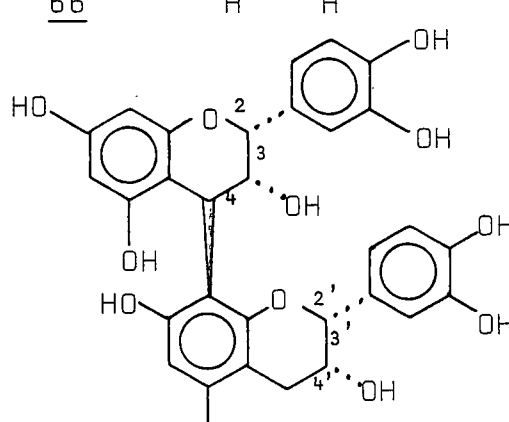
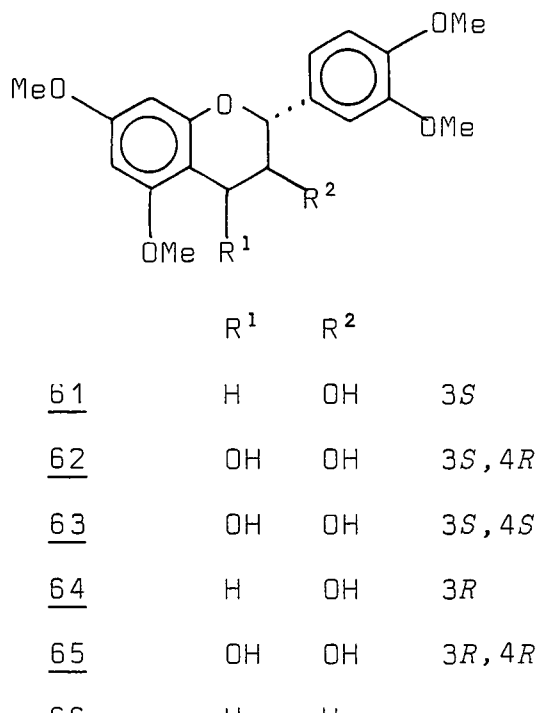
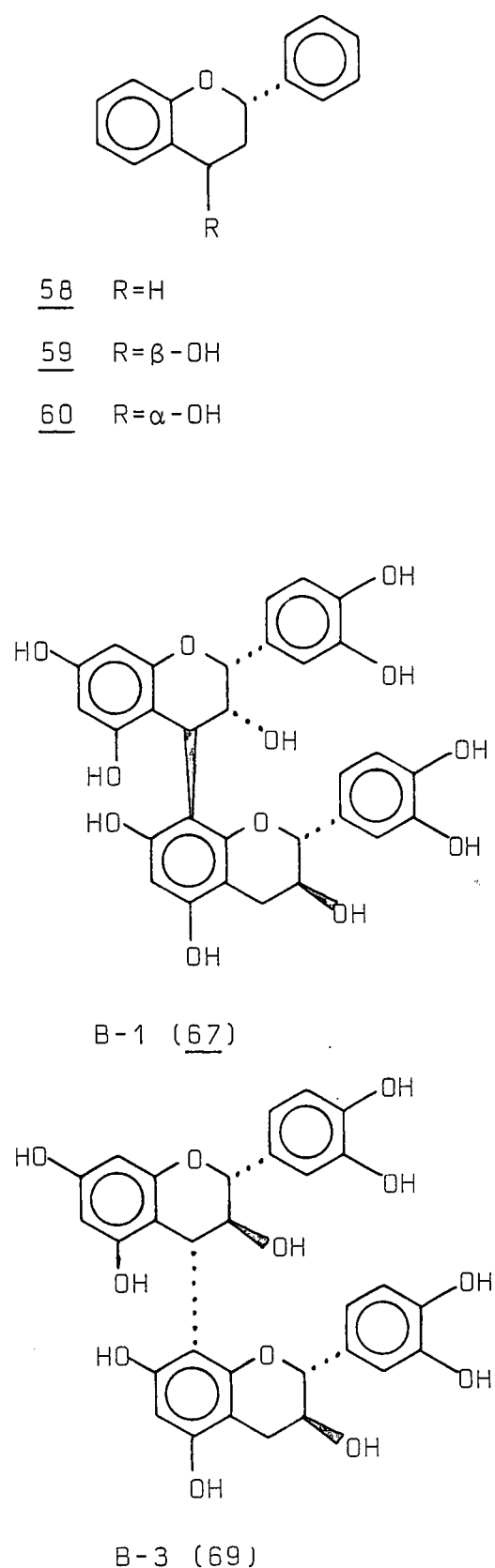
$R^1$        $R^2$

55      H      H

56      Ac      Ac

57      Me      H

Skema 10



Stothers<sup>41</sup>, Roberts<sup>42</sup>, Eliel<sup>43</sup> en medewerkers het bepaal dat *aksiale hidroksi-*, *metoksi-* en *asetoksigroepe* die betrokke koolstofatoom met ca. 5dpm skerm relatief tot die *ekwatoriaale rangskikking* van hierdie groepe in sikloheksaan. Hierdie effek is kleiner<sup>41</sup> in die flavaanskelet naamlik 1.7-1.9 dpm vir 'n 3-hidroksigroep in (+)-katesjien, (-)-epikatesjien (59, 60) en vir hul asetate 1.3-1.7 dpm. 'n Verdere verskynsel van die dihidropiraanring is die klein verskil in chemiese verskuiwing van C<sub>2</sub> in vergelyking met C<sub>4</sub> wat teweeg gebring word deur 'n kwasi-*ekwatoriaale* (61) of kwasi-*aksiale* (64) hidroksi- of asetoksigroep by C<sub>3</sub>.

Die waarneming dat die verskuiwing na hoër veld van 'n koolstofatoom wat *gauche* ten opsigte van 'n ander koolstof of heteroatoom<sup>41-43</sup> in die  $\gamma$ -posisie is, is in die dihidropiraanring weerspieël. Die C<sub>2</sub> sein het by hoër veld geresoneer<sup>40</sup> wanneer 'n kwasi-*aksiale hidroksi-* of *asetoksigroep* by C<sub>4</sub> (59) voorkom as wanneer die groep kwasi-*ekwatoriaal* (60) geleë is (Tabel 1,  $\gamma$ -effek 4.1-4.6 dpm).

'n Arielpgroep by C<sub>4</sub> het 'n ontskermende effek (4.0-12.2 dpm) met 'n kwasi-*ekwatoriaale* groep wat 'n groter ontskerming as 'n kwasi-*aksiale* groep uitoefen. By die  $\gamma$ -posisie (C<sub>2</sub>) is dieselfde effek as met hidroksigroepe waargeneem. As die C<sub>4</sub>-arielpgroep kwasi-*ekwatoriaal* is, word 'n klein verskuiwing na laer veld (7-9, 0.7-1.5 dpm) waargeneem, terwyl 'n kwasi-*aksiale* substituent (+)-katesjien, 50, 52, 53 en 54 'n  $\gamma$  skermende effek -2.5 tot -5.9 dpm tot gevolg het.

Tabel 1

$^{13}\text{C}$  KMR chemiese verskuiwings van flavaan en flavaanderivate  
 $\delta$ -waardes:  $\text{Me}_4\text{Si}$  standaard in  $\text{CDCl}_3$ , tensy anders  
vermeld

<u>Flavaan derivate</u>	$\text{C}_2$	$\text{C}_3$	$\text{C}_4$
Flavaan (58)	77.6	29.9	25.0
-4ol ( <i>2,4-trans</i> ) (59)	73.0	38.3	63.9
-4ol ( <i>2,4-cis</i> ) (60)	77.0	40.2	65.8
3',4',5,7-tetrametoksi (66)	77.8	29.6	19.5
4-( <i>2,4,6-triasetoksifeniël</i> )- <i>2,3-trans</i> (49)	74.9	32.9	29.0
4-( <i>2,6-diasetoksi-4-etoksife-</i> niël)- <i>2,4-trans</i> (50)	75.0	33.1	28.8
4-feniël ( <i>2,4-cis</i> )	78.0	40.3	43.4
4-feniël ( <i>2,4-trans</i> )	73.1	39.2	40.2
<u>(+)-Katesjienderivate</u>			
(+)-katesjien-( $^2\text{H}_6$ -asetoon) (3)	82.3	68.2	28.4
( <i>2R,3S,4S</i> )-4 ( <i>2,4,6-trihidroksi-</i> feniel)-flavaan-3,3',4',5,7- pentaol (55)	83.8	73.3	38.0
heptametieleter (57)	82.4	73.3	37.1
oktaasetaat (56)	79.4	71.5	36.1
3',4',5,7-tetrametiel (61)	81.7	68.1	27.8
( <i>2R,3S,4R</i> )-3',4',5,7-tetrametok- siflavan-3,4-diol (62)	76.7	70.6	61.5
( <i>2R,3S,4S</i> )-3',4',5,7-tetrametok- siflavan-3,4-diol (63)	80.7	73.8	70.4
<u>Epikatesjienderivate</u>			
Epikatesjien ( $^2\text{H}_6$ -asetoon) (71)	77.9	64.7	28.1

Tabel 1 (vervolg)

<u>Epikatesjien derivate</u>	C <sub>2</sub>	C <sub>3</sub>	C <sub>4</sub>
3',4',5,7-tetrametiel (64)	78.6	66.4	28.3
(2R,3R,4R)-3',4',5,7-tetrametok= siflavan-3,4-diol (65)	74.9	70.7	63.5
(2R,3R,4R)-4-(2,4,6-trihidroksi= feniel)-flavan-3,3',4',5,7-pentaol ( <sup>2</sup> H <sub>6</sub> -asetoon) (52)	76.8	72.5	36.8
heptametieleter (54)	75.6	71.8	34.7
oktaasetaat (53)	74.0	70.9	33.9
(2R,3R,4R)-4-(2,4-dihidroksife= niel)-flavan-3,3',4',5,7-hep= taasetaat (51)	72.5	70.4	36.4

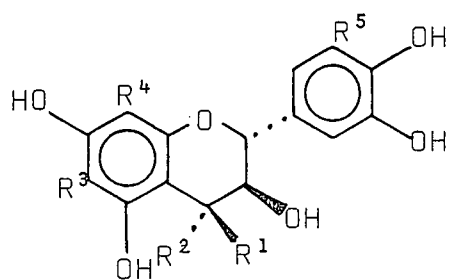
Tabel 2

<sup>13</sup>C KMR verskuiwings van prosianidiene B-1-4

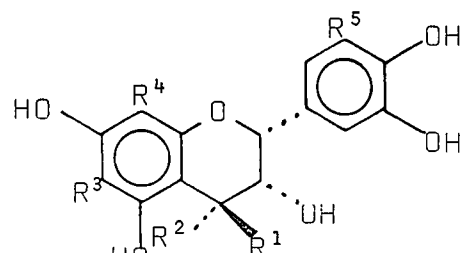
	C <sub>2</sub>	C <sub>3</sub>	C <sub>4</sub>	C <sub>2'</sub>	C <sub>3'</sub>	C <sub>4'</sub>
B-1. (67) dekaasetaat	73.5	70.9	34.0	78.3	68.4	27.1
B-2 (68) dekaasetaat	76.9	72.9	36.9	79.3	66.4	29.6
B-3 (69) dekaasetaat	73.6	71.1	34.6	77.0	66.8	26.6
B-4 (70) dekaasetaat	83.4	73.2	38.0	82.0	68.3	28.2
	78.9	70.4	36.6	78.0	68.4	25.7
	83.6	73.2	38.3	79.5	66.9	29.7
	78.9	70.0	36.6	77.0	66.6	26.5

'n Vergelyking tussen *cis* (kwasi-ekwatoriaal) en *trans* (kwasi-aksiaal) 4-fenielflavaan het verskuiwings van +0.4 en -4.5 dpm onderskeidelik getoon. Hierdie gegewens is vervolgens op die prosianidien biflavanoïede toegepas. Vir prosianidien B-4 (70) is C2', 3' en 4' van die onderste eenheid toegeken soos vir (-)-epikatesjien (Tabel 1). Die oorblywende seine is aan die boonste (+)-katesjieneenheid toegeken. Deur vergelyking met strukture 52 en 55 as modelverbindings, is die stereochemie van C<sub>4</sub> in die biflavanoïede B-3 (69) en B-4 (70) as *S* bepaal en vir B-1 (67) en B-2 (68) as *R* bepaal. Vir laasgenoemde biflavanoïede het die <sup>13</sup>C sein vir die C<sub>2</sub> in die boonste eenheid 'n karakteristiese  $\gamma$ -verskuiwing na hoër veld getoon, wat aandui dat die boonste eenheid by C<sub>4</sub> 'n kwasi-aksiale arielgroep bevat.

Die logiese uitbouing van bostaande sou wees om te onderskei tussen C<sub>6</sub>- en C<sub>8</sub>-gekoppelde profisetinidiene. Vir hierdie studie is modelverbindings 71-82 gesintetiseer<sup>44</sup>.



3, 72, 73, 77, 78, 79



71, 74, 75, 76, 80, 81, 82

	R <sup>1</sup>	R <sup>2</sup>	R <sup>3</sup>	R <sup>4</sup>	R <sup>5</sup>
<u>3</u>	H	H	H	H	H
<u>71</u>	H	H	H	H	H
<u>72</u>	H	C <sub>6</sub> H <sub>2</sub> (OH) <sub>3</sub> -2,4,6	H	H	H
<u>73</u>	H	C <sub>6</sub> H <sub>2</sub> (OH) <sub>3</sub> -2,4,6	H	H	OH
<u>74</u>	C <sub>6</sub> H <sub>2</sub> (OH) <sub>3</sub> -2,4,6	H	H	H	H
<u>75</u>	C <sub>6</sub> H <sub>2</sub> (OH) <sub>3</sub> -2,4,6	H	H	H	OH
<u>76</u>	SCH <sub>2</sub> Ph	H	H	H	H
<u>77</u>	H	H	CH <sub>2</sub> -Ph-OH- <i>o</i>	H	H
<u>78</u>	H	H	H	CH <sub>2</sub> -Ph-OH- <i>o</i>	H
<u>79</u>	H	H	CH <sub>2</sub> -Ph-OH- <i>o</i>	CH <sub>2</sub> -Ph-OH- <i>o</i>	H
<u>80</u>	H	H	CH <sub>2</sub> -Ph-OH- <i>o</i>	H	H
<u>81</u>	H	H	H	CH <sub>2</sub> -Ph-OH- <i>o</i>	H
<u>82</u>	H	H	CH <sub>2</sub> -Ph-OH- <i>o</i>	CH <sub>2</sub> -Ph-OH- <i>o</i>	H

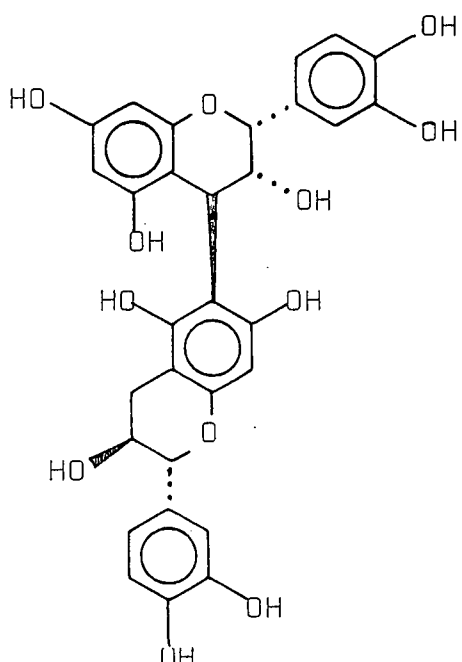
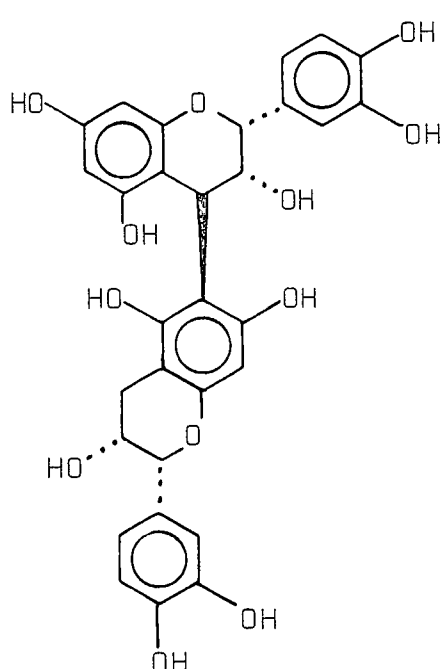
Tabel 3  $^{13}\text{C}$  KMR chemiese verskuiwings van monomeriese flavan-3-ole

Verb.	2	3	4	4a	6	8	1'	2'	3'	4'	5'	6'
<u>3</u>	82	67.9	28.1	100.9	96.7	95.7	131.5	115.6	145.4	145.5	116.6	120.3
<u>71</u>	79.1	66.8	28.6	100.3	96.8	96.0	131.8	115.4	145.0	145.2	116.4	119.6
<u>72</u>	83.7	72.9	37.9	106.8	97.6	96.4	131.7	116.3	145.3	145.7	116.5	121.0
<u>73</u>	83.8	73.0	37.9	107.0	97.8	96.4	131.1	108.7	146.2	133.9	146.2	108.7
<u>74</u>	76.6	72.6	36.5	102.0	96.5	95.7	132.2	115.5	144.9	145.2	116.4	119.6
<u>75</u>	76.6	72.5	36.4	102.2	96.5	95.7	131.7	107.3	146.2	133.0	146.2	107.3
<u>76</u>	74.4	70.3	42.9	99.4	96.4	95.2	131.0	114.8	144.2	144.4	115.7	118.8
<u>77</u>	82.0	68.2	29.0	101.5	108.8	96.3	131.6	116.0	145.5	145.5	116.5	120.5
<u>78</u>	82.4	68.2	29.0	101.5	96.7	106.9	131.7	116.0	145.5	145.6	116.5	120.5
<u>79</u>	82.4	68.5	29.7	102.4	105.6	108.4	131.7	115.9	145.6	145.7	116.4	120.6
<u>80</u>	78.9	66.9	29.1	100.8	108.8	96.6	131.8	115.4	145.0	145.1	116.4	119.6
<u>81</u>	79.2	66.6	28.9	100.6	96.8	107.2	132.0	115.4	145.0	145.2	116.4	119.6
<u>82</u>	79.5	66.8	29.8	101.0	108.8	108.0	132.2	115.3	145.3	145.5	115.7	119.4

Die chemiese verskuiwing van die C<sub>6</sub> en C<sub>8</sub> A-ring protonne van (+)-katesjien (3) en (-)-epikatesjien (71) is vanaf verbindings 77-81 afgelei, aangesien die posisie van die o-hidroksibensiefunksie bepaal was<sup>45</sup>. Hierdie chemiese verskuiwings het getoon dat C<sub>8</sub> meer geskerm as C<sub>6</sub> is.

Benewens die  $\gamma$ -skermende effek van 'n kwasi-aksiale substituent by C<sub>4</sub> op C<sub>2</sub><sup>44</sup>, is gevind dat hierdie substituent 'n skermende effek<sup>45</sup> deur die  $\pi$ -elektronsisteem op die C<sub>6</sub> en C<sub>8</sub> seine uitoeft. Die C<sub>6</sub> en C<sub>8</sub>-pieke word met 0.7-1.3 dpm vir 74 en 75 na hoërveld verskuif in vergelyking met 72 en 73.

Toepassing op die prosianidiene B-1 (67), B-2 (68), B-5 (83) en B-7 (84) het getoon dat die C<sub>8</sub> koolstof steeds by hoërveld as C<sub>6</sub> resoneer al is die koolstof gesubstitueer of ongesubstitueer. Die verskil in chemiese verskuiwing is egter groter tussen C<sub>6</sub> en C<sub>8</sub> koolstowwe (1.9 dpm) met as sonder (0.6 dpm) substitusie.

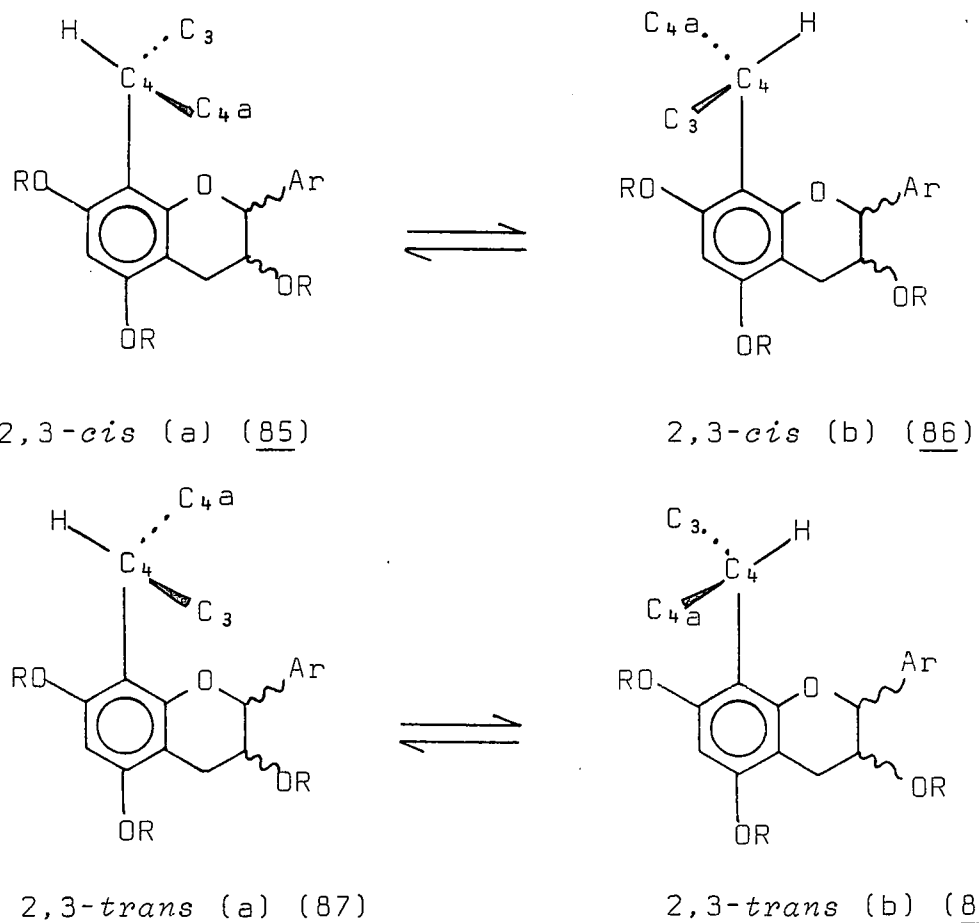
B-5 (83)B-7 (84)

Vergelyking van die C<sub>4</sub> chemiese verskuiwings van die pare B-1 en B-5; B-2 en B-7, toon dat C<sub>4</sub> ontskerm word (0.3-0.4 dpm) vir die C<sub>4</sub>-C<sub>6</sub> isomere. Net so word C<sub>4</sub> vir die 4-floroglucinol derivate 72-75 geskerm (1.4-1.5 dpm) in die geval van 2,3-*cis* relatief tot 2,3-*trans* isomere.

Vir prosianidien dimere met 'n 2,3-*cis* stereochemie vir die boonste eenheid, is die onderste eenheid kwasi-aksiaal georiënteer wat vryer rotasie om die bindingsas toelaat as die biflavanoïede met 'n 2,3-*trans* stereochemie.<sup>40,46</sup>

$^{13}\text{C}$  KMR-spektrometrie is gebruik om die verskynsel van rotasie-isomerie te ondersoek<sup>47</sup> (Skema 11).

Skema 11



Dreiding modelle toon dat die konformasie van dimere met komponente wat dieselfde absolute konfigurasie by  $C_2$  bevat (dit is  $2R,2'R$  of  $2S,2'S$ ) (sogenaamde 'normale dimere'), verskillende konformasies as dimere met gemengde absolute konfigurasie by  $C_2$  (dit is  $2R,2'S$  of  $2S,2'R$ ) (sogenaamde 'gemengde dimere') inneem. Hierdie verskillende konformasies word in die  $^1H$  kmr-spektra weerspieël.

Prosiandien kmr-spektra dui daarop dat die rotasie isomere twee stelle seine<sup>40</sup> lewer wat 'n goeie voorbeeld is van  $sp^2-sp^3$  enkelbinding rotamere met twee lae energie toestande<sup>48</sup>. Die verkose lae-energie konformasies (85-88) vereis dat die lywige  $C_2$  en  $C_{4a}$  substituente (ariel) die minste steriese interaksie met die onderste eenheid toon. Die isomere  $2,3\text{-}cis$  b (86) en  $2,3\text{-}trans$  a (87) neem 'n konformasie in met die minimum oorvleueling van die flavaniel eenheide terwyl  $2,3\text{-}cis$  a (85) en  $2,3\text{-}trans$  b (88) 'n mate van oorvleueling van die heterosikliese en B-ring van die boonste eenheid met die onderste eenheid se A-ring, aandui.

Met hierdie ondersoek is, soos reeds genoem<sup>47</sup>, gevind dat 'gemengde' dimere hoër energievereistes het om vryrotasie te ondergaan as die sogenaamde 'normale' dimere. Hierdie verskynsel word skynbaar teweeggebring deurdat die B-ring van die onderste eenheid nader aan die boonste eenheid beweeg in die 'gemengde' dimere wat groter steriese interaksies tot gevolg het. Verder is bepaal dat die verhouding van die rotamere vir  $2,3\text{-}trans$  stereochemie (a:b) 3.5:1 vir 'normale' dimere en 1.8:1 vir 'gemengde' dimere

is.

Uit hierdie oorsig is dit dus duidelik dat  $^{13}\text{C}$  kmr baie belangrik is vir die bepaling van struktuurkopplingsposisies en absolute stereochemie. Tot op hede was die beperking van hierdie metode daarin opgesluit dat baie materiaal benodig word om spektra te neem. Met nuwe ontwikkelings van kmr-apparaat, naamlik hoër magneetveld en rekenaars met groter kapasiteit, word hierdie metode egter deesdae vinnig uitgebrei.

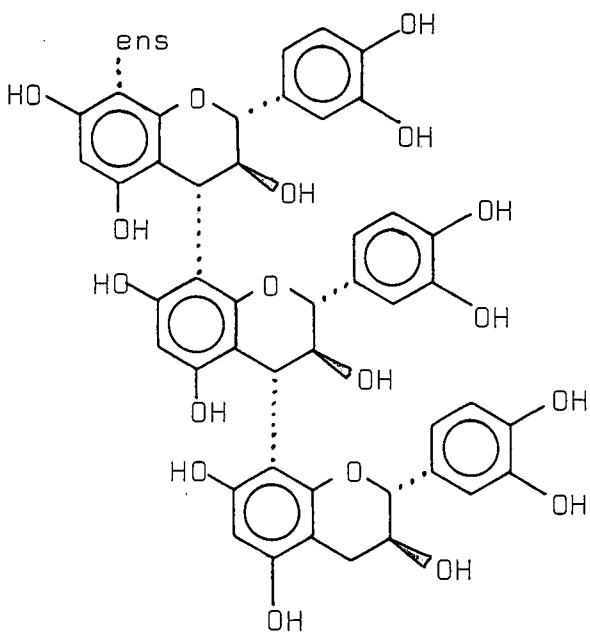
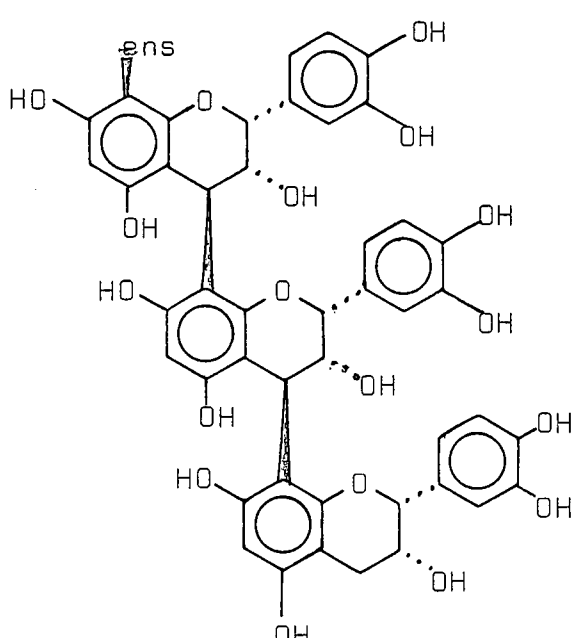
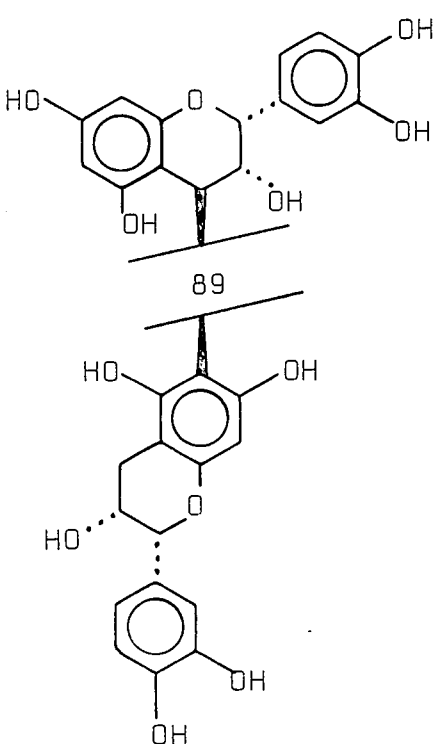
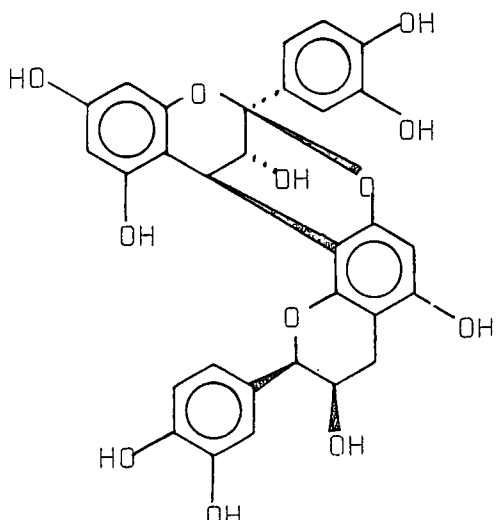
-----ooOoo-----

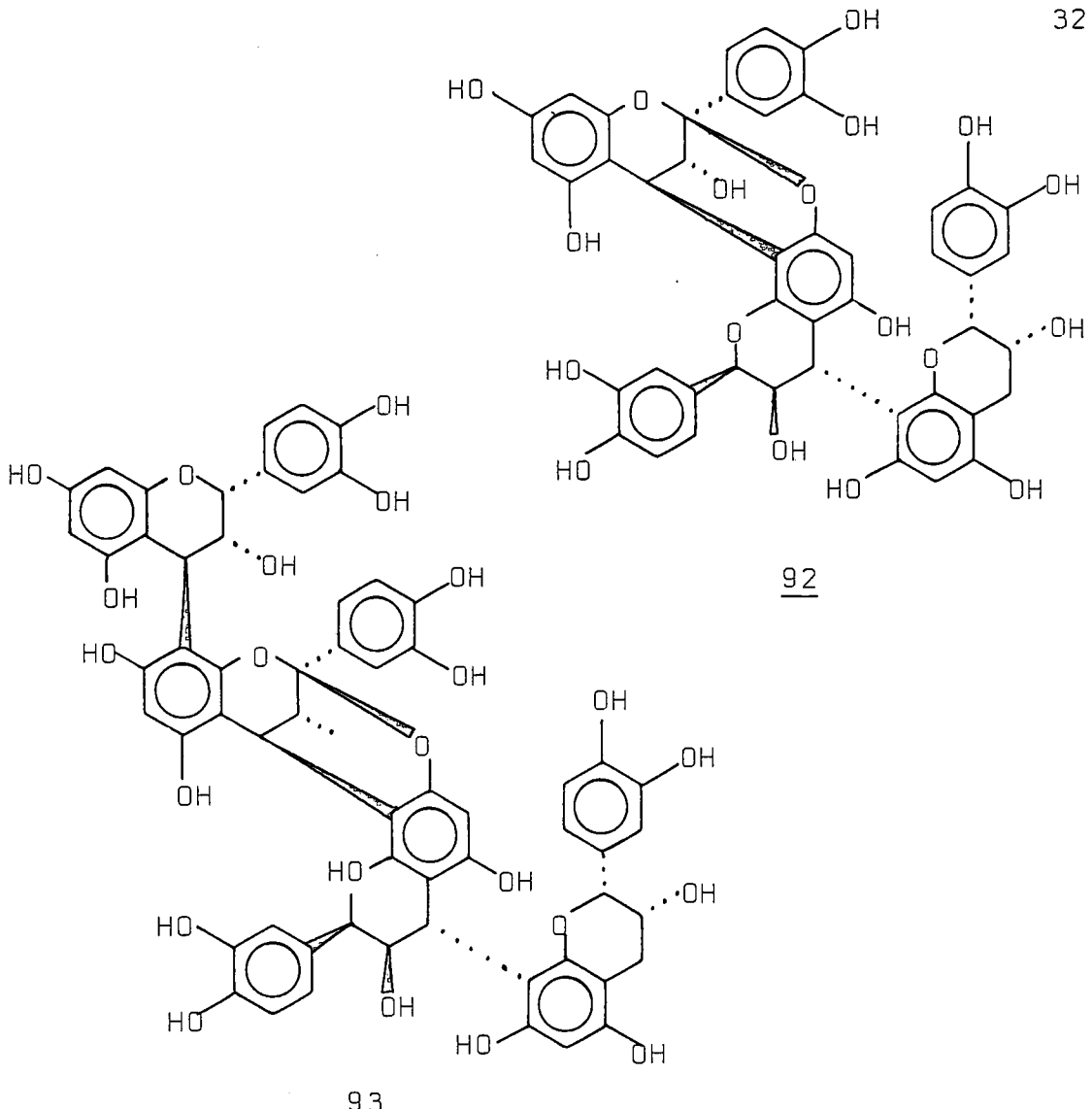
HOOFSTUK 4LINEËRE EN ANGULËRE OLIGOMEER TANNIENE

Prosianidiene van tipe 88 ((+)-katesjien eenhede) en 89 ((-)-epikatesjien eenhede) vorm biogeneties volgens 'n stereospesifieke meganisme om sonder uitsondering tot 3,4-*trans* stereochemie aanleiding te gee<sup>40,49</sup>. In die geval van (-)-epikatesjien eenhede, word hierdie opvallende verskynsel aan buurgroep deelname van die gunstig-georiënteerde aksiale C<sub>3</sub> hidroksigroep toegeskryf, terwyl in die geval van (+)-katesjien-tipe prosianidiene (C<sub>3</sub>-OH ekwatoriaal) geen aanvaarbare hipotese vir hierdie verskynsel bestaan nie. Hoewel enkele natuurlike [4,6]-gekoppelde biprosianidiene<sup>40,49</sup> natuurlik voorkom, is hoër oligomeere met [4,6]-gekoppelde terminale eenhede (90) seldsaam<sup>50</sup>. Beide (+)-katesjien en (-)-epikatesjien tree dus oorwegend as monofunksionele nukleofiele op tydens regiospesifieke [4,8]-koppelings. Dit is verder belangrik om daarop te let dat die terminale [4,6]-eenheid oënskynlik nie vatbaar is vir C<sub>8</sub> substitusie om sodoende 'vertakte' of 'angulêre' oligomere te vorm nie. Hierdie lineêre geaardheid van prosianidiene ondersteun die waarneming<sup>41</sup> van verhoogde nukleofiliteit van die C<sub>8</sub> posisie van (+)-katesjien en (-)-epikatesjien in vergelyking met dié van C<sub>6</sub>.

Isolasië<sup>15</sup> en struktuurbepaling van prosianidien 91 met behulp van <sup>13</sup>C kmr en X-straalkristallografie<sup>51</sup>, verteen-

woordig die eerste geval waar koppeling tussen die katesjieneenhede, beide C-C en C-O-C bindings betrek. Hierdie tipe struktuur is na hoër oligomere uitgebrei met die isolasie van tri- (92), tetra- (93) en pentaprostanidiene<sup>52</sup>.

88899091



Prostanidiene van hierdie tipe tesame met die voorkoms van beide (+)-katesjien en (-)-epikatesjien entiteite in die dimeriese prostanidiene B-1 (67), B-4 (70) en B-5 (83) (Hoofstuk 3), verhoog die teoretiese aantal struktuur isomere van prostanidiene saamgestel uit hierdie eenhede. Alhoewel die strukture van die oligomeriese prostanidiene met 'n eerste oogopslag kompleks vertoon, word die samestellende (+)-katesjien en (-)-epikatesjien entiteite geredelik uitgeken ( $^{13}\text{C}$  kmr<sup>40</sup>, Hoofstuk 3). Dit in samehang met die hoë mate van stereo- en regio-

spesifisiteit tydens koppeling vergemaklik egter struktuurbepaling tot 'n groot mate.

In teenstelling met bogenoemde, fungeer die (+)-katesjien entiteit in die profisetinidiene as 'n bifunksionele nukleoefiel om hoogstens stereo- en regioselektief beide [4,8] (9 en 10) en [4,6] (11) gekoppelde<sup>25</sup> biflavanoïede (Hoofstuk 1) en 'angulêre' triflavanoïede<sup>17</sup> (12-15) te lewer waar struktuurbepaling, in vergelyking met die professionaldiene, in 'n hoë mate gekompliseer word. Uitsluitsel rakkende die relatiewe stereochemie van die triflavanoïede 13 ([4,8]-*trans*:[4,6]-*cis*) en 15 ([4,8]-*cis*:[4,6]-*trans*) is aanvanklik deur sintese bepaal. Vanaf hierdie resultate het dit duidelik geblyk dat nukleoefiliteit van C<sub>6</sub> van (+)-katesjien dié van C<sub>6</sub> in die (-)-fisetinidoleenheid totaal domineer sodat angulêre triflavanoïede by voorkeur vorm. Vanaf die tetraflavanoïedvlak en hoër, word die situasie veel meer kompleks vanweë beslissings ten opsigte van posisie van koppeling op beskikbare nukleoefiele posisies op (-)-fisetinidoleenhede.

-----ooOoo-----

## BESPREKING

### Inleiding

Struktuurbepaling van profisetinidiene vanaf monomeriese tot trimeriese vlak is afhanglik van kmr, SD en massa getuienis. Hierdie metodes, soos tot op hede toegepas is, besit egter inherente gebreke om struktuurbepalings van tetraflavanoïede akkuraat te kan doen. Die relatiewe stereochemie van die eerste natuurlike profisetinidien tetraflavanoïed uit *Rhus lancea*<sup>61,69</sup> is met behulp van 360MHz kmr ( $30^{\circ}\text{C}$ ) ondersoek bepaal. Die bindingspunt van die biflavanieleenheid aan (+)-katesjien kon egter nie bo twyfel vasgestel word nie. Met hierdie ondersoek is gevind dat die meerderheid tetraflavanoïede egter hoë temperatuur vereis ( $>150^{\circ}\text{C}$ ) om vinnige rotasie om die bindingsas en aldus 'skerp' spektra (80MHz) te verseker. Ekstensiewe oorvleueling in die heterosikliese gebiede bemoeilik egter interpretasie. Toepassing van ultra hoë magneetveld kmr (500MHz) het aan die lig gebring dat selfs hoër temperatuurvereistes ( $>200^{\circ}\text{C}$ ) vir vinnige rotasie vir meeste van die tetraflavanoïede geld. Hierdie temperatuur is egter selfs vir vandag se gesofistikeerde apparatuur en vanweë termiese ontbinding van metieleterasetate nie prakties uitvoerbaar nie.

Hierdie ondersoek is dus primêr onderneem om verskeie sintetiese metodes en kmr parameters daar te stel om onteen-

seglike struktuurbepalings van die tetraflavanoïede moontlik te maak. Vanaf monomeriese tot trimeriese vlak is karakteristieke kmr patronen vasgestel en op tetraflavanoïede toegepas. Benutting van hierdie kmr parameters in samehang met die inligting betreffende stereochemie vanaf die sintese, het vir die eerste keer sinvolle afleidings vanaf 80MHz spektra moontlik gemaak om sodoende die strukture van vier natuurlike en vier sintetiese tetraflavanoïede bo redelike verdenking te bepaal.

-----ooOoo-----

AFKORTINGS

Onderstaande simboliek word deurgaans gevolg om strukture van natuurlike en sintetiese bi- en hoër flavanoïede aan te dui.

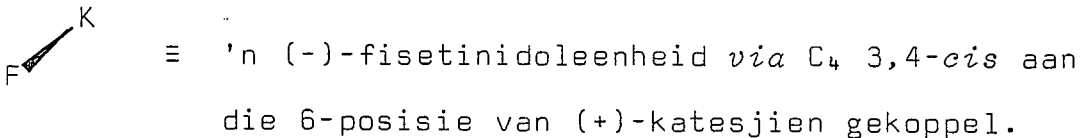
## a) Monomeriese eenhede



## b) Stereochemie en koppelingspunt

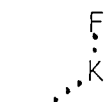
Om lees te vergemaklik en ook om met 'n oogopslag die stereochemie en koppelingspunt waar te neem, word bi- en hoër flavanoïede soos volg aangedui (slegs  $2R,3S$  derivate van K en M).

## i) Biflavanoïede

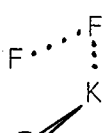


'n Stippellyn (.....) impliseer dus  $3,4\text{-}trans$  stereochemie en 'n gewigde lyn (—)  $3,4\text{-}cis$  stereochemie.

## ii) Tri- en tetraflavanoïede

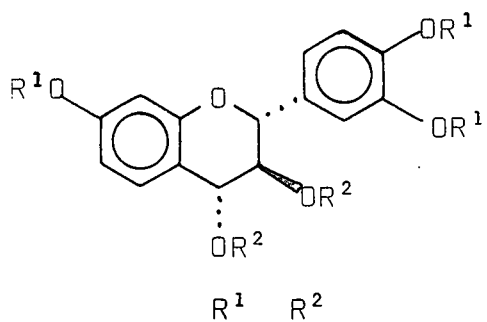


$\equiv$  Angulêre triflavanoïed met (-)-fisetinidol eenheid *via* C<sub>4</sub> 3,4-*trans* gekoppel aan die 6- en 8-posisies van (+)-katesjien.



$\equiv$  Tetraflavanoïed met 'n [4,6]-gekoppelde 3,4-*trans*-(-)-bifisetinidoleenheid 3,4-*trans* aan die 8-posisie van (+)-katesjien en 'n (-)-fisetinidoleenheid *via* C<sub>4</sub> 3,4-*cis* gekoppel aan die C<sub>6</sub> van (+)-katesjien.

iii) Nommering: 'n Syfer (byvoorbeeld 8) dui die algemene struktuur aan waarna verwys word. Die letter a (bv. 8a) dui 'n vryfenoliiese struktuur aan terwyl b 'n metieleter (van die aromatiese hidroksifunksies) en c 'n metieleterasetaat aandui.



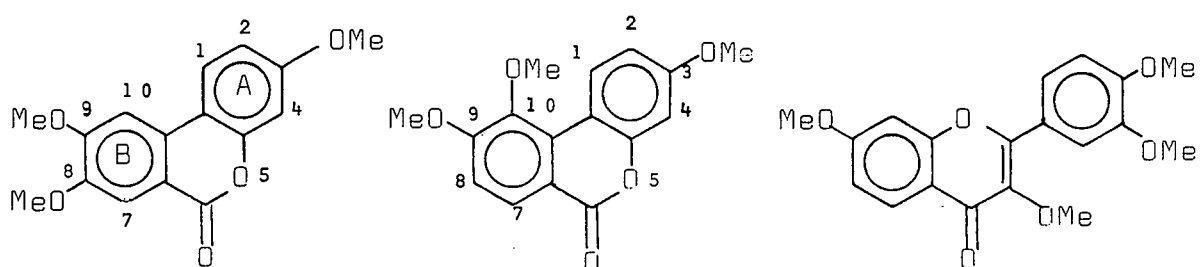
<u>8a</u>	H	H
<u>8b</u>	Me	H
<u>8c</u>	Me	Ac

HOOFSTUK 5ISOLASIE EN SINTESE VAN 'DIOOKSAAN'-GEKOPPELDE PROFISETINI=DIENE

Tydens die versameling van vryfenoliiese materiaal uit *A. mearnsii*, is 'n opvallende pienk band (lae mobiliteit met water as eluant) op sellulose kolomme waargeneem. Uit hierdie band is twee dibenso- $\alpha$ -pirone 104 en 105<sup>54</sup> tesame met 'n komplekse dibenso- $\alpha$ -piroon (106), identies aan dié uit *Umtiza listerana*<sup>55</sup>, fisetin (107) en 'n nuwe dioksaan (108) geïsoleer.

5.1 Isolasie van dibenso- $\alpha$ -pirone

Vergelyking van die kmr-spektra van 104b (Plaat 1) en 105b (plaat 2), toon dat H-1 in beide gevalle die verwagte doeblet vertoon, maar dat H-1 in die geval van 104b by aansienlik hoër veld ( $\delta$ 7.84) as 105b ( $\delta$ 8.83) resoneer. Hierdie opmerklike verskil in chemiese verskuiwing ( $\Delta\delta=0.99$ ) kan uitsluitlik aan die ontskermende effek van die naastliggende C<sub>10</sub>-suurstof in die geval van 105b toegeskryf word.

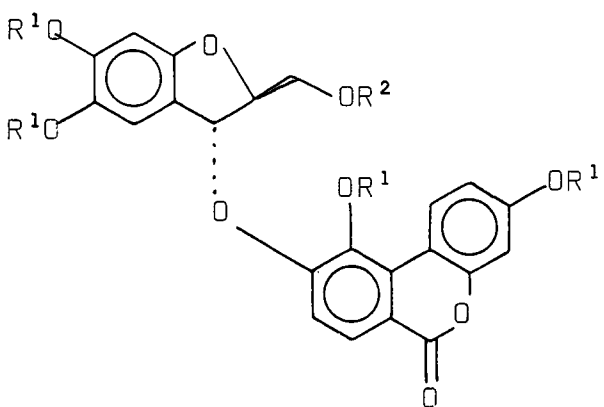


Verdere kmr getuienis vir die voorgestelde struktuur (104b) is daarin geleë dat H-7 ( $\delta$ 7.71) en H-10 ( $\delta$ 7.33) as verbrede *p*-gekoppelde singulette waargeneem word. H-7 vir verbinding 104b resoneer egter by hoër veld as vir 105b ( $\delta$ 8.22,  $\Delta\delta=0.51$ ) wat waarskynlik teweeggebring word deur 'n verandering in elektrondigtheid<sup>35,36,37</sup> deur die verskillende substitusiepatroon. 'n Belangrike ooreenkoms in die kmr-spektra is die feit dat H-2 en H-4 vir beide 104b en 105b by  $\delta$ 6.90 en 6.86 onderskeidelik resoneer.

Massaspektrometrie van 104b en 105b toon  $M^+$  pieke, m/z 286 (100%) met CH<sub>3</sub> (skemas 1 en 2) en CO verliese om m/z 243 (10.3% en 6.4% onderskeidelik) te lewer.

Isolasie van die komplekse dibenso- $\alpha$ -piroon ( $2'S,3'R$ )-9-(5',6'-dihidroksi-2'-hidroksimetiel-2',3'-dihidrobenso-[b,d]-furan-3-ieloksi)-6H-dibenso-[b,d]-piran-6-oon (106c), vul die isolasie van 104 en 105 aan en is belangrik in dié sin dat dibenso- $\alpha$ -pirone nog nie voorheen uit *A. mearnsii* geïsoleer is nie. Dit dui verder daarop dat daar baie nou gelet moet word na mindere komponente om 'n geheelbeeld te kan vorm rakende die kompleksiteit van die metabolismiese poel van plante.

Die struktuur van 106c is voorheen met behulp van 360MHz kmr opgeklaar<sup>55</sup>. Vergelyking van die 80MHz-spektra (plaat 3) met dié van 105b (plaat 2) toon ooreenkoms so ver dit die dibenso-[b,d]-piran-6-oongedeelte betref.



106a  $R^1 = R^2 = H$

106b  $R^1 = Me; R^2 = H$

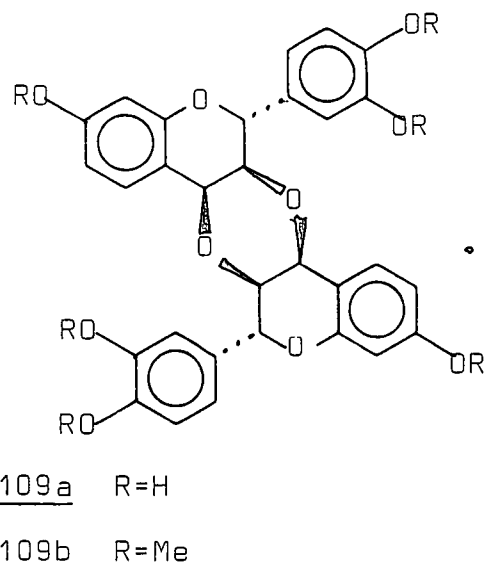
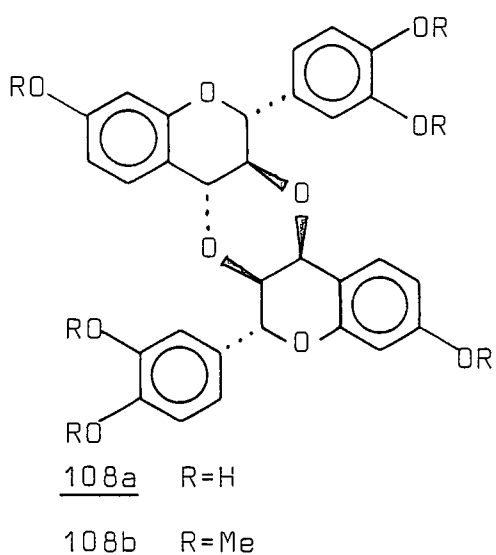
106c  $R^1 = Me; R^2 = Ac$

H-1 resoneer as 'n doeblet by  $\delta$ 8.82 (8.83 vir 105b) terwyl H-7 by  $\delta$ 8.04 ( $\delta$ 8.22 vir 105b) voorkom, wat moontlik aandui dat die dihidrobenzofuraaneenheid aan die betrokke ring (B) gekoppel is.

Verdere bewys vir die koppelingspunt is dat in die kmr-spektra (360 MHz<sup>55</sup>) van 105 beide H<sub>1</sub> en H<sub>8</sub>-koppeling met die C<sub>10</sub> en C<sub>9</sub> metoksigroepe onderskeidelik toon. Opvallend is dat vir 106c die sekondêre sptyting van H<sub>1</sub> behoue bly terwyl H<sub>8</sub> geen koppeling met die naasliggende metoksigroep toon nie.

## 5.2 Isolasie van [3,4':3;4]-0,0-gekoppelde profisetindien (108)

Isolasie van 108a is uniek in dié sin dat dit tot dusver slegs die tweede natuurlike dioksaan-tipe biflavanoïed is, die eerste (109) is reeds in 1969<sup>56</sup> uit dieselfde bron verkry.



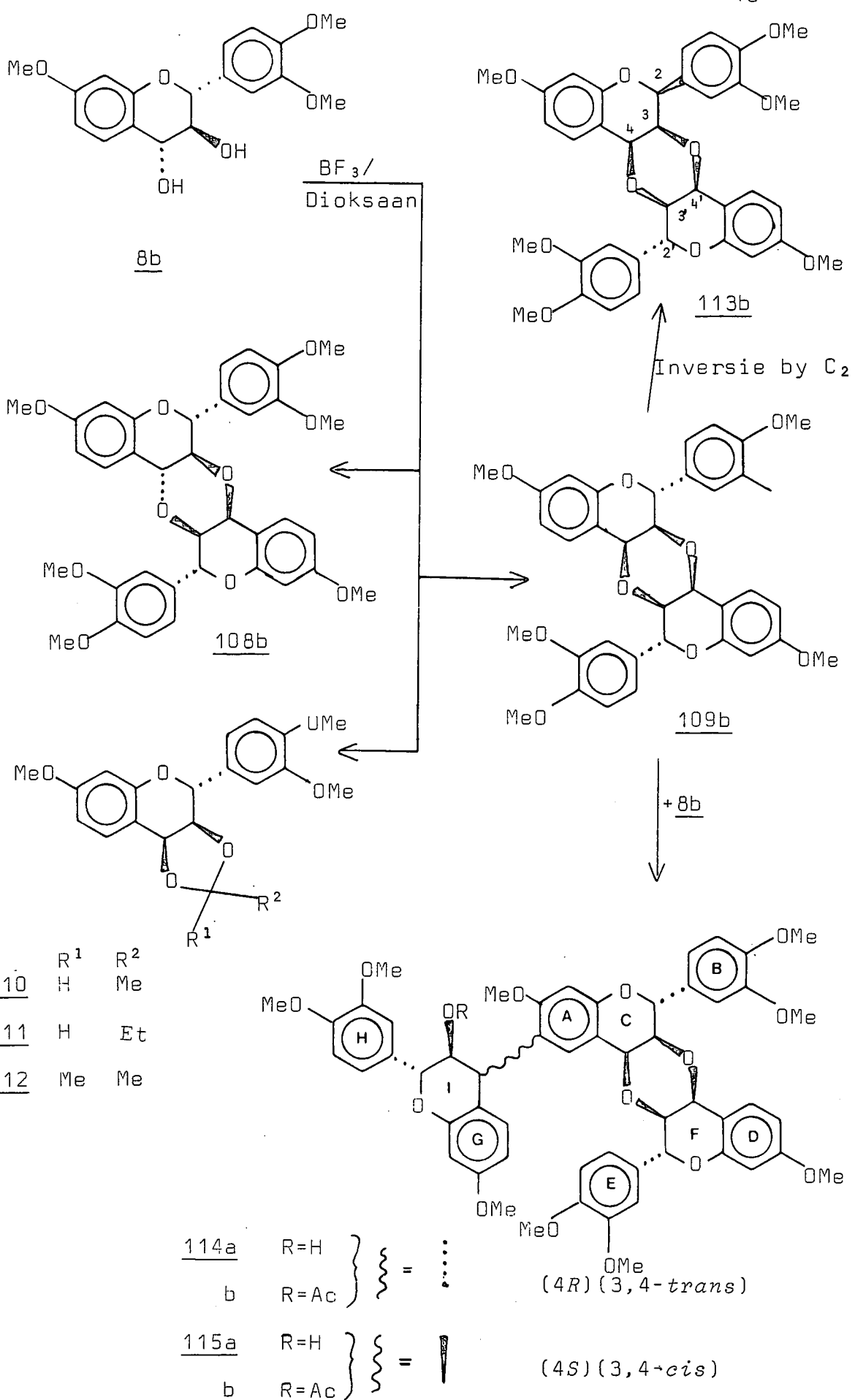
<sup>1</sup>H kmr-spektra van die bekende simmetriese 2,3-*trans*-3,4-*cis* profisetinidien toon 'n enkel AMX-sisteem ( $J_{2,3}$  10.0 en  $J_{3,4}$  4.6Hz) wat soortgelyk aan dié van monomeriese 2,3-*trans*-3,4-*cis*-flavan-3,4-diol is, terwyl die spektrum van 108b (plaat 4a) 'n kompleks heterosikliese sisteem vertoon. Twee spin sisteme met koppelingskonstantes 10.2 en 9.0Hz vir die C-ring en 10.7 en 3.5Hz vir die F-ring is waarneembaar wat aanduidend is van 'n *trans-trans:trans-cis* stereochemie. Vanaf Dreiding modelle blyk dat die C-ring 'n vyfpunt koplanêre konformasie het met C<sub>2</sub> bokant die vlak deur die A-ring, C<sub>3</sub> en C<sub>4</sub> met dihedriese hoeke tussen H<sub>2</sub>, H<sub>3</sub> en H<sub>3</sub>,H<sub>4</sub> van 180° wat deur die groot koppelingskonstantes weerspieël word. Die F-ring neem 'n verdraaiende bootkonformasie in met dihedriese hoeke van 170° vir H<sub>2</sub>-H<sub>3</sub> en 42° vir H<sub>3</sub>-H<sub>4</sub> wat volgens die Karplusverhouding<sup>57</sup> in ooreenstemming is met die waargenome koppelingskonstantes.

### 5.3 Sintese van O,O-gekoppelde profisetinidiene

Profisetinidien 109b is voorheen deur Clark-Lewis<sup>58</sup> verkry tydens solvolise by C<sub>4</sub> van 3',4',7-tri-O-metiel-(+)-mollisacacidien (8b) in asynsuur/etanol. Self-kondensasie van (+)-mollisacacidien (8a) in mineraal-suur (0,1N HCl) het slegs C-C-gekoppelde biflavanoïede en 'n triflavanoïed in lae opbrengs<sup>24</sup> tesame met polimeriese materiaal gelewer. Bateman en Brown<sup>59</sup> het 4-arieloksiflavane gesintetiseer deur benutting van BF<sub>3</sub> as katalisator, aangesien hierdie Lewissuur by voorkeur aanleiding tot C-O in stede van C-C-gekoppelde produkte<sup>60</sup> gee. Hierdie benadering is dus deur gepoogde sintese van die dioksane gevolg om hoofsaaklik die probleem van C-C-kondensasie die hoof te bied en het benewens die verwagte 3,4-*cis*;3',4-*cis*(109b) 'n reeks ander profisetinidiene (108b, 110, 111, 112, 113, 114 en 115) gelewer.

#### 5.3.1 Dioksolaantipe verbindings

Byprodukte van die selfkondensasie van die tri-O-metiel-eterflavan-3,4-diol 8b met behulp van BF<sub>3</sub> dietieleteraat, is die 1,3-dioksolaantipe produkte 110, 111 en 112, wat oënskynlik afkomstig is deur koppeling van BF<sub>3</sub>-gekataliseerde herringeskikkingsprodukte van dioksaan aan die flavan-3,4-diol.



Die  $^1\text{H}$  kmr-spektrum van die isopropilideenderivaat 112 (plaat 5) is identies aan dié voorheen verkry<sup>61</sup>. Hierdie struktuur word ondersteun deur ms gegewens (tabel 8, skema 4).

Identifisering van die etilideenderivaat (110) is op grond van kmr getuienis (plaat 6). Die  $\text{CH}_3$  van die etilidielgroep resoneer as 'n doeblet ( $\delta$  1.47,  $J$  7.0Hz), terwyl die tersiêre H as 'n kwartet by  $\delta$  5.25 ( $J$  7.0Hz) voorkom. Die tipiese heterosikliese AMX-sisteem is aanduidend van 'n 2,3-*trans*:3,4-*cis* stereochemie.

Vir die *n*-propilideenderivaat (111) resoneer die  $\text{CH}_3$  (plaat 7) protone van die propilidielgroep as 'n triplet ( $\delta$  1.00), die  $\text{CH}_2$  protone as 'n multiplet ( $\delta$  1.62 - 1.95) en die metien proton as 'n triplet by  $\delta$  5.09.

Massaspektrometrie bevestig die voorgestelde strukture 110, 111 en 112 met die verwagte  $m/z$  372, 358 en 372 pieke (skema 4, tabel 8) onderskeidelik.

### 5.3.2 0,0-gekoppelde profisetinidiene

#### a) Dimeriese 0,0-gekoppelde profisetinidiene

Die hoofproduk tydens die selfkondensasie van tri-0-metiel-(+)-mollisacacidien is die simmetriese alles 3,4-*cis* produk (109b) met  $^1\text{H}$  kmr identies aan dié voorheen<sup>56</sup> beskryf en gekenmerk deur 'n AMX heterosikliese sisteem (plaat 8) tipies van 'n 2,3-*trans*-3,4-*cis* flavan-3,4-diol ( $J_{2,3}$  8.5Hz;  $J_{3,4}$  4.5Hz). Benewens hierdie dioksaantipe produk, is

twee verdere diastereoisoomere verkry waarvan een iden-  
ties aan die nuwe natuurproduk (108b) (*2,3-trans-3,4-  
trans; 2',3'-trans-3',4'-cis*) is, terwyl die derde (113b)  
'n *2,3-cis-3,4-cis:2',3'-trans-3',4'-cis* (*2S,3S,4S*) ste-  
reochemie bevat.

As gevolg van oorvleuelende heterosikliese seine, kon die  
struktuur van 113b nie vanaf 80MHz  $^1\text{H}$  kmr-spektra afgelei  
word nie. 500MHz-spektra vertoon egter duidelik twee  
AMX spin sisteme ( $J_{2,3} < 0.5$ ,  $J_{3,4} 3.0$ ;  $J_{2',3'} 10.5$  en  
 $J_{3',4'} 2.5\text{Hz}$ ) (plaat 9).

In tabel 4 is 'n vergelyking van die konformasies van die  
verskillende ringe in die dioksaantipe biflavanoïede ge-  
tref.

Tabel 4

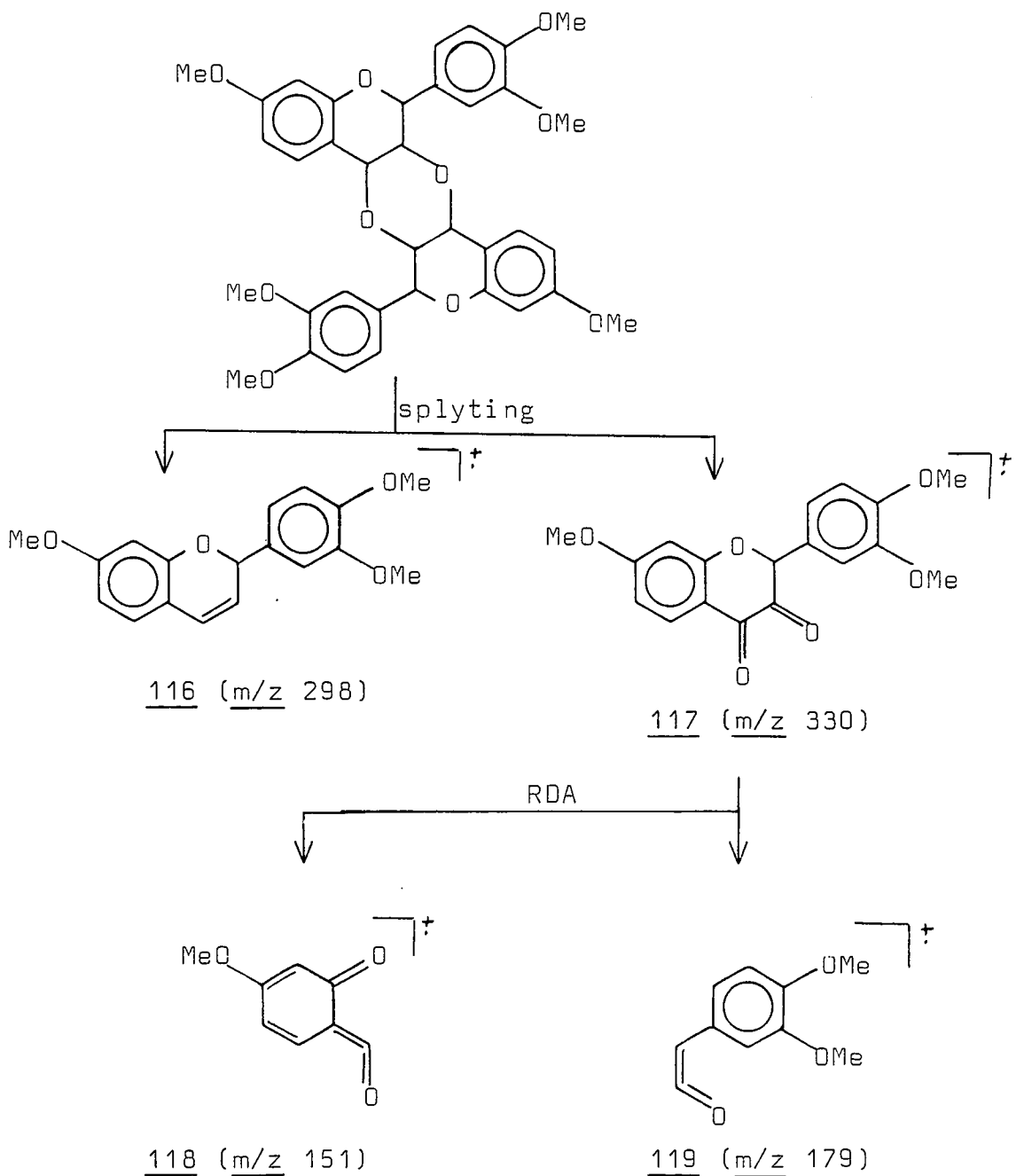
Profiseti= nidien	C-ring	F-ring	Dioksaanbrug
<u>108b</u>	5 pt koplanêr	verdraaide boot	verdraaide stoel
<u>109b</u>	verdraaide boot	" "	verdraaide boot
<u>113b</u>	5 pt koplanêr	" "	" "

Vanaf Dreiding modelle blyk dit dat die dioksaanbrug in  
109b en 113b onder minder stremming verkeer as in 108b.

Dit moet ook gelet word dat met inversie op  $\text{C}_2$  (vorming van  
113b) die C-ring 'n 'ring flip' ondergaan sodat die 2-ariel  
groep *ekwatoriaal* geleë is. Dit het tot gevolg dat die

dihedriese hoek tussen H<sub>2</sub> en H<sub>3</sub> na aan 90° is met gevoltageerde klein koppelingskonstante (<0.5Hz) (plaat 9).

Vanaf ms is die verwagte M<sup>+</sup> pieke van m/z 628 vir 108b, 109b en 113b as 9.2, 5.5 en 12% onderskeidelik (skema 5, tabel 9) verkry. Die meer prominente fragmentasie is 'n horizontale splyting om 116 en 117 te lewer met 117 wat 'n verdere RDA-splyting ondergaan.



SD van die dioksaan biflavanoïede (plaat 58) is in ooreenstemming met die voorgestelde strukture. Vir die alles 3,4-*cis* derivaat (109b) word 'n hoë amplitude positiewe Cotton-effek by 235 nm verkry wat aanduidend<sup>26</sup> van 4*S* stereochemie is. Vir 113b word dieselfde hoëveld Cotton-effek waargeneem tesame met 'n Cotton-effek by *ca.* 272 nm wat dui op 2*S* stereochemie. Vir die 3,4-*trans* isomeer (108b), word 'n klein negatiewe Cotton-effek waargeneem wat verwag word, aangesien die twee C<sub>4</sub> posisies teenoorgestelde absolute (4*R* en 4*S*) stereochemie het.

b) Trimeriese O,O-gekoppelde profisetinidiene

Twee belangrike neweprodukte wat tydens hierdie kondensasie verkry is, is die twee triflavanoïede 114b en 115b (0.8 en 2.0% onderskeidelik) wat oënskynlik deur elektrofiële C-C-koppeling van die O,O-gekoppelde hoofproduk 109b met die uitgangstof 8b, ontstaan.

<sup>1</sup>H kmr-spektra (100<sup>0</sup>, δC<sub>6</sub>D<sub>6</sub>) toon 'n komplekse heterosikliese patroon wat deur asetilering van 114b en 115b interpretasie moontlik maak. Met die gevolglike ontskrifing van die 3-H(I) protone, kon die stereochemie van die C-ringe van die derde eenheid as 2,3-*trans*-3,4-*trans* (J<sub>2,3</sub> 9.0; J<sub>3,4</sub> 9.0Hz) (plaat 10) en 2,3-*trans*-3,4-*cis* (J<sub>2,3</sub> 6.0; J<sub>3,4</sub> 5.0Hz) (plaat 11) vir 114b en 115b onderskeidelik bepaal word.

Die koppelingskonstantes van die dioksaan-gekoppelde C- en F-ringe is ook in ooreenstemming met die 3,4-alles *cis* hoofproduk 109 met klein verskille in chemiese verskuiwings as gevolg van die asymmetrie van die molekuul.

Singulette in die aromatiese gebied ( $\delta$ 6.68 8-H(A) en 6.44 5-H(A),  $\delta$ 6.77 8-H(A) en 6.41 5-H(A) vir 114b en 115b onderskeidelik) is aanduidend dat die flavanieeenheid aan die C<sub>6</sub> (A-ring) van die simmetriese dioksaantipe profisetinidien gebonde is.

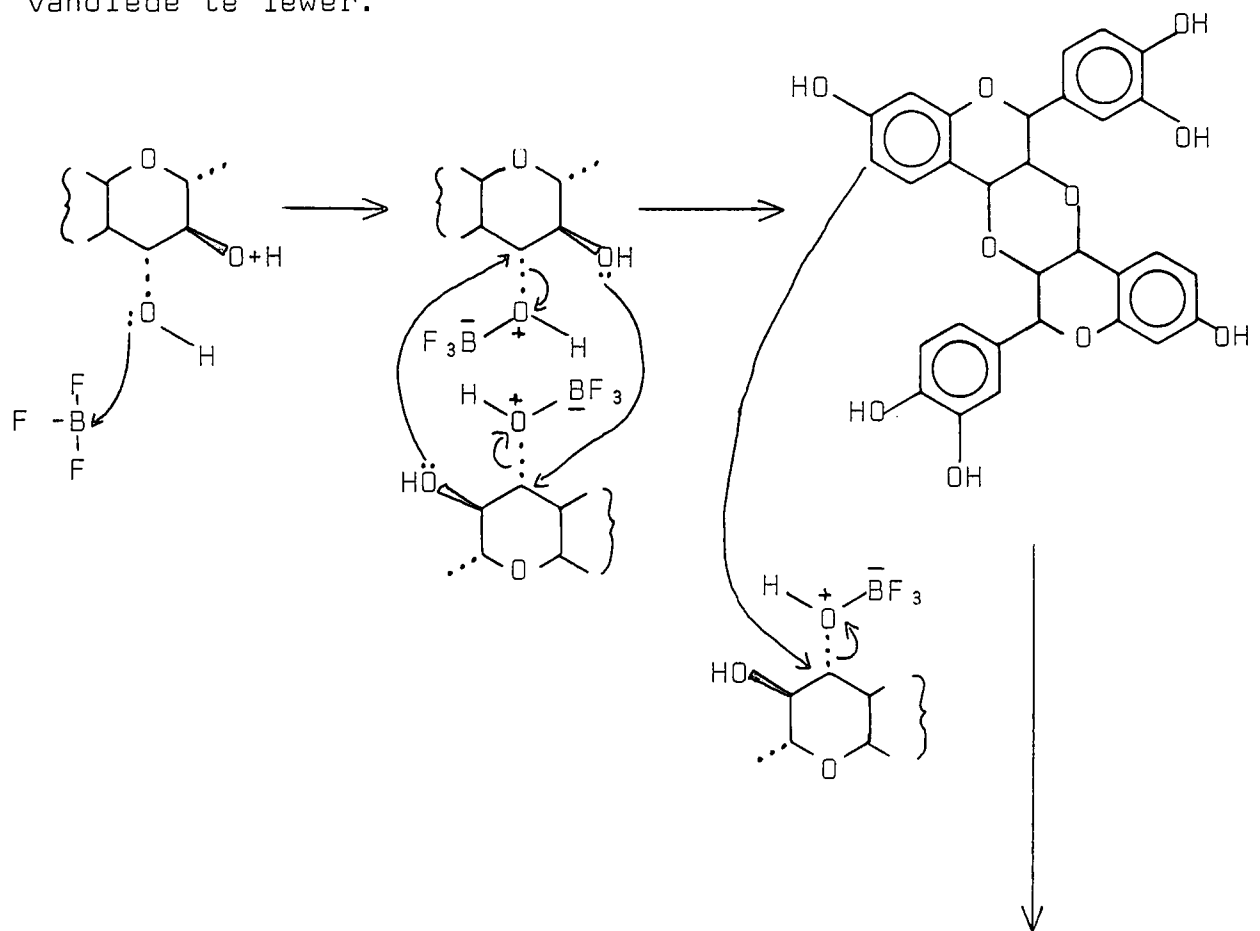
Uit die kmr-spektra is dit duidelik dat temperatuurverhoging noodsaaklik is om vinnige rotasie om die sp<sup>2</sup>-sp<sup>3</sup> bindingsas te bewerkstellig.

Massafragmentasie (skema 6, tabel 10) is in ooreenstemming met die voorgestelde strukture met 'n M<sup>+</sup>-ioon (m/z 984) vir 115b (23%), M<sup>+</sup>-60 ione (100 en 30% vir 114b en 115b onderskeidelik) en die verwagte RDA-splytings.

SD-spektra (plaat 59) van die trimere toon dat die C<sub>4</sub> chirale sentra van die gebonde flavanieeenheid hoë amplitude Cotton-effekte tot gevolg het wat dié van die dioksaaneenheid heeltemal oorheers. Vir die 3,4-*cis* isomeer (115b) word die verwagte positiewe (235 nm) (4S) en negatiewe (229 nm) (4R) Cotton-effekte vir die 3,4-*trans* isomeer 114b verkry.

'n Moontlike meganisme vir die ontstaan van die dioksaan biflavanoïede word vervolgens as 'n twee-stap proses uit-

eeengesit wat verder kondensasie ondergaan om die trifla-vanoiede te lewer.

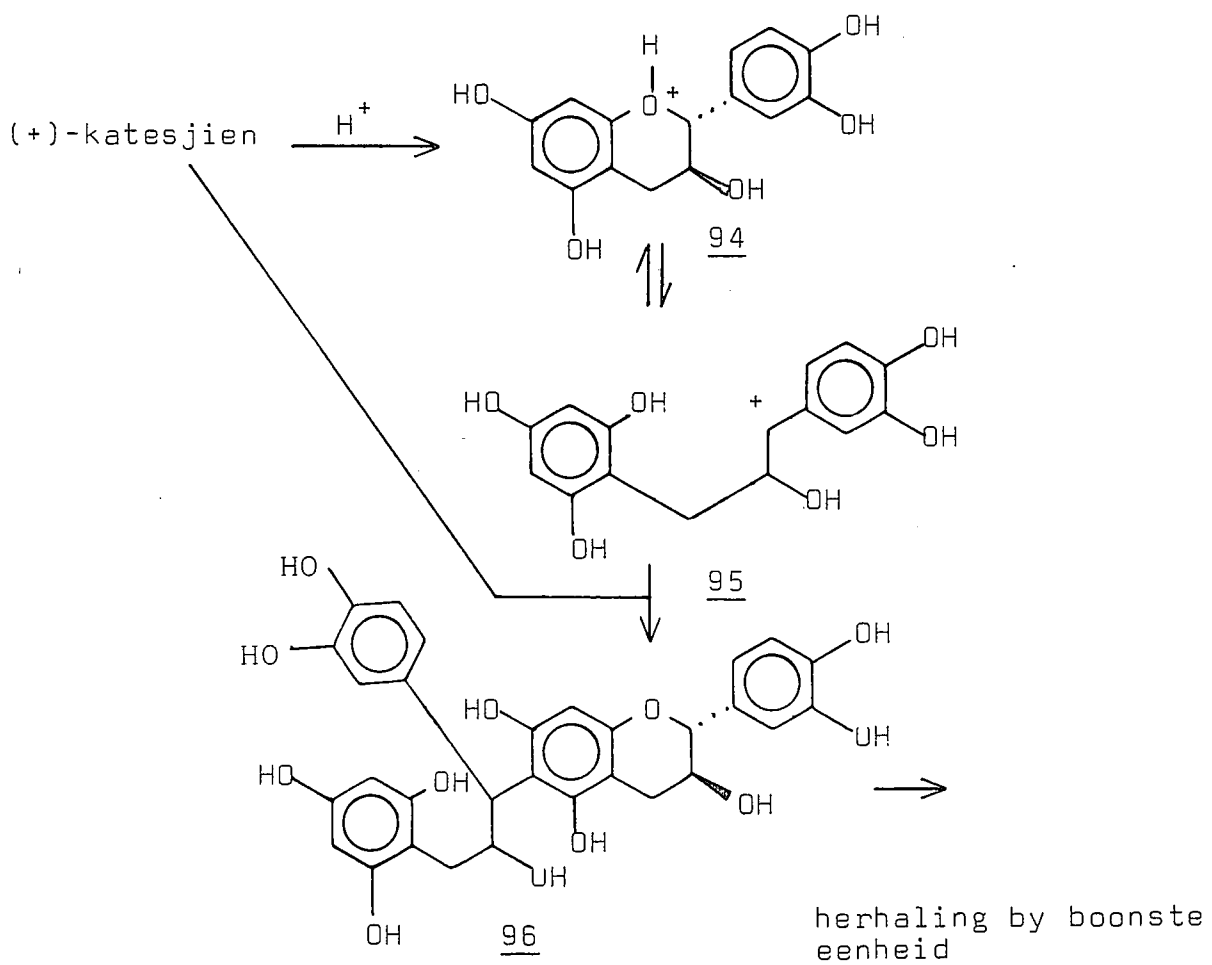


114 en 115

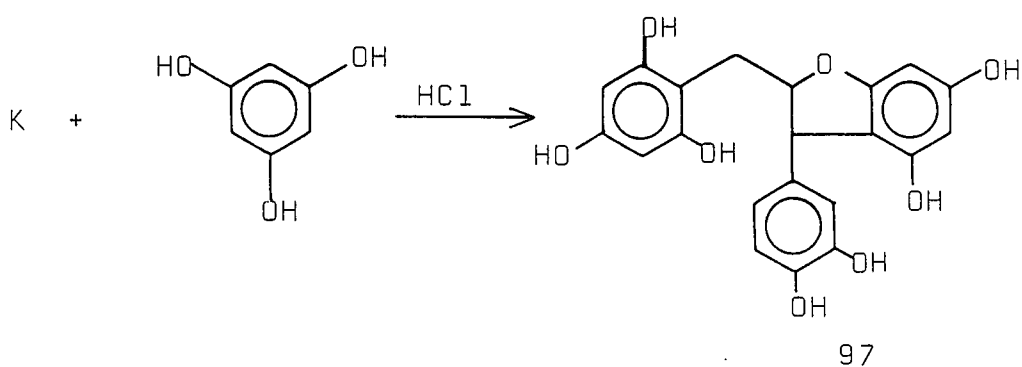
-----oo0oo-----

HOOFSTUK 6FLOBAFEENVORMING

Flobafeenvorming, dit wil sê die presipitasie van onoplosbare tanniene tydens behandeling van gekondenseerde tanniene met sterk mineraalsuur, is 'n ou en bekende verskynsel in die looibedryf. Freudenberg<sup>62</sup> het die proses as soortgelyk met tannenvorming uit flavan-3-ole beskou, naamlik protonering van die heterosikliese suurstof van (+)-katesjien om 'n karbeniumioon (94) van 1,3-diarielpropan-2-ol (95) te vorm wat daaropvolgend 'n tweede molekule van (+)-katesjien aanval om 'n kondensaat (bv. 96) te vorm. Herhaling van hierdie proses voor sien onoplosbare tanniene van hoë molekulêre massa.

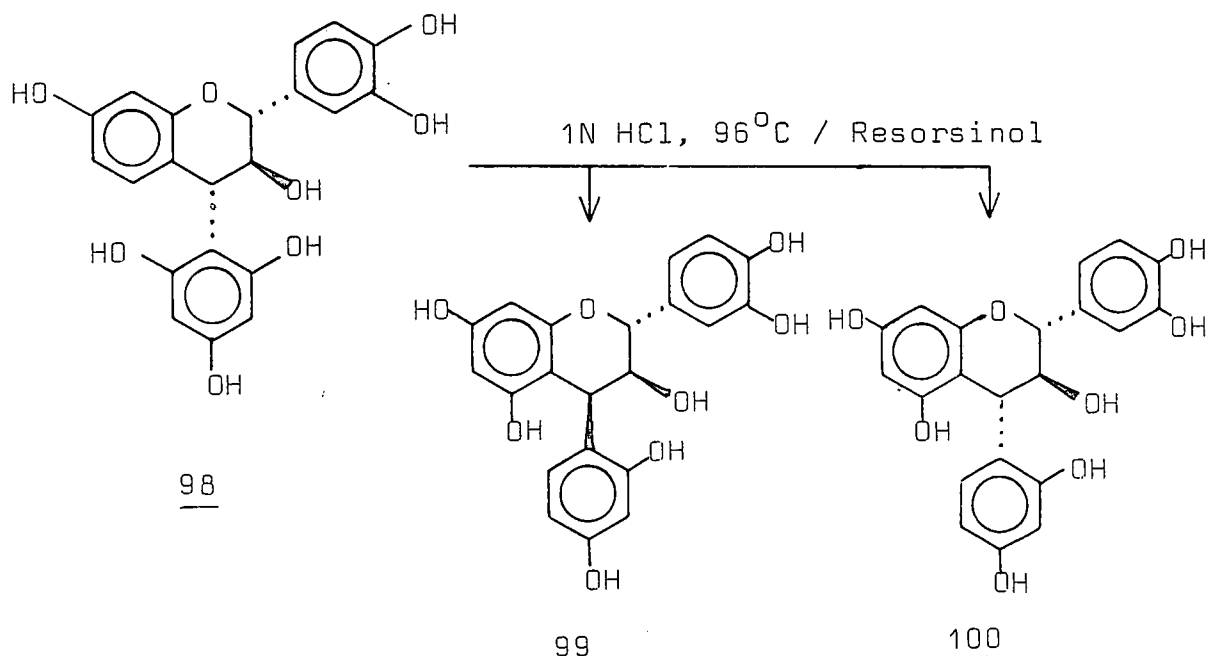


Hierdie interpretasie is gestaaf deur die volgende twee bevindings. Opening van die heterosikliese ring van (+)-katesjien (3) met mineraalsuur<sup>63</sup> (HCl) in teenwoordigheid van oormaat floroglusinol lewer 'n enkele<sup>64</sup> produk 97.



Selfkondensasie van (+)-katesjien (3) onder sterk suur-kondisies het 'n biflavanoïed met (+)-katesjien aan 'n 1,3-diarielpropan-2-ol gekoppel (96), gelewer<sup>65</sup>.

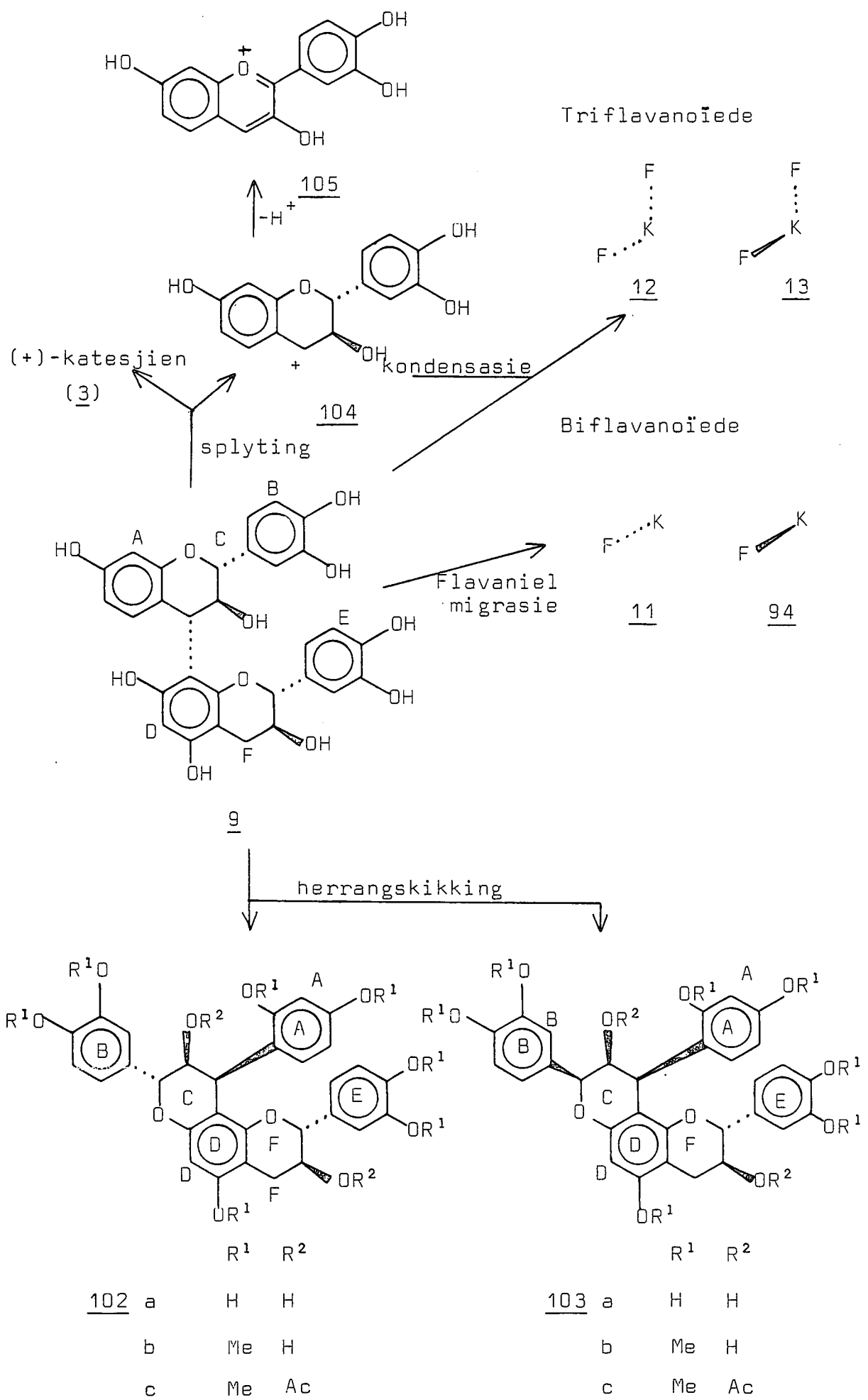
Pogings om resorsinol aan die C<sub>2</sub> posisie van die C<sub>4</sub> ariel produk (98) te koppel, het misluk en is slegs twee produkte 99 en 100 tydens hierdie reaksie geïsoleer<sup>66,67</sup>.



Die geredelike sintetiese beskikbaarheid van die (-)-fisetinidol-(+)-katesjien biflavanoïede (byvoorbeeld 9a) as tipiese tannieneenheid, het dus geleentheid gebied om insae te verkry in sommige aspekte van die meganisme van flobafeenvorming, aangesien meganistiese interpretasie as voorvereiste akkurate kennis van die komplekse tannienstruktuur vereis.

Die [4,8]-*trans*-produk (9a) is aldus in asynsuur onder stikstof vir 24 uur gerefluks. Geen noemenswaardige reaksie is verkry nie. Deur byvoeging van monochloorasyneuur (2 gram in 5 ml CH<sub>3</sub>COOH en 5 ml etanol vir 500 mg van 9), is verskeie produkte (3, 11, 12, 13, 101, 102, 103, 105 en 132) egter verkry.

Die vrystelling van fisetinidiencloried (105) en (+)-katesjien (3) lewer bewys dat ontbinding, naamlik interflavanoïed C-C fragmentasie, plaasgevind het. Die intermediêre karbeniumioon (104) skakel spontaan om na die antosianidien (105), vandaar die term "tanners' reds" wat oënskynlik tydens die looiproses onder suurkondisies ontwikkeld. Die karbeniumioon (104) kondenseer verder met die uitgangsstof (9) om aanleiding te gee tot die triflavanoïede 12 en 13 (struktuur bewys deur vergelyking van kmr-gegewens met dié van outentieke monsters) en vermoedelik daarna tot hoër oligomere waarby alle produkte van migrasie (11 en 132) en herringeskikking (102 en 103) betrokke mag wees.



Die biflavanoïede 11 en 94 (struktuurbewys deur vergelyking van kmr-gegewens met outentieke monsters) ontstaan waarskynlik deur suurgekataliseerde 1,3-flavanielmigrasie. Dit dui daarop dat die [4,6]-binding oënskynlik meer stabiel as die [4,8]-binding is ter bevestiging van die postulaat van McGraw<sup>45</sup>.

Die strukture van die produkte van herrangskikking van die heterosikliese ringsisteem 102c en 103c is hoofsaaklik van kmr en SD-getuienis afgelei. 'n Belangrike verysynsel is die waarneming dat die kamertemperatuur spektra (plate 12 en 13) geen getuienis van rotasie isomerie toon nie met slegs geringe verskerping van die aromatiese protone by verhoogde temperatuur.

Vir besprekingsdoeleindes word die ringe van 102c en 103c genommer volgens die oorspronklike toeseggings in die biflavanoïed 9a.

Aangesien 'n floroglucinol A-ring hoër nukleofiliteit as dié van 'n resorsinol A-ring besit (vergelyk analoë fotochemiese reaksie van 4-ariel flavan-3-ole<sup>68</sup>), ontstaan verbinding 102a deur die aanval van O-7 van die onderste (+)-katesjieneenheid op C<sub>2</sub> van die geprotoneerde heterosikliese ring van die boonste fisetinidoleenheid met behoud van konfigurasie op C<sub>2</sub> as een van twee moontlike hede. Indien die nuwe C-ring 'n 5-punt koplanêre konformasie inneem, is die gevormde dihedriese hoeke in ooreensstemming met die waargenome koppelingskonstantes (plaat

12) (102c), naamlik 10.04 en 6.00Hz vir  $H_{2,3}$  en  $H_{3,4}$  onderskeidelik. Opmerklik in die kmr-spektra is die hoëveld metoksissein ( $\delta$ 3.55) wat aan die  $C_2$ -metoksi van die resorsinol (A-ring) toegeken word. Dreiding modelle vertoon duidelik dat die eter gebonde suurstof van (+)-katesien en die 3-asetoksigroep van die C-ring beide 'n skermende effek op gemelde metoksigroep tydens rotasie sal uitoefen. Die SD-kurwes (plaat 60) vertoon 'n positiewe Cotton-effek by  $\delta_{239}$  ( $\Theta=+1.904$ ) wat 3,4-*cis* stereochemie impliseer<sup>26</sup>.

Verbinding 103a word op dieselfde wyse as 102a gevorm, maar met inversie van konfigurasie op  $C_2$ . Gevolglik moet die 'nuwe' C-ring 'n 'ring flip' ondergaan sodat die  $C_2$ -arielgroep *ekwatoriaal* geleë is en die C-ring nou 'n verdraaide stoelkonformasie aanneem. Die gevormde dihedriese hoeke is sodanig dat klein koppelings verwag word, wat inderdaad in die kmr-spektrum (plaat 13) (103c) weerspieël word met  $J_{3,4}$  1.5Hz. Die hoëveld metoksissein ( $\delta$ 3.52) word aan die  $C_2$ -metoksi van die resorsinolring (A) toegeken weens die invloed van die F-ring suurstof en die C-ring asetoksigroep. Opmerklik egter is die ontskerming van 6-H(A) ( $\delta$ 7.50) in vergelyking met dié van 102c ( $\delta$ 6.79) naamlik  $\Delta\delta$ 0.71. Verklaring vir hierdie verskynsel kan slegs gedoen word as aangeneem word dat die A-ring sodanig roteer dat die 2-OMe groep ver verwyder is vanaf die F-ring. Dit het tot gevolg dat die A-ring 'n posisie inneem waar die

6 proton {6-H(A)} meer onder die invloed van die F-ring suurstof is. In 102c is die betrokke proton, as gevolg van die C-ring konformasie, verder verwyder vanaf die F-ring suurstof as die geval in 103c waar die 6-proton digby dié suurstof verby beweeg met gevolglike ontskerming. Die invloed van die 3-asetoksigroep behoort, volgens modelle, dieselfde vir beide voorgestelde strukture te wees, sodat dit buite rekening gelaat kan word om die verskil in chemiese verskuiwings te verklaar.

Massafragmentasie (skema 8, tabel 11) bevestig die verwagte  $M^+$ -ione ( $m/z$  744 25.5% en 7.5% vir 102c en 103c onderskeidelik) met twee asetoksiverliese ( $M^+ - 60$ ,  $m/z$  684 33.8 en 9.7%;  $M^+ - 2 \times 60$   $m/z$  624 11.3 en 2.9% vir 102c en 103c onderskeidelik).

Hierdie resultate weerspieël dus gedeeltelik die kompleksiteit van reaksies wat tot flobafene lei. Dit moet veral daarop gelet word dat die produkte van herrangskikking van die heterosikliese ring van die (-)-fisetindoleenheid effektief aanleiding gee tot die 'vrystelling' van 'n resorsinoleenheid (A-ring in 102 en 103). Hierdie strukturele faset behoort dus veral kondensasie na onoplosbare en hoogsgekondenseerde oligomere (flobatanniene) te verhaas.

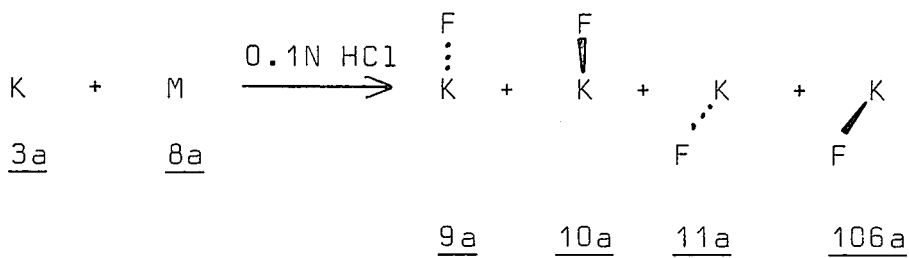
HOOFSTUK 7

SUURGEKATALISEERDE KOPPELING VAN (+)-KATÉSJIEN EN (-)-  
Fisetinidol aan (+)-Mollisacacidien en derivate van (+)-  
Mollisacacidien

## 7.1 Koppeling van (+)-katesjien aan (+)-mollisacacidien

In die oorspronklike werk van Botha<sup>25</sup>, is slegs drie (9, 10 en 11) van die vier moontlike isomere verkry. Aangesien geen opsigtelike rede bestaan vir afwesigheid van die [4,6]-*cis* gekoppelde produk nie, is die reaksie herondersoek en die [4,6]-*cis* produk (106) inderdaad uit die mengsel verkry.

Skeiding van die vryfenoliese reaksiemengsel op dlc plate, duï dat 'n band van lae konsentrasie en effens hoër mobilititeit saam met die reeds geïsoleerde isomere teenwoordig is. Skeiding op Sephadex LH-20 kolomme het die vier isomere in die verhouding  $[4,8]\text{-}trans:[4,8]\text{-}cis:[4,6]\text{-}trans:[4,6]\text{-}cis$  9.9:5.5:2:1 gelewer.



Massafragmentasie bevestig die verwagte  $M^+$ -ioon (106c)  
m/z 744 (9.1%) sowel as die konvensionele prominente

asynsuurverlies (m/z 684 16.3%) en RDA-splyting (skema 9).

Die relatiewe stereochemie en koppelingspunt<sup>53</sup> van 106c volg vanaf kmr-gegewens waar die C<sub>8</sub> proton van (+)-katesjién by laer veld as die C<sub>6</sub> proton in CDCl<sub>3</sub>, (sien onderstaande tabel 5), naamlik δ6.13-6.14 vir H<sub>6</sub> en δ6.30-6.31 vir H<sub>8</sub>, resoneer. Die relatiewe stereochemie van 2,3-*trans*-3,4-*cis* is vanaf koppelingskonstantes (6.4 en 8.0Hz, δDMSO d<sub>6</sub> - plaat 14) bepaal en die absolute stereochemie by C<sub>4</sub>, vanaf SD<sup>26</sup> (plaat 61) met 'n waargenome positiewe Cotton-effek, as 4*R*.

Vergelyking van die chemiese verskuiwings van die 2*R* en 2*S* [(-) en (+)-fisetinidoleenhede] reekse biflavanoïede dui spesifieke patronen aan wat diagnosties vir hoër oligomere blyk te wees. Vir die [4,8]-gekoppelde verbindingen (9c, 107c; 10c, 108c) is Δδ<sub>H-2, H-3</sub> vir die F-ring [(+)-katesjiéneenheid] groter (0.61 en 0.55 vir 10c en 107c onderskeidelik) vir 4*R* absolute konfigurasie as vir 4*S* konfigurasie (0.14 en 0.17 vir 9c en 108c onderskeidelik). Dreiding modelle dui op 'n noue ruimtelike ooreenkoms tussen 10c en 107c. In beide gevalle (2*R*, 4*R*, 2,3-*trans*, 3,4-*cis*, 10c en 2*S*, 4*R*, 2,3-*trans*-3,4-*trans*, 107c) word die 2-H(F) proton geskerm deur beide A-ring en die 3-asetoksigroep wat tydens rotasie relatief naby die 2-H(F) proton verbybeweeg. Vir die 4*S* isomere (9c en 108c) vind soortgelyke skerming van die 2-H(F) proton nie plaas nie. Ooreenstemmende diagnostiese verskui-

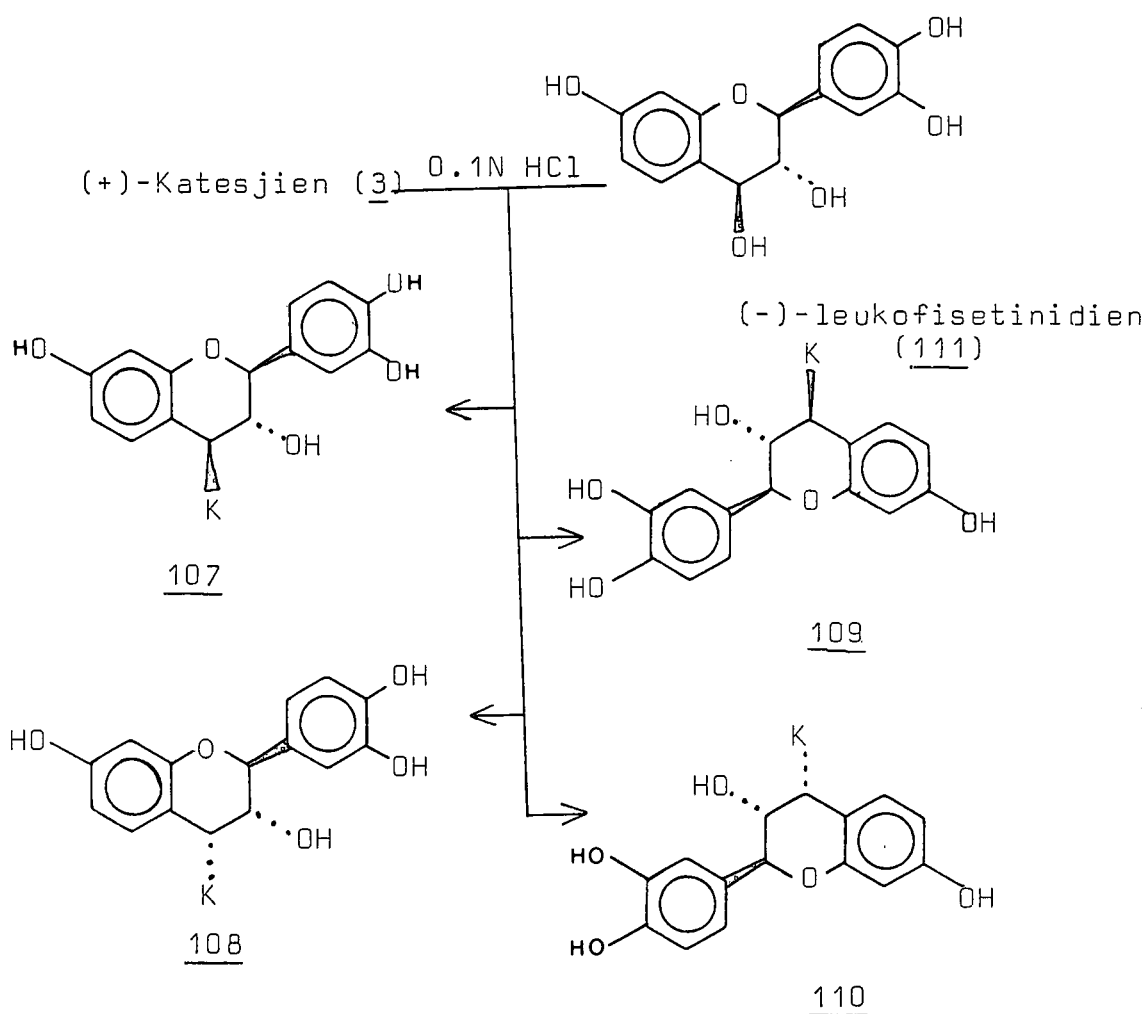
Tabel 5

Relatiewe konfigurasie	Absolute konfigurasie	Chemiese verskuiwing	
		$\delta H-6/H-8^a$	$\Delta\delta_{H-2,H-3}^b$
<u>[4,8]-gekoppel</u>		$\delta H-6$	
2,3-trans-3,4-trans	2S,3R,4R ( <u>107c</u> )	6.20	0.55
	2R,3S,4S ( <u>9c</u> )	6.14	0.14
2,3-trans-3,4-cis	2S,3R,4S ( <u>108c</u> )	6.22	0.17
	2R,3S,4R ( <u>10c</u> )	6.13	0.61
<u>[4,6]-gekoppel</u>		$\delta H-8$	
2,3-trans-3,4-trans	2S,3R,4R ( <u>109c</u> )	6.40	0.17
	2R,3S,4S ( <u>11c</u> )	6.30	0.19
2,3-trans-3,4-cis	2S,3R,4S ( <u>110c</u> )	6.38	0.19
	2R,3S,4R ( <u>106c</u> )	6.31	0.16

a = verskuiwings in  $CDCl_3$  by  $100^\circ C$ b = verskuiwings in  $DMSO-d_6$  by  $150^\circ C$ 

c = waardes vir 2S isomere verskaf deur prof. D.G. Roux en mnr. P.M. Viviers

wings is vir die 'angulêre' triflavanoïede<sup>17</sup> waarneembaar. Verdere uitbouing van hierdie patronen in chemiese verskuiwing tussen 2-H en 3-H van die katesjien-eenheid, word breedvoerig tydens bespreking van die lineêre tri- en tetraflavanoïede en ook die 'angulêre' tetraflavanoïede, bespreek (hoofstukke 8, 9 en 11).

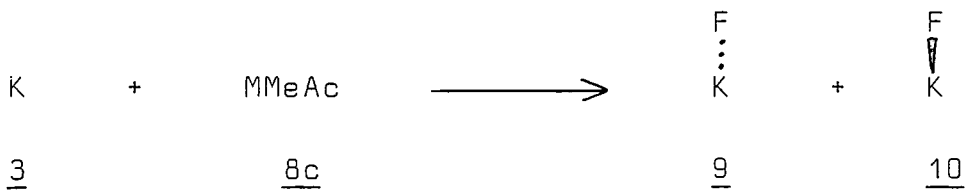


## 7.2 Koppeling van (+)-katesjien aan tri-O-metiel-(+)-mollisacaciendiëasetaat (8c)

Tydens 'n vorige ondersoek waarin (+)-katesjien aan tri-O-metiel-(+)-mollisacacidien gekoppel is (kamertemperatuur,

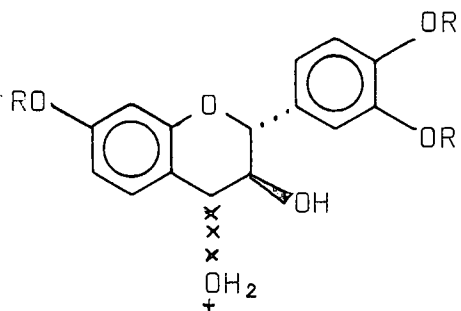
10 dae)<sup>28</sup>, is slegs die [4,8]-*trans* (9) en [4,8]-*cis* (10) biflavanoïede verkry. Hierdie reaksie is dus herondersoek om enersyds vas te stel of die [4,6]-gekoppelde produkte nie voorheen oor die hoof gesien is nie en andersyds om die invloed van die 3-OAc groep op koppeling te bepaal. Laasgenoemde is belangrik, aangesien die diol biflavanoïede (120 - 123, hoofstuk 9) ten beste as metieletertriasetate gereinig word en aldus in koppelings gebruik sou kon word tydens sintese van sommige van die tetraflavanoïede (hoofstuk 11).

Die uitgangstowwe is in metanol (10ml) opgelos en 1N HCl (20 druppels) bygevoeg en die reaksie by 50°C vir 48 uur gelaat. Opmerklik is die verhoging in reaksiesnelheid met verhoging in temperatuur (48 uur teenoor 10 dae by kamertemperatuur). Slegs die [4,8]-*trans* (9) en [4,8]-*cis* (10) produkte (1.86:1.0) is weereens verkry, maar in verhoudings en opbrengs ooreenstemmend met dié tydens vryfenoliese koppeling.



Die uitsluitlike verkryging van die [4,8]-gekoppelde analoë met beide tri-O-metiel-(+)-mollisacacidien en tri-O-metiel-(+)-mollisacaciendiasetaat in teenstelling met [4,8] en [4,6]-gekoppelde produkte tydens vryfenoliese koppeling is moeilik verklaarbaar. Aangesien

'n potensiële C<sub>4</sub> karbeniumioon (112b) afgelei vanaf die metieleter minder stabiel en dus meer reaktief en minder selektief tydens koppeling as die vryfenoliese ekwivalent (112a) behoort te wees, word redelike hoeveelhede van die [4,6]-isomere verwag. Afwesigheid van die [4,6]-analoë is egter gedeeltelik rasionaliseerbaar indien die idee van 'n vry C<sub>4</sub> karbeniumioon tydens koppeling hersien word. Protonering van die bensilieste C<sub>4</sub>-OH groep versterk C<sub>4</sub> as elektrofiel en die mate waar toe eerstgenoemde binding in die transisietoestand deur die naderende nukleofiel verswak word, word bepaal deur faktore wat die potensiële karbeniumioon stabiliseer.

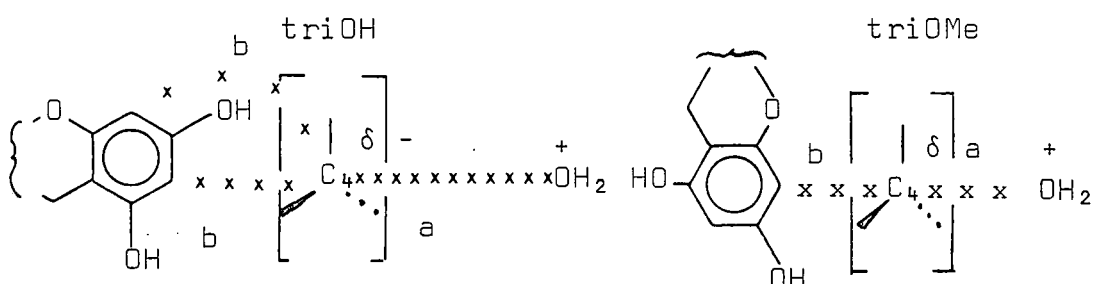


112a R=H

112b R=Me

In die geval van die vryfenol 112a, is die elektronarm C<sub>4</sub> beter gestabiliseer deur die 7-OH as die 7-OMe in 112b sodat reaksie vandie tri-O-metieleter met die nucleofiel dus 'n hoër graad van S<sub>N</sub><sup>2</sup> karakter as in die geval van die vryfenol behoort te vertoon. Dit is

dus logies om te aanvaar dat tydens sodanige proses die kragtigste nukleofiele sentrum van (+)-katesjien<sup>37</sup>, naamlik C<sub>6</sub> benut sal word tydens formele verplasing van die geprotoneerde C<sub>4</sub>-OH. Die volgende twee transisietoestande mag dus 'n aanvaarbare verklaring bied vir die waargenome verskil in regioselektiwiteit tussen die vry fenol (113) en die fenoliese metieleter (114).



113 Bindingsbreking (a) is verder gevorder as bindingsvorming (b), dit is, verhoogde karbeniumioonkarakter van C en dus verlaagde selektiwiteit

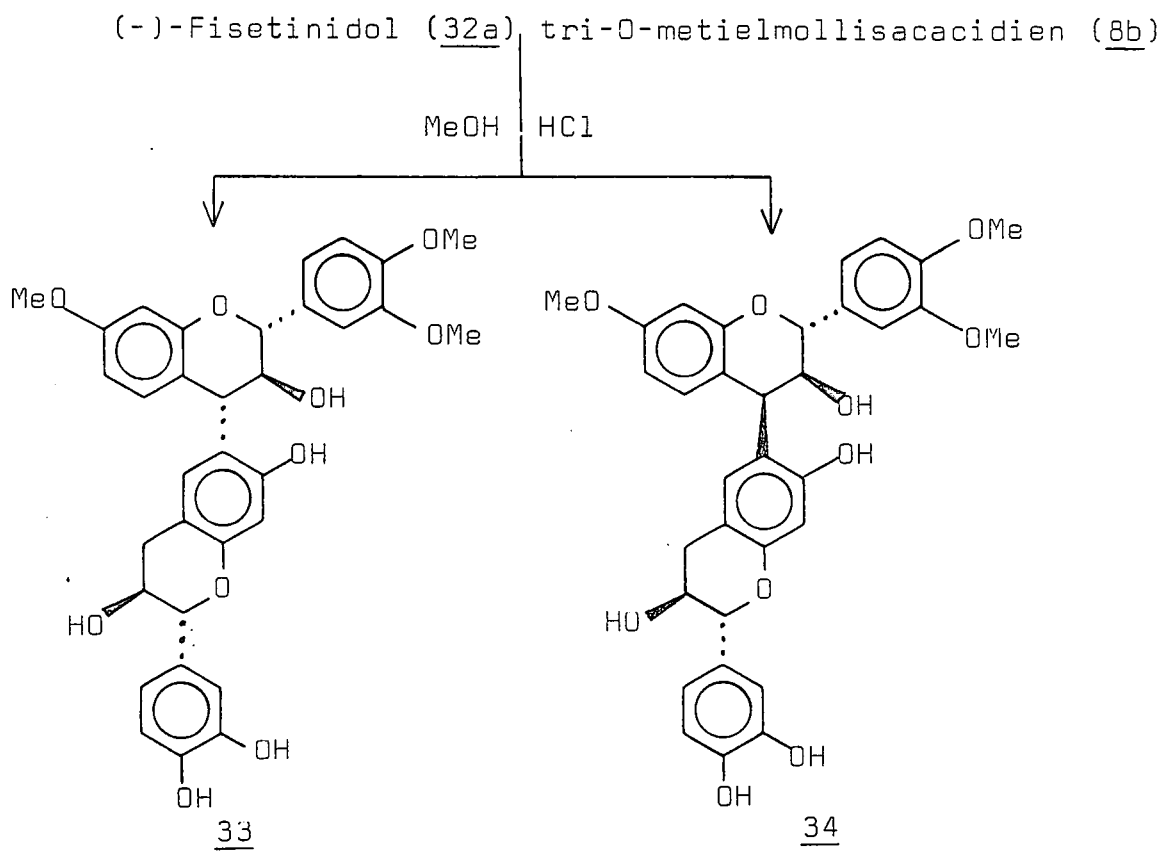
114 Bindingsbreking (a) is afhanglik van en word bepaal deur bindingsvorming (b), dit is verlaagde karbeniumionkarakter en dus verhoogde selektiwiteit

In bostaande bespreking is die invloed van die 3-asetoksigroep buite rekening gelaat. Die grootte van hierdie groep kan 'n rigtende invloed op die naderende nukleofiel uitoefen wat impliseer dat die steries mins verhinderde C<sub>6</sub>-posisie die voorkeur koppelingspunt behoort te wees. Die groter verhindering van C<sub>6</sub> as gevolg van die twee hidroksigroepe is egter nie so dramaties dat geen C<sub>6</sub>-koppeling plaasvind nie.

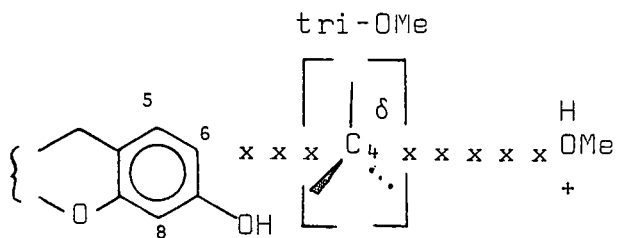
7.3 Koppeling van (-)-fisetinidol (32a) aan tri-O-metiel-(+)-mollisacacidien (8b)

Vryfenoliese koppeling van (-)-fisetinidol (32) aan (+)-mollisacacidien (8) verloop uiters stادig by kamertemperatuur<sup>34</sup> om lae opbrengste van die biflavanoïede 33 (0.10%) en 34 (0.45%), 'n tri- (35) en 'n tetraflavanoïed (36) (sien hoofstuk 2), te lewer. Aanvanklik is opbrengste van 6.9 en 2.5% gerapporteer<sup>25</sup> vir 33 en 34 onderskeidelik wanneer reaksie by kamertemperatuur vir 2 uur uitgevoer is. Hierdie resultate kon egter tydens verskeie pogings nie herhaal word nie.

In hierdie ondersoek is 33 en 34 met verhoogde opbrengs naamlik 7.39 en 5.44% onderskeidelik verkry tydens koppeling van tri-O-metiel-(+)-mollisacacidien (8b) aan (-)-fisetinidol (32a) vir 3½ dae by 50°C.



Oppervlakkig beskou, kan die verhoogde opbrengs in die geval van koppeling van (-)-fisetinidol aan tri-O-metiel-(+)-mollisacacidien toegeskryf word aan die minder stabiele en dus meer reaktiewe C<sub>4</sub>-karbeniumioon. Dit word egter weerspreek deur die resultate onder 7.2 bespreek. Noukeurige waarneming van reaksieverloop met behulp van dlc duï op aansienlike vorming van C<sub>4</sub>-metieletter van die trimetieletter deur solvolise (metanol as oplosmiddel). Aangesien die geprotoneerde C<sub>4</sub>-OMe (effektief metanol) 'n beter verlatende groep as die geprotoneerde C<sub>4</sub>-OH (effektief HOH) is, impliseer dit dat die C<sub>4</sub> van eersgenoemde 'n verhoogde karbeniumioon karakter as in die geval van die geprotoneerde C<sub>4</sub>-OH analoog besit (115) en vertoon dus verhoogde elektrofiele karakter om aanleiding tot versnelde reaksietempo te gee.



115

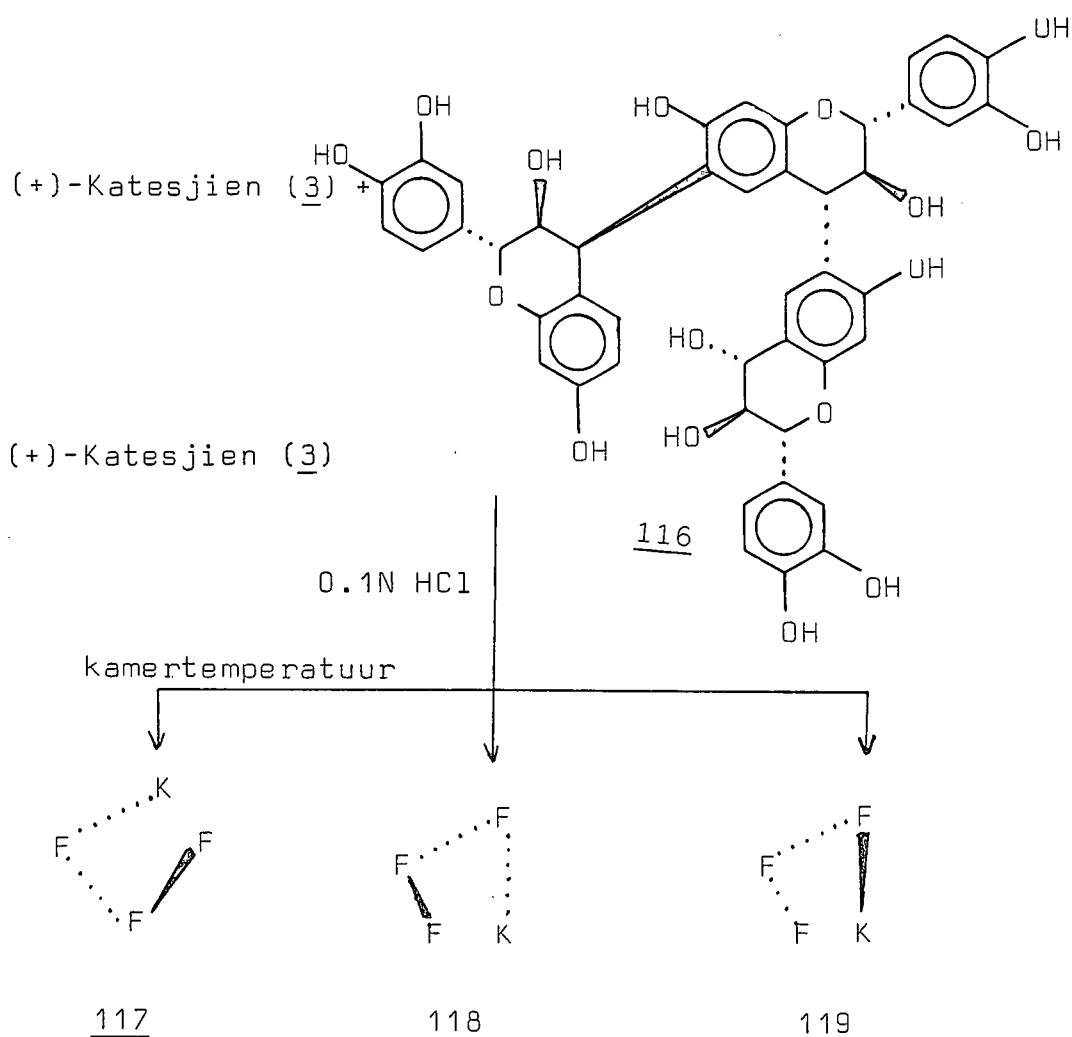
Die transisietoestand vir hierdie koppeling, dit is die mate waartoe die interflavanoiedbinding gevorm (b) en die C<sub>4</sub>-O-binding (a) gebreek is, lê dus érens tussen 113 en 114 onder 7.2 bespreek.

Alhoewel in hierdie tipe reaksies selfkondensasie van die flavan-3,4-diol grotendeels beperk word, is die nadeel egter dat die gevormde biflavanoïede nie verder as nukleofiel gebruik kan word waar gekontroleerde kondensasies uitgevoer moet word nie. Veranderde kondisies om resorsinol A-ring biflavanoïede in genoegsame opbrengste te lewer, is dus nodig. In 'n reaksie wat op klein skaal gedoen is, blyk dit dat die biflavanoïede met  $\text{BF}_3$  as Lewissuur, vinniger en met redelike opbrengs vorm. Hierdie reaksie moet egter opgevolg en op groter skaal uitgevoer word.

-----ooOoo-----

HOOFSTUK 8SINTESE VAN LINEËRE TETRAFLAVANOÏEDE

Aangesien die angulêre<sup>17</sup> en lineêre<sup>24</sup>-triflavanoïede uit *A. mearnsii* nie op fenoliese vlak skeibaar is nie, is die vryfenoliese mengsel saam met (+)-katesjien in 0.1N HCl opgelos. Die doel van die reaksie was tweerlei van aard, naamlik om modelverbindings van hoër oligomere daar te stel en tweedens om vas te stel of daar slegs 'n enkele triflavanoïed met diol terminale funksie (116) in *A. mearnsii* teenwoordig is.



Aangesien (+)-katesjien 'n sterker nukleofiel as die (-)-fisetinidoleenheid in die angulêre triflavanoïede is, word dus hoofsaaklik lineêre tetraflavanoïede uit die reaksie verwag. Die geïsoleerde tetraflavanoïede uit hierdie reaksie (117 - 119) is aldus aan kmr-studie onderwerp ter bepaling van hul strukture.

Struktuurtoekenning van die metieleterasetate 117c en 118c is aan die hand van die volgende oorwegings gedoen. Die lae veld heterosikliese triplette ( $\Sigma J$  20.0 en 19.0Hz onderskeidelik; met aanname van 'n halfstoel konformasie) in die spektra van 117c en 118c (plate 20 en 21) ( $\delta$  5.91 en 5.83 onderskeidelik), impliseer 3,4-*trans* stereochemie van die heterosikliese ring aan (+)-katesjien gekoppel. Geen afleidings kon vanaf  $^1H$  CDCl<sub>3</sub>-spektra in verband met koppelingspunt aan (+)-katesjien (C<sub>6</sub> of C<sub>8</sub>) gemaak word nie sodat toekenning van [4,6] en [4,8]-koppeling van 117c en 118c onderskeidelik op grond van verwagte opbrengste gemaak is. Dit is bekend dat die C<sub>8</sub>-posisie van (+)-katesjien sterker nukleofiliese as C<sub>6</sub> is, en dat die orde van koppeling [4,8]-*trans* > [4,8]-*cis* >> [4,6]-*trans* > [4,6]-*cis* is, sodat dit aanvaar kan word dat hierdie toeseggings redelik na aan korrek is. Die res van die stereochemie van C<sub>6</sub>-[*cis-trans-trans*] tetraflavanoïed 117c kan vervolgens maklik vanaf die  $^1H$  kmr-spektrum (plaat 20  $\delta$ DMSO) afgelei word met 'n triplet ( $\delta$  5.53,  $\Sigma J$  19.0Hz; halfstoel konformasie) en 'n doebplet van doeblette ( $\delta$  5.16, J 6.75 en 5.75Hz, verdraaide boot konformasie) wat sonder twyfel uitgeken kan word. As

gevolg van oorvleueling van die heterosikliese protone van die C<sub>8</sub>-[*cis-trans-trans*] isomeer 118c kon die sisteme wat *trans* en *cis* stereochemie aandui, nie bo twyfel uitgeken word nie. Indien egter aanvaar word dat die geïdentifiseerde diol triflavanoïed 116 die oorwegende isomeer van hierdie tipe is (as na die opbrengs van diol biflavanoïede gelet word, is dié met 3,4 *cis* interflavanoïed stereochemie in die meerderheid en hierdie stereochemie inhibeer verdere koppeling tydens selfkondensasie reaksies<sup>24</sup>), is die voorgestelde struktuur wat die hoofproduk van die reaksie is, nie vergesog nie.

Verkryging van die profisetinidien 119c derivaat uit die kondensasie reaksie, dui daarop dat die lineêre 3,4-dioltiflavanoïed 116 waarskynlik nie die enigste sodanige profisetinidien in *A. mearnsii* is nie. Hierdie stelling word op grond van die <sup>1</sup>H kmr-spektrum van 119c (plaat 22, δDMSO 170°C) gedoen omdat 'spin tickling' eksperimente aangetoon het dat die triplet by δ5.65 twee 3-H protone verteenwoordig en dus aanduidend is van twee 3,4-*trans* aansluitings ( $\Sigma J$  18.0Hz) in die molekuul. Hierdie triplet lê na hoër veld as in die geval van 3,4-*trans* koppeling aan (+)-katesjien (δ5.91 en 5.83 vir 117c en 118c onderskeidelik) sodat hierdie 3,4-*trans* stereochemie dus tussen twee van die drie (-)-fisetinidoleenheide moet wees. 'n Doeblet van doeblette (δ5.34, J<sub>3,4</sub> 4.5Hz) dui op 'n 3,4-*cis* aansluiting met die (+)-katesjieneenheid. Indien die

tentatiewe toeseggings as korrek aanvaar word, is  $\Delta\delta_{H_2-H_3}$  0.43 vir die C-ring van (+)-katesjien relatief groot wat aldus op [4,8]-*cis* koppeling dui.

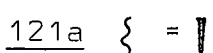
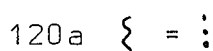
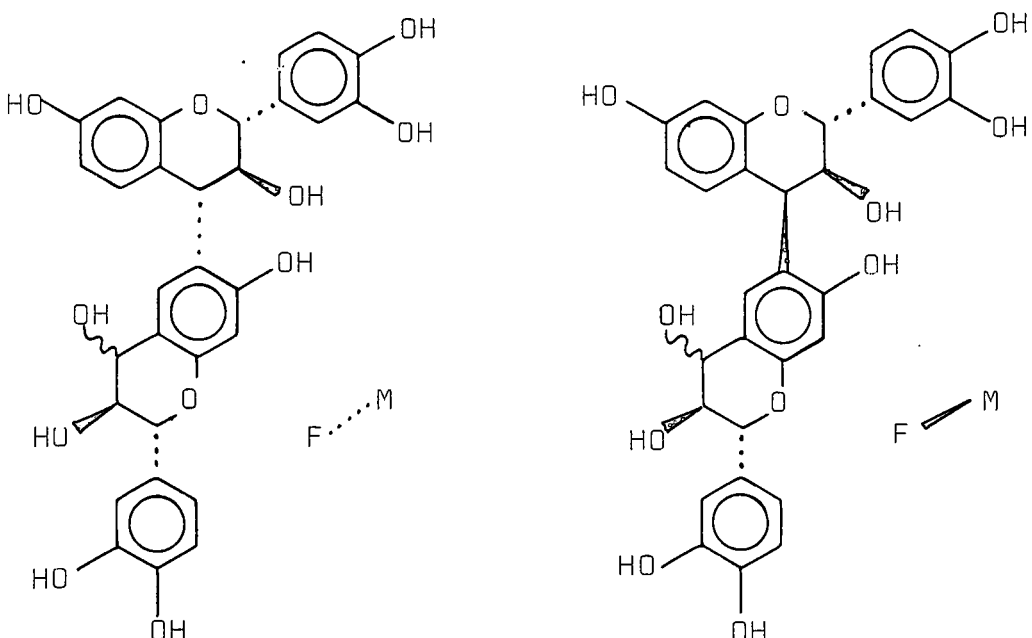
SD-spektra (plaat 62) van die C<sub>6</sub>-[*cis-trans-trans*] lineêre tetraflavanoïed 117c toon 'n hoë amplitude negatiewe Cotton-effek ( $\lambda 228, \theta -18.75 \times 10^4$ ), terwyl dié van die C<sub>8</sub>-[*cis-trans-trans*] isomeer 118c (plaat 63) 'n laer amplitude negatiewe Cotton-effek ( $\lambda 237, \theta -3.33 \times 10^4$ ) toon wat moontlik 3,4-*trans* stereochemie aan (+)-katesjien dui. Vir die C<sub>8</sub>-[*trans-trans-cis*] isomeer 119c word 'n hoë amplitude positiewe (plaat 63) Cotton-effek ( $\lambda 236, \theta 11.24 \times 10^4$ ) verkry wat moontlik 3,4-*cis* koppeling impliseer.

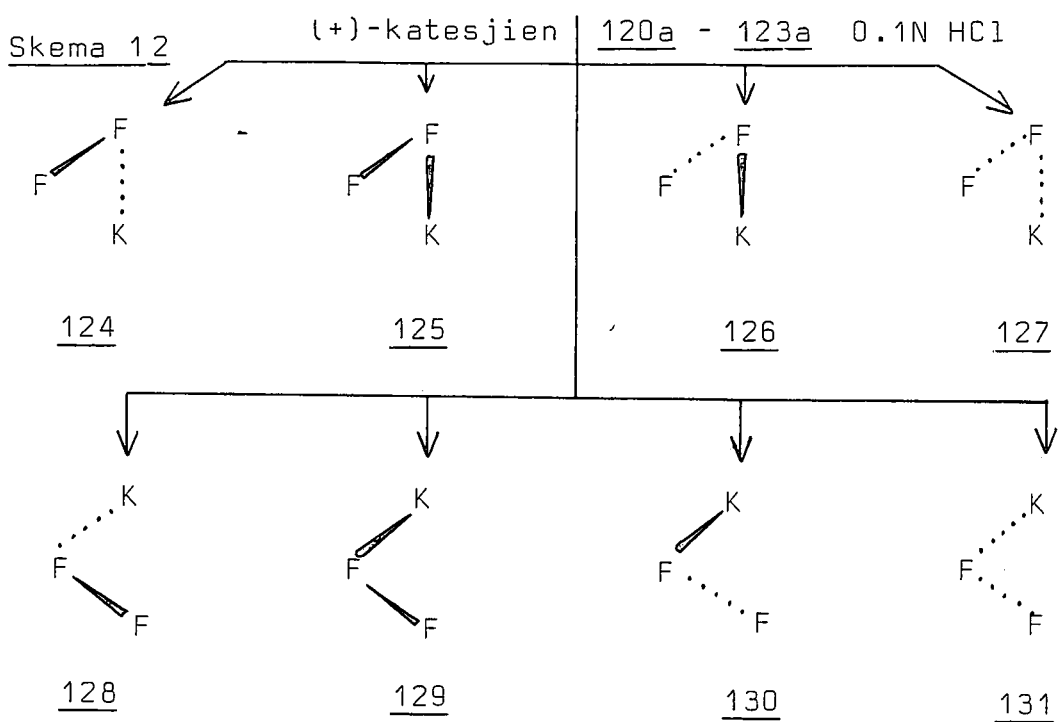
Dit moet egter beklemtoon word dat SD-spektra op hierdie vlak nie as diagnosties beskou kan word nie en dat die struktuurtoekennings vanaf kmr-getuienis nie as akkuraat beskou kan word nie, aangesien die beskikbare materiaal te min was om ekstensiewe ontkoppelingseksperimente by verhoogde temperatuur (170°C) uit te voer.

Massaspektrometrie (skema 10 tabel 12) toon prominente 4xRDA fragmentasies (m/z 568 26.7 en 1.1% vir 117c en 119c onderskeidelik) en daaropvolgende metoksiverliese (m/z 537 21.2, 2.7 en 11.4% vir 117c, 118c en 119c onderskeidelik), terwyl horizontale splytingsfragmente (m/z 743, 713, 387 en 357) redelik prominent vertoon.

HOOFSTUK 9SINTESE VAN LINEËRE TRIFLAVANOÏEDE

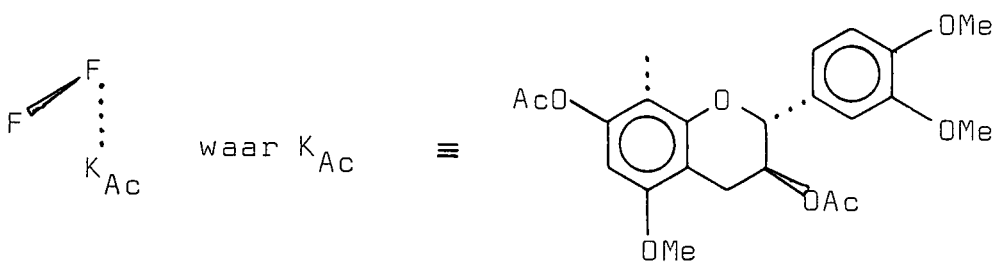
Met hierdie reaksies is gepoog om vryfenoliese lineêre triflavanoïede [koppeling van (+)-katesjien aan (-)-fisetinidol-(+)-mollisacacidiendiol biflavanoïede (120 - 123)] daar te stel om as nukleofiel te dien vir kondensasie met (+)-mollisacacidien tydens tetraflavanoïed sintese. Sukses van hierdie benadering is afhanklik van skeibaarheid van die produkte as vry fenole (124 - 131) en eenduidige bewys van stereochemie en koppelingspunt.





Volgens skema 12 is dit dus teoreties moontlik om agt lineêre profisetinidiene (124 - 131) vanaf die reaksie te verkry. Na verwagting sou trimere 124 en 125 die hoofprodukte verteenwoordig, aangesien biflavanoïede met 3,4-*cis* aansluiting (122 en 123) oorheersend<sup>24</sup> in die mengsel voorkom (vergelyk koppeling van (+)-mollisacaciëndien<sup>25</sup>). Triflavanoïede 128 en 129 sou dus teen laer en triflavanoïede 126, 127, 130 en 131 teen uiters lae konsentrasie vorm.

DLC-skeiding van die reaksiemengsel het twee bande gelewer (5.3% en 24.5% gebaseer op massa diol biflavanoïede) waarvan die hoofband (24.5%) na metilering en asetilering twee produkte 124c en 132c (1:4.4) gelewer het.

132c

<sup>1</sup>H kmr-spektra ( $\delta$ DMSO, 150°C, plaat 27) van die C<sub>8</sub>-[*cis-trans*-bifisetinidol] trimeer 124c, toon 'n triplet by  $\delta$ 5.85 ( $\Sigma$ J 19.5Hz) tipies van 3,4-*trans*-koppeling aan (+)-katesjien en die kenmerkende doeblet van doeblette ( $\delta$ 5.35, J<sub>3,4</sub> 4.5Hz - C-ring) vir die 3,4-*cis*-koppeling tussen die (-)-fisetinidoleenhede. Vanaf die CDCl<sub>3</sub> spektrum (plaat 28) is die singulet by  $\delta$ 6.03 aanduidend van [4,8]-koppeling aan (+)-katesjien<sup>53</sup>, 'n resultaat wat te wagte is aangesien hierdie die hoofproduk van die reaksie is.

Massaspektrometrie (tabel 13, skema 11) is in ooreenstemming met die voorgestelde struktuur met die moederioon (m/z 1100, 6.8%), asetoksiverliese ( $M^+ - 59$  m/z 1039, 75.1%) en asynsuur verliese ( $M^+ - 2 \times 60$ , m/z 980, 7.7%). Die asetoksiverliese word aan die bensiliese aard van C<sub>3</sub> toegeskryf aangesien C<sub>2</sub> bensilies en C<sub>4</sub> dubbeld bensilies is. Belangrike fragmente is dié van horisontale splytings m/z 743(2.2%), 357(5.4), 387(3.7%) wat daarop dui dat die A-ring van (+)-katesjien mono-gesubstitueerd

(m/z 387) is.

Die SD van 124c (plaat 64) toon 'n negatiewe Cotton-effek by 217 nm wat aandui dat C<sub>4</sub>,<sub>8</sub> flavanielkoppeling die Cotton-effek bepaal.

Die kmr-spektrum vandie C<sub>6</sub>-[3,4-*cis*:3,4-*trans*-bifisetinidol] derivaat 132c (plaat 26, δDMSO 150°C) toon soortgelyke heterosikliese patronen as dié van 124c met dié verskil dat vier asetoksiseine (δ2.05, 1.84, 1.71 en 1.50) waarneem word. Toekenning van die fenoksi asetoksigroep van O<sub>7</sub> van (+)-katesjien is aan die hand van modelle gedoen wat toon dat die betrokke hidroksifunksie in die vryfenol 'n waterstofbinding met die π-sisteem van die nabyleë D-ring vorm om aldus metilering daarvan te inhibeer.

Massaspektrometrie (skema 11, tabel 13) dui op 'n m/z 1008-foon (M<sup>+</sup> 1128-2x60) en veral beduidende fragmente vanaf horizontale slytings, naamlik m/z 771 (1.5%) en 415 (771 - 356). Laasgenoemde bevestig die (+)-katesjiendiasetaateenheid wat vervolgens asynsuur (m/z 355, 5.9%) en daaropvolgende asetoksi (m/z 296, 2.2%) verlies ondergaan.

Die SD-spektrum (plaat 65) is soortgelyk aan dié van 124c (plaat 64).

Die kmr-spektrum van die C<sub>6</sub>-[3,4-*cis*:3,4-*trans*-bifisetinidol] triflavanoïed 128c toon net soos dié van die C<sub>8</sub>-[3,4-*cis*:3,4-*trans* bifisetinidol] isomeer 124c 'n lae veld he-

terosikliese triplet ( $\delta$ 5.85,  $\Sigma J$  19.0Hz) tiperend van 2,3- en 3,4-*trans*-koppeling van (+)-katesjien en 'n doblet van doblette ( $\delta$ 5.34,  $J_{3,4}$  4.75Hz) wat 3,4-*cis*-koppeling tussen die (-)-fisetinidol eenhede impliseer. Die chemiese verskuiwing van die aromatiese singulet by  $\delta$ 6.16 (teenoor 6.03 vir die [4,8]-gekoppelde isomeer 124c) in die  $^1H$  kmr-spektra ( $\delta$ CDCl<sub>3</sub>, 100°C, plaat 25) impliseer [4,6]-binding aan die (+)-katesjieneenheid.

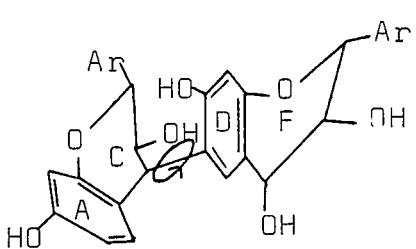
Bestudering van die  $^1H$  kmr-spektrum van die [4,6]-[3,4-*trans*:3,4-*cis*-bifisetinidol] triflavanoïed 130c ( $\delta$ DMSO, plaat 23) toon 'n triplet ( $\delta$ 5.56,  $\Sigma J$  18.0Hz) tipies van 3,4-*trans*-koppeling aan 'n (-)-fisetinidoleenheid (sien plaat 19, [4,6]-*trans*-bifisetinidol) en 'n triplet met klein koppelingskonstantes ( $\delta$ 5.37,  $\Sigma J$  13.0Hz, half-stoel konformasie) wat 3,4-*cis*-koppeling impliseer. Aangesien  $\Delta\delta_{H_2-H_3}$  0.09 vir die (+)-katesjien I-ring klein is, kan vanaf vorige waarnemings ((+)-katesjien-(-)-fisetinidolbiflavanoïede) aanvaar word dat kondensasie 3,4-*cis* aan C<sub>6</sub> van (+)-katesjien plaasgevind het. Vir 130c is die CDCl<sub>3</sub> spektrum minder diagnosties van aard en kan die bindingspunt aan die (+)-katesjieneenheid nie bo twyfel gedefinieer word nie as gevolg van verbreding van seine weens beperking op rotasie wat by 100°C steeds nie opgehef is nie.

Die SD-spektrum van die [4,6]-[3,4-*trans*:3,4-*cis*-bifisetinidol] isomeer 130c (plaat 64) toon 'n hoë amplitude positiewe Cotton-effek ( $\lambda$ 241 nm) wat 3,4-*cis* stereochemie

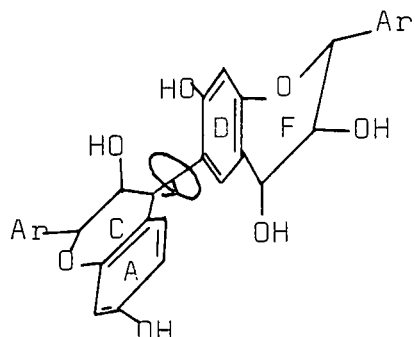
aan die (+)-katesjien eenheid ondersteun. Vir die  $6-[3,4\text{-}trans:3,4\text{-}cis\text{-}bifisetinidol]$  trimeer (128c) word egter ook 'n positiewe Cotton-effek verkry ( $\lambda 232$ ) wat teenstrydig is met die postulasie dat die koppelingspunt aan (+)-katesjien die teken van die Cotton-effek bepaal. So is vir die  $C_8\text{-}3,4\text{-}trans$  (124c) en  $C_8\text{-}3,4\text{-}trans$  (132c) triflavanoïede die verwagte negatiewe en soos, pas vermeld, positiewe Cotton-effek vir  $C_6\text{-}3,4\text{-}cis$  triflavanoïed (130c) verkry. Dit is duidelik dat alhoewel meeste van die hoër oligomere (sien hoofstuk 11, sintese van 'Angulêre' tetraflavanoïede) verwagte Cotton-effekte toon, daar ten spyte van normale koppelingskonstantes<sup>68</sup> uitsonderings is. Op hoër oligomeriese vlak word die interpretasie van SD-spektra met huidige korrelasies meer kompleks, minder konsekwent en dus minder betroubaar.

Uit hierdie sintetiese resultate is dit opvallend dat 'n  $3,4\text{-}cis$  interflavanoïed stereochemie van die diolbiflavanoïede (122 en 123) deurgaans  $3,4\text{-}trans$  aan (+)-katesjien koppel, terwyl die  $3,4\text{-}trans$  isomere,  $3,4\text{-}cis$  aansluiting tot gevolg gehad het. Bestudering van die ooreenstemmende Dreiding modelle gee nie eenduidige uitsluitsel rakende bogenoemde spesifieke kondensasiepatroon nie. 'n Moontlike verklaring hiervoor is dat vir die  $3,4\text{-}cis$  (C-ring)-diolbiflavanoïedisomere (122 en 123) die A-ring van die 6-flavaniëleenheid tydens rotasie

bokant die vlak van die D- en F-ringe nader aan die C<sub>4</sub>-posisie (F-ring) beweeg (sien figuur 1) as wanneer dit in 'n posisie onder hierdie vlak verkeer. Eersgenoemde oriëntasie bevoordeel dus by uitstek *trans*-aansluiting. Vir die 3,4-*trans* isomere (120 en 121) daarenteen, is die A-ring nader aan die C<sub>4</sub> (F-ring)-posisie wanneer dit in die omgewing onderkant die gemelde vlak verkeer wat so doende aanleiding gee tot preferensiële *cis*-aansluiting (figuur 2).

Figuur 13,4-*cis* (C-ring)

A-ring nader aan C<sub>4</sub> aan die bokant van die vlak deur die D- en F-ringe

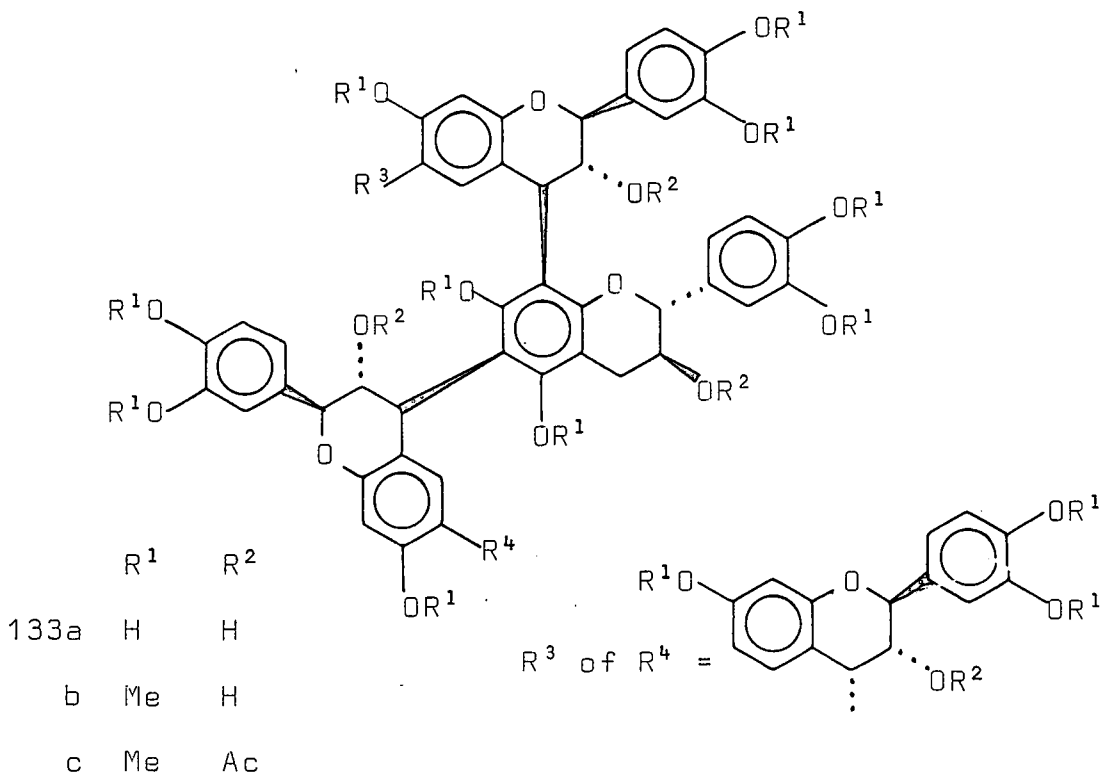
Figuur 23,4-*trans* (C-ring)

A-ring nader aan C<sub>4</sub> aan die onderkant van die vlak deur die D en F-ringe

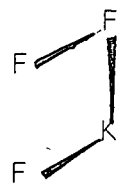
Dit moet egter beklemtoon word dat aangesien slegs drie (124, 128 en 130) van die moontlike agt isomere verkry is, sommige van die produkte, veral triflavanoïed 126, moontlik oor die hoof gesien is.

HOOFSTUK 10ISOLASIE VAN TETRAFLAVANOÏEDE UIT A. MEARNSSII

Die eerste profisetinidientype tetraflavanoïed (133) waarvan die struktuur gedeeltelik opgeklaar\* is, is reeds in 1969 uit *Rhus lancea*<sup>61</sup>, verkry. In 'n vorige ondersoek van die kernhout van *A. mearnsii* is onder ander drie hoër oligomere geïsoleer<sup>28</sup> waarvan met behulp van MS getuienis tentatief tetraflavanoïed strukture toegesê is. Tydens die huidige ondersoek is vier tetraflavanoïede (134 - 137) geïsoleer waarvan twee (134 en 135) identies is aan dié voorheen geïsoleer.



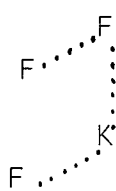
\* Die tetraflavanoïed bevat 'n angulêre en nie 'n lineêre struktuur<sup>61</sup> soos oorspronklik aangetoon nie. Persoonlike mededeling prof. D.G. Roux



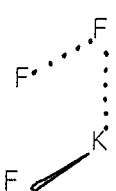
134



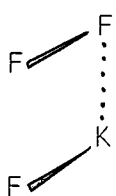
135



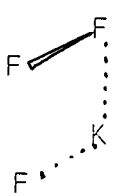
136



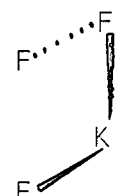
137



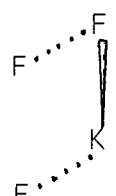
138



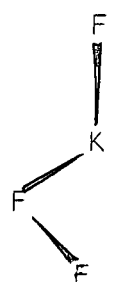
139



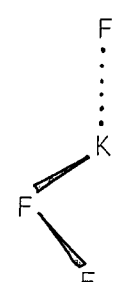
140



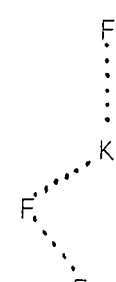
141



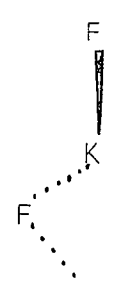
142



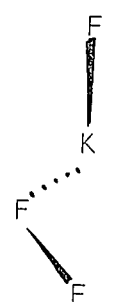
143



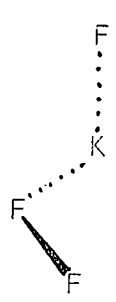
140



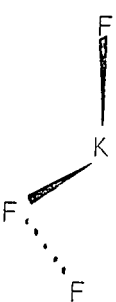
145



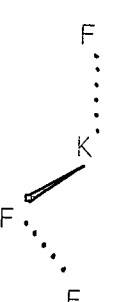
146



147



148



140

Strukture 134 - 149 verteenwoordig die sestien teoretiese moontlike struktuurisomere van tetraflavanoïede saamgestel uit (+)-katesjien en (-)-fisetinidoleenhede. Hieruit is die problematiek rakende identifikasie met eens duidelik, aangesien die koppelingspunt ( $C_6$  of  $C_8$ ) van die bifisetinidoleenheid nie vanaf kmr-spektra afgelei kan word nie. Hierdie probleem is deur sintese (sien hoofstuk 11) opgelos waardeur plasing van die bifisetinidoleenheid in die geïsoleerde isomere (134 - 137) bo twyfel as  $C_8$  vasgestel is en die stereochemie van al die bindingspunte deur 80MHz kmr bepaal. Dit moet beklemtoon word dat in onderstaande bespreking slegs enkele karakteristieke kmr-patrone uitgelig word en dat hierdie parameters eers na sintese (hoofstuk 11) sinvol toegepas kon word vir strukturbepaling.

KMR-spektra (80MHz) van die alles 3,4-*cis*-verbinding 134c toon 'n hoë mate van beperking op rotasie. By  $170^{\circ}\text{C}$  ( $\delta\text{DMSO}$ , plaat 29) is hierdie beperking steeds nie opgehef nie, maar vertoon die heterosikliese gebied, hoewel kompleks, egter herkenbare patronen. Opvallend is die afwesigheid van enige lae veld ( $\delta \sim 5.45$  - 5.90) triplette, tiperend van 3,4-*trans* stereochemie in een of meer van die samestellende eenhede. Twee triplette met  $\Sigma J$  15.9 en 15.0Hz (op aanname van 'n halfstoel konformasie) is egter na hoër veld ( $\delta 5.47$  en 5.45) waarneembaar wat, ten spyte van die relatiewe groot koppelingskonstantes, 3,4-*cis* stereochemie aandui. 'n Doeblet van doeblette

(J5.75 en 6.75Hz, op aanname van 'n verdraaide boot konformasie), is verder tipies van 'n 2,3-trans-3,4-cis stereochemie. Ekstensiewe oorvleueling van die res van die heterosikliese protonseine, behalwe vir die H<sub>2</sub> doeblette, bemoeilik verdere interpretasie. Vier afsonderlike asetoksiseine is egter duidelik herkenbaar. Hoë magneetveld kmr ondersoekte (500MHz) was nie geskik om die heterosikliese gebied op te klaar nie as gevolg van nog hoër temperatuurvereistes om 'vinnige' rotasie te bewerkstellig. Hierdie verskynsel is vir al die sintetiese en geïsoleerde tetraflavanoïede behalwe vir 135c ondervind. Die 500MHz <sup>1</sup>H kmr-spektra van 135c word egter in hoofstuk 11 verder bespreek.

Hierdie verskynsel van hoër temperatuurvereistes by hoër magneet veld word aan die volgende toegeskryf<sup>x</sup>.

Met lynverbreding, word konformasie ekwilibrering op 'n middelmatige tot vinnige tydskaal waargeneem. Op die aanname dat twee isomere (konformere) oorheers, sal die chemiese verskuiwings van die protone van die twee konformere verskil. Proton i besit verskuiwings (in Hz)  $v_i^A$  en  $v_i^B$  in die konformere A en B. Indien die eerste-orde spoed van konformasionele uitruiling  $k_{uitruil} >> \frac{2\pi}{v_i^A - v_i^B}$  is, word die buite grens vir vinnige rotasie genader.

<sup>x</sup>

Persoonlike mededeling dr. W.E. Hull, Bruker, Wes-Duitsland

Noue resonansabsorbsies word verkry vir 'n verskuiwing

$v_{gem.} = P_A v_i^A + P_B v_i^B$  waar  $P_A$  en  $P_B$  die fraksies van A en B verteenwoordig. Aangesien  $v_i$  in Hz gemeet word, moet daar na hoër temperatuur by hoër veldsterktes beweeg word om die bestaande ongelykheid te bevredig.

Wanneer  $k_{uitruil} > \frac{2\pi}{v_i^A - v_i^B}$  is, word twee seine verkry;

een vir elke konformeer met lynwydte eweredig aan  $k_{uitruil}$ .

Wanneer  $k_{uitruil}$  slegs effens vinniger as  $v_i^A - v_i^B$  is, word

'n breë saamgesmelte resonans verkry met 'n lynwydte

eweredig aan  $(v_i^A - v_i^B)^2$  en omgekeer eweredig van die kinetika.

Massaspektrometrie (tabel 14, skema 12) toon 'n  $M^+ - 60 - 59$  ioon (m/z 1337) van 0.3% aan terwyl 'n RDA-60 piek (m/z 1278 0.6%) diagnosties is.

In teenstelling met 134c toon die 80MHz-spektra van die [8]-alles,3,4-*cis*-[6]-3,4-*trans* analoog 135c by kamertemperatuur (plaat 30) vier asetoksiseine van gelyke intensiteit wat aldus dui op 'n 'starre' struktuur<sup>69</sup>. Opmerklik is dat definisie in die spektrum verswak met 'n toename in temperatuur. By 170°C is slegs geronde, nie-interpreteerbare seine sigbaar. Verder moet gelet word dat 'n hoë veld heterosikliese doeblet ( $\delta 4.13$ ), tipies van [4,8]-3,4-*cis*-koppeling aan die (+)-katesjien-eenheid, voorkom, maar dat die koppelingskonstante (J9.5Hz) abnormaal groot vir 'n 2-H van (+)-katesjien is. 'n Triplet by lae veld ( $\delta 6.14$ ), tipies van 'n 3,4-*trans*-eenheid aan C<sub>6</sub> van (+)-katesjien, met koppelingskonstante van 9.5Hz,

kan by kamertemperatuur waargeneem word. Die res van die heterosikliese gebied oorvleuel egter sodanig dat onweerlegbare toeseggings nie moontlik is nie. Massaspektrometrie (skema 14, tabel 12) toon 'n  $M^+-60-59$ -ioon aan (m/z 1337, 0.5%) terwyl horisontale (m/z 743 0.3% en 653 (715-60), 0.4%) en RDA-splytings diagnosties is.

In 'die geval van die alles-3,4-*trans*-isomeer 136c, volg die relatiewe stereochemie direk vanaf die  $^1H$  kmr-spektra (80MHz, plaat 33) waar drie triplette ( $\delta$  5.92, 5.90 en 5.47) almal met koppelingskonstantes van 9.5Hz in die laeveld heterosikliese gebied diagnosties is. Die twee oorvleuelende triplette (5.92 en 5.90) is soortgelyk aan dié by die alles-3,4-*trans*-[6,8]-bifisetinidol-(+)-katesjien trimeer<sup>17</sup> (12). Die triplet by 5.47 resoneer in dieselfde gebied as dié vir die [4,6]-gekoppelde 3,4-*trans* bifisetinidol dimeer 33c (plaat 19). Toekenning van die res van die heterosikliese seine is met behulp van 'spin tickling' eksperimente moontlik gemaak (sien tabel 17, plaat 33 en hoofstuk 11). Massaspektrometrie toon  $M^+-59$  (m/z 1397 0.5%) en m/z 683 (horisontale splyting -60, 15%) pieke (skema 12, tabel 14) wat diagnosties is.

Die heterosikliese gebied van die  $^1H$  kmr (80MHz,  $\delta$  DMSO, plaat 32) van die [8]-alles-3,4-*trans*-[6]-3,4-*cis* analoog 137c toon 'n lae veld heterosikliese triplet ( $\delta$  6.06  $J_{3,4}$  9.5Hz) wat aanduidend is van 3,4-*trans*-koppeling (half-stoel konformasie) aan C<sub>8</sub> van (+)-katesjien, 'n hoër veld triplet ( $\delta$  5.47,  $J_{3,4}$  10.0Hz) wat beduidend van 3,4-*trans*-

koppeling tussen twee fisetinidoleenhede en 'n doeblet van doeblette ( $\delta$  5.50 J 8.0 en 6.5 Hz, verdraaide bootkonformasie) wat 'n 3,4-*cis* stereochemie impliseer. Toekening van die res van die seine, is soos in die vorige geval, met 'spin tickling' eksperimente moontlik gemaak. Massafragmentasie van 137c toon 'n  $M^+$ -59 (m/z 1397, 0.5%) piek, m/z 357 ((-)-fisetinidoleenheid van splyting 0.4%) en 1039 ( $M^+ - (-)$ -fisetinidol-60, 0.7%) wat aanduidend van 'n tetraflavanoïedskelet is.

Vergelyking van die SD-kurwes (plaat 66) van die 3,4-alles-*cis*- (134c) met die 3,4-alles-*trans*-tetraflavanoïed (136c) toon dat die Cotton-effek vir 134c (positief) feitlik 'n spieëlbeeld van 136c (negatief) is. Struktuur 135c het die teenoorgestelde stereochemie (3,4) as 137c, dit wil sê vir 135c is die stereochemie van die bifisetinidoleenheid aan die 8-posisie van (+)-katesjien deurgaans 3,4-*cis* terwyl dit 3,4-*trans* in die geval van 137c is. Net so is die (-)-fisetinidoleenheid aan die C<sub>6</sub>-posisie 3,4-*trans* vir 135c en 3,4-*cis* vir 137c. Vir 135c word 'n sterk positiewe (plaat 68) Cotton-effek ( $\lambda$  244,  $\Theta = 4.45 \times 10^4$ ) en vir 137c 'n groot negatiewe (plaat 67) Cotton-effek ( $\lambda$  217,  $\Theta = -21.93 \times 10^4$ ) waargeneem wat impliseer dat dié effek deur die stereochemie op C<sub>8</sub> van die (+)-katesjieneenheid oorheers en bepaal word.

Isolasie van bostaande tetraflavanoïede impliseer dat met verbeterde eksperimentele tegnieke die mindere komponente in plantekstrakte meer noukeurig bestudeer kan word en dat uitdagings daargestel word om al die moontlike struk-

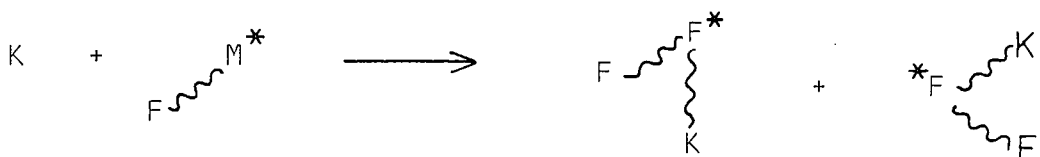
tuurismere te isolateer en te sintetiseer. DLC-skeiding van die metieleters is minder bevredigend, aangesien bande moeilik waarneembaar is sodat minder prominente bande oor die hoof gesien word. 'n Verdere nadeel is dat bande verbreed is wat 'n groot mate van oorvleueling teweegbring. Vir die effektiewe skeiding van hoë oligomere op die metieleterstadium sal dus beslis alternatiewe skeidingsmetodes soos hoë-druk kolomchromatografie oorweeg moet word.

-----ooOoo-----

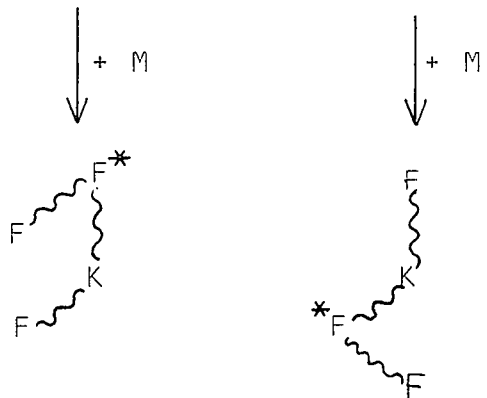
HOOFSTUK 11SINTESE VAN ANGULÊRE TETRAFLAVANOÏEDE11.1 Inleiding

Die kompleksiteit van die  $^1\text{H}$  kmr-spektra van die natuurlike angulêre tetraflavanoïede en die inherente gebreke van die metode op verbindings van hierdie tipe (sien hoofstuk 10), het reeds vroeg die dringendheid van 'n sintetiese metode waardeur die stereochemie by die koppelingspunt bepaal kon word, beklemtoon. Verskeie sintetiese benaderings om die bindingspunt van die biflavanieleenheid asook die relatiewe stereochemie te bepaal, is moontlik, waarvan die volgende ondersoek is.

- i) Kondensasie van die flavan-3,4-diolbiflavanonoïede aan (+)-katesjien:



3a      120-123



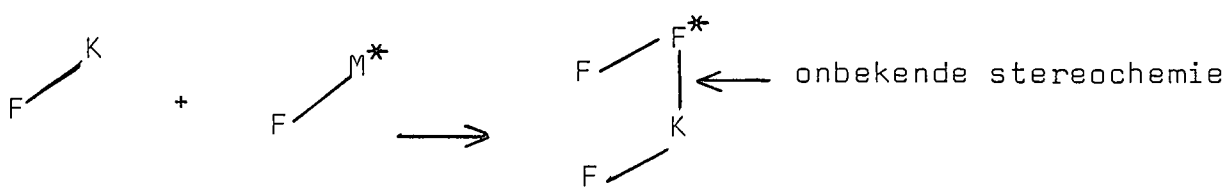
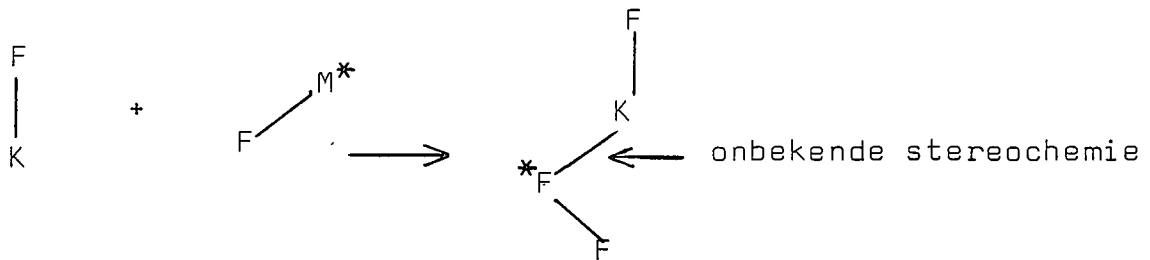
Hierdie strategie sou al die moontlike lineêre triflava-noëde (hoofsaaklik C<sub>8</sub> gekoppel) lewer (hoofstuk 9) om na kondensasie met (+)-mollisacacidien die tetraflavanoëde daar te stel. Hierdie benadering word egter gekortwiek deur die feit dat die mengsel van gevormde lineêre triflavanoëde nie vryfenolies op silika skeibaar is nie sodat die bindingspunte en relatiewe stereochemie van hierdie potensiële sintone onbekend is. Voorts word groot hoeveelhede van die natuurlike diol biprofisetini-diene vir die eerste stap vereis om genoegsame hoeveelhede eindproduk te verseker.

ii) Kondensasie van die metieletertriasetaat-derivate van die diolbiflavanoidede met [4,6] en [4,8]-gekoppelde (-)-fisetinidol-(+)-katesjienbiflavanoidede:

Die suksesvolle kondensasiereaksie van (+)-katesjien met (+)-mollisacacidientri-O-metieleterdiasetaat (hoofstuk 7) het aanleiding gegee tot bogenoemde kondensasie. Hierdie metode word egter beperk deur enersyds die lae kon-sentrasie van die natuurlike 3,4-*trans* (interflavanoïed-binding)-diolbiflavanoidede en andersyds die feit dat die diole met 'n 3,4-*cis* interflavanoïedbinding uitsluitlik 3,4-*trans* aan (+)-katesjien koppel.

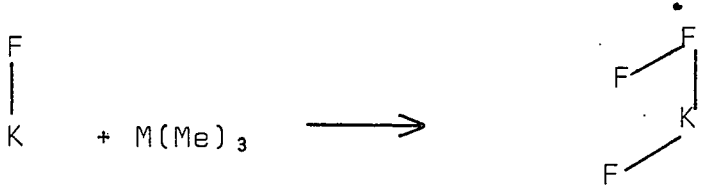
Hierdie tipe kondensasies hou egter die voordeel in dat die probleem van stereochemie gereduseer word tot bepa-ling van die stereochemie by die punt van koppeling tus-

sen die twee biflavaniëleenhede.



iii) Kondensasie van tri-O-metiel-(+)-mollisacacidien met [4,8]-(-)-fisetinidol-(+)-katesjienbiflavanoïede

Aangesien die reaksiesekwense onder (ii) genoem nie tot die natuurlike tetraflavanoïede geleid het nie, is die vryfenoliese (-)-fisetinidol-(+)-katesjien biflavanoïede aan reaksie met 'n oormaat tri-O-metiel-(+)-mollisacacidien onderwerp om sodoende die vier geïsoleerde tetraflavanoïede te sintetiseer.

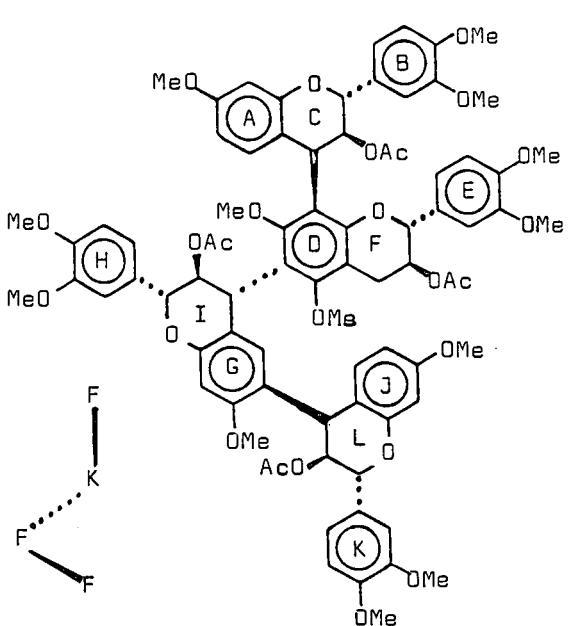
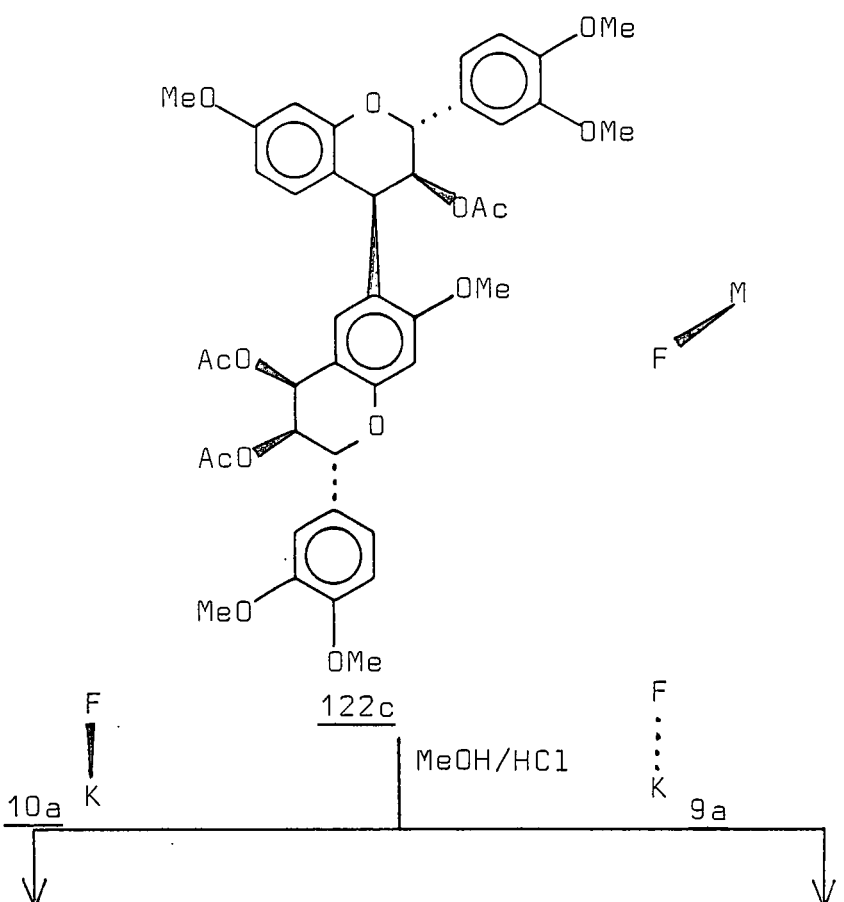


11.2 [4,6]-Bi-(-)-fisetinidol-[4,8]-(-)-fisetinidol-tetraflavanoïede

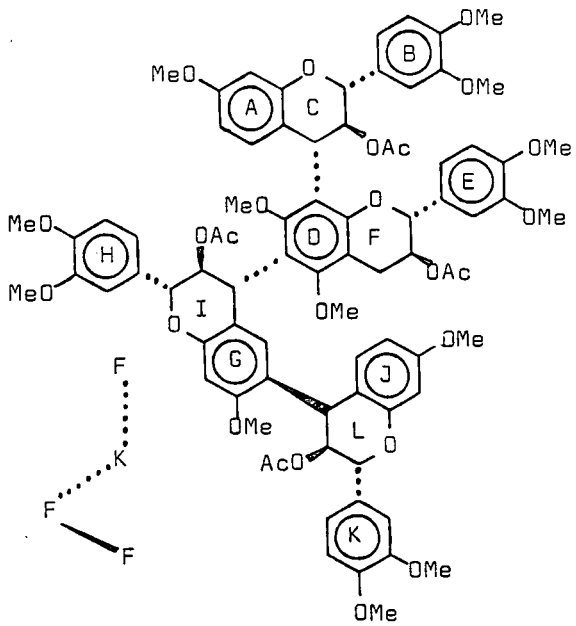
Die [4,6]-bi-(-)-fisetinidol tetraflavanoïede 146 en 147 is gesintetiseer deur afsonderlike kondensasie van die 3,4-*cis*:3,4-*cis*(-)-fisetinidol-(+)-mollisacacidienmetiel=etertriasetaat (122c) met vryfenoliese [4,8]-3,4-*cis* (10a) en 3,4-*trans* (9a) (-)-fisetinidol-(+)-katesjienbiflavanoïede in metanol/HCl.

'n Opvallende kenmerk van die  $^1\text{H}$  kmr-spektrum (80MHz, plaat 34,  $\delta$ DMSO) van die 6-[(3,4-*cis*:3,4-*trans*)-bifisetinidol]-8-[3,4-*trans*-fisetinidol]-tetraflavanoïed (147c) is die afwesigheid van die verwagte twee 3-H lae veld triplette 3-H(C) en 3-H(I). In stede hiervan vertoon die spektrum dat die 3-H(I) proton as 'n triplet by  $\delta$ 5.17 wat abnormaal hoog vir 'n *trans*aansluiting aan die A-ring van (+)-katesjien is. Uit die spektra sou dit eerder blyk dat die stereochemie vir die bifisetinidoleenheid omgeruil behoort te word om struktuur 149 te gee. Aangesien hierdie metode van tetraflavanoïedsintese die stereochemie van die punte van aansluiting uitgesluit dié van die koppelingspunt, tussen die twee biflavanoïedeenhede bo verdenking stel, bestaan weinig twyfel aangaande die korrektheid van struktuur 147c. Uitgebreide en noukeurige 'spin tickling' eksperimente het toeseggings van alle heterosikliese protone moontlik gemaak.

Die kmr-spektra van die [6]-3,4-*cis*-3,4-*trans*-bifisetini-



146c



147c

dol-[8]-3,4-*cis*-fisetinidol tetraflavanoïed 146c (80MHz, plaat 35) toon die verwagte heterosikliese spin sisteme met triplette (met aanname van 'n halfstoel konformasie) by 65.97 (3,4-*trans* aan C<sub>6</sub> van (+)-katesjien, J<sub>3,4</sub> 9.5Hz) 65.49 (3,4-*cis* aan C<sub>6</sub> van (+)-katesjien, J<sub>3,4</sub> 6.75Hz) en 'n doblet van doblette (verdraaide bootkonformasie) by 65.37 (3,4-*cis* interfisetinidolkoppeling, J<sub>3,4</sub> 5.0Hz). Uitgebreide 'spin tickling' eksperimente het toeseggings van alle heterosikliese protone moontlik gemaak.

Indien die verskil in chemiese verskuiwing tussen die H<sub>2</sub> en H<sub>3</sub> protone van die (+)-katesjieneenheid beskou word, is dit opmerklik dat Δδ<sub>H<sub>2</sub>-H<sub>3</sub></sub> 0.10 en 0.88 vir 147c en 146c onderskeidelik is. Hierdie waardes is in ooreenstemming met dié vir die (-)-fisetinidol-(+)-katesjien dimere (hoofstuk 7). Hierdie verskil is, soos gemeld, vir 2R oligomere deurgaans heelwat groter vir [4,8]-*cis* as vir [4,8]-*trans* gekoppelde produkte. Die 2-H(F) proton (2-H van die (+)-katesjieneenheid) van 146c kom, soos in die geval van die [4,8]-3,4-*cis*-biflavanoïed 10c, in die hoë veld heterosikliese gebied net links van die metoksi= seine voor om tydens temperatuurverhoging na laer veld te verskuif.

Die SD-spektrum van 147c (plaat 70) toon 'n negatiewe Cotton-effek by λ237.5 nm ( $\Theta=-4.34\times10^4$ ), terwyl dié van 146c 'n groot positiewe Cotton-effek by λ230 nm ( $\Theta=14.9\times10^4$ ) toon. Dit wil dus voorkom dat alhoewel die bifisetini= doleenheid aan die C<sub>6</sub>-posisie van (+)-katesjien gekoppel

is, die (-)-fisetinidoleenheid aan C<sub>8</sub> gebind die teken van die Cotton-effek bepaal. As die bifisetinidoleenheid dié effek bepaal het, moes 'n negatiewe effek vir 146c voorgekom het. Die verskil in intensiteit ( $-4.34 \times 10^4$  teenoor  $+14.9 \times 10^4$  vir 146c en 147c onderskeidelik) kan egter nie op hierdie wyse verklaar word nie. Die molekule op tetraflavanoïedvlak is egter so kompleks met drie C<sub>4</sub> chirale punte waar die aromatiese kwadrantreeël toepas kan word om die Cotton-effekte te bepaal sodat dit 'n waagstuk is om intensiteite te probeer verklaar.

Massaspektrometrie van 147c toon 'n asynsuurverlies ( $M^+ - 60$  m/z 1396, 0.6%) en asetoksiverliese ( $M^+ - 2 \times 59$ , m/z 1338, 0.6%) terwyl RDA-splytings met asynsuurverlies gepeارد gaan ( $M^+ - 222 - 60 = m/z$  1174 0.3%). Horisontale splytings (m/z 743 0.3% en 713 1.0%) is verder ondersteunend van die basiese skelet (sien skema 12, tabel 14). Massaspektrometrie van 146c toon  $M^+ - 60 - 59$  (m/z 1337, 0.3%), RDA-59-59 (m/z 1116, 0.4%), m/z 684 (743-59) en 593 (713-60-60) fragmente.

### 113 [4,8]-Bi-(-)-fisetinidol-[4,6]-(-)-fisetinidol tetraflavanoïede

Hierdie tetraflavanoïede is op twee verskillende wyses gesintetiseer naamlik:

- i) Kondensasie van die metieletertriasetaat derivate van die diolbiflavanoïed (122c) met [4,6]-(-)-fisetinidol-(+)-katesjienbiflavanoïede en

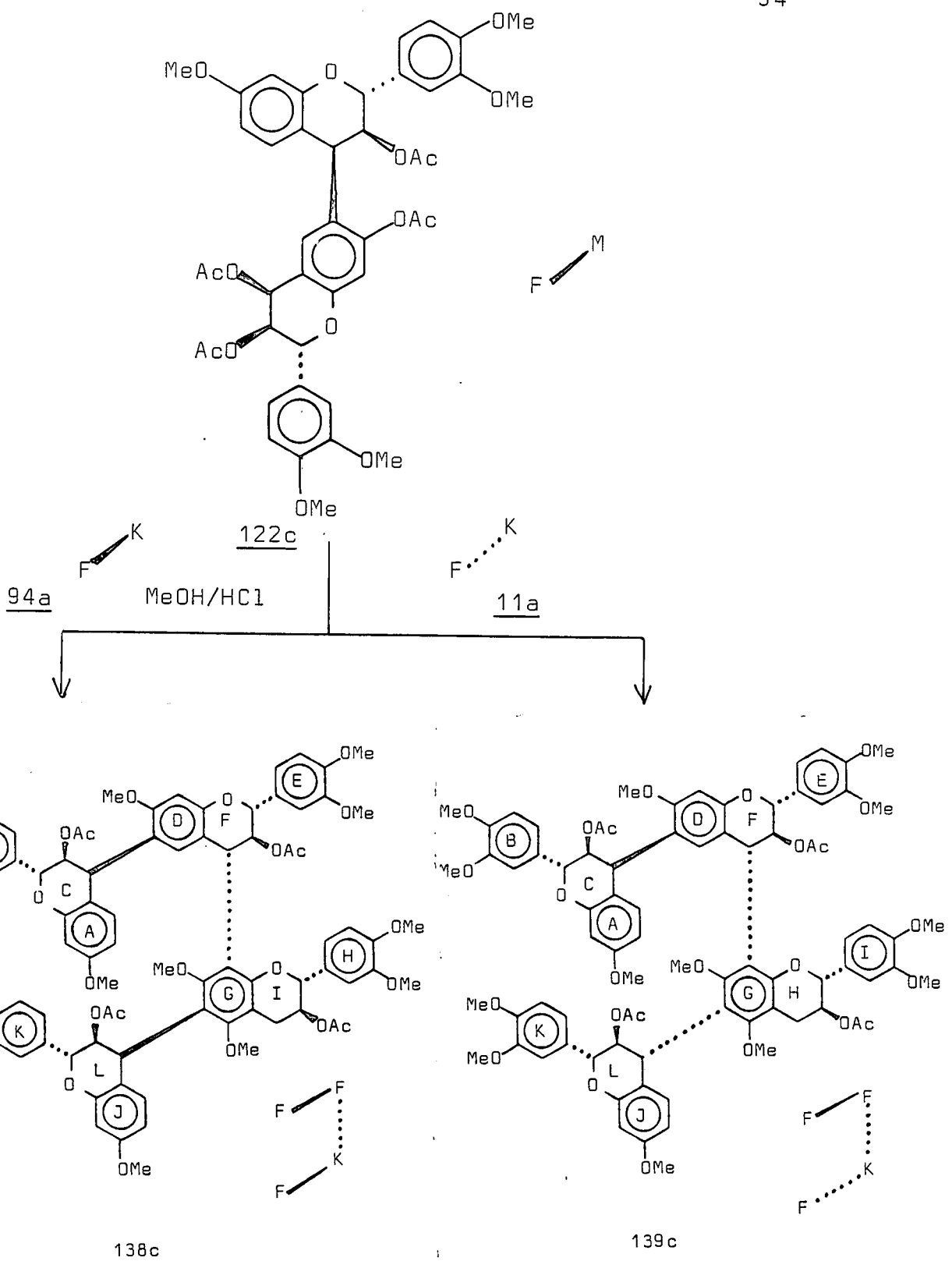
ii) Reaksie van 'n oormaat tri-*O*-metiel-(+)-mollisacacidien met [4,8]-(-)-fisetinidol-(+)-katesjienbiflavanoïede

11.3.1 Koppeling van 3,4-*cis*:3,4-*cis*-metieleter-triasetaat-(-)-fisetinidol-(+)-mollisacacidienbiflavanoïed (122c) met [4,6]-(-)-fisetinidol-(+)-katesjienbiflavanoïede

Afsonderlike reaksie van die [4,6]-3,4-*cis* (94a) en [4,6]-3,4-*trans*-(-)-fisetinidol-(+)-katesjien (11a) biflavanoïede met die 3,4-*cis*:3,4-*cis*-diolbiflavanoïed (122c) het die tetraflavanoïede 138 en 139 onderskeidelik gelewer.

Soos in die geval van tetraflavanoïede 146c en 147c is die heterosikliese gebied van die 80MHz kmr-spektra van 138c ( $\delta$ DMSO, plaat 36) met behulp van uitgebreide 'spin tickling' eksperimente volledig opgeklaar. Die lae veld heterosikliese triplet ( $\delta$ 5.75,  $J_{3,4}$  10.0Hz) is tiperend van 'n 3,4-*trans* aansluiting aan die A-ring van (+)-katesjien en aangesien 'n  $\Delta\delta_{H_2-H_3}$  0.12 waarde vir die I-ring [(+)-katesjieneenheid] waargeneem word, is hierdie 3,4-*trans* eenheid aan die 8-posisie van (+)-katesjien gekoppel.

In teenstelling met die [6]-(3,4-*cis*:3,4-*trans*-bifisetinidol)-[8]-3,4-*trans*(-)-fisetinidol tetraflavanoïed 147c toon die kmr-spektra van die [8]-(3,4-*cis*-3,4-*trans*-bifisetinidol)-[6]-3,4-*trans*-(-)-fisetinidol tetraflavanoïed 139c ( $\delta$ DMSO, plaat 37) twee oorvleuelende lae veld heterosikliese triplette ( $\delta$ 5.88 en 5.84) wat 'n aanduiding is



van 3,4-*trans* stereochemie aan beide die C<sub>6</sub> en C<sub>8</sub>-posisies van (+)-katesjien. Met noukeurige 'spin tickling' eksperimente kon die heterosikliese spin sisteme van hierdie triplette van mekaar onderskei word. In hierdie geval is  $\Delta\delta_{(H_2-H_3)I}$  0.21 klein en dus ondersteunend van [4,8]-3,4-*trans*-koppeling.

Die SD-spektrum van 138c (plaat 69) toon 'n positiewe Cotton-effek by  $\lambda$ 237 nm wat teen verwagting is omdat vir tetraflavanoiede 134c, 135c, 136c, 137c, 146c en 147c die stereochemie by C<sub>8</sub> van (+)-katesjien die teken van die Cotton-effek oënskynlik bepaal. Net so vir 139c word 'n positiewe Cotton-effek in die SD-spektrum (plaat 68) by  $\lambda$ 241 nm in stede van die verwagte negatiewe effek waargeneem. Hierdie teenstrydigheid beklemtoon die feit dat SD nie op hoër oligomeriese vlak met die huidige SD reëls diagnosties van aard is. Net so kan die lae golflengtegebied ( $\lambda$ 200-220 nm) ook nie buite rekening gelaat word nie en word verdere noukeurige ondersoek vereis.

Massaspektrometrie (skema 12, tabel 14) van 138c lewer 'n M<sup>+</sup>-ioon (m/z 1456, 0.3%) met asynsuur (m/z 1396, 20%) en asetoksi (m/z 1337, 4.6%) verliese terwyl horizontale fragmentasie (m/z 743, 1.4% en 713-2x60 (m/z 593, 0.7%) beduidend is. Vir 139c word asetoksi (m/z 1397, 1.6%), asynsuur (m/z 1396, 3.3%) en horizontale splaytings (m/z 743, 1.3% en 713 1.8%) waargeneem.

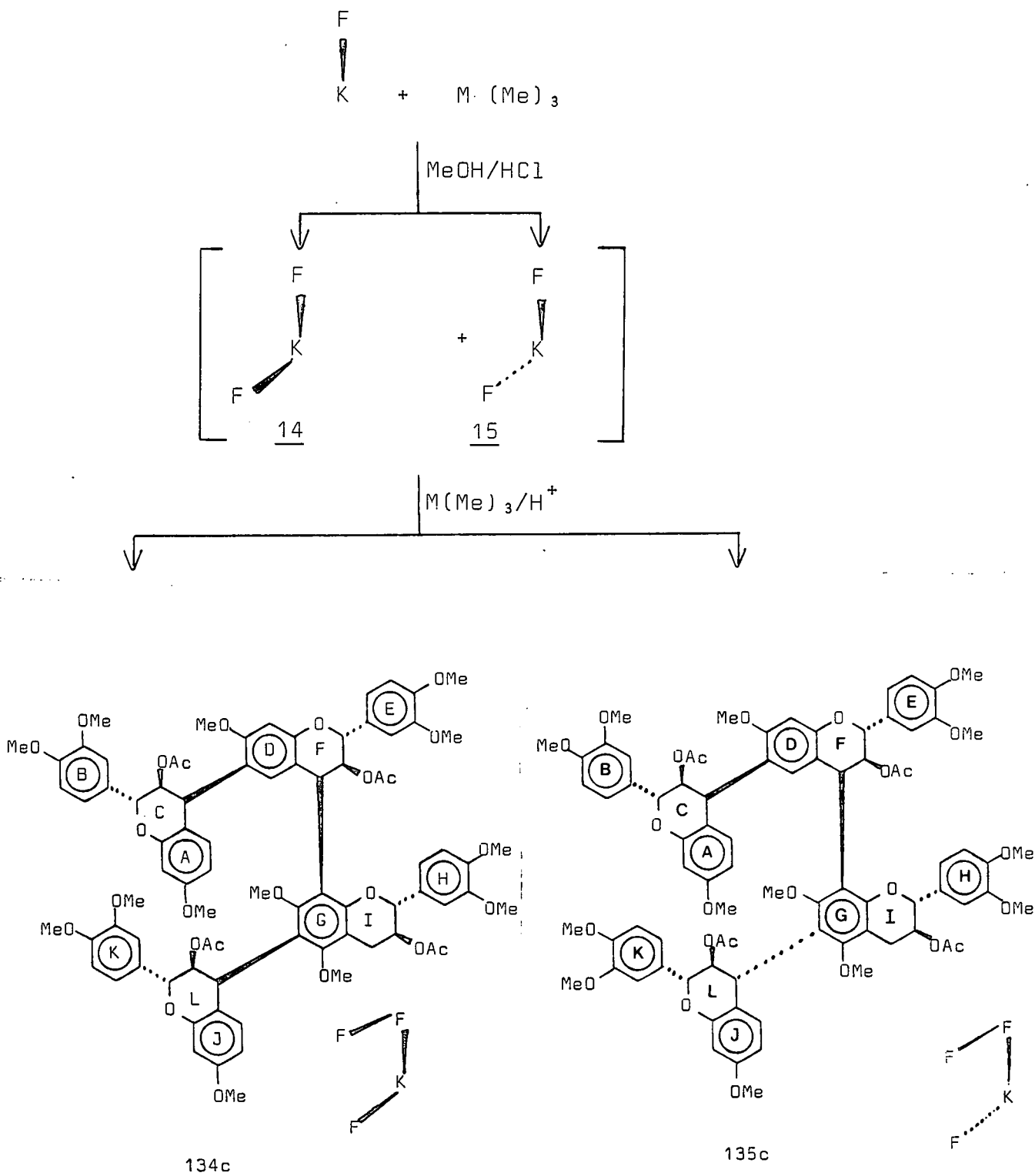
Tydens die sintese van tetraflavanoïede 138, 139, 146 en 147 is dieselfde prosedure, naamlik koppeling van vryfenoliese (-)-fisetinidol-(+)-katesjien biflavanoïede aan metieletertriasetaat(-)-fisetinidol-(+)-mollisacacidien biflavanoïede gevolg. Na aanleiding van resultate verkry tydens sintese van bi-<sup>25</sup> en triflavanoïede<sup>17</sup>, word beide 3,4-*trans* en 3,4-*cis*-koppeling verwag. In elke geval is eksperimenteel egter gevind dat met 3,4-*cis* stereochemie tussen (-)-fisetinidol en (+)-mollisacacidien in die 3,4-diol biflavanoïede 'n 3,4-*trans*-aansluiting met die (-)-fisetinidol-(+)-katesjien biflavanoïede tot gevolg het. Weens gebrek aan die 3,4-*trans* (interflavanoïed stereochemie) diolbiflavanoïed isomere, kon dit nie bepaal word of hierdie stereochemie slegs 3,4-*cis*-aansluiting met die (-)-fisetinidol-(+)-katesjien biflavanoïede tot gevolg sou hê nie. Vanaf Dreiding modelle is die rede hiervoor egter nie duidelik nie sodat die moontlikheid dat die ander isomere vorm maar vanweë lae konsentrasie oor die hoof gesien is, nie uitgeskakel kan word nie.

### 11.3.2 Reaksie van tri- $\text{O}$ -metiel-(+)-mollisacacidien met [4,8]-gekoppelde (-)-fisetinidol-(+)-katesjien biflavanoïede

#### 11.3.2.1 Kondensasie met [4,8]-3,4-*cis*-(-)-fisetinidol-(+)-katesjienbiflavanoided (10a)

Tydens hierdie reaksie is twee (134 en 135) van die ver-

wagte vier profisetinidiene (134, 135, 140 en 141) verkry. Hierdie verbindings is na metilering en asetilering identies aan die ooreenstemmende natuurprodukte in hoofstuk 10 bespreek.



Kondensasie vind waarskynlik preferensieel by C<sub>6</sub> van die (+)-katesjieneenheid plaas om die triflavanoïede van tipies 14 en 15 te lewer. Aangesien die nukleofiliteit van die C<sub>6</sub>-posisie van die fisetinidoleenheid in die C<sub>6</sub>-posisie van (+)-katesjien in die triflavanoïed intermediêr (bv. 14 en 15) dramaties verlaag is as gevolg van metilering van die C<sub>7</sub>-OH, sal koppeling dus uitsluitlik op die C<sub>6</sub>-posisie van die (-)-fisetinidoleenheid aan C<sub>8</sub> van die (+)-katesjieneenheid plaasvind om die tetraflavanoïede 134 en 135 te lewer. Hierdie benadering kompliseer egter stereochemiese toesegging, aangesien die stereochemie nou op twee bindingspunte veranderlik is.

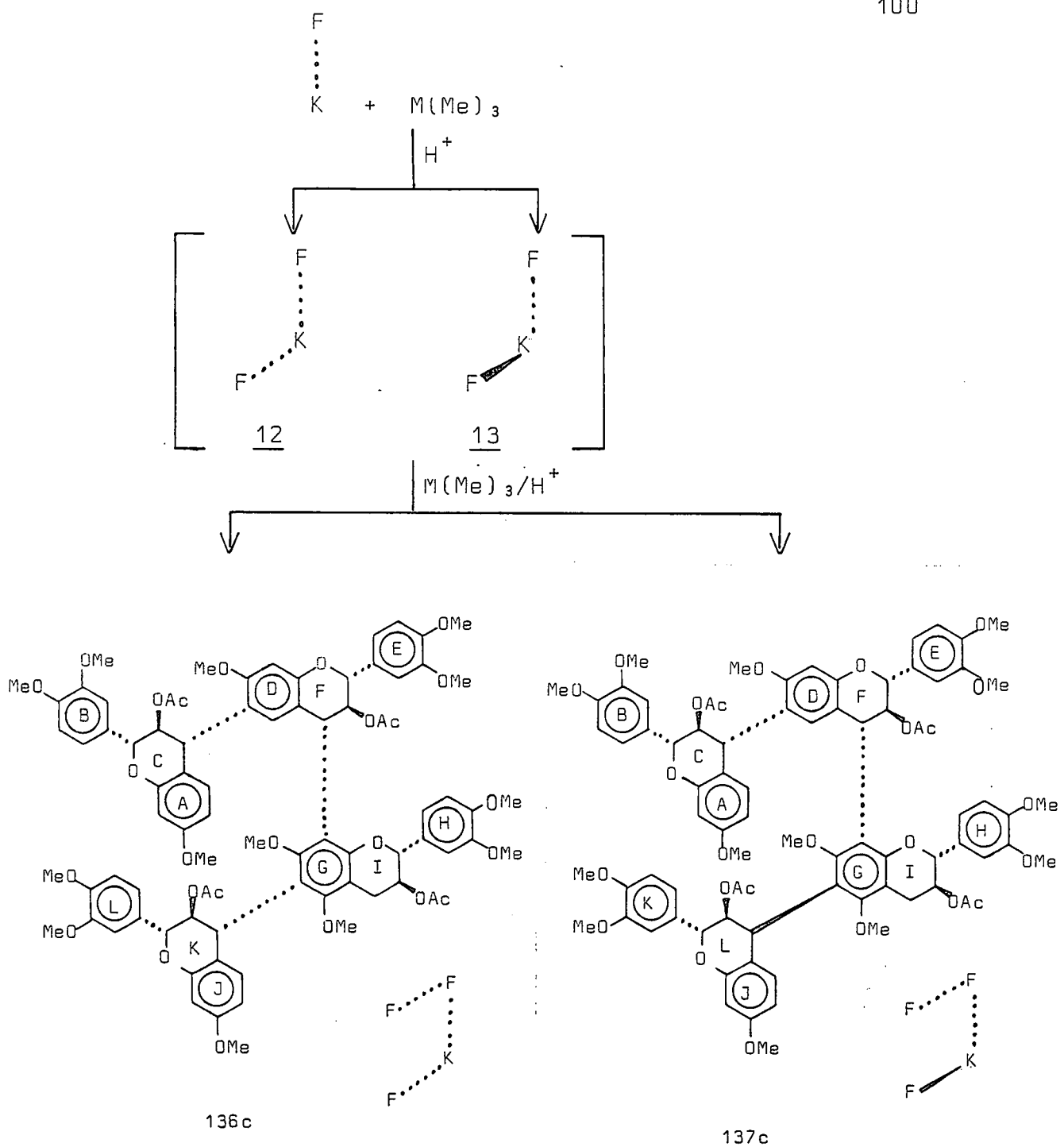
Die kmr-spektra van die alles 3,4-*cis*-[8]-bifisetinidol tetraflavanoïed 134c (plaat 29) toon geen lae veld heterosikliese triplet tipies van 3,4-*trans*-koppeling aan (+)-katesjien nie, maar wel twee triplette by hoë veld ( $\delta$  5.47,  $\Sigma J$  16.0Hz en  $\delta$  5.45  $\Sigma J$  15.0Hz) en 'n kenmerkende doblet van doblette ( $J_{3,4}$  5.5Hz) vir 3,4-*cis*-koppeling by 'n enkel bindingspunt. Hoewel die koppelingskonstantes van eersgenoemde triplette abnormaal groot is, impliseer dit 3,4-*cis*-koppeling by twee bindingspunte en aldus 'n alles 3,4-*cis* konfigurasie vir tetraflavanoïed 134c. Die  $J_{3,4}$  8.0 en 7.5Hz-waardes van die genoemde doblette dui aan dat die dihedriese hoeke tussen die twee relevante protone in elke geval feitlik nul moet wees wat impliseer dat die betrokke heterosikliese ringe verdraaide bootkonformasies inneem.

Die kmr-spektrum van die [8]-alles-3,4-*cis*-[6]-3,4-*trans* analoog 135c (plaat 30,  $\delta$ CDCl<sub>3</sub>, 30<sup>0</sup>C), toon 'n kenmerkende lae veld triplet ( $\delta$ 6.14,  $\Sigma$ J 19.5Hz) wat dui op 3,4-*trans*-koppeling aan (+)-katesjien. Verdere interpretasie van die 80MHz spektrum is egter nie moontlik nie as gevolg van oorvleueling van die heterosikliese protone by 30<sup>0</sup>C, terwyl die spektrum met toename in temperatuur verder verswak. Vanaf 500MHz <sup>1</sup>H kmr-spektra (plaat 31,  $\delta$ CDCl<sub>3</sub>) is 'n lae veld heterosikliese triplet ( $\delta$ 6.151,  $\Sigma$ J 19.5Hz, met aanname van 'n halfstoel konformasie) en twee doblette van doblette ( $\delta$ 5.49, J<sub>3,4</sub> 6.8Hz en  $\delta$ 5.41, J<sub>3,4</sub> 4.0Hz, met aanname van verdraaide bootkonformasies) waarneembaar wat aandui dat koppeling van tri-O-metiel-(+)-mollisacacidien 3,4-*trans* aan C<sub>6</sub> van (+)-katesjien en 3,4-*cis* aan die C<sub>6</sub>-posisie van die (-)-fisetinidoleenheid plaasgevind het. Die oorblywende doblet van doblette word aan die [4,8]-(-)-fisetinidol-(+)-katesjienbinding toegeken.

Massaspektrometrie en SD (plaat 68) resultate is soortgelyk as dié vir die natuurprodukte verkry.

#### 11.3.2.2 Kondensasie van tri-O-metiel-(+)-mollisacacidien met [4,8]-3,4-*trans*-(-)-fisetinidol-(+)-katesjienbiflavanoïed (9a)

Soos uit die skematiese voorstelling duidelik is, is tydens hierdie sintetiese poging twee (136 en 137) van die ver-



wagte vier (136 - 139) tetraflavanoïede verkry. Hierdie twee profisetinidiene is na metilering en asetilering identies (kmr, ms en SD) met die geïsoleerde produkte in die vorige hoofstuk bespreek.

Hierdie sinteses (9.3.2.1 en 9.3.2.2) het bo twyfel bevestig dat die bifisetinidoleenheid van die natuurlike tetraflavanoïede aan C<sub>8</sub> van die (+)-katesjieneenheid gekoppel is. Dit wil dus voorkom asof in die natuur kondensasie by voorkeur aan C<sub>8</sub> en dan aan C<sub>6</sub> van (+)-katesjieneenheid plaasvind om triflavanoïedanaloe te vorm. Die vraag ontstaan nou watter nukleofiele posisie die volgende koppeling verteenwoordig. Vir (+)-katesjien is dit bewys dat alhoewel C<sub>6</sub> die elektrondigste posisie<sup>37</sup> is, koppeling by voorkeur by C<sub>8</sub> plaasvind as gevolg van die beskikbaarheid van die HOMO en MHOMO orbitale<sup>37</sup> vir sodigne reaksie. Kondensasie met die (-)-fisetinidoleenhede, sal egter as gevolg van die steriese effekte van O<sub>7</sub> en O<sub>1</sub> by voorkeur by C<sub>6</sub> plaasvind om die tetraflavanoïede te vorm. Uitbouing van hierdie tema tot op pentaflavanoïedvlak behoort insiggewend te wees veral ten opsigte van verdere kondensasies. Pentaflavanoïede kan 'n trifisetinidoleenheid aan C<sub>8</sub> of bifisetinidoleenhede aan beide C<sub>6</sub> en C<sub>8</sub> van (+)-katesjien bevat.

Om die vorming van die (-)-fisetinidoltetraflavanoïed (36, hoofstuk 2) te verklaar<sup>34</sup>, is die volgende argument aangevoer. Vir 'n 3,4-*trans* interflavanoïed stereochemie is die 4-H aksiaal geleë sodat hiperkonjugasie van die π-elektrone van die flavaniel A-ringe voorkom om die nukleofiliese aard van die ring waar kondensasie plaasvind, soendoende te verhoog. Hierdie idee word ondersteun deur die groter hoeveelheid 3,4-*cis* (interflavanoïed stereochemie)-

diol biflavanoïede<sup>24</sup> en 'n 3,4-*cis* stereochemie van die 'boonste' eenheid van die enigste geïsoleerde diol trimmer. 3,4-*Cis*-stereochemie inhibeer dus verdere kondensasie. Die geïsoleerde tetraflavanoïede 134c en 135c het egter, ten spyte van 'n 3,4-*cis*-stereochemie van die C<sub>8</sub> gebonde (-)-fisetinidoleenheid aan die betrokke eenheid, verdere kondensasie ondergaan.

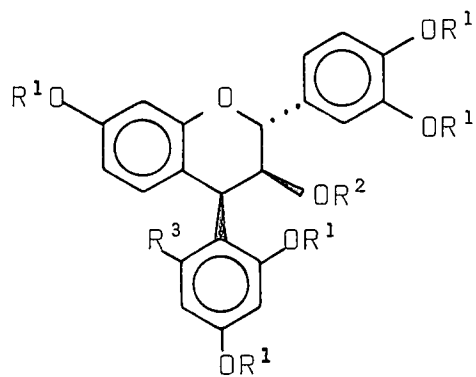
Dit mag nou gepostuleer word dat die groter nukleofiliese aard van C<sub>8</sub> van (+)-katesjien die nukleofiliteit van die C<sub>8</sub>-gebonde (-)-fisetinidol verhoog deur C-C konjugasie. Die volgende kondensasie (pentaflavanoïedvorming) behoort aan C<sub>6</sub> van die (-)-fisetinidoleenheid aan C<sub>6</sub> van (+)-katesjien gebind, plaas te vind omdat hierdie eenheid 'nader' aan die floroglusinol A-ring is.

Dit moet egter onthou word dat hoe verder die oligomere uitgebou word, hoe 'n groter rol steriese faktore sal speel en dat hoe verder van die (+)-katesjieneenheid as sentrale punt beweeg word, hoe kleiner die invloed van hierdie eenheid sal wees.

-----ooOoo-----

HOOFSTUK 12<sup>13</sup>C KMR VAN PROFISETINIDIENE

In die literatuur<sup>40-48</sup> is <sup>13</sup>C kmr van prosianidiene en verwante verbindings redelik volledig bespreek (sien hoofstuk 5), maar soortgelyke studies betreffende die profisetinidiene is nog nie uitgevoer nie. In hierdie ondersoek is gepoog om algemene reëls daar te stel waarvolgens stereochemie en koppelingsposisies bepaal kan word. Vir hierdie doel is die C<sub>4</sub> resorsinol (151 en 152) en floroglusinol (153 en 154) derivate van (-)-fisetindol en die (-)-fisetinidol-(+)-katesjienbiflavanoïede (9, 10, 11 en 106) in die vryfenoliese vorm en as metieleterasestate aan 'n <sup>13</sup>C kmr ondersoek onderwerp.



151a R<sup>1</sup> R<sup>2</sup> R<sup>3</sup>

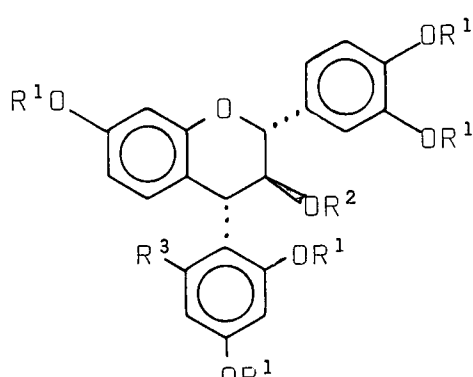
b Me H H

c Me Ac H

153a H H OH

b Me H OMe

c Me Ac OMe



152a R<sup>1</sup> R<sup>2</sup> R<sup>3</sup>

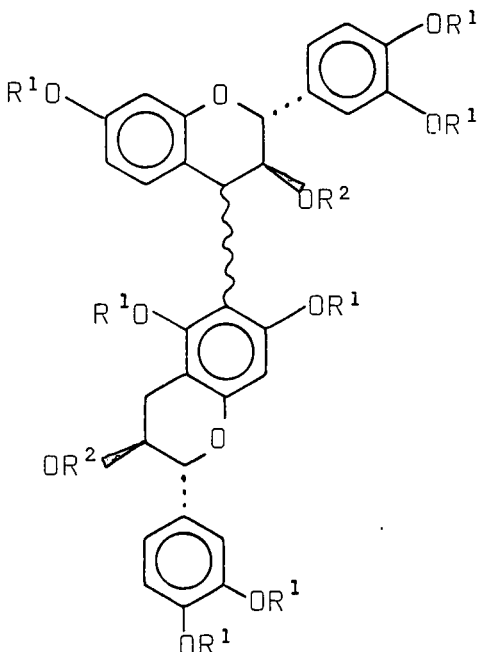
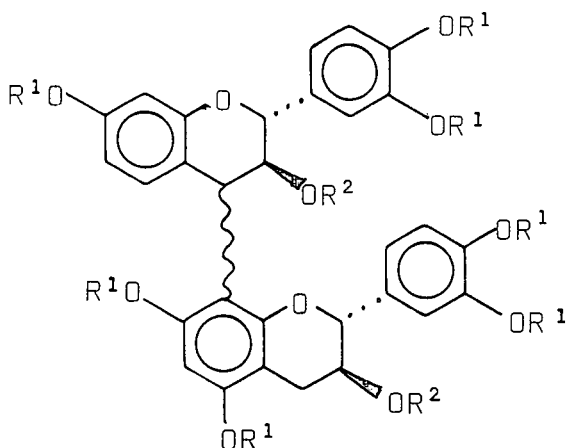
b Me H H

c Me Ac H

154a H H OH

b Me H OMe

c Me Ac OMe



	R <sup>1</sup>	R <sup>2</sup>	{		R <sup>1</sup>	R <sup>2</sup>	{
<u>9a</u>	H	H	:				:
b	Me	H	:	<u>11a</u>	H	H	:
c	Me	Ac	:	b	Me	H	:
<u>10a</u>	H	H	▲	c	Me	Ac	:
b	Me	H	▲	<u>106a</u>	H	H	▲
c	Me	Ac	▲	b	Me	H	▲
				c	Me	Ac	▲

Die C<sub>4</sub>-arielgroep in derivate 152a (plaat 40) en 154a (plaat 42) (3,4-*trans*) van (-)-fisetinidol het 'n ontskermende effek op C<sub>4</sub> (in vergelyking met (-)-fisetinidol <sup>13</sup>C-spektrum , plaat 38) wat ooreenstem met vorige resultate<sup>40</sup>, maar dié in die 3,4-*cis* analoë word 'n ontskermende effek vir 151a (plaat 39) en 'n skermende effek ( $\Delta\delta$ 1.75) vir 153a (plaat 41) op C<sub>4</sub> van (-)-fisetinidol waargeneem. Vir die biflavanoïede 9a, 11a en 109a word C<sub>4</sub> van (-)-fisetinidol ontskerm terwyl in 10a hierdie koolstof geskerm word (plate 44 - 47). Hierdie verskille is moeilik om te verklaar, maar dit is belangrik om te let op

diéwaarneming dat C<sub>4</sub> van die (-)-fisetinidoleenheid (tafel 8) deurgaans meer geskerm vir 3,4-*cis* as vir 3,4-*trans*-koppeling is. Die verskil in chemiese verskuiwings blyk groter te wees vir 'n floroglusinol as 'n resorsinol=gebonde C<sub>4</sub> koolstof, naamlik Δδ4.08 (152a - 151a) en 9.72 (154a - 153a) vir die 4-arielderivate en Δδ11.07 (9a - 10a) en Δδ9.38 (11a - 106a) vir die 4-flavanielver-bindings. In ooreenstemming met vorige resultate<sup>40</sup> het kwasi-aksiale C<sub>4</sub>-groepes soos in 151a, 153a, 10a en 106a (3,4-*cis*) 'n γ-skermende effek wat groter blyk te wees vir die resorsinol substituent met Δδ (in vergelyking met fisetinidol) 3.68, 0.77, 1.76 en 1.04 vir 151a, 153a, 10a en 106a onderskeidelik. Dit is moontlik dat die 'groter' floroglusinoleenheid meer *ekwatoriaal* as die resorsinoleenheid neig sodat laasgenoemde 'n verhoogde skermende effek op C<sub>2</sub> kan uitoefen. Vir kwasi-*ekwatoriaale* groepes word 'n γ-ontskermende effek (0.49, 1.11, 0.91 en 1.48 d.p.m. vir 152a, 154a, 9a en 11a onderskeidelik) waargeneem.

'n Belangrike verskynsel vir die biprofisetinidiene (9, 10, 11 en 106a) is dat groot verskille in chemiese verskuiwing van C<sub>6</sub> en C<sub>8</sub> van (+)-katesjien (D-ring) plaasvind met substitusie. Vir [4,8] substitusie word C<sub>8</sub> in vergelyking met dié van (+)-katesjien (plaat 43) met Δδ+10.54 en +12.20 dpm vir 10a en 9a onderskeidelik ontskerm terwyl C<sub>6</sub> 'n kleiner mate van ontskerming (Δδ-1.61 en +0.45 dpm vir 10a en 9a onderskeidelik) ondervind. Vir [4,6]-koppling ondervind C<sub>6</sub> heelwat meer ontskerming (Δδ+10.03 en

TABEL 8  $^{13}\text{C}$ -spektra van vryfenoliese profisetinidiene  $(\text{CD}_3)_2\text{CO}$

Verbinding	(-)-fisetinidol heterosi=kliese ring			(+)-katesjien heterosi=kliese ring			(+)-K-A ring	
	C <sub>2</sub>	C <sub>3</sub>	C <sub>4</sub>	C <sub>2</sub>	C <sub>3</sub>	C <sub>4</sub>	C <sub>6</sub>	C <sub>8</sub>
(-)-fisetinidol ( <u>32a</u> )	82.84	66.05	33.36					
F-Res 3,4- <i>cis</i> ( <u>151a</u> )	79.16	72.59	40.86					
F-Res 3,4- <i>trans</i> ( <u>152a</u> )	83.33	74.07	44.94					
F-F1 3,4- <i>cis</i> ( <u>153a</u> )	82.07	72.84	31.61					
F-F1 3,4- <i>trans</i> ( <u>154a</u> )	83.95	70.42	41.33					
(+)-katesjien ( <u>3a</u> )				82.37	65.92	28.39	96.54	95.58
FK-[4,8]- <i>cis</i> ( <u>10a</u> )	81.58	72.47	32.10	82.17	68.02	28.37	98.15	106.12
FK-[4,8]- <i>trans</i> ( <u>9a</u> )	83.75	70.54	41.48	81.93	68.52	28.27	96.99	107.78
FK-[4,6]- <i>cis</i> ( <u>106a</u> )	81.80	72.86	30.86	82.69	68.77	29.63	106.57	98.15
FK-[4,6]- <i>trans</i> ( <u>11a</u> )	84.32	71.23	41.93	82.57	68.64	29.14	109.51	96.91

+12.97 dpm vir 106a en 11a onderskeidelik) as  $C_8$  (+2.57 en +1.33 vir 106a en 11a). Opvallend is dat die 3,4-*trans* isomere (9a en 11a) deurgaans 'n groter mate van ontskerming veroorsaak ( $\Delta\delta_{C_6-C_8}$  +7.97 en +10.79 vir die [4,8]-*cis* (10a) en [4,8]-*trans* (9a) isomere onderskeidelik;  $\Delta\delta_{C_6-C_8}$  +8.42 en +12.60 vir die [4,6]-*cis* (106a) en [4,6]-*trans* (11a) profisetinidiene onderskeidelik) as in die geval van 3,4-*cis* isomere.

Vergelyking van die  $^{13}C$ -spektra van die  $C_4$  arielmetieleterasestate (tabel 9) (151c-154c) (plate 49-53) met (-)-fisetinidolmetieleterasetaat (32c, plaat 48) toon dat in die derivate 'n kleiner  $\gamma$ -skermende effek deur die kwasi-*aksiale*  $C_4$  ariegroepes (3,4-*cis*) uitgeoefen word ( $\Delta\delta$  -1.94 en -0.81 dpm vir 151c en 153c onderskeidelik) terwyl die kwasi-*ekwatoriale*  $C_4$  ariegroepes (3,4-*trans*) 'n groter ontskermende invloed ( $\Delta\delta$  +3.69 en +4.00 dpm vir 152c en 154c onderskeidelik) uitoeft as wat die geval in die vryfenole (1a - 4a) is. Die  $C_4$ -ariegroepes het 'n ontskermende effek op  $C_4$  van (-)-fisetinidol wat groter vir *trans* as *cis* stereochemie ( $\Delta\delta$  +12.38 en +8.00 dpm vir 152c en 154c onderskeidelik; +5.00 en +3.94 dpm vir 151c en 153c onderskeidelik) is.

Akkurate toeseggings vir die biprofisetinidienmetieleterasestate word bemoeilik as gevolg van rotasieisomerie.

Indien toeseggings aangaande die metieleterasestate korrek is (waar moontlik aan die mees prominente pieke toegeken, plate 50 - 53), word soortgelyke resultate as dié vir die vryfenoliese biprofisetini-

TABEL 9  $^{13}\text{C}$ -spektra van profisetinidienmetieletterasetate

Verbinding	(-)-fisetinidol heterosi= kliese ring			(+)-katesjien heterosi= kliese ring			(+)-katesjien A-ring	
	$\text{C}_2$	$\text{C}_3$	$\text{C}_4$	$\text{C}_2$	$\text{C}_3$	$\text{C}_4$	$\text{C}_6$	$\text{C}_8$
(-)-fisetinidol ( <u>32c</u> )	77.56	68.69	30.31					
F-Res 3,4- <i>cis</i> ( <u>151c</u> )	75.62	71.19	35.31					
F-Res 3,4- <i>trans</i> ( <u>152c</u> )	81.25	33.19	42.69					
F-F1 3,4- <i>cis</i> ( <u>153c</u> )	76.75	72.56	34.25					
F-F1 3,4- <i>trans</i> ( <u>154c</u> )	81.56	71.25	38.31					
(+)-katesjien ( <u>3c</u> )	-	-		78.69	69.37	23.81	93.19	91.94
FK-[4,8]- <i>cis</i> ( <u>10c</u> )	79.37	72.37	34.37	88.43 (91.25)	70.00 (69.38)	26.37 (23.13)	100.13 (101.31)	x
FK-[4,8]- <i>trans</i> ( <u>9c</u> )	81.25	78.75	38.13	89.25	70.62	26.56	101.56	x
F-K [4,6]- <i>cis</i> ( <u>106c</u> )	70.93	72.25	34.75	x	69.43	x	x	x
F-K [4,6]- <i>trans</i> ( <u>11c</u> )	81.62	x	40.00	51.62	69.5	x	x	x

x = toeseggings is weens rotasieisomerie nie moontlik nie

diene verkry.  $C_4$  van die fisetinidoleenheid word vir 3,4-*trans*-koppeling meer ontskerm ( $\Delta\delta$  +7.82 en +9.69 dpm vir 9c en 11c onderskeidelik) as vir 3,4-*cis* aansluiting ( $\Delta\delta$  4.06 en +4.44 dpm vir 10c en 106c onderskeidelik) met [4,6]-koppeling wat 'n groter invloed as [4,8]-aansluiting uitoefen.

Die  $^{13}C$  spektrum van die [4,8]-*cis*-metieleterdiasetaat profisetinidiene 10c (plaat 54) toon verdubbeling van seine veral vir die heterosikliese ring koolstowwe van die (+)-katesjieneenheid (F-ring) en in die aromatiese gebied. As die seine by 88.43 en 91.25 dpm aan  $C_2$  toegeken word, dié by 70.00 en 69.38 aan  $C_3$  en dié by 26.37 en 23.13 aan  $C_4$  van die F-ring, wil dit voorkom asof hier twee rotameriese vorms in die verhouding 2.7:1 voorkom. In 'n onlangse ondersoek<sup>47</sup> is die verskynsel van rotasieisomerie in prosianidiene (hoofstuk 3) bestudeer en is tot die gevolgtrekking gekom dat rotameriese vorms wel met behulp van  $^{13}C$  studies geïdentifiseer kan word. Vanweë die hoë mate van beperking op rotasie in die metieleterdiasetaat (vergelyk  $^1H$  kmr-spektra), mag soortgelyke oorwegings geld, maar word spektra by verhoogde temperatuur en magneetveld benodig om finale uitsluitsel te gee.

HOOFSTUK 13STANDAARD EKSPERIMENTELE METODES

## 13.1 Dunlaagchromatografie (dlc)

Kwalitatiewe dunlaagchromatografiese ondersoek is op plastiekplaatjies (5x4cm) bedek met 'n laag (0.25mm) Kieselgel PF<sub>254</sub> (Merck), uitgevoer. Bereidende-skaal dunlaagchromatografiese skeiding van mengsels is op glasplate (20x20cm), bedek met 'n laag (1,0mm) Kieselgel PF<sub>254</sub> (100g Kieselgel in 230ml gedistilleerde water per vyf plate), uitgevoer. In laasgenoemde geval is die plate by kamertemperatuur gedroog en ongeaktiveerd gebruik. Na skeiding is die plate by kamertemperatuur in 'n vinnige lugstroom gedroog en bande onderskei deur middel van formaldehydswaelsuur as sproeireagens en UV (254 nm).

13.2 Formaldehydswaelsuur<sup>70</sup> sproeireagens

Alle dunlaagchromatogramme is liggies met 'n 2% (v/v) oplossing van formaldehyd (40%) in gekonsentreerde swaelsuur gesproei en met behulp van 'n bunsenbrander liggies tot optimale kleurontwikkeling verhit.

13.3 Metilering met diazometaan<sup>71</sup>

Droë fenoliese materiaal (200mg) is in metanol (ca. 50ml)

opgelos en afgekoel na -10°C. Diasometaan, ontwikkel deur die reaksie van kaliumhidroksied (5g) in 95% (v/v) etanoloplossing met N-metiel-N-nitroso-p-tolueensulfoonianied (15g) in eter (100ml), is in eterige oplossing stadig in die voorafbereide monsteroplossing gestook. Die reaksiemengsel is vir 48 uur by -15°C gelaat en die oormaat diasometaan en oplosmiddel daarna in 'n vinnige lugstroom by kamertemperatuur verwijder.

#### 13.4 Asetilering<sup>19</sup>

Droë fenoliese materiaal is in 'n minimum hoeveelheid piridien opgelos en asynsuuranhidried (2 druppels per druppel piridien) bygevoeg en vir 8 uur by kamertemperatuur gelaat. Die reaksie is beëindig deur byvoeging van verkrummelde ys en die oormaat piridien verwijder deur herhaaldelik met gedistilleerde water te was.

#### 13.5 Kernmagnetiese resonansspektrometrie (kmr)

Tensy anders vermeld is kmr-spektra afgeneem op 'n Bruker WP-80 spektrometer met tetrametieltsilaan (TMS) as interne standaard. Deuteriochloroform ( $\text{CDCl}_3$ ), deuteriodimetielssulfoksied (DMSO), deuterioasetoon  $(\text{CD}_3)_2\text{CO}$  en deuteriobenseen ( $\text{C}_6\text{D}_6$ ) is as oplosmiddels gebruik.

Chemiese verskuiwings is op die  $\delta$ -skaal aangegee en kopplingskonstantes ( $J$ ) akkuraat tot ca. 0.2Hz gemeet deur skaaluitbreiding. Afkortings word soos volg aangedui:

s = singulet	o = onsuiwerheid
d = doblet	ss = spinnende sybande
dd = doblet van doeblette	m = multiplet
tr = triplet	verb = verbreed
kw = kwartet	arom.prot. = aromatiese protone

KMR-spektra is, tensy anders vermeld, deurgaans by  $304^{\circ}\text{K}$  ( $31^{\circ}\text{C}$ ) afgeneem.

### 13.6 Massaspektrometrie (ms)

Massaspektra is met 'n dubbele fokus Varian CH-5 massa-spektrometer afgeneem.

### 13.7 Sirkulêre dichroïsme (SD)

SD-kurwes is bepaal met behulp van 'n Jasco J20 spektropolarimeter. Molekulêre elliptisiteit ( $\theta$ ) is met behulp van die volgende formule bereken:

$$\theta = \frac{(L)(\text{Skaalinstelling})(\text{molekulêre massa})}{(\text{buislengte in cm})(\text{konsentrasie in g/l})} (100)$$

L = verskil in lesing tussen dié van die verbinding in oplossing en dié van die oplosmiddel.

### 13.8 Afkortings

Die volgende afkortings word deurgaans vir oplosmiddels gebruik tydens beskrywing van loopmiddels vir dlc skeidings:

A = asetoon  
B = benseen  
DCE = 1,2-dichlooretaan  
EtOAc = etielasetaat  
H = heksaan  
M = metanol  
MEK = metiel-etiel-ketoon  
T = tolueen

-----oo0oo-----

## HOOFSTUK 14

### ISOLASIE VAN METABOLIETE UIT A. MEARNSSII

Ontvette wattelekstrak<sup>28</sup> (2.14kg) is porsiegewys (20g) op sellulose kolomme (5x125cm) met water as eluant (4ℓ per kolom) geskei. Fraksies is soos voorheen opgevang (100ml) om die volgende te lewer:

Fraksies 1-5 : hoofsaaklik (+)-mollisacacidien -  
170g na kristallisasię

Fraksies 6-13 : hoofsaaklik bi- en triflavanoïede -  
137g

Deurloop 2.5 : hoofsaaklik tetraflavanoïede -  
51.3g (hoofstuk 23)

Na skeiding is die sellulose versigtig uit die kolom verwyn en 'n pienk band (25-40cm van bo) geselekteer en met asetoon gewas. Na indamping is 12.7g pienk materiaal gekry (hoofstuk 15).

-----ooOoo-----

HOOFSTUK 15ISOLASIE VAN 'N DIOKSAAN EN DIBENSO- $\alpha$ -PIRONE UIT A.MEARNSTII

DLC-skeiding (B:A:M / 70:25:5, v/v, x2) van die pienk materiaal (sien hoofstuk 14) vanaf sellulose kolomme, het 4 bande met  $R_f$ 's 0.69 (179mg), 0.53mg (224mg), 0.46 (292mg) en 0.38 (215mg) onderskeidelik gelewer.

15.1 3,8,9-Trimetoksidibenzo[b,d]piran-6-oon (104b)

Metilering van die  $R_f$  0.69 fraksie gevvolg deur dlc-skeiding (B:A / 9:1, v/v) het die trimetieleter ( $R_f$  0.55) as wit naalde (etanol/chloroform) (17.1mg), sp 178°C, gelewer.

Gevind 286.08396       $C_{16}H_{14}O_5$  benodig 286.08412

$\delta$  80MHz,  $CDCl_3$       Plaat 1

7.84 [d,  $J$  7.5Hz, H-1]; 7.71 [s, H-7]; 7.33 [s, H-10];  
6.90 [dd,  $J$  7.5 en 2.5Hz, H-2]; 6.86 [d,  $J$  2.5Hz, H-4];  
4.09; 3.99 en 3.87 [s, 3xOMe]

Massa : skema 1

$M^+$  m/z      286 (100%); 271 (75.9); 243 (10.3); 228 (6.6);  
200 (5.5)

$\lambda^{CHCl_3}_{maks}$ ,      252.5; 259; 312; 337.5 nm ( $\log \epsilon$  4.25; 4.31;  
3.93 en 3.70 respektiewelik

$\nu^{CHCl_3}_{maks}$        $1722\text{ cm}^{-1}$  (laktoon C=O)

*2'S, 3'R-3, 10-Dimetoksi-9-O-[2'-asetoksimetiel-5', 6'-dimetoksidihidrobensofuran-3-iel]-dibenzo[b,d]piran-6-oon* (106c)

Metilering van die  $R_f$  0.53 fraksie, dlc-skeiding (DCE:A / 95:5, v/v) ( $R_f$  0.38) en asetilering het die dibenso- $\alpha$ -piroon as 'n wit vaste stof (15mg) gelewer met spektroskopiese eienskappe (KMR en MS) identies aan dié voorheen verkry<sup>55</sup>.

KMR            Plaat 3

Massa        Skema 3

Die  $R_f$  0.46 fraksie het na metilering en dlc-skeiding (DCE:A / 95:5, v/v,  $\times 2$ ) twee produkte met  $R_f$ 's 0.84 (37mg) en 0.63 (93mg) gelewer.

*3,9,10-Trimetoksidibenzo[b,d]piran-6-oon(3,9,10-tri-O-metielfasciculiferol)* (105b)

Die tri-O-metielderivaat ( $R_f$  0.84) is as geel naalde uit metanol verkry (sp 195°C, lit<sup>54</sup> 196°C) met kmr en ms identies aan dié voorheen verkry<sup>54,72</sup>.

KMR            Plaat 2

Massa        Skema 2

*3,3',4',7-Tetra-O-metielisetien* (107)

Die tetra-O-metielderivaat ( $R_f$  0.63, 93mg) is as geel naalde (asetoon) verkry (sp 151°C, lit<sup>73</sup> 152°C) met kmr

en ms soortgelyk aan dié voorheen verkry<sup>73</sup>.

[3,4':3',4]-O,O-gekoppelde 2,3-trans-3,4-trans:2',3'-trans-3',4'-cis-profisetinidienheksametieleter (108b)

Metilering van die  $R_f$  0.38 fraksie, dlc-skeiding (DCE:A /95:5, v/v, x2) het die heksa-O-metieleter ( $R_f$  0.84, 13mg) as fyn wit naalde (sp 264°C) uit etanol/chloroform gelewer.

Gevind 628.23045       $C_{36}H_{36}O_{10}$  vereis 628.23045

KMR       $\delta$        $C_6D_6$       Plaat 4a

7.12-6.33[m, 12x arom prot]; 5.64[d,  $J$  10.7Hz, 2-H(F)];  
 5.08[d,  $J$  10.0Hz, 2-H(C)]; 5.02[d,  $J$  9.0Hz, 4-H(C)];  
 4.56[d,  $J$  3.5Hz, 4-H(F)]; 4.22[dd,  $J$  10.7 en 3.5Hz,  
 3-H(F)]; 3.96[dd,  $J$  10.0 en 9.0Hz, 3-H(C)]; 3.65; 3.63;  
 3.60; 3.58; 3.39 en 3.38[s, 6xOMe]

Massa : Skema 5      Tabel 9

m/z 628( $M^+$ , 5.5%); 449 (12.1); 298 (100); 297 (50.0);  
 283 (17.3); 267 (9.1); 151 (37.8)

SD ( $CH_3CN$ )      Plaat 58

-----oo0oo-----

HOOFSTUK 16SINTESE VAN HEPTAMETIELETER [ 3,4':3',4 ]-O,O-GEKOPPELDE PROFISETINIDIENE

(+)-Mollisacacidientrimetieleter (+)-3',4',7-trimetoksi-flavan-3,4-diol (8b) met bekende<sup>74</sup> 2R,3S,4R absolute konfigurasie (8×200mg porsies) is in dioksaan (20ml) opgelos. BF<sub>3</sub>-etieleterkompleks (1ml) (Merck) is bygevoeg en die mengsel vir 4.5 uur by kamertemperatuur gelaat. Die gekombineerde fraksies is met water (100ml) en 0.1 M HCl (100ml) verdun en met EtOAc (4×150ml) geëkstraheer. Die gekombineerde EtOAc ekstrakte is met water (5×200ml) gewas en drooggedamp. Dlc-skeiding (20 plate, B:A / 95:5, v/v, x2) het vyf fraksies met R<sub>f</sub>'s 0.57 (35mg), 0.52 (35mg), 0.48 (7.6mg), 0.41 (320mg) en 0.06 (99mg) onderskeidelik gelewer.

16.1 1,3-Dioksolaan-Tipe kondensate van (+)-3',4',7-trimetoksi-2,3-trans-3,4-cis-flavan-3,4-diol

Dlc-skeiding van die R<sub>f</sub> 0.57 fraksie (H:EtOAc / 8:2, v/v, x2) het twee produkte met R<sub>f</sub>'s 0.39 (3mg) en 0.33 (5mg) gelewer.

16.1.1 Isopropilideenderivaat (112)

Die tri-O-metielderivaat is as 'n kleurlose vastestof, geïsoleer met kmr en ms identies aan dié wat voorheen<sup>61,75</sup> verkry is.

KMR            Plaat 5

Massa        Skema 4      Tabel 8

### 16.1.2 Etilideenderivaat (110)

Die tri-O-metielderivaat ( $R_f$  0.33) is as 'n kleurlose vastestof geïsoleer.

Gevind    358.13902             $C_{20}H_{22}O_6$  benodig 358.13964

KMR            Plaat 6             $\delta CDCl_3$

7.37 [d,  $J$  8.0Hz, 5-H(A)] ; 7.11-6.98 [m, 2&6-H(B)] ;  
 6.87 [d,  $J$  8.1Hz, 5-H(B)] ; 6.64 [dd,  $J$  8.0 en 2.5Hz,  
 6-H(A)] ; 6.53 [d,  $J$  2.5Hz, 8-H(A)] ; 5.25 [kw,  $J$  7.0Hz,  
 CH] ; 4.92 [d,  $J$  5.5Hz; 4-H(C)] ; 4.43 [d,  $J$  9.5Hz, 2-H(C)] ;  
 4.22 [dd,  $J$  5.5 en 9.5Hz, 3-H(C)] ; 3.89, 3.88 en 3.76 [s,  
 3xOMe] ; 1.47 [d,  $J$  7.0Hz,  $CH_3$ ]

Massa        Skema 4      Tabel 8

m/z 358 ( $M^+$ , 13.8%) ; 221 (13.0) ; 207 (14.3) ; 179 (100) ;  
 151 (32) ; 137 (2.3) en 135 (9.5)

### 16.1.3 n-Propilideenderivaat (111)

Die tri-O-metielderivaat is as 'n kleurlose vastestof verkry.

Gevind    372.15701             $C_{21}H_{24}O_6$  benodig 372.15729

KMR            Plaat 7             $\delta CDCl_3$

7.4 [d,  $J$  8.0Hz, 5-H(A)] ; 7.14-6.84 [m- B-ring protone] ;

6.64 [dd,  $\int$  8.0 en 2.5Hz, 6-H(A)], 6.54 [d,  $\int$  2.5Hz, 2-H(A)], 5.09 [tr,  $\int$  4.4Hz, CH], 4.91 [d,  $\int$  5.25Hz, 4-H(C)], 4.44 [d,  $\int$  9.5Hz, 2-H(C)], 4.23 [dd,  $\int$  9.5 en 5.25Hz, 3-H(C)], 3.91, 3.89 en 3.77 [s, 3xOMe], 1.95-1.62 [m, CH<sub>2</sub>], 1.00 [tr,  $\int$  7.0Hz, CH<sub>3</sub>]

Massa Skema 4 Tabel 8

m/z 372 ( $M^+$ , 17.5%), 192 (100), 179 (4.0), 151 (32)

16.2 [3,4':3',4]-0,0-Gekoppelde dimeriese profisetini=diene

16.2.1 [3,4':3',4]-0,0-Gekoppelde-2,3-trans-3,4-trans:2',3'-trans-3',4'-cis-profisetinidienheksame=tiëleter (109b)

Die sintetiese heksametieleter,  $R_f$  0.48 is as 'n kleurlose vastestof (7.6mg) verkry met <sup>1</sup>H kmr, ms en SD (plaat 58) identies met dié van die natuurproduk uit *A. mearnsii*.

Verdere dlc-skeiding van die  $R_f$  0.41 fraksie (320mg) (DCE:A / 98:2, v/v, x2) het twee produkte met  $R_f$ 's 0.40 (233mg) en 0.33 (2mg) onderskeidelik gelewer.

16.2.2 [3,4':3',4]-0,0-Gekoppelde-2,3-trans-3,4-cis:2',3'-trans-3',4'-cis-profisetinidienheksa=metieleter (109b)

Die simmetriese heksametieleter,  $R_f$  0.40, is as wit naalde, sp 179°C (lit<sup>56</sup> 175°C) uit etanol-chloroform verkry met <sup>1</sup>H kmr en ms gegewens identies aan dié voorheen gevind<sup>56</sup>.

KMR Plaat 8  $\delta$  CDCl<sub>3</sub>

Massa Skema 5 Tabel 9

SD Plaat 58 (CH<sub>3</sub>CN)

16.2.3 [3,4':3',4]-O,O-Gekoppelde-2,3-cis-3,4-cis:  
2',3'-trans-3',4'-cis-profisetinidienheksa=  
metieleter (113b)

Die heksametieleter ( $R_f$  0.33) is as 'n kleurlose vastestof (2mg) verkry.

Gevind 628.22733 C<sub>36</sub>H<sub>36</sub>O<sub>10</sub> benodig 628.23085

KMR Plaat 9  $\delta$  500MHz, CDCl<sub>3</sub>

7.305[d, J 1.5Hz, 2'H]; 7.071[d, J 8.5Hz, 5-H]; 6.965[dd, J 8.5 en 1.5Hz, 6'H]; 6.910[d, J 8.5 Hz, 5'-H]; 6.868[dd, J 8.5 en 1.5Hz, 6'H]; 6.866[d, J 8.5Hz, 5'-H]; 6.612[d, J 1.5Hz, 2'-H]; 6.492[d, J 8.5Hz, 5-H]; 6.478[dd, J 8.5 en 2.5Hz, 6-H]; 6.400[d, J 2.3Hz, 8-H]; 6.285[d, J 2.4Hz, 8-H]; 6.147[dd, J 8.5 en 2.1Hz, 6-H]; 4.909[d, J 3.0Hz, 4-H(C)]; 4.871[s, J <0.5Hz, 2-H(C)]; 4.712[d, J 2.5Hz, 4-H(F)]; 4.700[d, J 10.5Hz, 2-H(F)]; 4.538[dd, J 10.5 en 2.5Hz, 3-H(F)]; 4.243[d, J 3.0Hz, 3-H(C)]; 3.928-3.673[s, 6xOMe]

Massa Skema 5 Tabel 9

SD (CH<sub>3</sub>CN) Plaat 58

16.3 6-*Flavan-4-iel derivate van [3,4':3',4]-O,0-gekoppelde 2,3-trans-3,4-cis:2',3'-trans-3',4'-cis-profisetinidien*

Asetilering en dlc-skeiding van die  $R_f$  0.06 fraksie (99mg) (B:A / 95:5, v/v,  $\times 4$ ) het twee produkte met  $R_f$ 's 0.34 (11.9mg) en 0.29 (30.8mg) gelewer.

16.3.1 6-[2,3-Trans-3,4-trans-3-asetoksi-3',4,7-trimetoksiflavan-4-iel]derivaat (114b)

Die monoasetaat (11.9mg) is as 'n kleurlose vastestof verkry.

Gevind C68.1 : H5.8 C<sub>56</sub>H<sub>56</sub>O<sub>16</sub> vereis C68.3 : H5.7%

KMR Plaat 10 δ 100°C, C<sub>6</sub>D<sub>6</sub>  
 7.21-6.32 m, 15x arom. H ; 6.68 s, 8-H(A) ; 6.44 s, 5-H(A) ;  
 6.09 tr, ΣJ 18.0Hz, 3-H(I) ; 5.19 d, J 8.75Hz, 2-H(C) ;  
 5.13 d, J 10.0Hz, 2-H(F) ; 5.08 d, J 9.0Hz, 2-H(I) ;  
 4.78 d, J 4.5Hz, 4-H(C) ; 4.73 d, J 4.4Hz, 4-H(F) ; 4.66 d,  
 J 9.0Hz, 4-H(I) ; 4.35 dd, J 10.0 en 4.4Hz, 3-H(F) ; 4.30 dd,  
 J 8.75 en 4.5Hz, 3-H(C) ; 3.31-3.56 s, 9xOMe en 1.44 s,  
 3-OAc(I)

Massa Skema 6 Tabel 10

SD Plaat 59

16.3.2 6-[2,3-Trans-3,4-cis-3-asetoksi-3',4'-7-trimetoksiflavan-4-iel]derivaat (115b)

Die monoasetaat (30.9mg) is as 'n kleurlose vastestof verkry.

kry.

Gevind C68.2 : H5.7 C<sub>5</sub>H<sub>5</sub>O<sub>10</sub> vereis C68.3 en H5.7%

KMR Plaat 11 δ 100°C C<sub>6</sub>D<sub>6</sub>

7.22-6.28[m, 15x arom. prot]; 6.77[s, 8-H(A)]; 6.41[s, 5-H(A)]; 5.81[dd, J 6.0 en 5.0Hz, 3-H(I)]; 5.42[d, 6.0Hz, 2-H(I)]; 5.16[d, J 9.0Hz, 2-H(F)]; 5.09[d, J 10.0Hz, 2-H(C)]; 5.06[d, J 5.0Hz, 4-H(I)]; 4.65[d, J 4.5Hz, 4-H(C)]; 4.61[d, J 4.75Hz, 4-H(F)]; 4.31[dd, J 10.0 en 4.5Hz, 3-H(C)]; 4.17[dd, J 9.0 en 4.75Hz, 3-H(F)]; 3.56-3.28[s, 9xOMe]; 1.49[s, 3-OAc(I)]

Massa Skema 6 Tabel 10

SD Plaat 59

-----ooOoo-----

HOOFSTUK 17FLOBAFEENVORMING

[4,8]-*Trans*(-)-fisetinidol-(+)-katesjien biflavanoïed (9a) (2x 500mg) is in etanol (2x 5ml) opgelos. Asynsuur (5ml) en monochloorasynsuur (2g) is bygevoeg en die mengsel vir 24 uur onder stikstof gerefluks. Skeiding op sephadex LH20 kolomme 2x (46x3.5cm) met etanol as eluant het die volgende fraksies gelewer. Proefbuise 31-35 (8mg), 38-40 (53mg), 53-69 (135mg), 72-84 (247mg), 85-97 (47mg), 119-170 (85.5mg) en 170-250 (97mg).

17.1 (2R,3S)-2,3-trans-3-monochloorasetoksi-3',4',5,7-tetrahidroksiflavaan

Die monochloorasetoksiderivaat fraksie 31-35 (8mg) is as 'n kleurlose vastestof verkry.

KMR Plaat 12

Massa Skema 7

17.2 (2R,3S)-2,3-trans-3,3',4',5,7-pentahidroksiflavaan (3a)

Die tweede fraksie 38-40 (53mg) bevat die vrygestelde (+)-katesjien.

Dlc-skeiding van die derde fraksie 53-69 (135mg) (B:A:M / 6:3:1, v/v) het twes bande met  $R_f$ 's 0.35 (16mg) (ongeardeerde [4,8]-*trans* biflavanoïed) en 0.31 (39mg) onderskeide=

lik gelewer. Metilering en dlc-skeiding van die  $R_f$  0.31 (39mg) fraksie (DCE:A / 9:1, v/v,  $\times 3$ ) het twee produkte met  $R_f$ 's 0.47 (9.0mg) en 0.41 (7.7mg) gelewer.

17.3 [8R,9S,10R]-8,9-trans-9,10-cis-9-asetoksi-8-[3,4-dimetoksifeniel]-10-[2,4-dimetoksifeniel]-dihidropirano-[5,6-h]-[2R,3S]-2,3-trans-3-asetoksi-2-[3,4-dimetoksifeniel]-5-metoksi-4H-dihidrochroomen (102c)

Die dihidrochroomen (9.0mg) is as 'n kleurlose vastestof verkry.

Gevind : C64.7 H6.2;  $C_{41}H_{44}O_{13} \cdot H_2O$  benodig C64.6 en H6.1%

KMR Plaat 13  $\delta$   $CDCl_3$

6.73-6.89 [6x arom. prot.]; 6.79 [d,  $J$  8.9Hz, 6-H(A)];  
 6.39 [dd,  $J$  2.5 en 8.9Hz, 5-H(A)]; 6.28 [d,  $J$  2.5Hz, 3-H(A)];  
 6.19 [s, 6-H(D)]; 5.53 [dd,  $J$  6.0 en 10.04Hz, 3-H(C)]; 5.24 [m,  
 3-H(E)]; 5.09 [d,  $J$  6.0Hz, 4-H(C)]; 4.98 [d,  $J$  10.04Hz,  
 2-H(C)]; 4.62 [d,  $J$  7.0Hz, 2-H(F)]; 3.86-3.55 [s, 7xOMe];  
 1.88 en 1.68 [s, 2xOAc]

Massa Skema 8 Tabel 11

SD (MeOH) Plaat 60

17.4 [8S,9S,10R]-8,9-cis-9,10-cis-9-asetoksi-8-[3,4-dimetoxsifeniel]-10-[2,4-dimetoksifeniel]-dihidropirano-[5,6-h]-[2R,3S]-2,3-trans-3-asetoksi-2-[3,4-dimetoksifeniel]-5-metoksi-4H-dihidrochroomeen (103c)

Die dihidrochroomeen (7.7mg) is as 'n kleurlose vastestof verkry.

Gevind : C65.9 H6.1 : C<sub>41</sub>H<sub>44</sub>O<sub>13</sub> vereis C66.1 en H6.0%

KMR Plaat 14 δ CDCl<sub>3</sub>

7.50 [d, J 8.0Hz, 6-H(A)] ; 6.61-6.84 [6x arom. prot.] ;  
 6.50 [dd, J 2.4 en 8.0Hz, 5-H(A)] ; 6.31 [d, J 2.4Hz, 3-H(A)] ;  
 6.30 [s, 6-H(D)] ; 5.26-5.47 [m, 2-H(C), 4-H(C) en 3-H(F)] ;  
 4.85 [d, J 6.0Hz, 2-H(F)] ; 4.34 [verb.d, J 1.5Hz, 4-H(F)] ;  
 4.01-3.52 [s, 7xOAc] ; 2.73-2.88 [m, 4-H<sub>aks</sub> en 4-H<sub>ekw</sub> (F)] ;  
 1.95 en 1.91 [2xOAc]

Massa Skema 8 Tabel 11

SD (MeOH) Plaat 60

Die oorblywende fraksies het die volgende produkte gelewer:  
 72-84 (247mg) - ongereageerde [4,8]transbiflavanoïed;  
 85-97 (47mg) - dlc-skeiding (B:A:M / 6:3:1, v/v) het die [4,6]cis (4mg) en [4,8]trans biflavanoïed (10mg) gelewer.  
 119-170 (85.5mg) - dlc-skeiding (B:A:M / 6:3:1, v/v) het die [4,6]trans biflavanoïed gelewer (8mg).  
 170-250 (97mg) - Metilering, skeiding (B:A / 7:3, v/v) en asetilering het 'n mengsel (4.3mg) van die alles-trans en 6-cis:8-trans triflavanoïede gelewer.

Die strukture van die biflavanoïede is bepaal deur vergelyking van hul kmr-spektra met dié van bekende monsters in hoofstuk 18 bespreek.

-----ooOoo-----

HOOFSTUK 18KOPPELING VAN (+)-KATESJIEN AAN (+)-MOLLISACACIDIEN

(+)-Katesjien (2g) en (+)-mollisacacidien (1g) is in 0.1NHCl (50ml) opgelos en vir 12 uur by kamertemperatuur gelaat. Hierna is met etielasetaat (4x80ml) geëkstraheer, die gekombineerde ekstrakte oor Na<sub>2</sub>SO<sub>4</sub> gedroog, ingedamp en op 'n sephadex LH20 kolom met etanol as eluant geskei om die volgende fraksies te lewer.

Proefbuise	Produkte	Opbrengs	Fraksie
28-57	(+)-katesjien ( <u>3a</u> )	650mg	A
65-95	[4,8]- <i>cis</i> FK ( <u>10</u> )	296mg	B
97-115	[4,8]- <i>trans</i> FK ( <u>9</u> )	471mg	C
116-141	[4,8]- <i>trans</i> + [4,6]- <i>cis</i> FK	180mg	D
150-190	[4,6]- <i>trans</i> + trimere	175mg	E

18.1 (2R,3S,4R)-2,3-*trans*-3,4-*cis*-3-asetoksi-4-[ (2R,3S)-2,3-*trans*-3-asetoksi-3',4',5,7-tetrametoksiflavan-8-iel]-3',4',7-trimetoksiflavaan (10c)

Metilering (50mg) en asetilering van fraksie B (proefbuise 65-95) het die diasetaat as 'n kleurlose vastestof gelewer met kmr (plaat 16), ms en SD identies aan dié voorheen<sup>25</sup> verkry.

18.2 (2R,3S,4S)-2,3-trans-3,4-trans-3-asetoksi-4-[ (2R,3S)-  
2,3-trans-3-asetoksi-3',4',5,7-tetrametoksiflavan-8-iel]-3',4',7-trimetoksiflavaan (9c)

Metilering (50mg) en asetilering van fraksie C (proefbuise 97-115) het die diasetaat as 'n kleurlose vastestof gelewer met spektroskopiese eienskappe (kmr (plaat 17), ms en SD) identies aan dié voorheen<sup>25</sup> verkry.

18.3 (2R,3S,4R)-2,3-trans-3,4-cis-3-asetoksi-4-[ (2R,3S)-  
2,3-trans-3-asetoksi-3',4',5,7-tetrametoksiflavan-6-iel]-3',4',7-trimetoksiflavaan (106c)

DLC-skeiding (B:A:M / 6:3:1) van fraksie D (proefbuise 116-141) het twee produkte met R<sub>f</sub>'s 0.42 (54mg) en 0.33 (65mg) (4,8-trans FK-biflavanoïed) gelewer. Metilering en asetilering van die R<sub>f</sub> 0.42 band het die diasetaat as 'n kleurlose vastestof gelewer.

Gevind      C66.0      H6.1      :      C<sub>41</sub>H<sub>44</sub>O<sub>13</sub> benodig C66.1 en  
H6.0%

KMR	Plaat 14	$\delta$	DMSO	150°C
6.94-6.33 [m, arom. prot.] ;	5.43 [dd, J 8.0 en 6.4Hz,			
3-H(C)] ;	5.20 [m, 3-H(F)] ;	5.17 [d, J 8.0Hz, 2-H(C)] ;		
5.12 [d, J 6.0Hz, 2-H(F)] ;	4.77 [d, J 6.4Hz, 4-H(C)] ;			
3.76-3.33 [s, 7xOMe] ;	3.07-2.61 [m, 4-H <sub>aks+ekw</sub> (F)] ;			
1.90 [s, 3-OAc (F)] ;	1.62 [s, 3-OAc(C)]			

Massa      Skema 9

SU      Plaat 61

18.4 (2R,3S,4S)-2,3-trans-3- $\alpha$ -setoksi-4-[ (2R,3S) -2,3-trans-3- $\alpha$ -setoksi-3',4',5,7-tetrametoksiflavan-6-iel]-3',4',7-trimetoksiflavaan (11c)

DLC-skeiding (B:A:M / 6:3:1, v/v) van fraksie E (proefbui=se 150-190) het twee bande met  $R_f$ 's 0.42 (108mg) en 0.24 (30mg) gelewer. Metilering en asetilering (50mg) van die  $R_f$  0.42 band het die diasetaat as 'n kleurlose vaste=stof gelewer met spektroskopiese eienskappe identies aan die voorheen<sup>25</sup> verkry (kmr plaat 15).

18.5 Die  $R_f$  0.24 fraksie bestaan uit triflavanoïede wat nie verder ondersoek is nie.

-----ooOoo-----

HOOFSTUK 19

KOPPELING VAN (+)-KATESJIEN AAN TRI-O-METIEL(+)-MOLLI=SACACIDIENDIASETAAT (8c)

(+)-Katesjien (290mg, 1mmol) en tri-O-metiel-(+)-molli=sacacidiendiasetaat (200mg, 0.48mmol), is in metanol (10ml) opgelos waarby 20 druppels 1NHCl gevoeg is en vir 48 uur by 50°C gelaat. DLC-skeiding (B:A:M / 7:2:1) het 3 bande met  $R_f$ 's 0.42 (30mg), 0.37 (4.3mg) en 0.3 (113mg; ongereegeerde (+)-katesjien) onderskeidelik gelewer.

19.1 (2R,3S,4R)-2,3-trans-3,4-cis-3-asetoksi-4-[(2R,3S)-2,3-trans-3-asetoksi-3',4',5,7-tetrametoksi=flavan-8-iel]-3',4',7-trimetoksiflavaan (10c)

Metilering, dlc-skeiding (DCE:A / 9:1, v/v,  $\times 3$ ) ( $R_f$  0.52) en asetilering het die [4,8]-*cis*-biflavanoïed (15mg) gelewer met spektroskopiese eienskappe identies aan dié voorheen verkry<sup>25</sup>.

19.2 (2R,3S,4R)-2,3-trans-3,4-trans-3-asetoksi-4-[(2R,3S)-2,3-trans-3-asetoksi-3',4',5,7-tetrametoksiflavan-8-iel]-3',4',7-trimetoksiflavaan (9c)

Metilering, dlc-skeiding (B:A / 9:1, v/v,  $\times 2$ ) ( $R_f$  0.53) en asetilering het die [4,8]-*trans*-biflavanoïed (26mg) gelewer met spektroskopiese eienskappe identies aan dié voorheen verkry<sup>25</sup>.

HOOFSTUK 20KOPPELING VAN (-)-FISETINIDOL AAN TRI-O-METIEL-(+)-MOLLISACACIDIEN

(-) -Fisetinidol (411mg, 1.5mmol) en tri-O-metiel-(+)-mollisacacidien is in metanol (10ml) opgelos waarby 10 druppels 1NHCl gevoeg is en vir  $3\frac{1}{2}$  dae by  $50^{\circ}\text{C}$  gelaat. DLC-skeiding (B:CH<sub>2</sub>Cl<sub>2</sub>:M / 5:4:1, v/v,  $\times 2$ ) het 2 bande met R<sub>f</sub>'s 0.29 (154.5mg) en 0.26 (160.2mg) (ongereageerde (-)-fisetinidol) onderskeidelik gelewer.

Metilering en dlc-skeiding (B:A / 8:2, v/v,  $\times 2$ ) van die R<sub>f</sub> 0.29 fraksie het twee bande met R<sub>f</sub>'s 0.45 (28.4mg) en 0.39 (38.6mg) onderskeidelik gelewer.

20.1 [2R:3S:4S]-2,3-trans-3,4-cis-3-asetoksi-4-[ (2R, 3S)-2,3-trans-3-asetoksi-3',4',7-trimetoksiflavan-6-iel]-3',4',7-trimetoksiflavaan (34c)

Asetilering van die R<sub>f</sub> 0.45 fraksie het die biflavanoïed gelewer met spektroskopiese sienskappe identies aan dié voorheen verkry<sup>25,34</sup>.

KMR	Plaat 18	$\delta$ DMSO	$170^{\circ}\text{C}$
-----	----------	---------------	-----------------------

20.2 [2R:3S:4R]-2,3-trans-3,4-trans-3-asetoksi-4-[ (2R, 3S)-2,3-trans-3-asetoksi-3',4',7-trimetoksiflavan-6-iel]-3',4',7-trimetoksiflavaan (33c)

Asetilering van die R<sub>f</sub> 0.39 fraksie het die biflavanoïed

gelewer met spektroskopiese eienskappe identies aan dié voorheen verkry<sup>25,34</sup>.

KMR                  Plaat 19                   $\delta$  DMSO       $170^{\circ}\text{C}$

-----oo0oo-----

HOOFSTUK 21

# SINTESE VAN LINEËRE TETRAFLAVANOÏDE

Die vryfenoliese triflavanoïedband van die sephadex LH20 skeiding van die ru-ekstrak van *A. mearnsii* (3.1g) (hoofstuk 14) en (+)-katesjien (4g) is in 0.1NHCl (200 cm<sup>3</sup>) opgelos en vir 24 uur by kamertemperatuur gelaat. Die reaksiemengsel is met etielasetaat (4x150ml) geëkstraheer, die gekombineerde ekstrakte gedroog ( $\text{Na}_2\text{SO}_4$ ), ingedamp en op dlc-plate (B:A:M / 6:3:1, v/v, x2) geskei om drie bande, met  $R_f$ 's 0.36 (455.3mg, angulêre trimere), 0.31 (269.3mg) en 0.26 (436.3mg) onderskeidelik, te lewer.

21.1 Metilering van die  $R_f$  0.31 (269.3mg) fraksie en dlc-skeiding (B:A / 8:2, v/v, x3) het 'n enkele band,  $R_f$  0.15 (56.2mg) gelewer. Asetilering en daaropvolgende dlc-skeiding (H:A:EtOAc / 55:35:10, v/v, x3) het twee bande met  $R_f$ 's 0.44 (12.4mg) en 0.30 (23.8mg) onderskeidelik gelewer.

21.1.1 (2R,3S)-2,3-trans-3-asetoksi-6-[(2R,3S,4S)-  
 2,3-trans-3,4-trans-3-asetoksi-6-[(2R,3S,4R)-  
 2,3-trans-3,4-trans-3-asetoksi-6-[(2R,3S,4S)-  
 2,3-trans-3,4-cis-3-asetoksi-3',4',7-trimetoksiflavan-4-iel]-3',4',7-trimetoksiflavan-4-iel]-3',4',7-trimetoksiflavan-4-iel]-3',4',=5,7-tetrametoksiflavan (117c)

Die tetraasetaat ( $R_f$  0.44, 12.4mg) is as 'n kleurlose vaste-

stof verkry.

KMR Tabel 15 Plaat 20

Massa Tabel 12 Skema 10

SD Plaat 62

21.1.2 (2R,3S)-2,3-trans-3-asetoksi-8-[(2R,3S,4R)-  
 2,3-trans-3,4-cis-3-asetoksi-6-{(2R,3S,4R)-  
 2,3-trans-3,4-trans-3-asetoksi-6-[(2R,3S,4R)-  
 2,3-trans-3,4-trans-3-asetoksi-3',4',7-tri=  
 metoksiflavan-4-iel]-3',4',7-trimetoksifla=  
 van-4-iel}-3',4',7-trimetoksiflavan-4-iel]-  
 3',4',5,7-tetrametoksiflavaan (119c)

Die  $R_f$  0.30 (23.8mg) band het die tetraasetaat as 'n kleurlose vastestof gelewer.

KMR Tabel 15 Plaat 22

Massa Tabel 12 Skema 10

SD Plaat 63

21.2 Metilering van die  $R_f$  0.26 fraksie (436.3mg), dlc-skeiding (B:A / 8:2, v/v,  $\times 3$ ),  $R_f$  0.12 (54.6mg), asetilering en daaropvolgende dlc-skeiding (H:A:EtOAc / 55:35:10, v/v,  $\times 3$ ) het 'n enkele band,  $R_f$  0.32 (23.2mg), gelewer.

21.2.1 (2R,3S)-2,3-trans-3-*asetoksi*-8-[(2R,3S)-  
 2,3-trans-3,4-trans-3-*asetoksi*-6-{(2R,3S,  
 4R)-2,3-trans-3,4-trans-3-*asetoksi*-6-[ (2R,  
 3S,4S)-2,3-trans-3,4-cis-3-*asetoksi*-3',4',  
 7-trimetoksiflavan-4-iel]-3',4',7-trimetoksiflavan-4-iel} 3',4',7-trimetoksiflavan-4-iel]-3',4',5,7-tetrametoksiflavaan (118c)

Die tetraasetaat is as 'n kleurlose vastestof (23.2mg) verkry.

KMR Tabel 15 Plaat 21

Massa Tabel 12 Skema 10

SD Plaat 63

-----ooOoo-----

## HOOFSTUK 22

### SINTESE VAN LINEËRE TRIFLAVANOÏEDE

'n Mengsel van die fenoliese diolbiflavanoïede (5.62g, 0.01mol) (vir isolasie, sien hoofstuk 14) en (+)-katesien (11.60g, 0.04mol) is in 0.1NHCl (400cm<sup>3</sup>) opgelos en vir 42 uur by kamertemperatuur gelaat. Hierna is met EtOAc geëkstraheer (4x200ml) die gekombineerde ekstrakte gedroog (Na<sub>2</sub>SO<sub>4</sub>) en ingedamp. TLC-skeiding (B:A:M / 6:3:1, v/v, 320 plate) het twee bande met R<sub>f</sub>'s 0.35 (443.3mg) en 0.19 (2.048g) onderskeidelik gelewer.

22.1 Metiling van die R<sub>f</sub> 0.35 band en dlc-skeiding (DCE:A / 85:15, v/v, x3) het twee bande het R<sub>f</sub>'s 0.37 (45.4mg) en 0.27 (34.5mg) onderskeidelik gelewer.

22.1.1 Asetilering en dlc-skeiding van die R<sub>f</sub> 0.37 band (B:A / 9:1, v/v, x3 - R<sub>f</sub> 0.30 (22.2mg) en herskeiding DCE:A / 96:4, v/v, x8) het een band met R<sub>f</sub> 0.26 (3mg) gelewer.

(2R,3S)-2,3-trans-3-asetoksi-6-[(2R,3S,4R)-  
2,3-trans-3,4-cis-3-asetoksi-6-[(2R,3S,4R)-  
2,3-trans-3,4-trans-3-asetoksi-3',4'-7-tri=  
metoksiflavan-4-iel]-3',4',7-trimetoksi=  
flavan-4-iel]-3',4',5,7-tetrametoksiflavaan  
(130c)

Die triasetaat (R<sub>f</sub> 0.26, 3mg) is as 'n kleurlose vastestof geïsoleer.

Gevind : C<sub>66</sub>.4 H<sub>5.7</sub> C<sub>61</sub>H<sub>64</sub>O<sub>19</sub>, vereis C<sub>66</sub>.5 en H<sub>5.8%</sub>

KMR Tabel 16 Plaat 23

Massa Tabel 13 Skema 11

SD Plaat 64

22.1.2 (2R,3S)-2,3-trans-3-asetoksi-6- (2R,3S,4S)-2,3-trans-3,4-trans-3-asetoksi-6-[ (2R,3S,4S)-2,3-trans-3,4-cis-3-asetoksi-3',4',7-trimetoksi-flavan-4-iel]-3',4',7-trimetoksiflavan-4-iel}-3',4',5,7-tetrametoksiflavaan (128c)

Asetilering van die R<sub>f</sub> 0.27 fraksie (34.5mg) en dlc-skeiding (B:A / 9:1, v/v, ×3) het die triasetaat as 'n kleurlose vastestof, R<sub>f</sub> 0.35 (22,6mg), gelewer.

Gevind C<sub>66</sub>.7 H<sub>5.7</sub> C<sub>61</sub>H<sub>64</sub>O<sub>19</sub>, vereis C<sub>66</sub>.5 en H<sub>5.8%</sub>

KMR Tabel 16 Plaat 24

Massa Tabel 13 Skema 11

SD Plaat 65

22.2 Metilering (400mg) van die R<sub>f</sub> 0.29 band, dlc-skeiding (DCE:A / 85:15, v/v, ×3), R<sub>f</sub> 0.32 (151.6mg), asetilering en dlc-skeiding (H:A:EtOAc / 60:25:15, ×2) het twee bande met R<sub>f</sub>'s 0.31 (14mg) en 0.26 (61.5mg) onderskeidelik gelewer.

22.2.1 (2R,3S)-2,3-trans-3,7-diasetoksi-8-{(2R,3S,  
4S)-2,3-trans-3,4-trans-3-asetoksi-6-[ (2R,  
3S,4S)-2,3-trans-3,4-cis-3-asetoksi-3',4',7-  
trimetoksiflavan-4-iel]-3',4',7-trimetoksi=  
flavan-4-iel}-3',4',5-trimetoksiflavaan (132c)

Die tetraasetaat ( $R_f$  0.31, 14mg) is as 'n kleurlose vaste=  
stof verkry.

Gevind C66.0 H5.8  $C_{62}H_{64}O_{20}$  vereis C65.9 en H5.7%

KMR Tabel 16 Plaat 26

Massa Tabel 13 Skema 11

SD Plaat 65

22.2.2 (2R,3S)-2,3-trans-3-asetoksi-8-{(2R,3S,4S)-  
2,3-trans-3,4-trans-3-asetoksi-6-[ (2R,3S,4S)-  
2,3-trans-3,4-cis-3-asetoksi-3',4'-7-trime=  
toksiflavan-4-iel]-3',4',7-trimetoksiflavan-  
4-iel}-3',4',5,7-tetrametoksiflavaan (124c)

Die triasetaat ( $R_f$  0.26, 61.5mg) is as 'n kleurlose vaste=  
stof verkry.

Gevind C66.4 H5.9  $C_{61}H_{64}O_{19}$  vereis C66.5 en H5.8%

KMR Tabel 16 Plaat 27

Massa Tabel 13 Skema 11

SD Plaat 64

HOOFSTUK 23ISOLASIE VAN TETRAFLAVANOÏEDE UIT A. MEARNSSII

Skeiding van die deurloop vanaf sellulose kolomme (48g) (hoofstuk 14) op twee Sephadex LH20 kolomme (140x4cm) met etanol-asetoon (9:1, v/v) as eluant, het die volgende fraksie gelewer:

Fraksie	Buise	Massa
A	1-8	
B	9-17	
C	18-40	4.18g (triflavanoïede)
D	41-160	11.74g
E	161-230	4.69g
F	231-280	2.85g
G	Etanol deurloop	1.33g
H	Asetoon/water deurloop	2.18g

DLC-skeiding van fraksie D (11.74g) (B:A:M / 6:3:1, v/v, x2) het twee bande met  $R_f$ 's 0.31 (2.33g, triflavanoïede) en 0.23 (2.31g) onderskeidelik gelewer. Die  $R_f$  0.23 band (2.31g) is gemetileer, geskei (B:A / 7:3, v/v  $R_f$  0.28, 752mg) en geasetileer. Skeiding van die asetaat (400mg) B:A:M / 90:9:1, v/v, x2) het twee bande met  $R_f$ 's 0.30 (98.5mg) en 0.23 (123mg) gelewer.

23.1 (2R,3S)-2,3-trans-3-asetoksi-6-[(2R,3S,4R)-2,3-trans-3,4-cis-3-asetoksi-3',4',7-trimetoksiflavan-4-iel]-8-{(2R,3S,4R)-2,3-trans-3,4-cis-3-asetoksi-6-[(2R,3S,4S)-2,3-trans-3,4-cis-3-asetoksi-3',4',7-trimetoksiflavan-4-iel]-3',4',7-trimetoksiflavan-4-iel}-3',4',5,7-tetrametoksi-flavaan (134c)

Die tetraasetaat (985mg) is as 'n kleurlose vastestof verkry met SD, kmr en ms dieselfde as dié van die sintetiese tetraflavanoïed in hoofstuk 24 bespreek.

23.2 (2R,3S)-2,3-trans-3-asetoksi-6-[(2R,3S,4S)-2,3-trans-3,4-trans-3-asetoksi-3',4',7-trimetoksiflavan-4-iel]-8-{(2R,3S,4R)-2,3-trans-3,4-cis-3-asetoksi-6-[(2R,3S,4S)-2,3-trans-3,4-cis-3-asetoksi-3',4',7-trimetoksiflavan-4-iel]-3',4',5-trimetoksiflavan-4-iel}-3',4',5,7-tetrametoksiflavaan (135c)

Die tetraasetaat (123mg) is as 'n kleurlose vastestof verkry met SD, kmr en massa gegewens identies aan dié van die sintetiese tetraflavanoïed in hoofstuk 24 bespreek.

Metilering (2g) van fraksie E en dlc-skeiding (B:A:M / 78:20:2, v/v, x2) het 'n enkele band ( $R_f$  0.31, 375.5mg) gelewer. Asetilering en skeiding (B:A:M / 90:8:2, v/v, x5) het twee bande met  $R_f$ 's 0.41 (69.3mg) en 0.34 (43.9mg) gelewer.

23.3 (2R,3S)-2,3-trans-3-asetoksi-6-[ (2R,3S,4R)-2,3-trans-3,4-cis-3-asetoksi-3',4',7-trimetoksiflavan-4-iel]-8-{(2R,3S,4S)-2,3-trans-3,4-trans-3-asetoksi-6-[ (2R,3S,4S)-2,3-trans-3,4-trans-3-asetoksi-3',4',7-trimetoksiflavan-4-iel]-3',4',7-trimetoksiflavan-4-iel}-3',4',5,7-tetrametoksiflavaan (137c)

Die tetraasetaat (69.3mg) is as 'n kleurlose vastestof verkry met SD, kmr en massa gegewens identies aan dié van die sintetiese tetraflavanoïed in hoofstuk 24 bespreek.

23.4 (2R,3S)-2,3-trans-3-asetoksi-6-[ (2R,3S,4S)-2,3-trans-3,4-trans-3-asetoksi-3',4',7-trimetoksiflavan-4-iel]-8-{(2R,3S,4S)-2,3-trans-3,4-trans-3-asetoksi-6-[ (2R,3S,4R)-2,3-trans-3,4-trans-3-asetoksi-3',4',7-trimetoksiflavan-4-iel]-3',4',7-trimetoksiflavan-4-iel}-3',4',5,7-tetrametoksiflavaan (136c)

Die tetraasetaat (43.9mg) is as 'n kleurlose vastestof verkry met SD, kmr en massa gegewens identies aan dié van die sintetiese tetraflavanoïed in hoofstuk 24 bespreek.

-----ooOoo-----

HOOFSTUK 24SINTESE VAN 'ANGULêRE' TETRAFLAVANOÏEDE

## 24.1 Kondensasie van heksa-O-metieltriasetaatdiolbiflavanoïede aan FK dimere

Vir bogenoemde koppelingsreaksies is die volgende procedure gevolg. Die FK en diolbiflavanoïede is in metanol (5ml) opgelos waarby 10 druppels 1NHCl gevoeg is en die mengsel vir 60 uur by 50°C gelaat. Hierna is water (10ml) bygevoeg, met EtOAc geëkstraheer (8x20ml), die EtOAc fraksies gekombineer, gedroog oor Na<sub>2</sub>SO<sub>4</sub>, ingedamp, dlc-skeiding, metilering met diasometaan en asetilering met nodige skeidings. Die verkryging van die sintetiese tetraflavanoïede word vervolgens kortlik uiteengesit.

24.1.1 (2R,3S)-2,3-trans-3-asetoksi-6-[(2R,3S,4S)-2,3-trans-3,4-trans-3,4-trans-3-asetoksi-3',4',7-trimetoksiflavan-4-iel]-8-{(2R,3S,4S)-2,3-trans-3,4-trans-3-asetoksi-6-[(2R,3S,4S)-2,3-trans-3,4-cis-3-asetoksi-3',4',7-trimetoksiflavan-4-iel]-3',4',7-trimetoksiflavan-4-iel}-3',4',5,7-tetrametoksiflavaan (139c)

Bogenoemde tetraflavanoïed is volgens twee verskillende sintetiese weë verkry.

24.1.1.1 [4,6]-trans-FK dimeer (225mg, 0.4mmol)  
en trans-cis:trans-cis dioldimeer

(152mg, 0.2 mmol), dlc-skeiding (B:A:M / 7:2:1) lewer een band,  $R_f$  0.3 (92.6mg). Metilering en dlc-skeiding (B:A / 7:3, v/v,  $\times 2$ ) lewer 'n enkele band met  $R_f$  0.29 (16.7mg).

Asetilering het die tetraasetaat as 'n kleurlose vastestof gelewer.

24.1.1.2 [4,6]-*trans*-FK dimeer (450mg, 0.8mmol) en *trans-cis:cis-trans* dioldimeer (305mg, 0.4mmol), dlc-skeiding (B:A:M / 7:2:1, v/v) lewer een band,  $R_f$  0.31 (160mg). Metilering en dlc-skeiding (B:A / 7:3, v/v) lewer 'n enkele band met  $R_f$  0.15 (23.4mg).

Asetilering het die tetraasetaat as 'n kleurlose vastestof gelewer.

Gevind : C66.6 H5.9 :  $C_{81}H_{84}O_{25}$  vereis C66.7 en H5.8%

KMR Plaat 37 Tabel 17  $\delta$  DMSO  $170^{\circ}\text{C}$

Massa Skema 12 Tabel 14

SD Plaat 68

24.1.2 (2R,3S)-2,3-trans-3-asetoksi-6-[(2R,3S,4R)-  
 2,3-trans-3,4-cis-3-asetoksi-3',4',7-  
 trimetoksiflavan-4-iel]-8-[(2R,3S,4S)-  
 2,3-trans-3,4-trans-3-asetoksi-6-[(2R,3S,4S)-  
 2,3-trans-3,4-cis-3-asetoksi-3',4',7-trime=  
 toksiflavan-4-iel]-3',4',7-trimetoksiflavan-  
 4-iel}-3',4',5,7-tetrametoksiflavaan (138c)

[4,6]-*cis*-FK dimeer (225mg, 0.4mmol) en *trans-cis:trans-cis*  
 dioldimeer (152mg, 0.2mmol), dlc-skeiding (B:A:M / 7:2:1,  
 v/v, x3) het een band met  $R_f$  0.25 (104.4mg) gelewer. Me=  
 tilering, dlc-skeiding (B:A:M / 78:20:2, v/v, x2) ( $R_f$  0.33,  
 19mg), asetilering gevvolg deur dlc-skeiding (B:A:M /  
 85:14:1, v/v, x2) het die tetraasetaat,  $R_f$  0.39 (7mg) as  
 'n kleurlose vastestof gelewer.

Gevind C66.6 H5.9 : C<sub>81</sub>H<sub>84</sub>O<sub>25</sub> vereis C66.7 en H5.8%

KMR                  Plaat 36                  Tabel 17                  δ DMSO                  170°C

Massa                  Skema 12                  Tabel 14

SD                  Plaat 69

24.1.3 (2R,3S)-2,3-trans-3-asetoksi-6-[(2R,3S,4S)-  
 2,3-trans-3,4-trans-3-asetoksi-6-[(2R,3S,4S)-  
 2,3-trans-3,4-cis-3-asetoksi-3',4',7-trime=  
 toksiflavan-4-iel]-3',4',7-trimetoksiflavan-  
 4-iel}-8-[(2R,3S,4S)-2,3-trans-3,4-trans-3-  
 asetoksi-3',4',7-trimetoksiflavan-4-iel]-3',  
 4',5,7-tetrametoksiflavaan (147c)

Bogenoemde tetraflavanoïed is vanaf twee verskillende sin=

teses soos volg verkry.

24.1.3.1 [4,8]-*trans*-FK dimeer (225mg, 0.4mmol) en *trans-cis:cis-trans-cis* dioldimeer (152mg, 0.2mmol), dlc-skeiding (B:A:M / 7:2:1, v/v, x2) lewer een band,  $R_f$  0.19 (46.5mg).

Metilering, dlc-skeiding (B:A / 7:3, v/v) ( $R_f$  0.32, 15.3mg) en asetilering het die tetraasetaat as 'n kleurlose vastestof gelewer.

24.1.3.2 [4,8]-*trans*-FK dimeer (450mg, 0.8mmol) en *trans-cis:cis-trans-trans* dioldimeer (305mg, 0.4mmol), dlc-skeiding (B:A:M / 7:2:1, v/v, x4) het een band,  $R_f$  0.39 (100mg), gelewer.

Metilering en skeiding (B:A:M / 80:17:3, v/v) het 'n band met  $R_f$  0.22 (27mg) gelewer. Asetilering en dlc-skeiding (DCE:A / 82:18, v/v, x2) het die tetraasetaat ( $R_f$  0.30, 17.2mg) as 'n kleurlose vastestof gelewer.

Gevind C66.5 H6.0 : C<sub>8</sub>H<sub>8</sub>O<sub>2</sub>S vereis C66.7 en H5.8%

KMR Plaat 34 Tabel 18

Massa Skema 12 Tabel 14

SD Plaat 70

24.1.4 (2R,3S)-2,3-trans-3-asetoksi-6-[(2R,3S,4S)-2,3-trans-3,4-trans-3-asetoksi-6-[(2R,3S,4S)-2,3-trans-3,4-cis-3-asetoksi-3',4',7-trimetoksiflavan-4-iel]-3',4',7-trimetoksiflavan-4-iel}-8-[(2R,3S,4R)-2,3-trans-3,4-cis-3-asetoksi-3',4'-7-trimetoksiflavan-4-iel]-3',4',5,7-tetrametoksiflavaan (146c)

[4,8]-*cis*-FK dimeer (450mg, 0.8mmol) en *trans-cis:trans-cis* dioldimeer (305mg, 0.4mmol), dlc-skeiding (B:A:M / 7:2:1, v/v, x4)  $R_f$  0.37 (91.7mg), metilering, skeiding (B:A:M / 78:20:2, v/v, x2)  $R_f$  0.37 (20.9mg) en asetilering het die tetraasetaat as 'n kleurlose vastestof gelewer.

Gevind C66.6 H5.9 :  $C_{81}H_{84}O_{25}$  vereis C66.7 en H5.8%

KMR	Plaat 35	Tabel 18	$\delta$	DMSO	170°C
-----	----------	----------	----------	------	-------

Massa	Skema 12	Tabel 14
-------	----------	----------

SD	Plaat 70
----	----------

24.2 Koppeling van tri-O-metiel-(+)-mollisacacidien aan vryfenoliese FK biflavanoïede

24.2.1 Koppeling van tri-O-metiel-(+)-mollisacacidien aan [4,8]-*cis*-(-)-fisetinidol-(+)-katesjien biflavanoïede

[4,8]-*cis*-FK dimeer (562mg, 1mmol) en tri-O-metiel-(+)-mollisacacidien (996mg, 3mmol) is in metanol (15ml) opgelos waarby 15 druppels 1NHCl gevoeg is en die mengsel vir 5 dae by

50°C gelaat. Die reaksiemengsel is gekonsentreer ( $\pm$  5ml) en water (30ml) bygevoeg en met etielasetaat geëkstraheer (4x50ml). Die gekombineerde etielasetaatekstrakte is gedroog ( $\text{Na}_2\text{SO}_4$ ), ingedamp en met diazometaan gemetileer. DLC-skeiding (B:A:M / 78:20:2, v/v, x2) het een band met  $R_f$  0.28 (391.6mg) gelewer. Asetilering en dlc-skeiding (DCE:A / 9:1, v/v, x3) het twee bande met  $R_f$ 's 0.45 (20.9mg) en 0.40 (71.3mg) onderskeidelik gelewer.

24.2.1.1 (2R,3S)-2,3-trans-3-asetoksi-6-[ (2R,3S,4R)-2,3-trans-3,4-cis-3-asetoksi-3',4',7-trimetoksiflavan-4-iel]-8-{(2R,3S,4R)-2,3-trans-3,4-cis-3-asetoksi-6-[ (2R,3S,4S)-2,3-trans-3,4-cis-3-asetoksi-3',4',7-trimetoksiflavan-4-iel]-3',4',7-trimetoksiflavan-4-iel}-3',4',5,7-tetrametoksiflavaan (134c)

Die tetraasetaat ( $R_f$  0.45 20.9mg) is as 'n kleurlose vaste-stof geïsoleer met kmr, ms en SD identies aan dié uit die natuur verkry (sien hoofstuk 23).

Gevind C66.5 H5.9 :  $\text{C}_{81}\text{H}_{84}\text{O}_{25}$  vereis C66.7 en H5.8%

KMR Plaat 29 Tabel 17

Massa Skema 12 Tabel 14

SD Plaat 66

24.2.1.2 (2R,3S)-2,3-trans-3-asetoksi-6-[ (2R,3S,4S)-2,3-trans-3,4-cis-3-asetoksi-3',4',7-trimetoksiflavan-4-iel]-8-{(2R,3S,4S)-2,3-trans-3,4-cis-3-asetoksi-6-[ (2R,3S,4S)-2,3-trans-3,4-trans-3-asetoksi-3',4',7-trimetoksiflavan-4-iel]-3',4',7-trimetoksiflavan-4-iel}-3',4',5,7-tetrametoksiflavaan (135c)

Die tetraasetaat ( $R_f$  0.40 71.3mg) is as 'n kleurlose vaste-stof verkry met kmr, ms en SD identies aan dié uit die natuur verkry (sien hoofstuk 23).

Gevind C66.5 H5.9 :  $C_{81}H_{84}O_{25}$  vereis C66.7 en H5.8%

KMR Plaat 30 Tabel 17

Massa Skema 12 Tabel 14

SD Plaat 68

24.2.2 Koppeling van [4,8]-trans-FK biflavanoïed aan tri-O-metiel(+)-mollisacacidien

[4,8]-trans-FK dimeer (1.124g, 2mmol) en tri-O-metiel-(+)-mollisacacidien (1.992g, 6mmol) is in metanol (30ml) opgelos waarby 1NHCl (30 druppels) gevoeg is en die mengsel vir 5 dae by 50°C gelaat. Hierna is die reaksiemengsel gekonsentreer ( $\pm$  10ml), water (40ml) bygevoeg en met etielasetaat (4x80ml) geëkstraheer. Die gekombineerde

ekstraksies is gedroog ( $\text{Na}_2\text{SO}_4$ ), ingedamp en met diasome=taan gemetileer. DLC-skeiding (DCE:A / 8:2, v/v, x2) het twee bande met  $R_f$ 's 0.30 (229mg), triflavanoïede en  $R_f$  0.22 (320mg), tetraflavanoïede, gelewer.

#### 24.2.2.1 Triflavanoïede

Asetilering, dlc-skeiding (H:A:EtOAc / 50:35:15, v/v, x3) ( $R_f$  0.59, 63.8mg) en herskeiding (B:A / 9:1) het twee bande met  $R_f$ 's 0.36 (21.3mg) en 0.31 (14.6mg) gelewer.

24.2.2.1.1  $(2R,3S)$ -2,3-trans-3-asetoksi-6-[ $(2R,3S,4R)$ -2,3-trans-3,4-cis-3-asetoksi-3',4',7-trimetoksiflavan-4-iel]-8-[ $(2R,3S,4S)$ -2,3-trans-3,4-trans-3-asetoksi-3',4',7-trimetoksiflavan-4-iel]-3',4',5,7-tetrametoksiflavaan (13c)

Die triasetaat ( $R_f$  0.36) is as 'n kleurlose vastestof verkry met spektroskopiese eienskappe (kmr, ms en SD) identies aan dié voorheen verkry<sup>17</sup>.

24.2.2.1.2  $(2R,3S)$ -2,3-trans-3-asetoksi-6,8-di-[ $(2R,3S,4S)$ -2,3-trans-3,4-trans-3',4',7-trimetoksiflavan-4-iel]-3',4',5,7-tetrametoksiflavaan (12c)

Die triasetaat ( $R_f$  0.31) is as 'n kleurlose vastestof verkry

met spektroskopiese eienskappe (kmr, ms en SD) identies aan dié voorheen verkry<sup>17</sup>.

#### 24.2.2.2 Tetraflavanoïede ( $R_f$ 0.22; 320mg)

Asetilering van die  $R_f$  0.22 fraksie en agtereenvolgende dlc-skeidings met H:A:EtOAc / 50:35:15 (x2) ( $R_f$  0.37; 128mg) en B:A / 9:1 (x4) as loopmiddels het twee fraksies met  $R_f$  0.35 (50.3mg) en 0.29 (27.9mg) onderskeidelik gevlewer.

#### 24.2.2.2.1 (2R,3S)-2,3-trans-3-asetoksi-6-[(2R,3S,4R)-2,3-trans-3,4-cis-3-asetoksi-3',4',7-trimetoksiflavan-4-iel]-8-{(2R,3S,4S)-2,3-trans-3,4-trans-3-asetoksi-6-[(2R,3S,4R)-2,3-trans-3,4-trans-3-asetoksi-3',4',7-trimetoksi-flavan-4-iel]-3',4',7-trimeto-ksiflavan-4-iel}-3',4',5,7-tetrametoksiflavaan (137c)

Die tetraasetaat (50.3mg) is as 'n kleurlose vastestof verkry met kmr, ms en SD identies aan die natuurproduk in hoofstuk 23 bespreek.

Gevind C65.8 H5.8 :  $C_{81}H_{84}O_{25} \cdot H_2O$  vereis C65.9 en H5.9%

KMR Plaat 32 Tabel 17

Massa Skema 12 Tabel 14

SD Plaat 67

24.2.2.2.2 (2R,3S)-2,3-trans-3-asetoksi-6-[ (2R,3S,4S)-2,3-trans-3,4-trans-3-asetoksi-3',4',7-trimetoksiflavan-4-iel]-8-{ (2R,3S,4S)-2,3-trans-3,4-trans-3-asetoksi-6-[ (2R,3S,4R)-2,3-trans-3,4-trans-3-asetoksi-3',4',7-trimetoksiflavan-4-iel]-3',4',7-trimetoksiflavan-4-iel}-3',4',5,7-tetrametoksiflavaan  
(136c)

Die tetraasetaat (27.9mg) is as 'n kleurlose vastestof verkry met kmr, ms en SD identies aan dié van die natuurproduk in hoofstuk 23 bespreek.

Gevind C66.5 H5.9 : C<sub>81</sub>H<sub>84</sub>O<sub>25</sub> vereis C66.7 en H5.8

KMR Plaat 33 Tabel 17

Massa Skema 12 Tabel 14

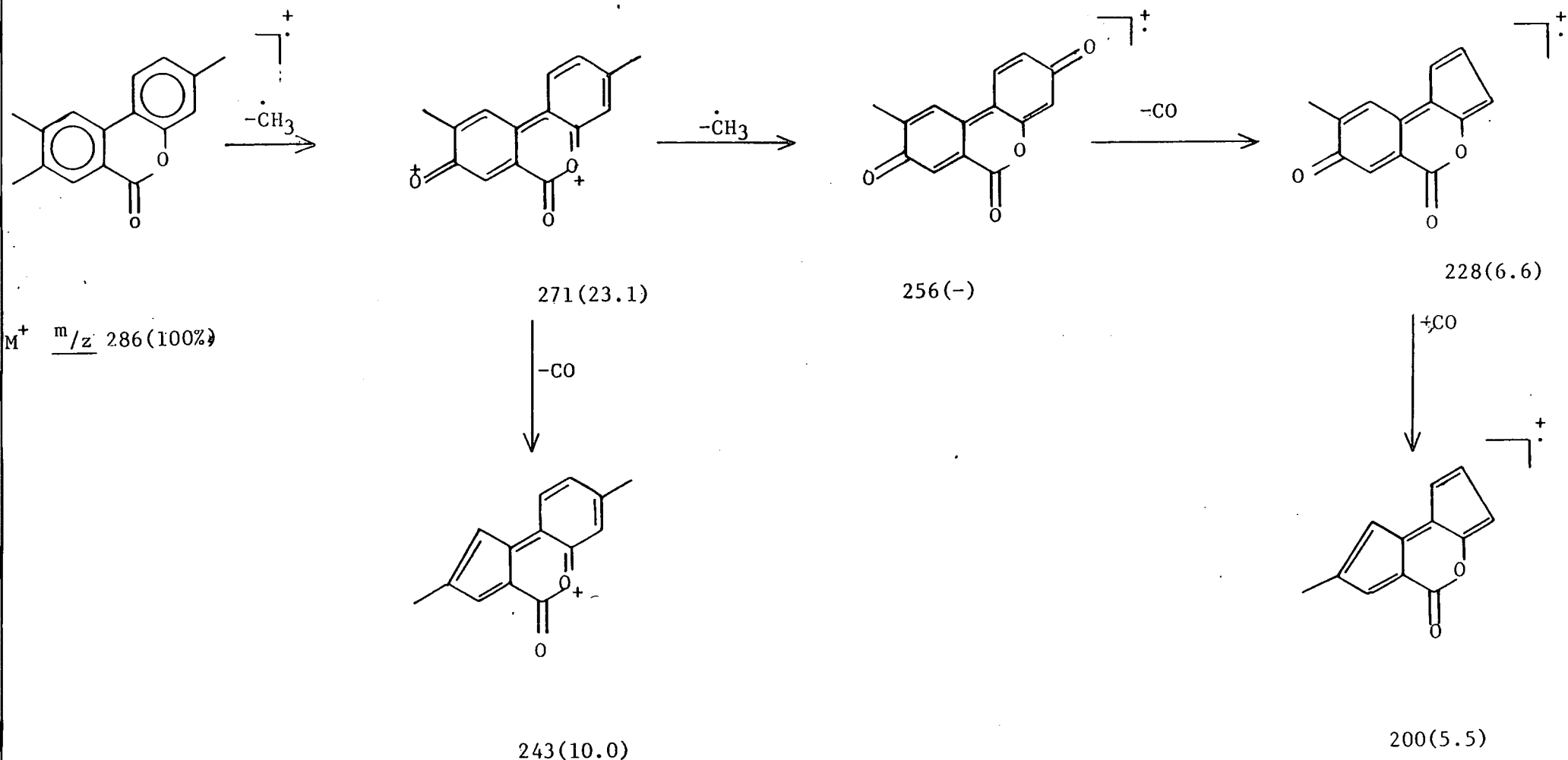
SD Plaat 66

-----ooOoo-----

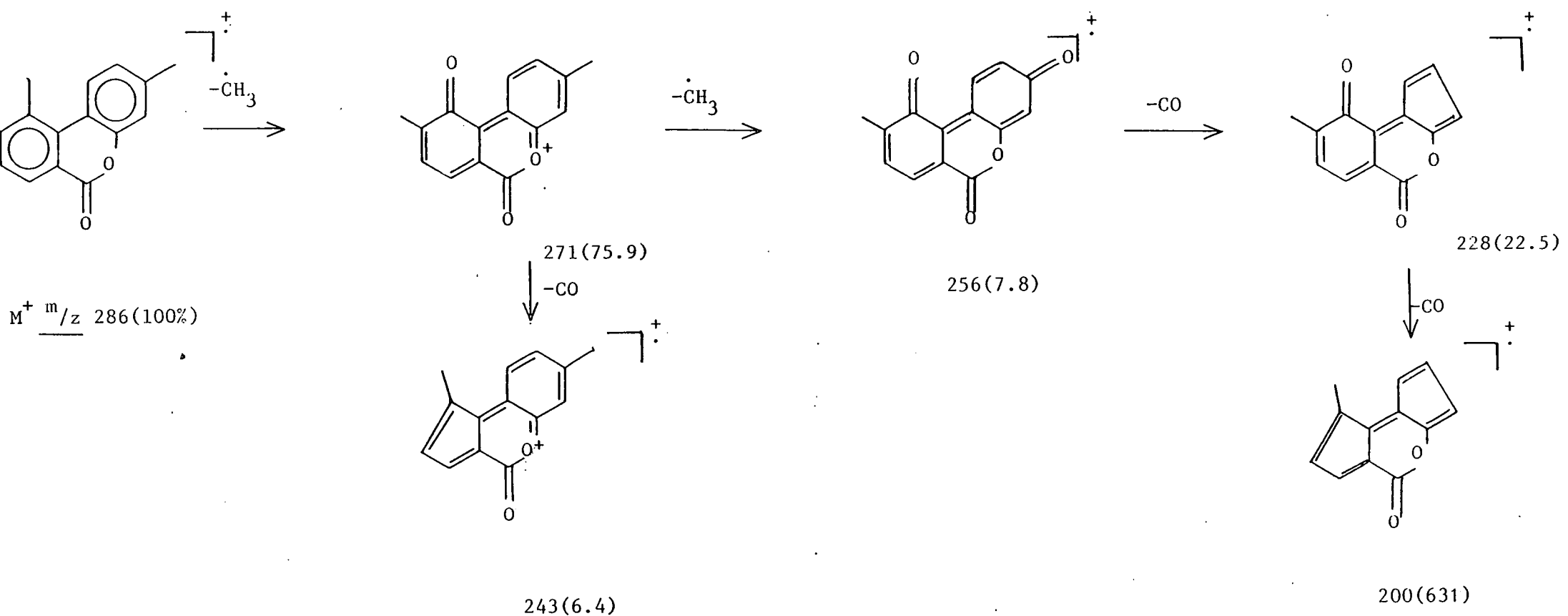
## MASSASPEKTROMETRIE

By al die strukture dui 'n strepie (substituent weggelaat) op 'n metoksigroep.

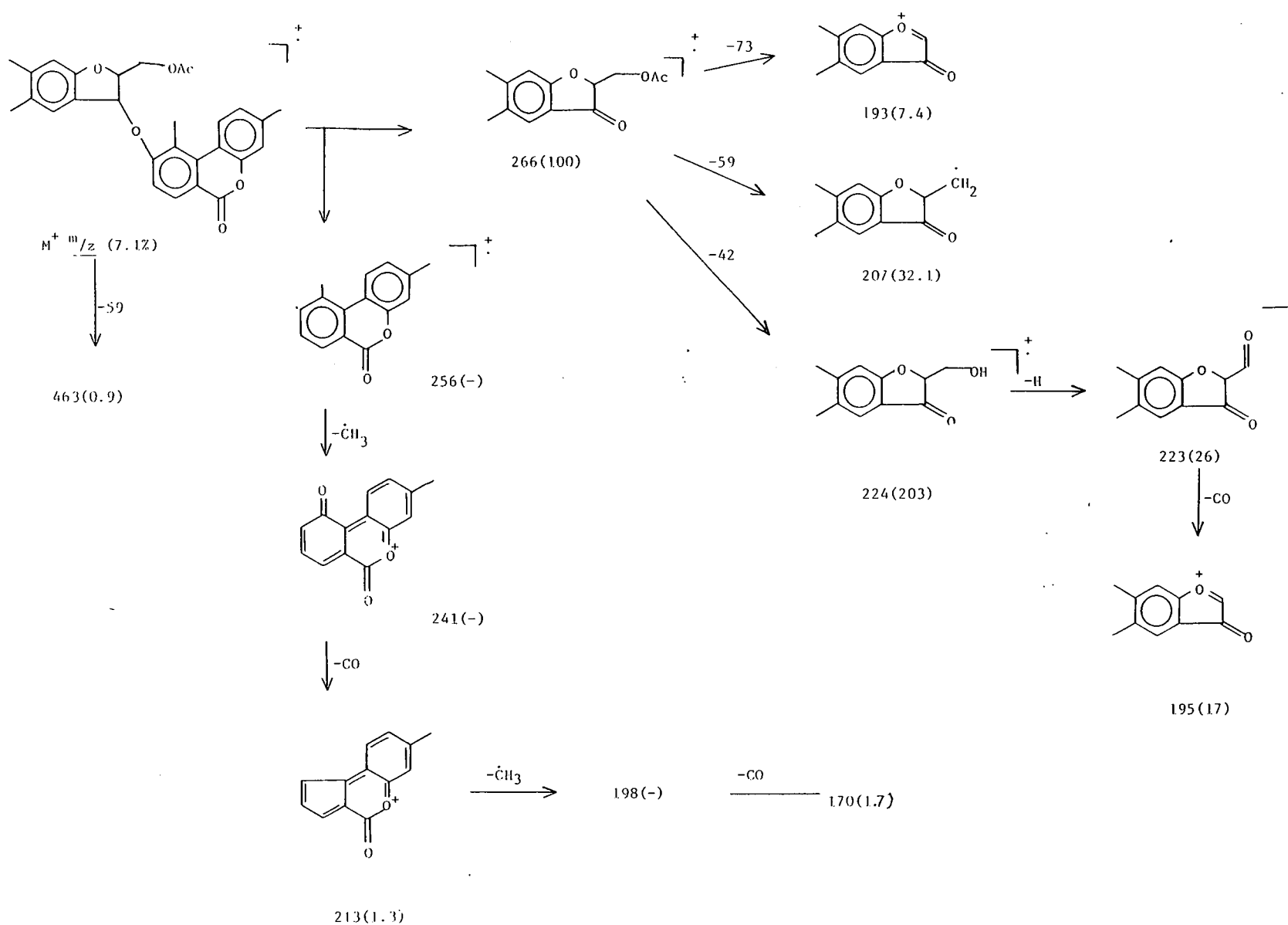
Skema 1: Fragmentasie van 3,8,9-trimetoksidibenzo [ b,d ] -piran-6-oon (104b)



Skema 2: Fragmentasie van 3,9,10-trimetoksidibenzo-[b,d]-piran-6-oon (105b)



Skema 3: Fragmentasie van die kompleksé dibenso- $\alpha$ -piroon 106c

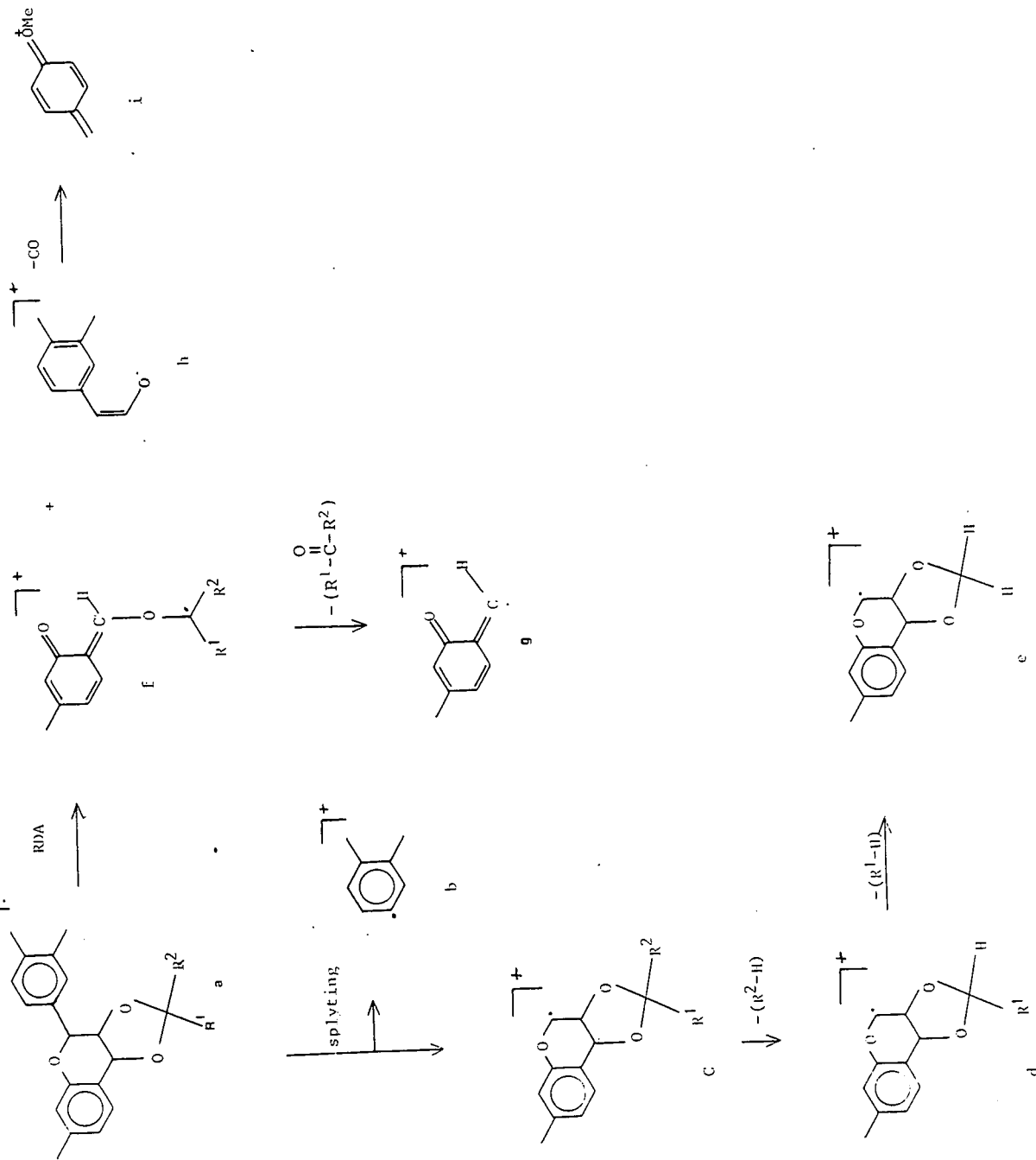


Tabel 8

$m/z$  waardes en relatiewe intensiteite van die dioksolaantipe profise= tinidiene

Fragment	<u><math>m/z</math></u>	<u>110</u>	<u><math>m/z</math></u>	<u>111</u>	<u><math>m/z</math></u>	<u>112</u>
a	358	13.8	372	17.5	372	30.0
b	137	2.3	137	4.0	137	4.2
c	221	13	235	-	235	-
d	207	14.3	207	1.1	221	100
e	-	-	-	-	207	3.3
f	179	100	193	100	193	65.4
g	135	9.5	135	8.5	135	35.5
h	179	100	179	4.0	179	14.1
i	151	32.2	151	32.0	151	76.2

Skema 4: Fragmentasie van die dioksolaantipe verbindings 110-112

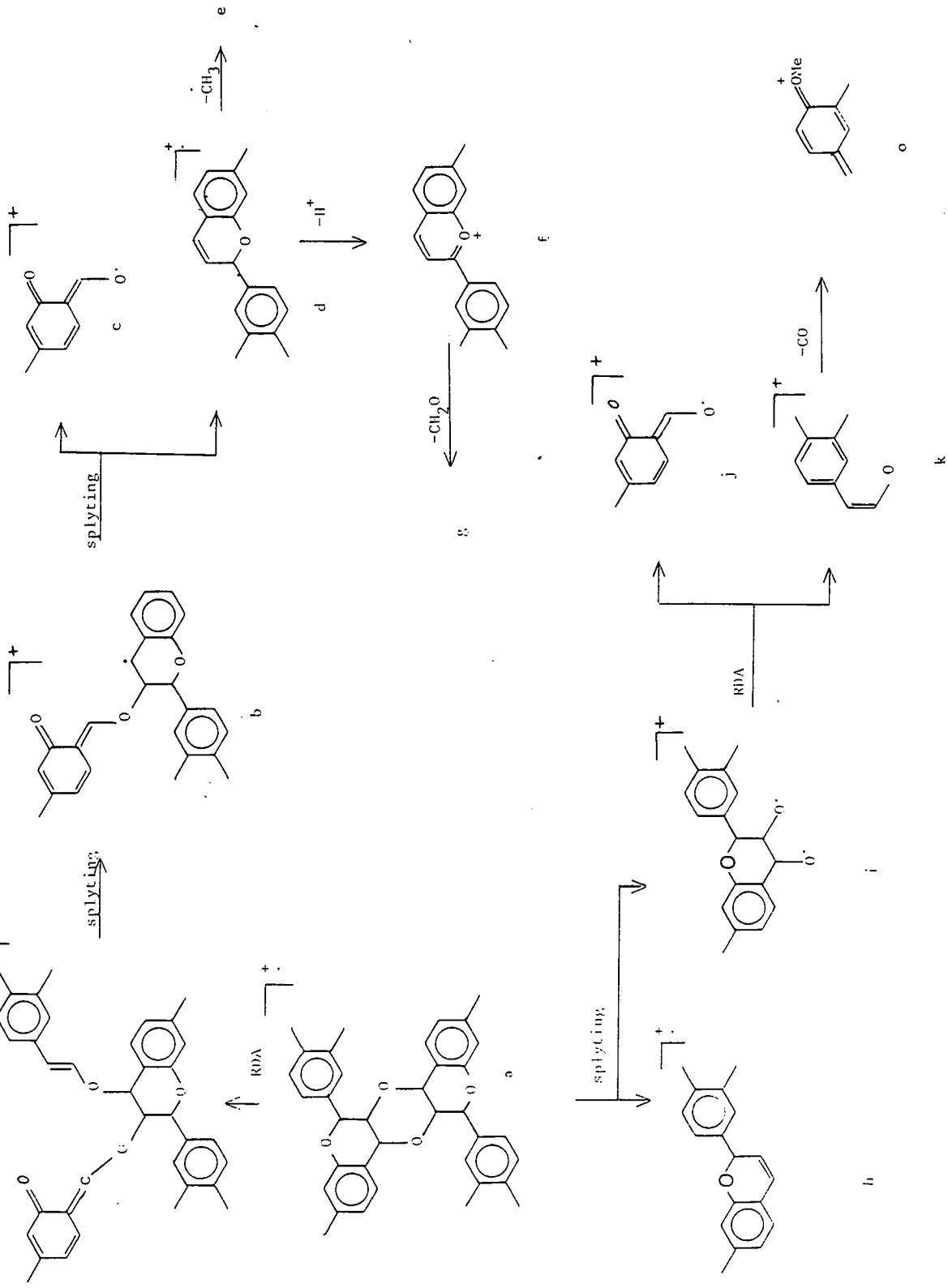


Tabel 9

m/z waardes en relatiewe intensiteite van die 0,0-gekoppelde biprofisetinidiene

Fragment	<u>m/z</u>	<u>108</u>	<u>109</u>	<u>113</u>
a	628	9.2	5.5	12.0
b	449	3.8	12.1	3.6
c	151	38.8	37.8	34.8
d	298	100	100	100
e	283	9.8	17.3	10.4
f	297	42.6	50.0	43.4
g	267	9.4	9.1	9.1
h	298	100	100	100
i	330	5.2	2.1	3.2
j	151	35.8	37.8	34.8
k	179	4.6	6.2	5.0
l	151	35.8	37.8	34.8

Skema 5: Fragmentasie van die O,O-gekoppelde biprofisetinidiene

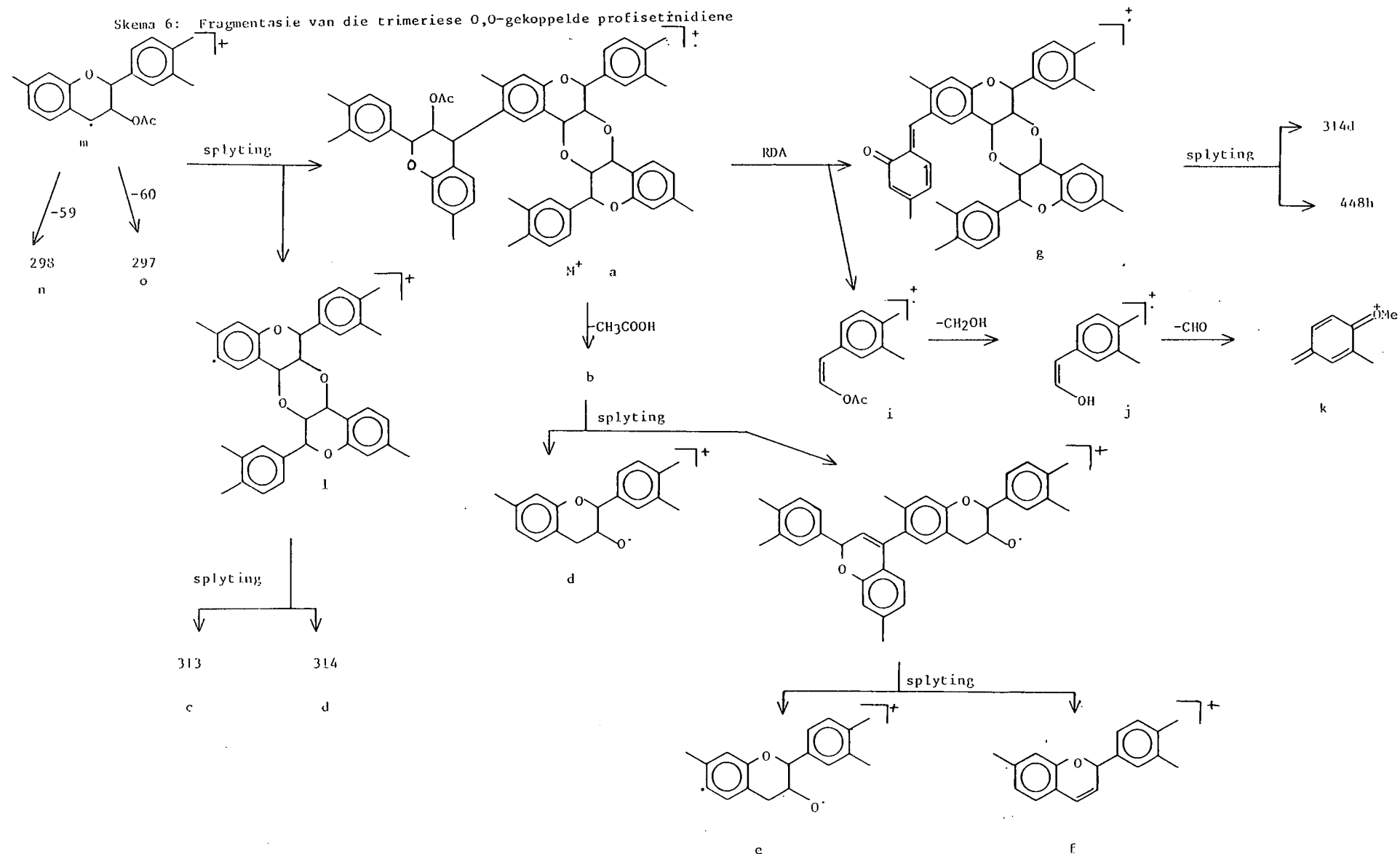


Tabel 10

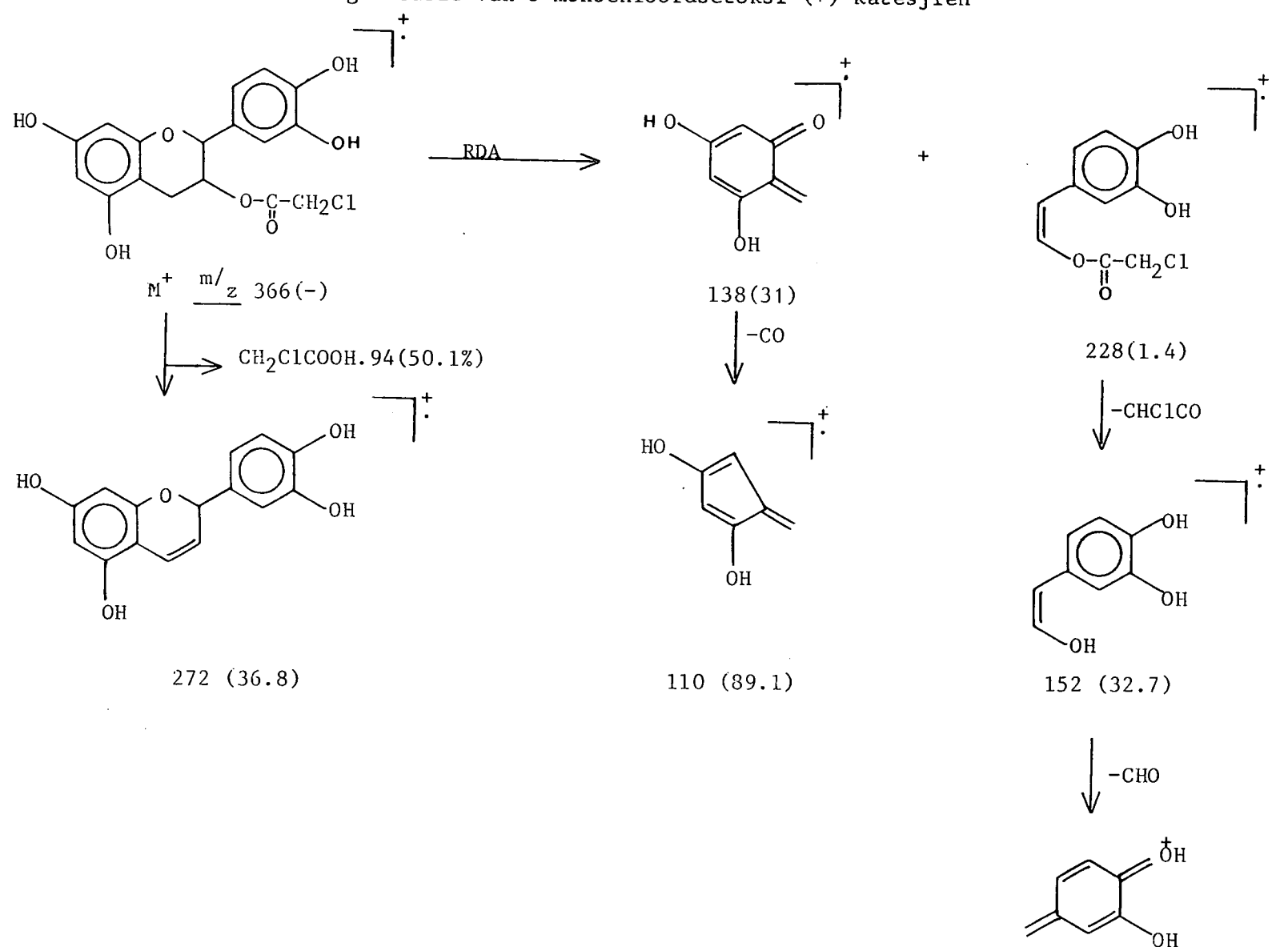
m/z waardes van die trimeriese 0,0-gekoppelde profisetinidiene

Fragment	<u>m/z</u>	114b	115b
a ( $M^+$ )	984	-	23.1
b	924	100	30.4
c	610	39.7	17.6
d	314	21.9	27.6
e	313	6.0	4.7
f	295	-	-
g	762	-	-
h	448	11.3	11.0
i	222	12.8	13.1
j	180	42.3	22.2
k	151	61.9	45.1
l	627	-	-
m	357	2.1	3.1
n	298	57.9	100
o	297	30.1	32.5

Skema 6: Fragmentasie van die trimeriese 0,0-gekoppelde profisetinidiene



Skema 7: Fragmentasie van 3-monochloorasetoksi-(+)-katesjen

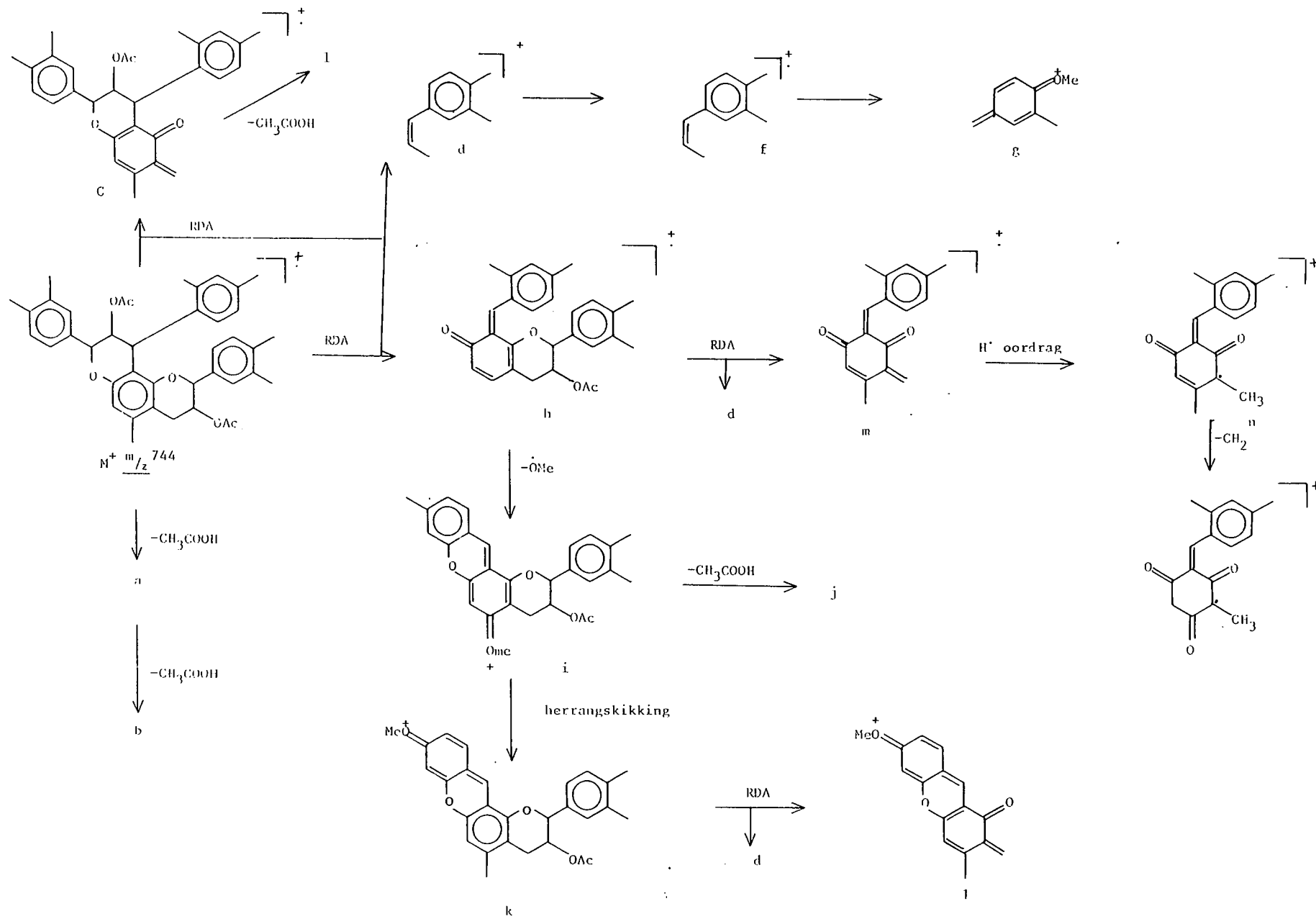


Tabel 11

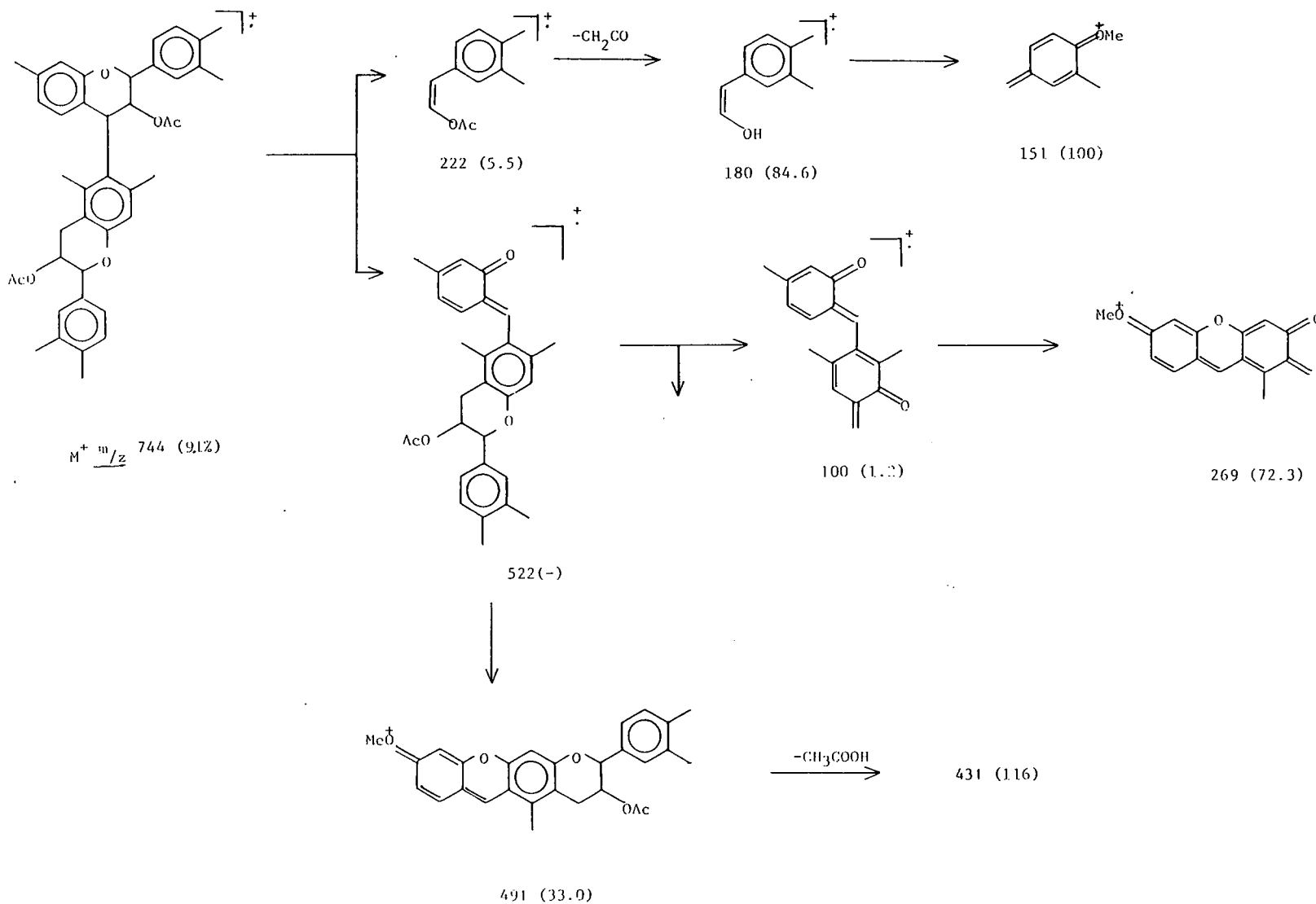
m/z waardes en relatiewe intensiteite van die dihidropirano-dihidrochromene

Fragment	<u>m/z</u>	102c	103c
M <sup>+</sup>	744	27.5	7.1
a	684	33.8	97.7
b	624	11.3	26.9
c	522	1.5	2.7
d	222	8.5	10.7
e	462	19.9	50.5
f	180	92.8	100.0
g	151	83.5	91.6
h	522	1.5	2.7
i	491	66.4	4.9
j	431	41.3	6.7
k	491	66.4	4.9
l	269	59.0	14.1
m	300	14.4	8.1
n	301	15.6	14.9
o	287	100.0	9.3

Skema 8 : Algemene fragmentasiepatroon van die dihidropirano-dihidrochromene



Skema 9: Fragmentasie van die [4,6]-3,4 *cis*-(-)-fisetinidol-(+)-katesjienbiflavanoïed (106c)



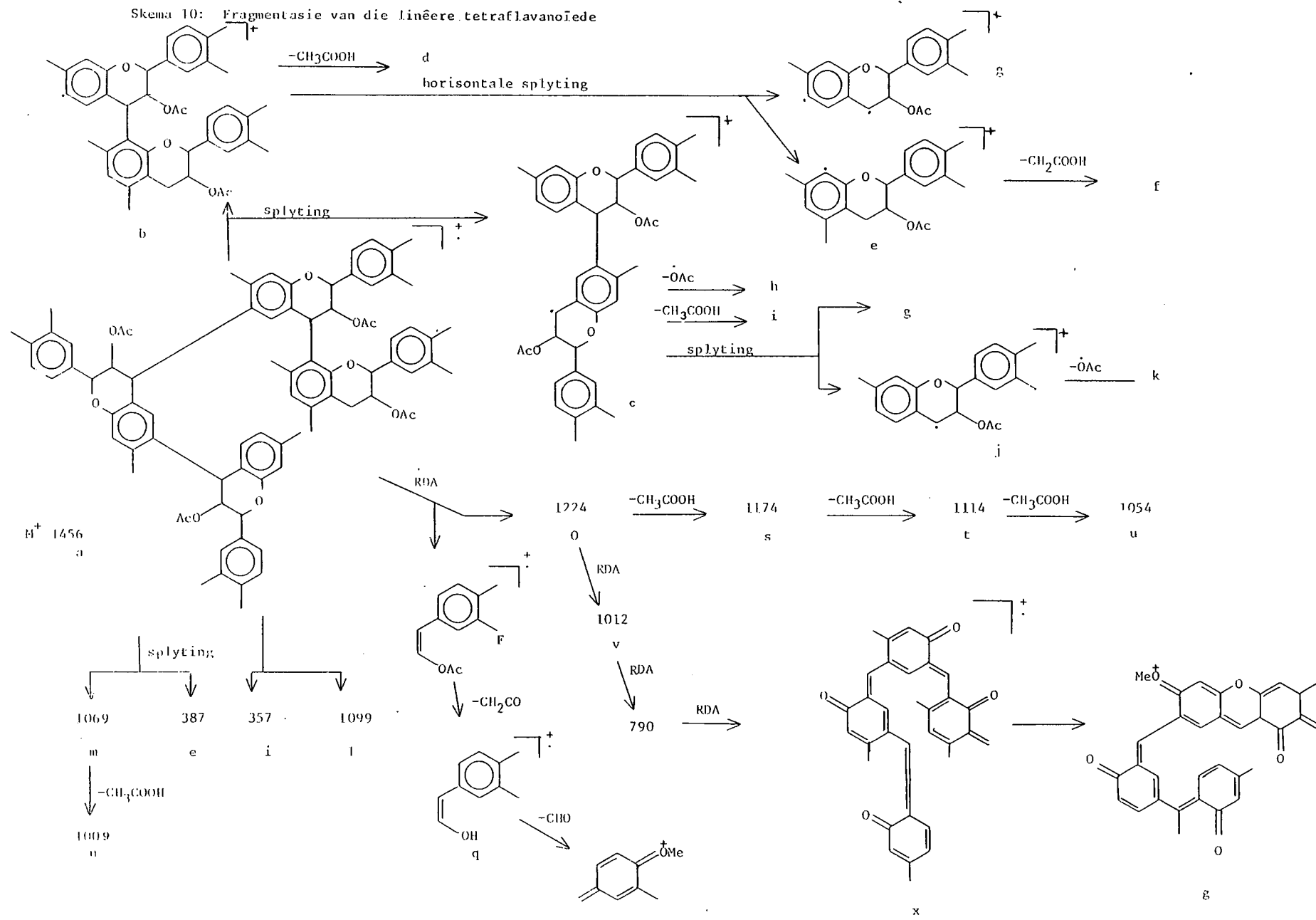
Tabel 12

m/z waardes en relatiewe intensiteite van lineêre tetraflavanoïede

Fragment	<u>m/z</u>	<u>117c</u>	<u>118c</u>	<u>119c</u>
a	1456	-	-	-
b	743	5.9	-	1.2
c	713	1.6	-	1.9
d	683	10.0	-	2.2
e	387	2.3	-	2.3
f	327	3.1	8.2	7.2
g	356	-	3.0	3.1
h	654	1.9	-	-
i	653	1.4	-	1.2
j	357	4.8	3.3	2.4
k	298	4.2	4.8	6.7
l	1099	-	-	-
m	1069	-	-	-
n	1009	15.8	-	-
o	1234	-	-	-
p	222	1.9	18.1	18.1
q	180	57.8	66.7	93.1
r	151	100	100	100
s	1174	-	-	-
t	114	-	-	-
u	1054	8.5	-	1.0
v	1012	5.7	-	-
w	790	8.2	-	1.2
x	568	26.7	-	1.1
y	537	21.2	3.3	2.4

Geen  $M^+ - 60$  fragmentasies is waargeneem nie.

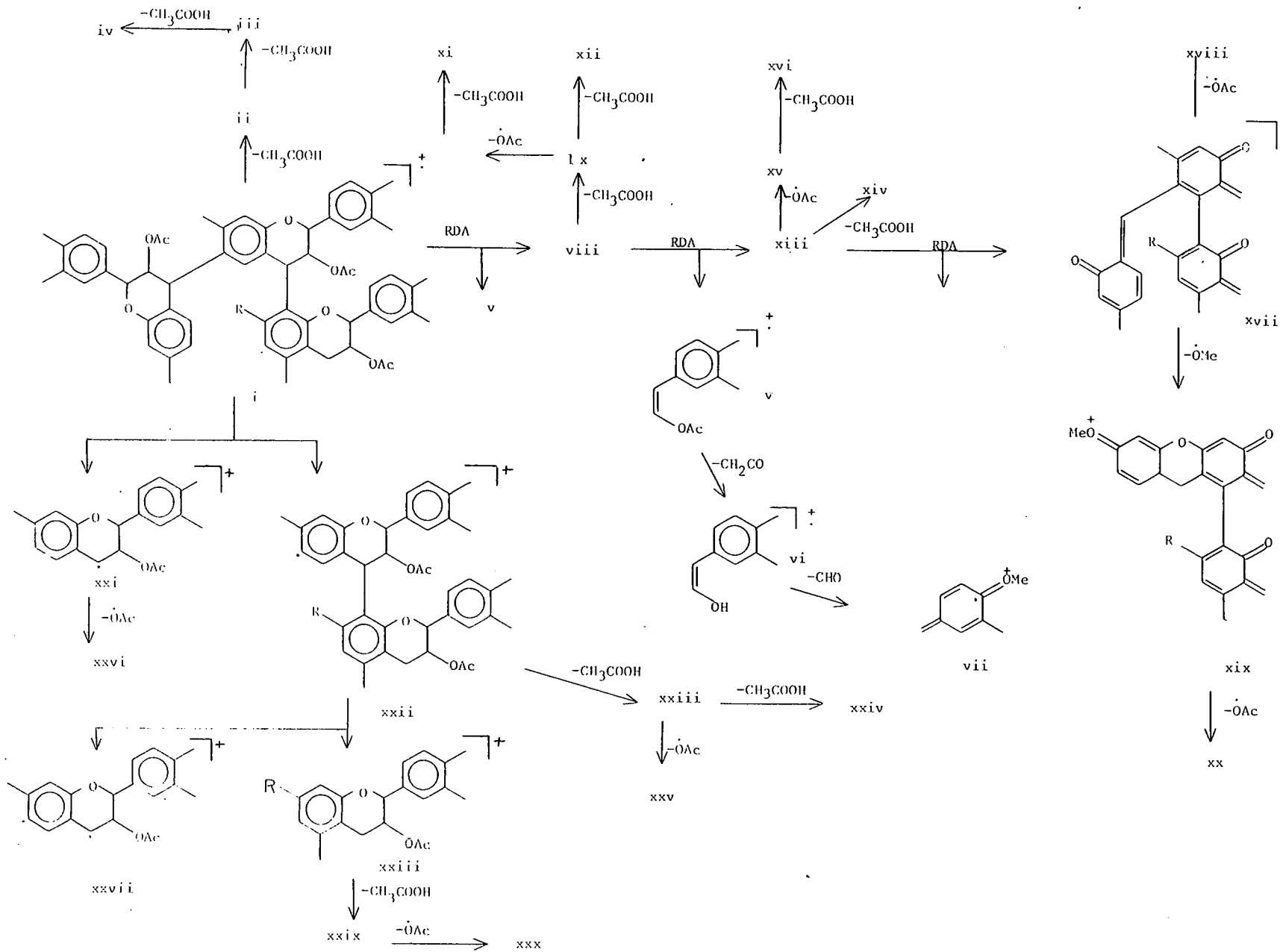
Skema 10: Fragmentasie van die linéêre tetraflavanoïede



Tabel 13<sup>m/z</sup> waardes en relatiewe intensiteite van die lineêre triflavanoëde

Fragment	<u>124c</u>	<u>128c</u>	<u>130c</u>	<u>132c</u>
i	1100 (6.8)	1.2	3.2	1128 (-)
ii	1040 (-)	23.4	24.3	1068 (-)
iii	980 (7.7)	4.3	6.9	1008 (0.8)
iv	920 (1.4)	1.1	1.1	948 (-)
v	222 (6.6)	8.3	7.5	1222 (9.1)
vi	180 (99,5)	87.1	64.3	180 (87.6)
vii	151 (100)	100	100	151 (100)
viii	878 (-)	-	-	906 (-)
ix	818 (6.4)	5.5	7.4	846 (1.1)
x	- -	-	-	787 (0.9)
xi	- -	-	-	727 (0.8)
xii	758 (2.0)	2.7	2.4	786 (1.0)
xiii	656 (-)	-	-	684 (1.1)
xiv	596 (1.1)	-	2.5	624 (-)
xv	597 -	-	-	625 (1.3)
xvi	- -	-	-	565 (1.5)
xvii	434 (1.1)	1.2	-	462 (1.2)
xviii	- -	-	-	403 (1.3)
xix	403 (7.1)	3.6	2.7	431 (4.6)
xx	- -	-	-	372 (1.9)
xxi	357 (5.7)	5.4	3.0	357 (2.9)
xxii	743 (2.4)	2.2	-	771 (1.5)
xxiii	683 (3.8)	5.5	8.2	711 (-)
xxiv	623 (2.6)	3.6	3.5	651 (1.4)
xxv	624 -	-	-	652 (1.3)
xxvi	298 (5.5)	5.6	5.0	298 (4.1)
xxvii	356 (0.7)	1.8	3.9	356 (0.9)
xxviii	387 (4.3)	3.7	2.2	415 (5.4)
xxix	327 (5.7)	3.8	3.5	355 (4.9)
xxx	- -	-	-	296 (2.2)

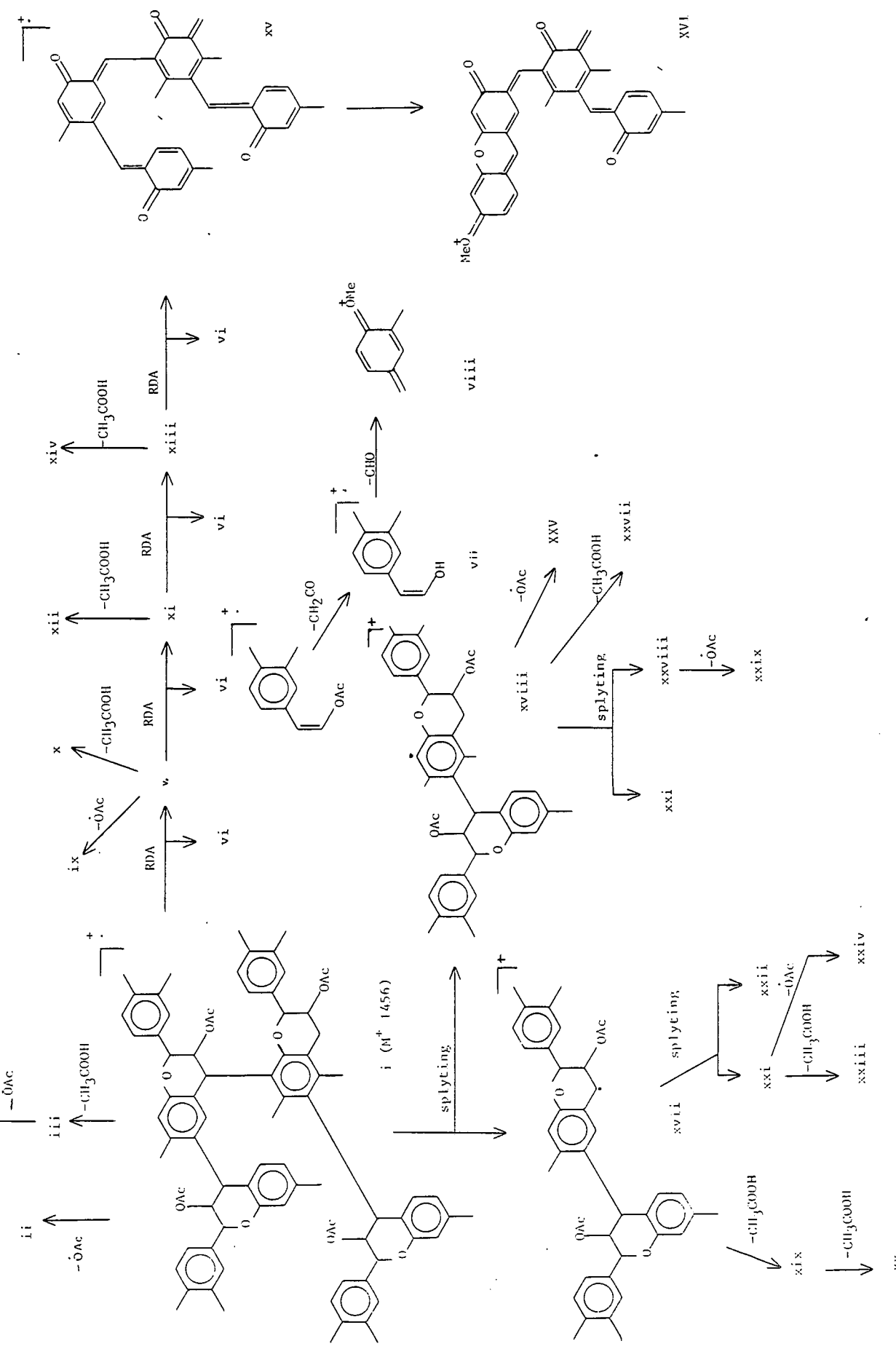
Skema II: Fragmentasie van die lineêre triflavanoïede



Tabel 14:  $m/z$  waardes en relatiewe intensiteite van die angulêre tetraflavanoïede

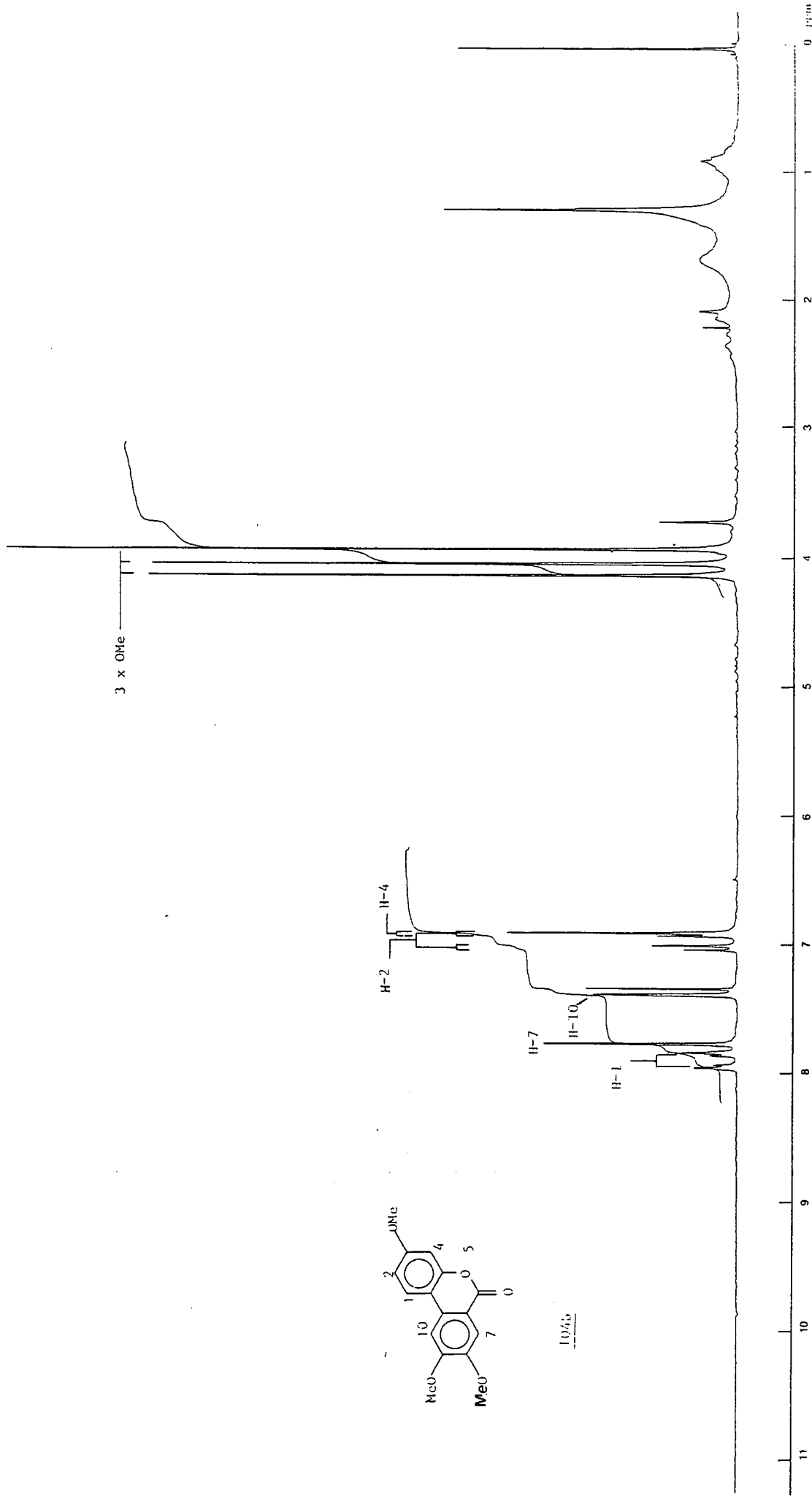
Fragment	$m/z$	134c	135c	136c	137c	138c	139c	146c	147c
i	$M^+$ , 1456	-	-	-	-	0,3	-	-	-
ii	1397	-	-	-	0.5	-	1.6	-	-
iii	1396	-	0.5	0.3	-	2.0	3.3	-	0.6
iv	1337	0.3	0.3	0.7	-	4.6	3.9	0.3	-
v	1234	-	-	-	-	-	0.3	-	-
vi	222	10.1	6.8	11.7	8.5	14.5	43.0	6.8	33.0
vii	180	76.8	64.6	67.6	56.0	93.7	84.8	50.5	57.4
viii	151	77.1	62.5	62.0	56.4	61.9	85.2	58.1	52.5
ix	1175	0.4	-	-	-	3.0	2.1	-	-
x	1174	0.2	-	-	-	-	2.3	-	0.3
xi	1012	-	-	-	-	-	0.3	-	-
xii	952	-	-	-	-	-	0.6	-	-
xiii	790	-	-	-	-	-	0.3	-	-
xiv	730	-	-	-	-	-	0.8	-	-
xv	568	-	-	-	-	-	0.6	-	-
xvi	537	-	-	0.4	-	-	1.0	-	0.5
xvii	713	-	-	-	-	-	1.8	-	1.0
xviii	743	0.3	-	-	-	1.4	1.3	-	0.3
xix	653	0.4	-	0.1	-	-	5.1	-	0.4
xx	593	1.3	-	0.9	0.6	0.7	4.7	0.5	0.3
xxi	357	0.4	-	0.7	0.4	-	3.7	0.2	1.2
xxii	356	-	-	0.2	-	-	2.9	-	1.4
xxiii	297	11.5	9.3	9.1	6.5	12.2	37.6	5.7	6.8
xxiv	298	3.5	2.6	1.6	3.4	3.5	25.5	2.9	3.1
xxv	584	-	1.5	0.5	-	1.5	-	-	1.0
xxvi	683	-	1.5	0.5	-	2.7	1.8	-	0.9
xxvii	623	0.8	0.7	-	-	-	5.6	0.9	0.5
xxviii	386	-	-	0.2	-	-	2.2	-	0.6
xxix	327	0.6	-	0.3	0.2	1.1	5.6	-	4.3

Skema 12: Fragmentasie van die angulêre tetraflavanoïede

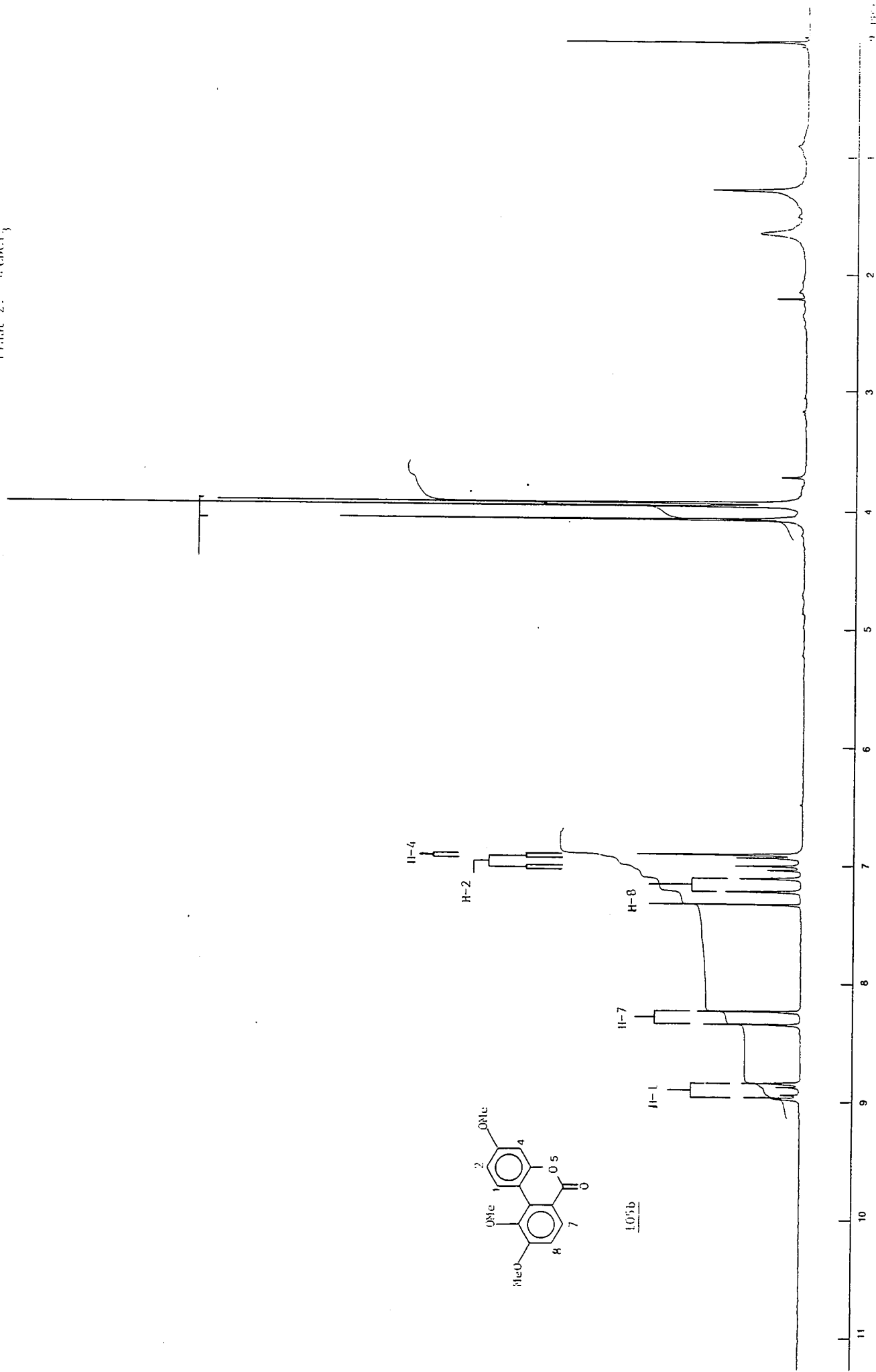


KERNMAGNETISCHE RESONANSSPEKTROMETRIE

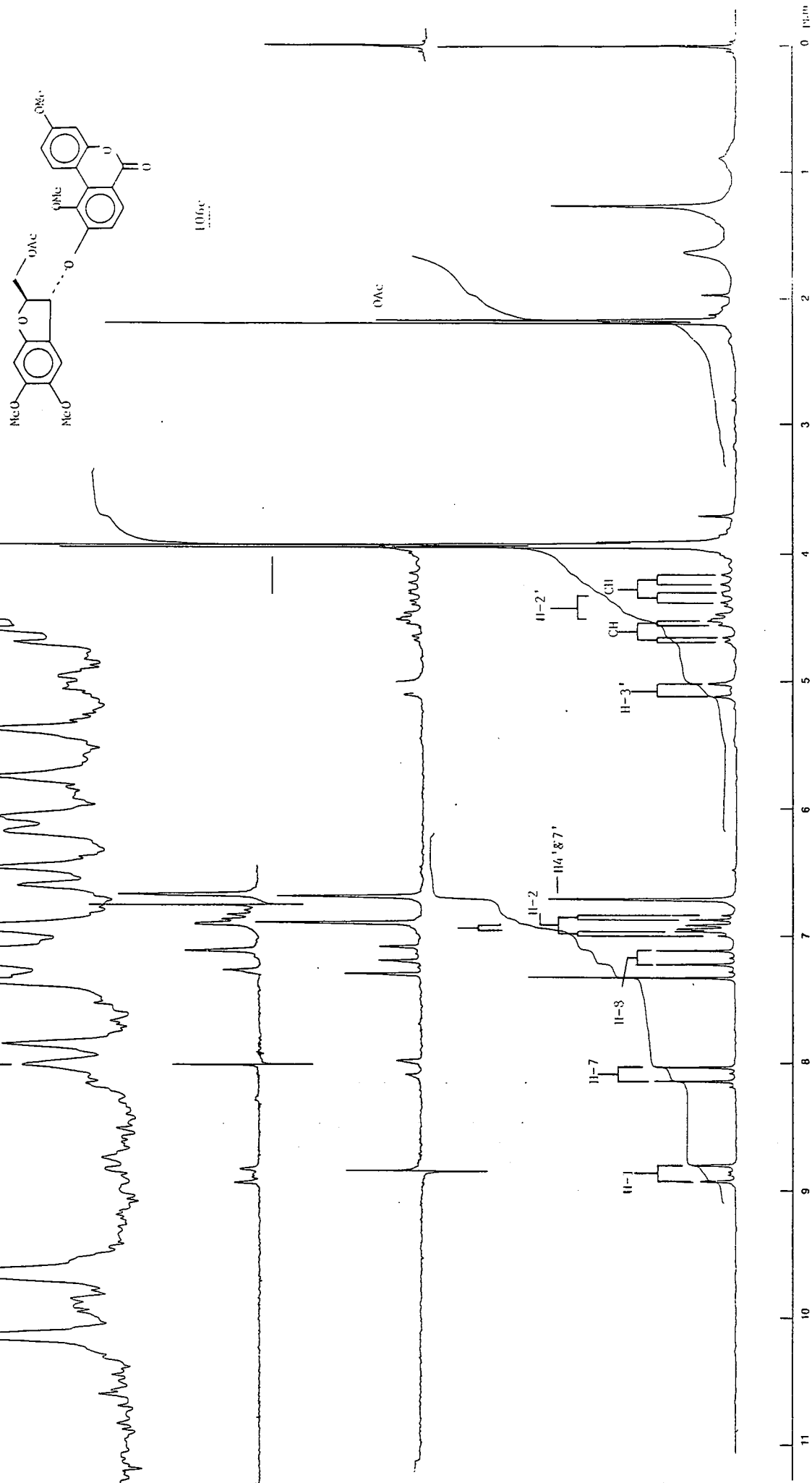
PLATE 1: A.  $\text{CDCl}_3$



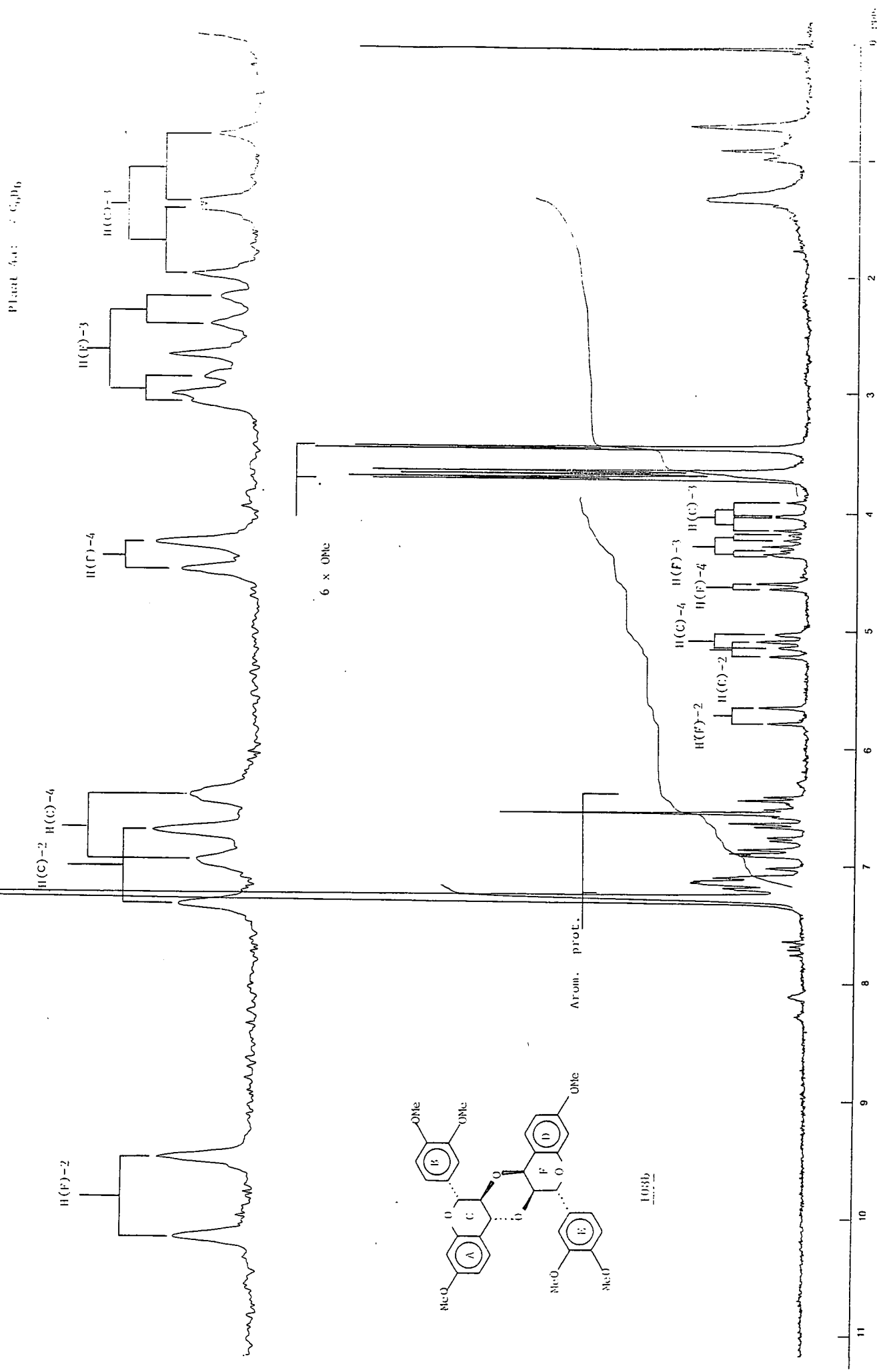
Plat 2:  $\delta$  CDCl<sub>3</sub>



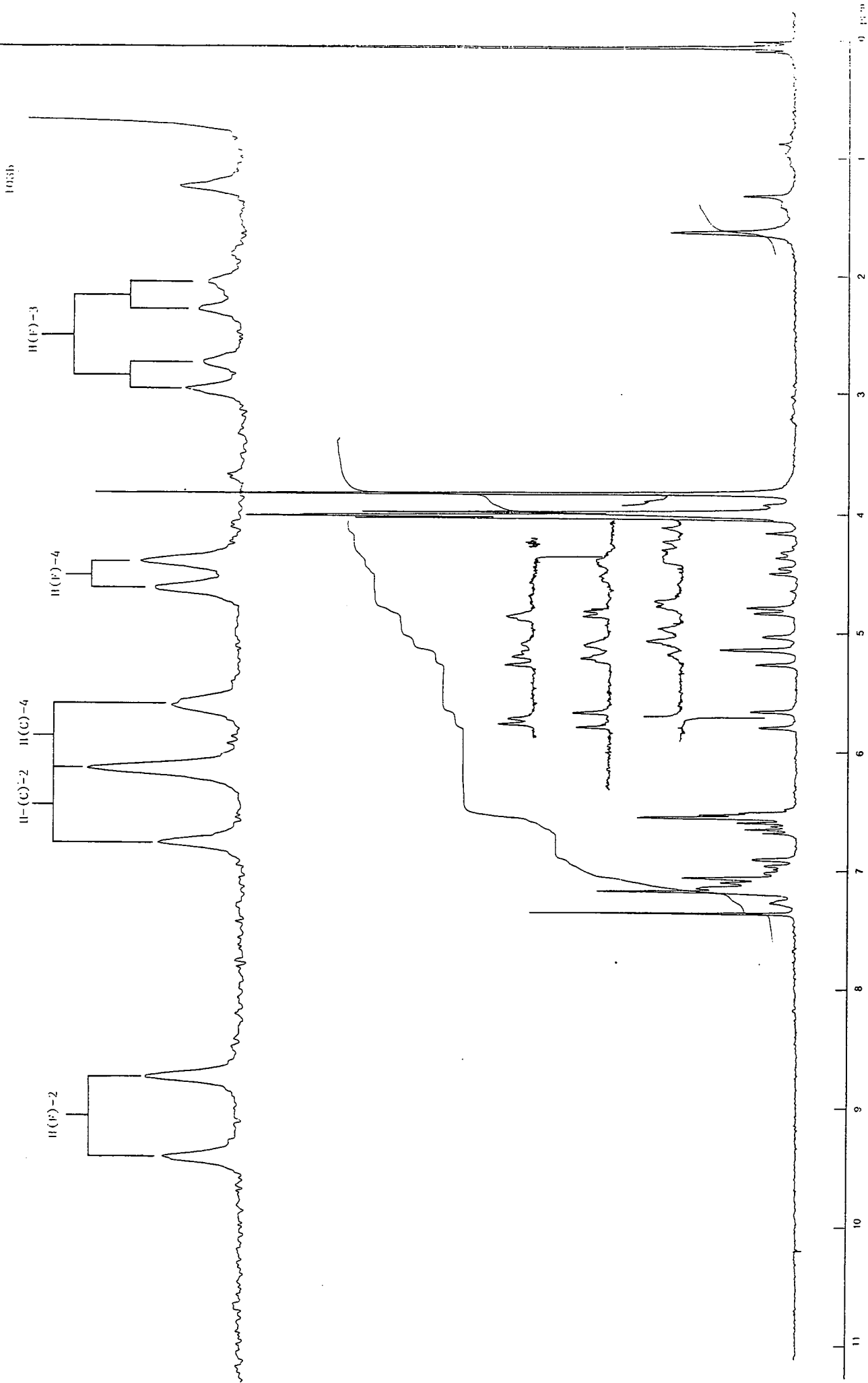
Plaat 3:  $\delta$  CDCl<sub>3</sub>

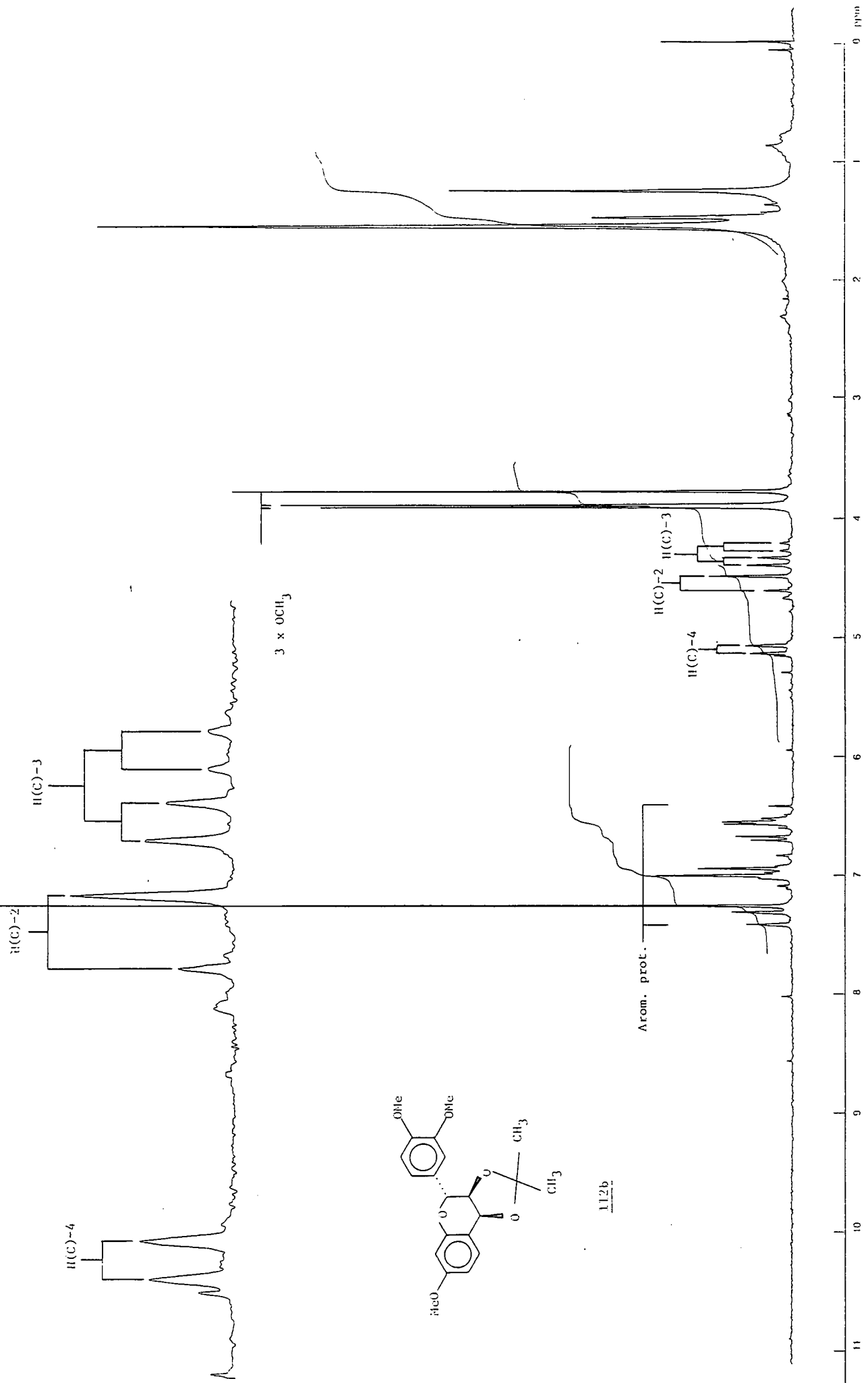


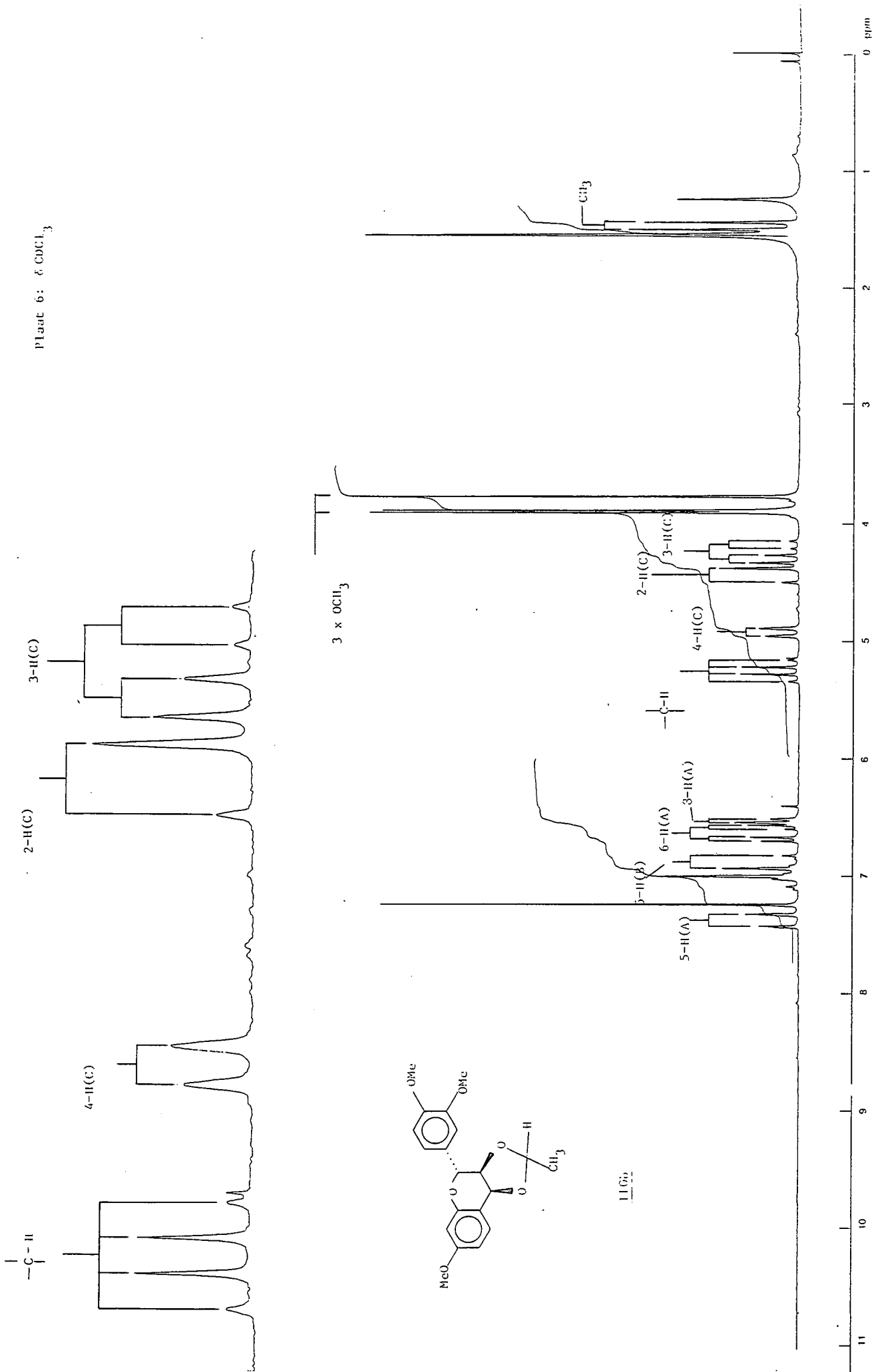
Plat 4.a:



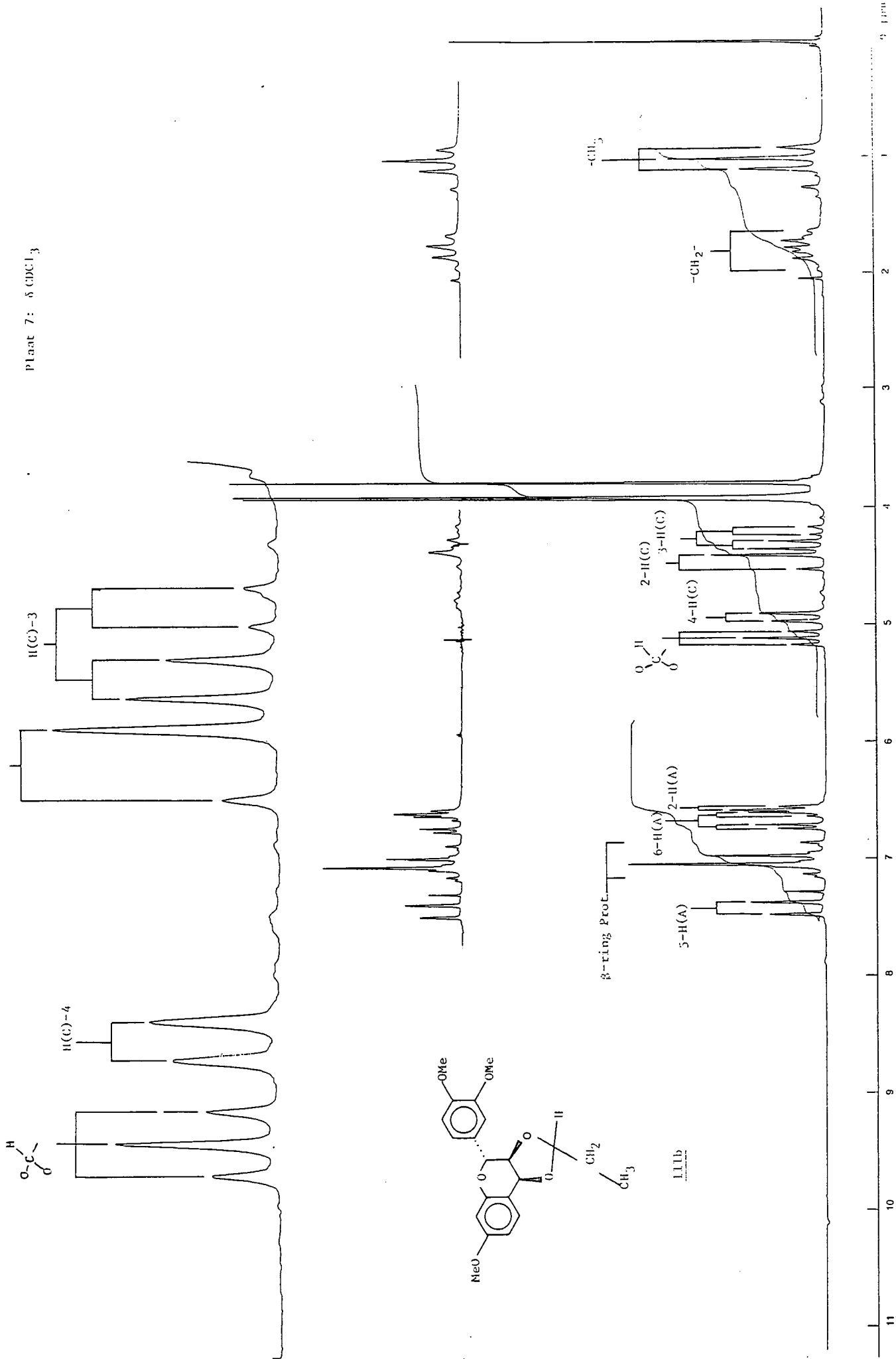
Plaat 4b:  $\lambda$  encl 3



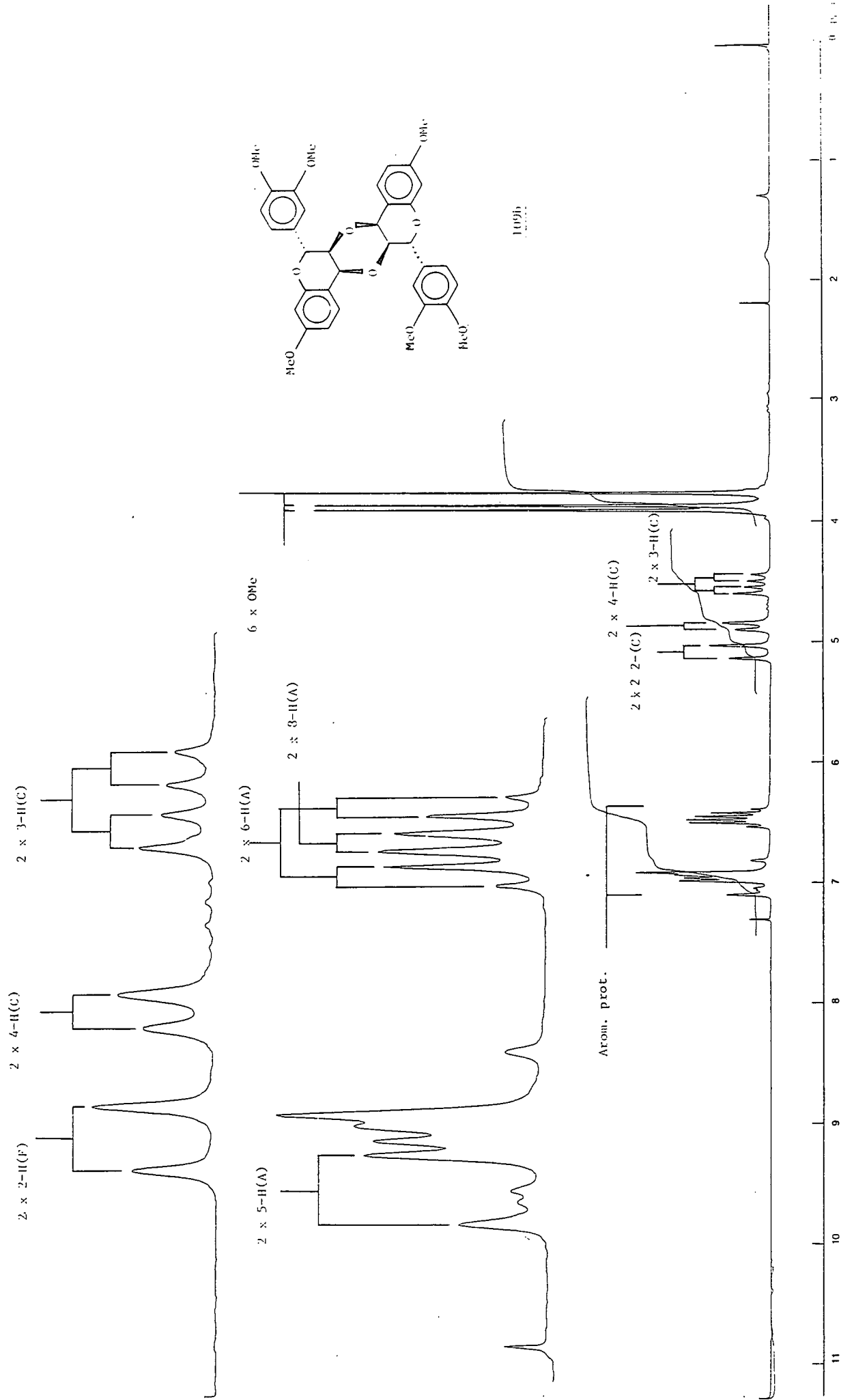




Plaat 7:  $\delta$  CDCl<sub>3</sub>

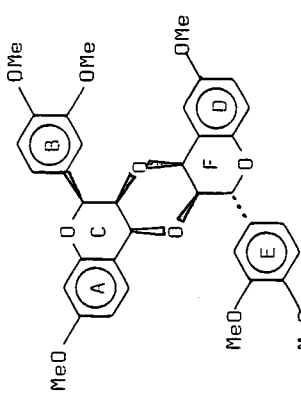


Plat. 8:  $\delta$  CDCl<sub>3</sub>



Plaat 9

500 MHz δ CDCl<sub>3</sub> 30°C



3-H(C)

3-H(F)

4-H(C)

4-H(F)  
F-2-H(F)

2-H(C)

113b

6-H

8-H  
8'-H

5'-H  
6'-H

2'-H

5-H

6-H

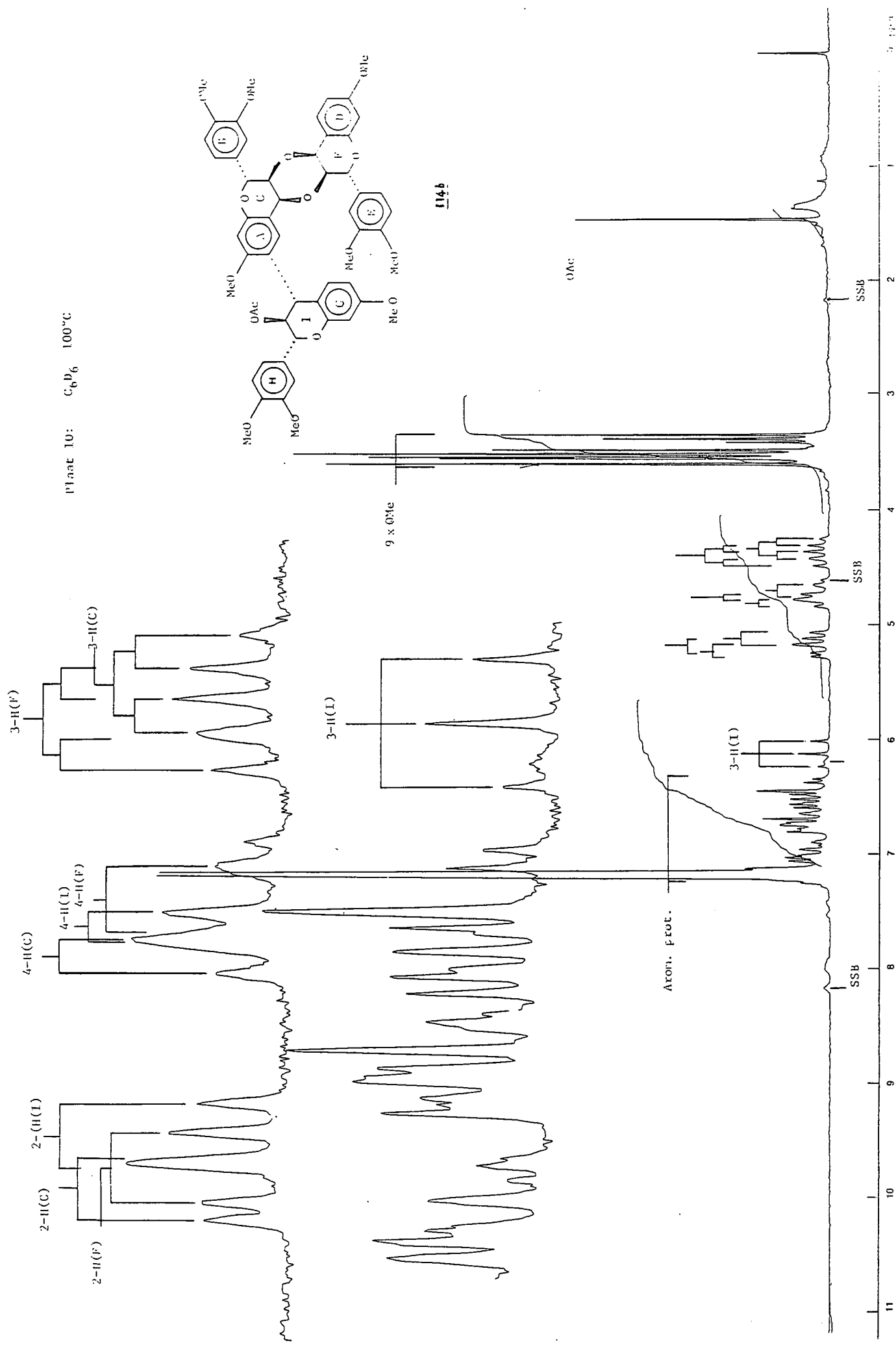
2-H

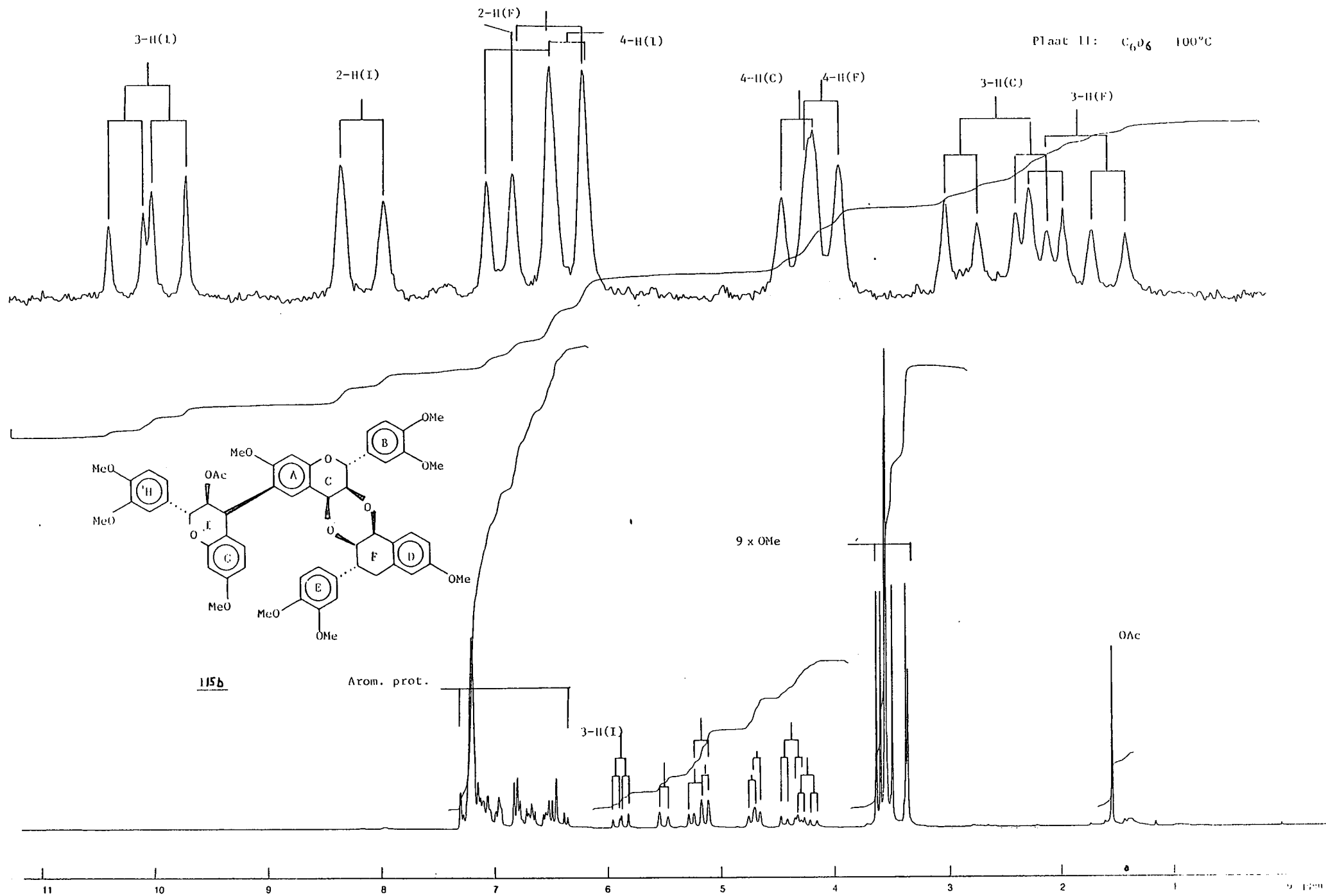
7.00

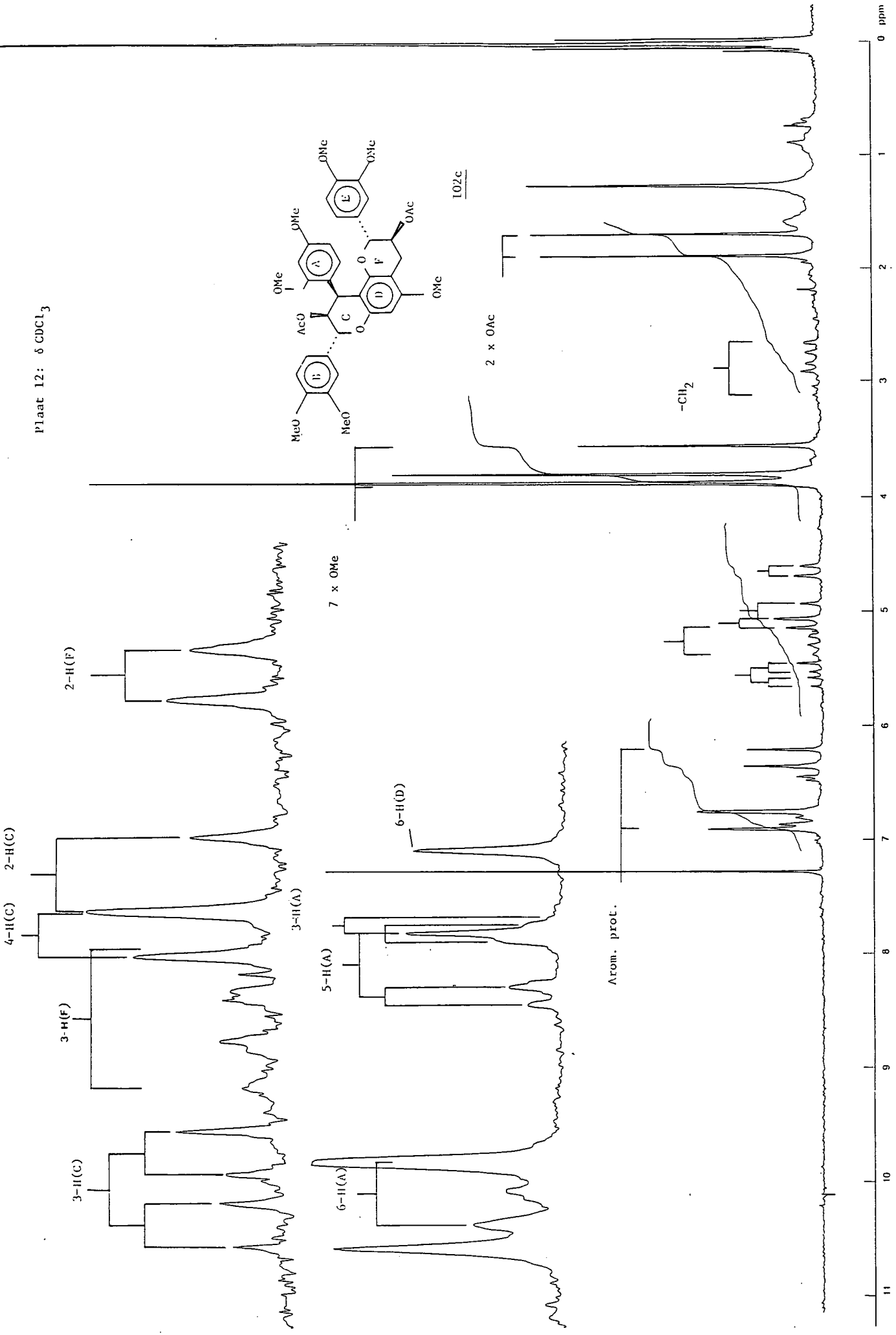
6.00

5.00

6



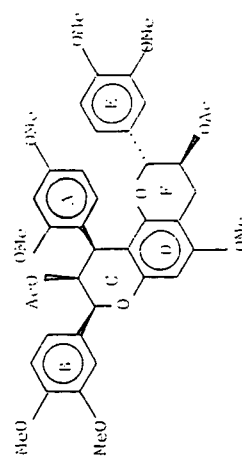




Plaat 13: S CDCT3

6-11(1)

5-11(1)



1

4-H(C)

2 x 10<sup>4</sup>c

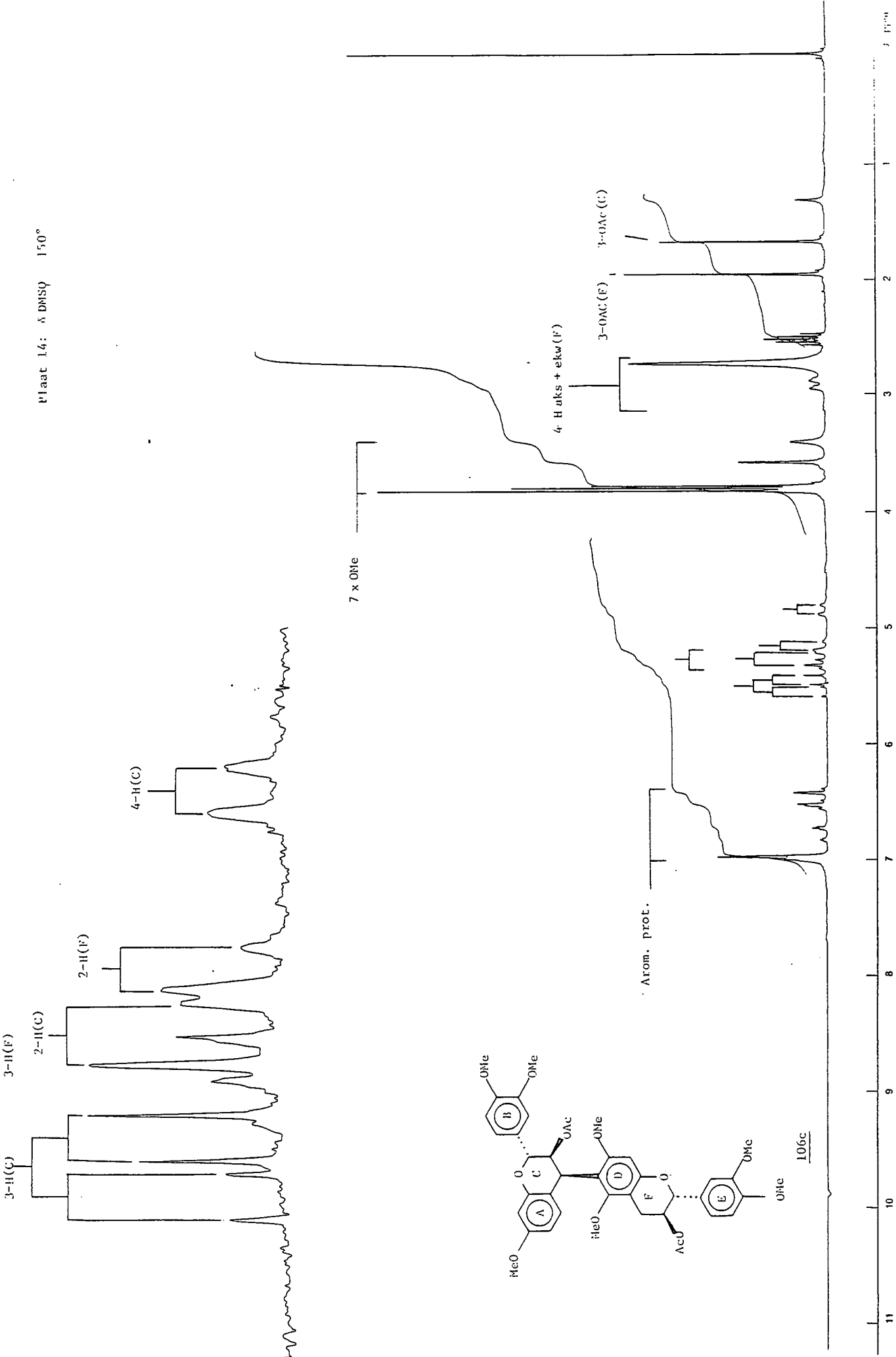
112

$$\left[ \begin{array}{c} 3-\Pi(F); 2-\Pi(C); 4-\Pi(C) \\ \hline 2-\Pi(F) \end{array} \right]$$

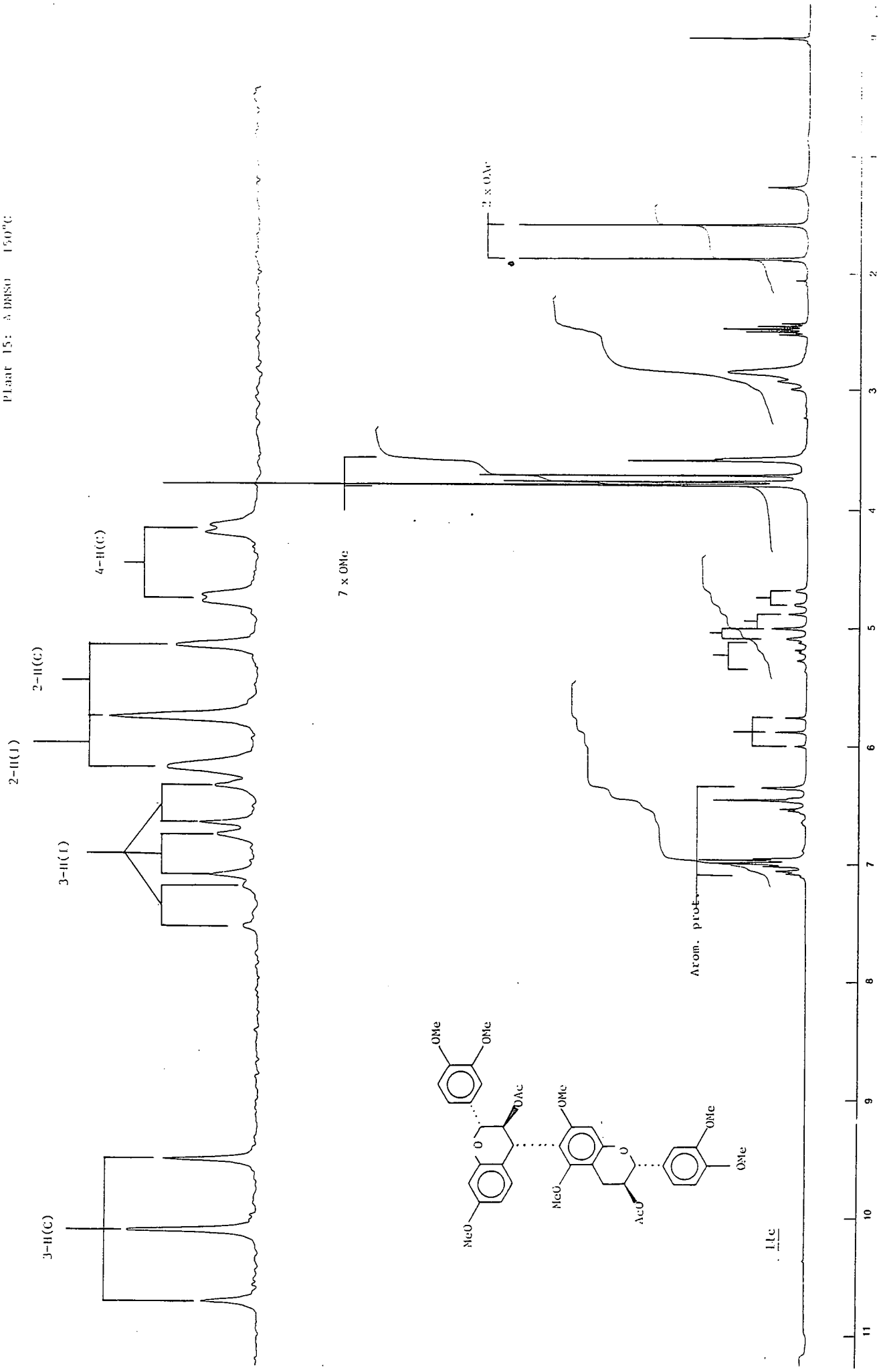
Arom. prot.

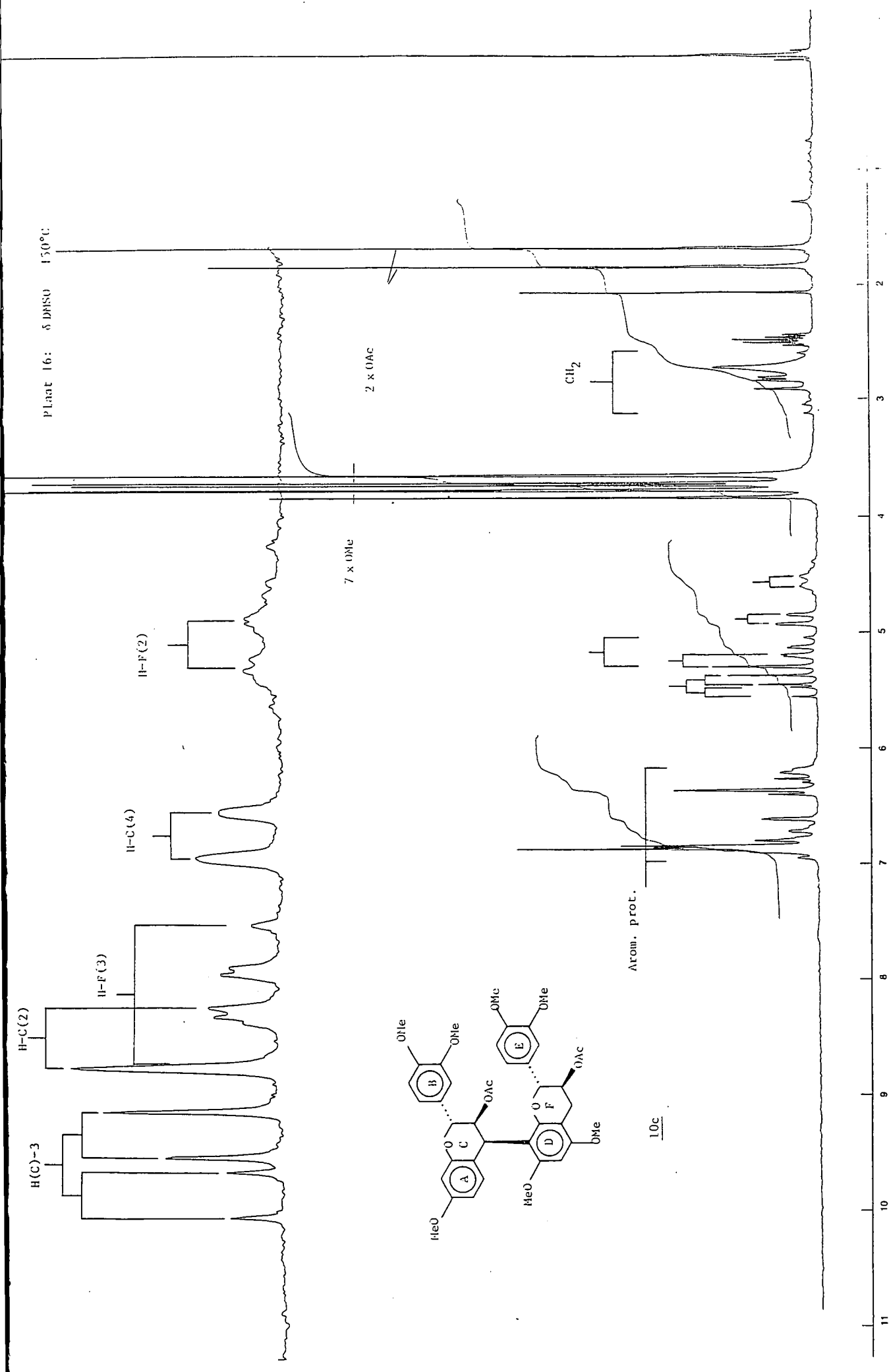
—



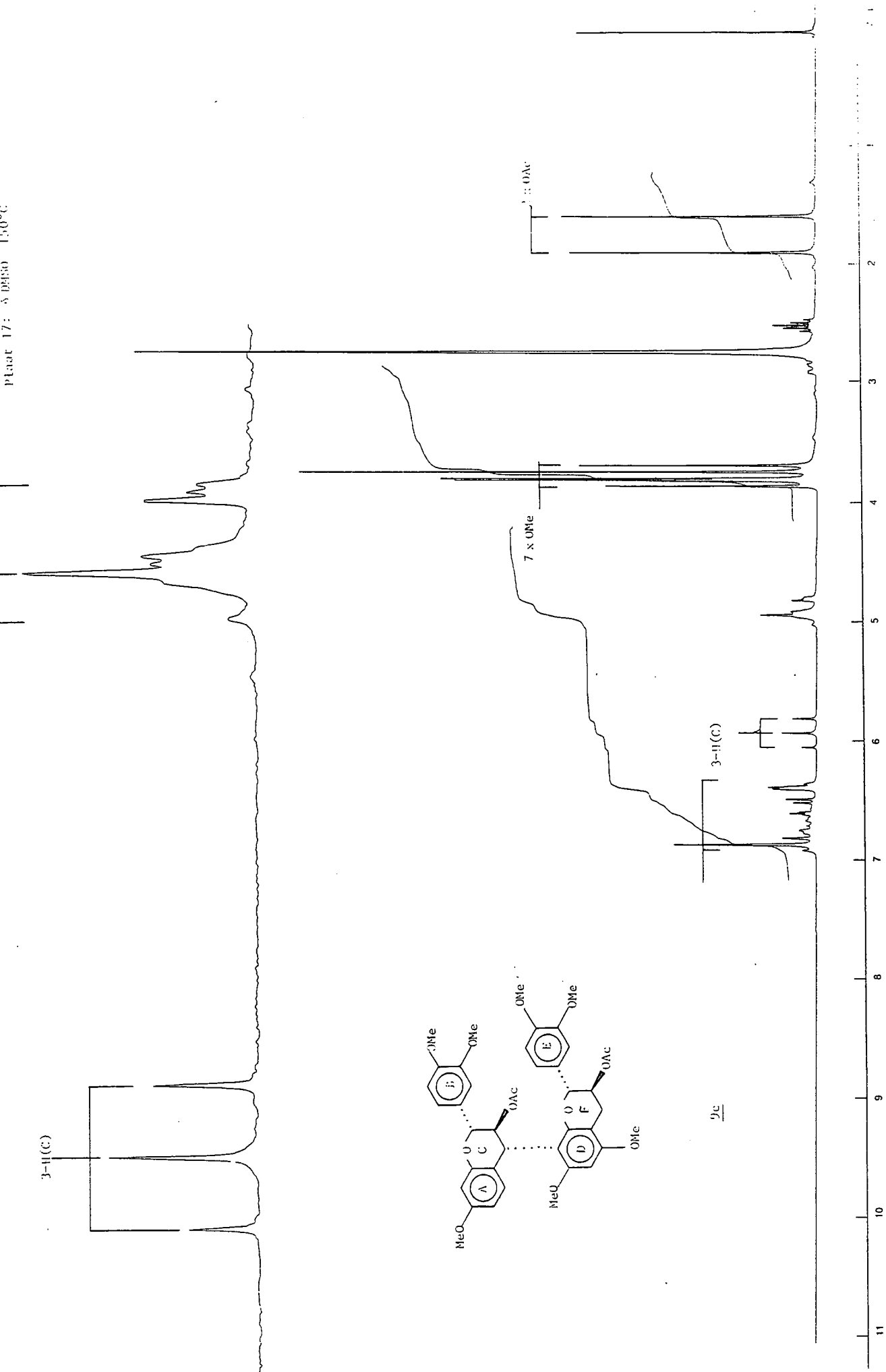


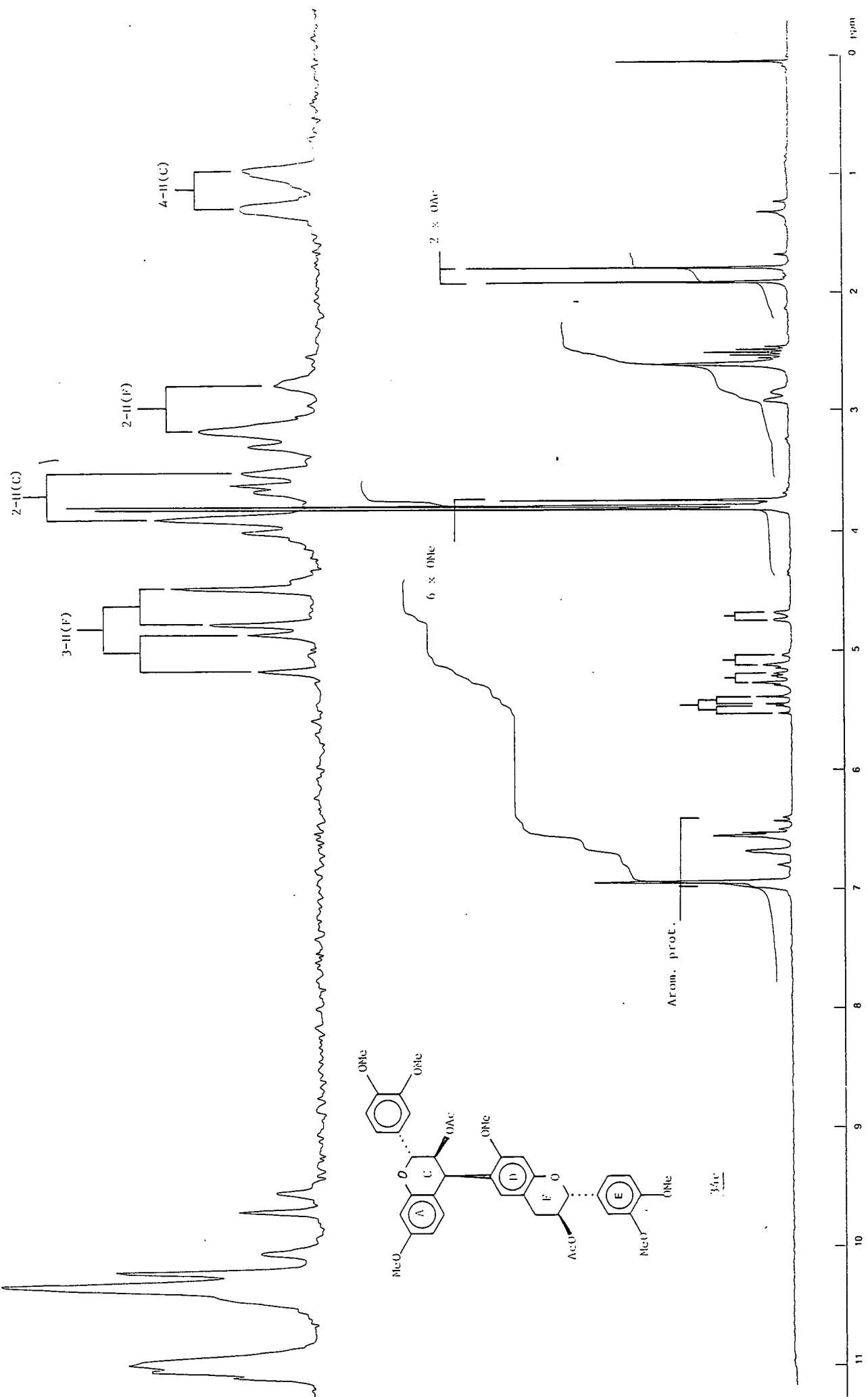
Plaat 15: N DERSO 150°C

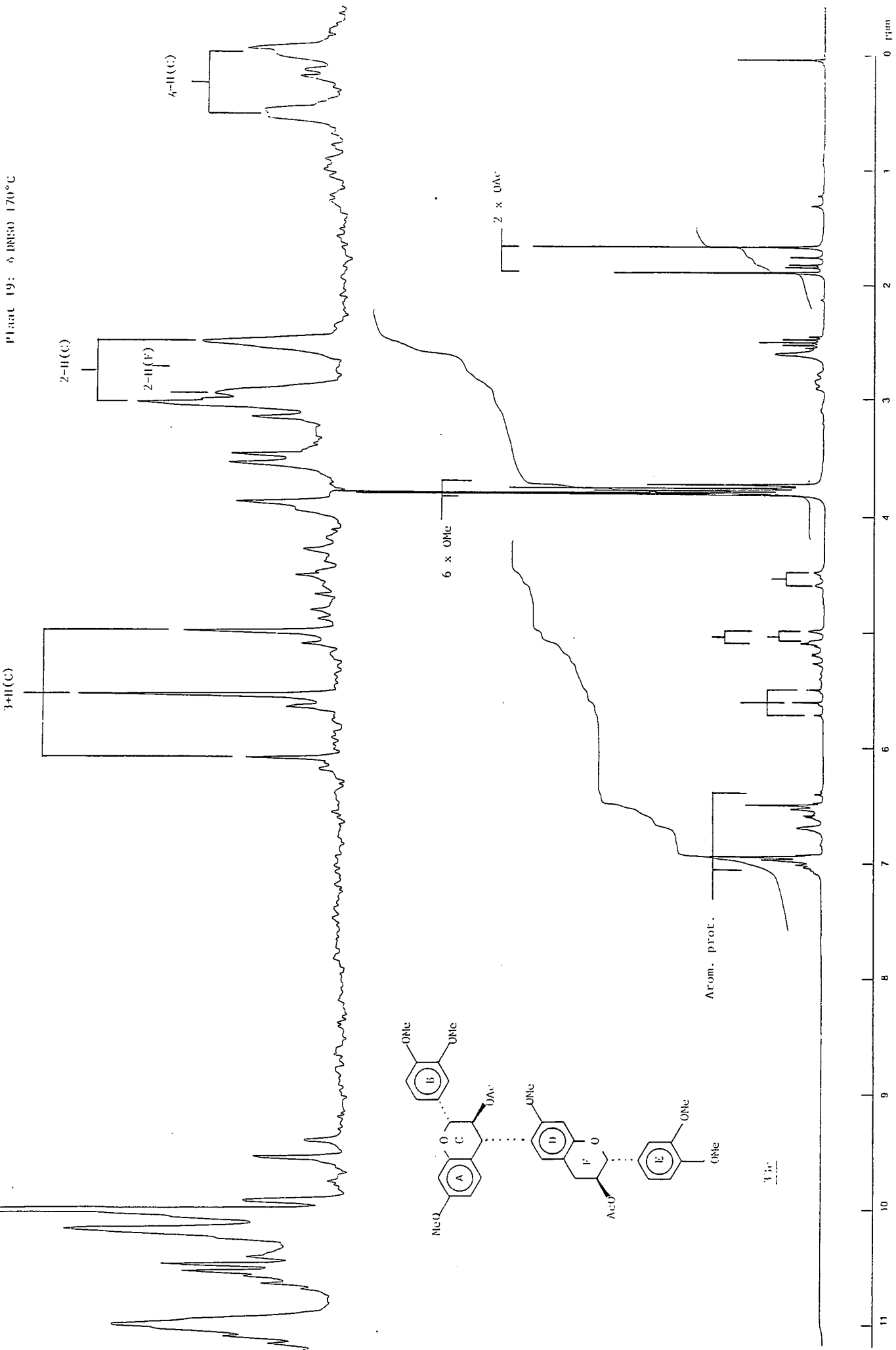




2-H(C); 4-H(C); 2-H(F); 3-H(F)







Tabel 15 Chemiese verskuiwings van die lineêre tetraflavanoïede -  $\delta$  DMSO

Protone	<u>117c</u> (150°C)	<u>118c</u> (150°C)	<u>119c</u> (170°C)
	plaat 20	plaat 21	plaat 22
arom.prot.	6.95-6.20	6.91-6.13	6.87-6.23
3-H(L)	4.96, m		5.13, m
2-H(L)	4.86, d, J7.0Hz		4.69, d, J7.0Hz
4-H(I)	4.87, d, J10.0Hz		4.52, d, J4.0Hz
3-H(I)	5.91, tr, $\Sigma$ J20.0Hz	5.83, tr, $\Sigma$ J19.0Hz	5.32, dd, J5.5 en 4.0Hz
2-H(I)	4.85, d, J10.0Hz		5.23, d, J5.5Hz
4-H(F)	4.67, d, J9.5Hz		4.59 of 4.09, d J9.0Hz
3-H(F)	5.53, tr, $\Sigma$ J19.0Hz	5.28, tr, $\Sigma$ J20.0Hz	5.65, tr, $\Sigma$ J18.0Hz
2-H(F)	4.85, d, J9.5Hz		5.13 of 4.84, d, J9.0Hz
4-H(C)	4.75, d, J5.75Hz		4.59 of 4.09, d, J9.0Hz
3-H(C)	5.16, dd, J6.75 en 5.75Hz	5.34, dd, J6.2 en 4.5Hz	5.65, tr, $\Sigma$ J18.0Hz
2-H(C)	5.00, d, J6.75Hz		5.13 of 4.84, d, J9.0Hz
13xOMe	4.77-3.24	3.78-3.62	3.77-3.41
4xOAc	2.05, 1.86, 1.59 en 1.56	1.80, 1.70, 1.54 en 1.45	1.87, 1.86, 1.69 en 1.54
:			

2-II(I.)

Plaat 20:  $\delta$  DMSO 150°C

2-II(F) en 2-II(I.)

3-II(I.)

3-II(F)

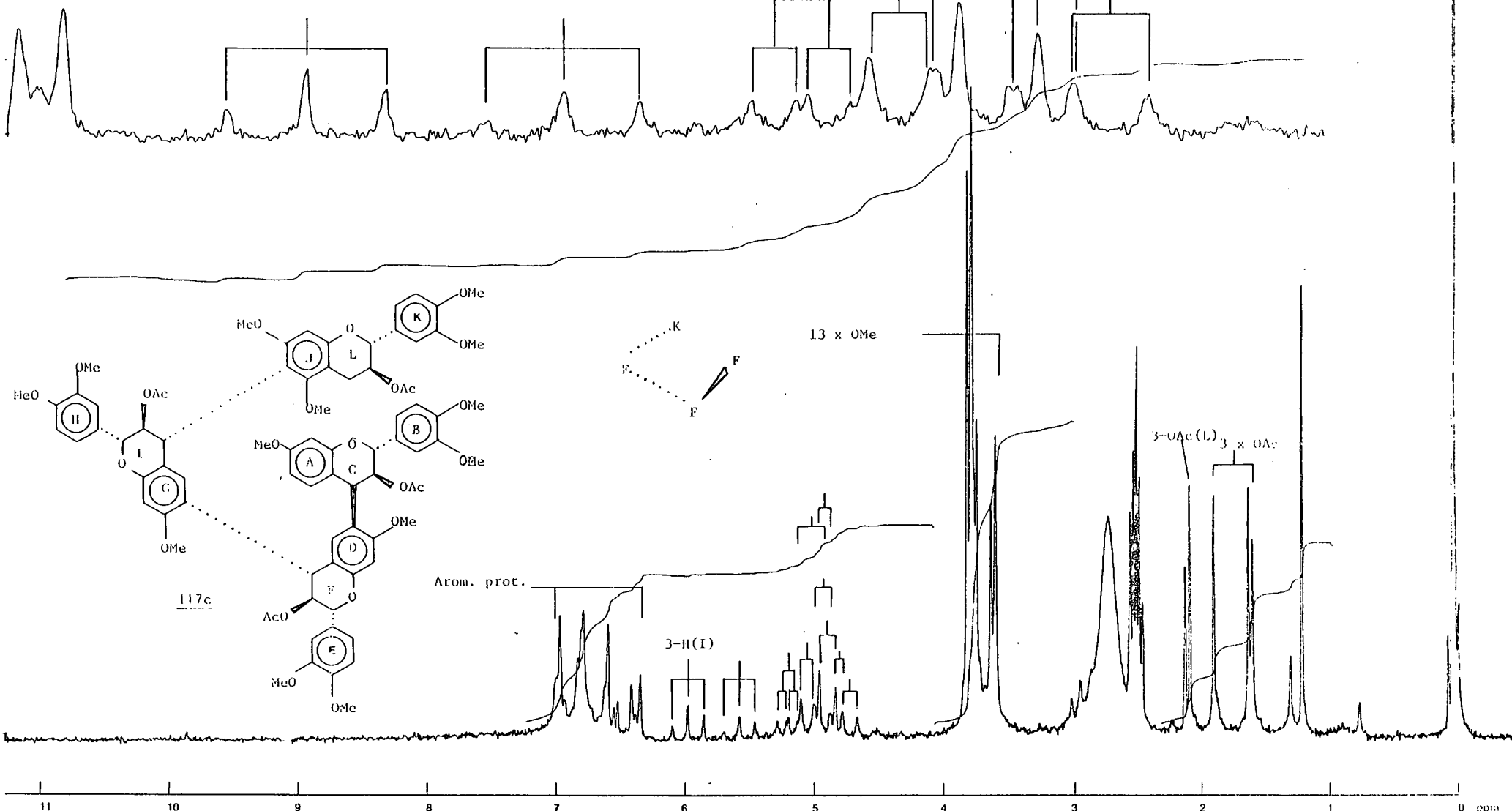
3-II(C)

2-II(C)

4-II(I.)

4-II(C)

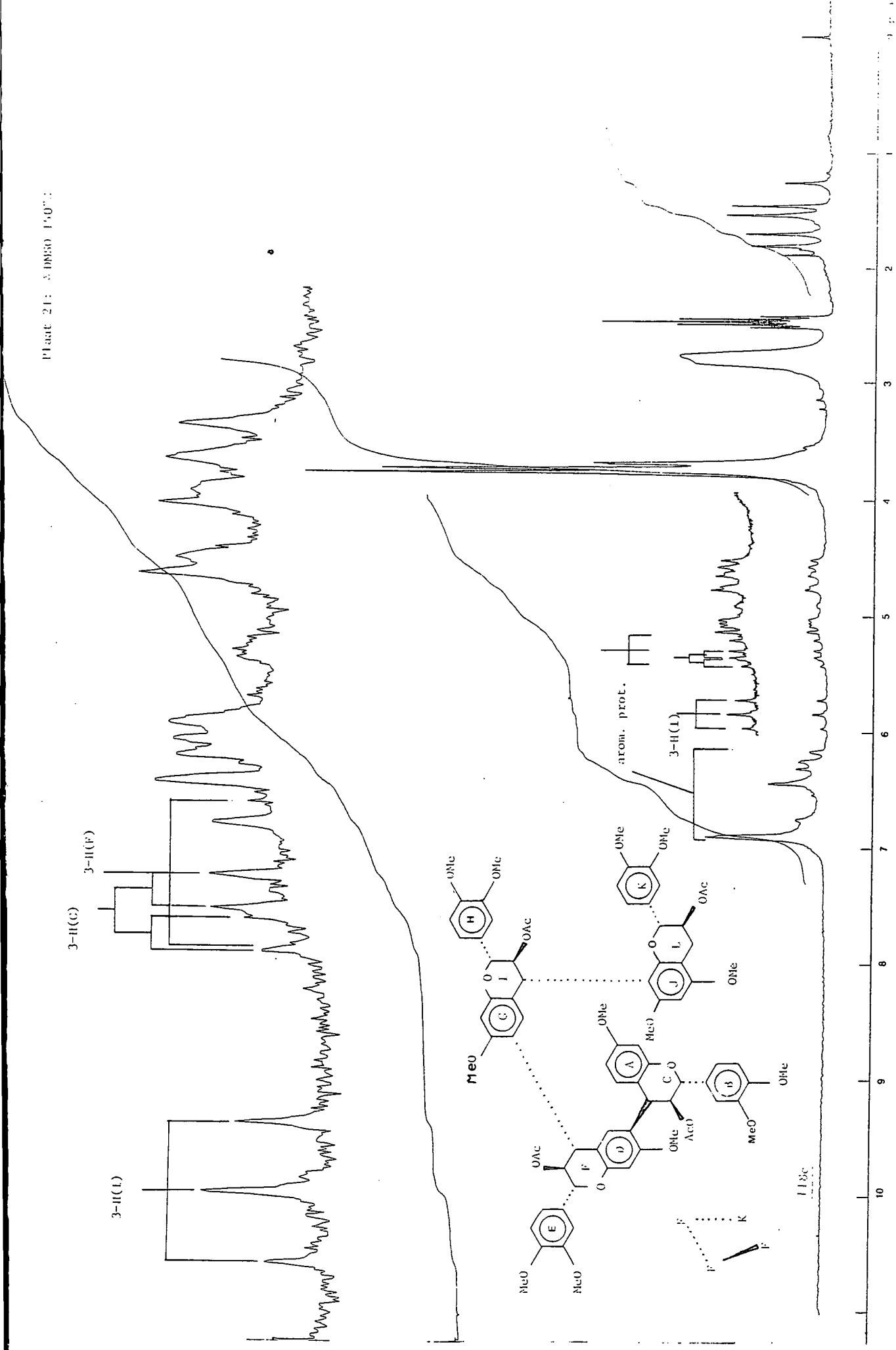
4-II(F)

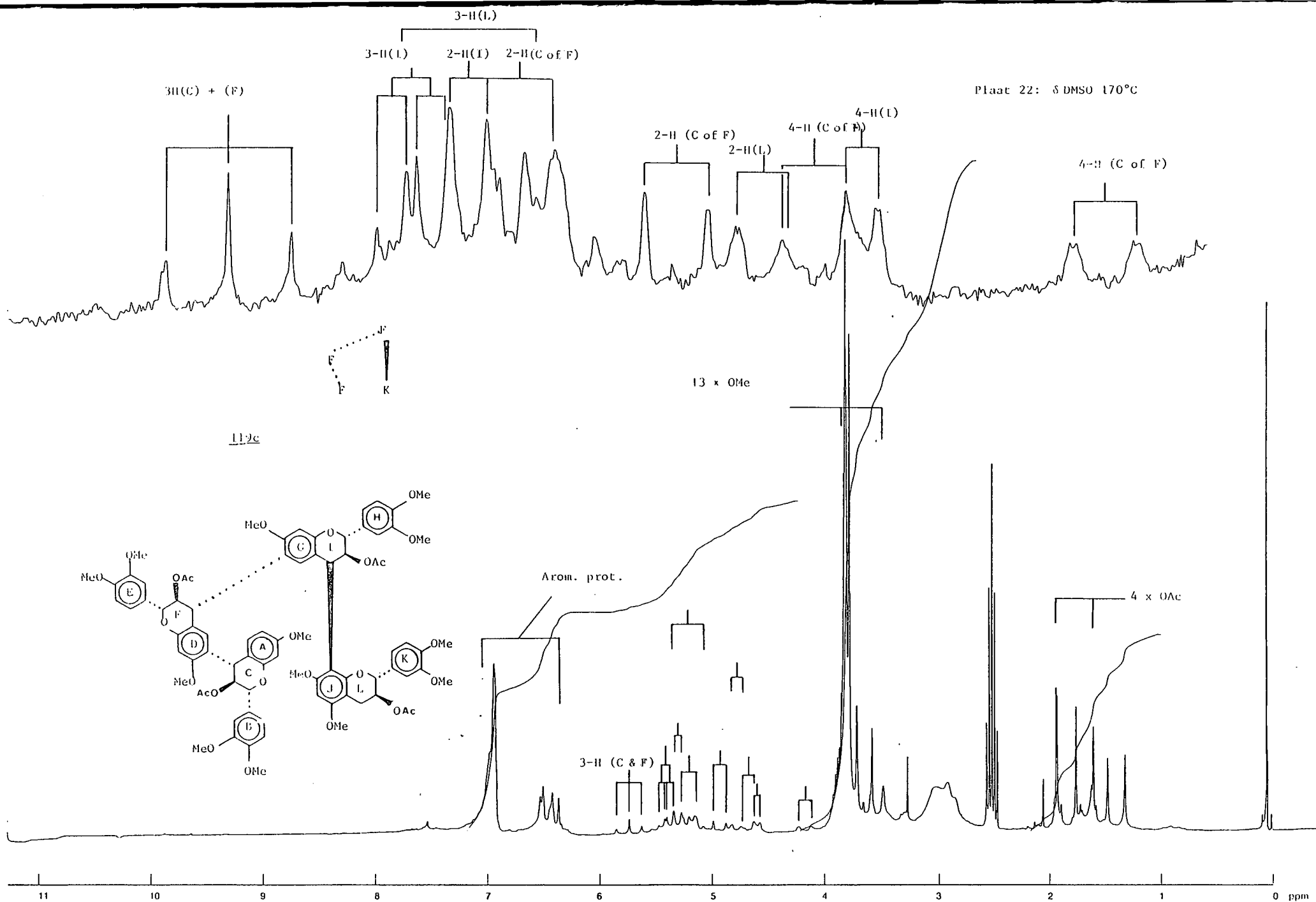


3-II(t)

3-II(c)

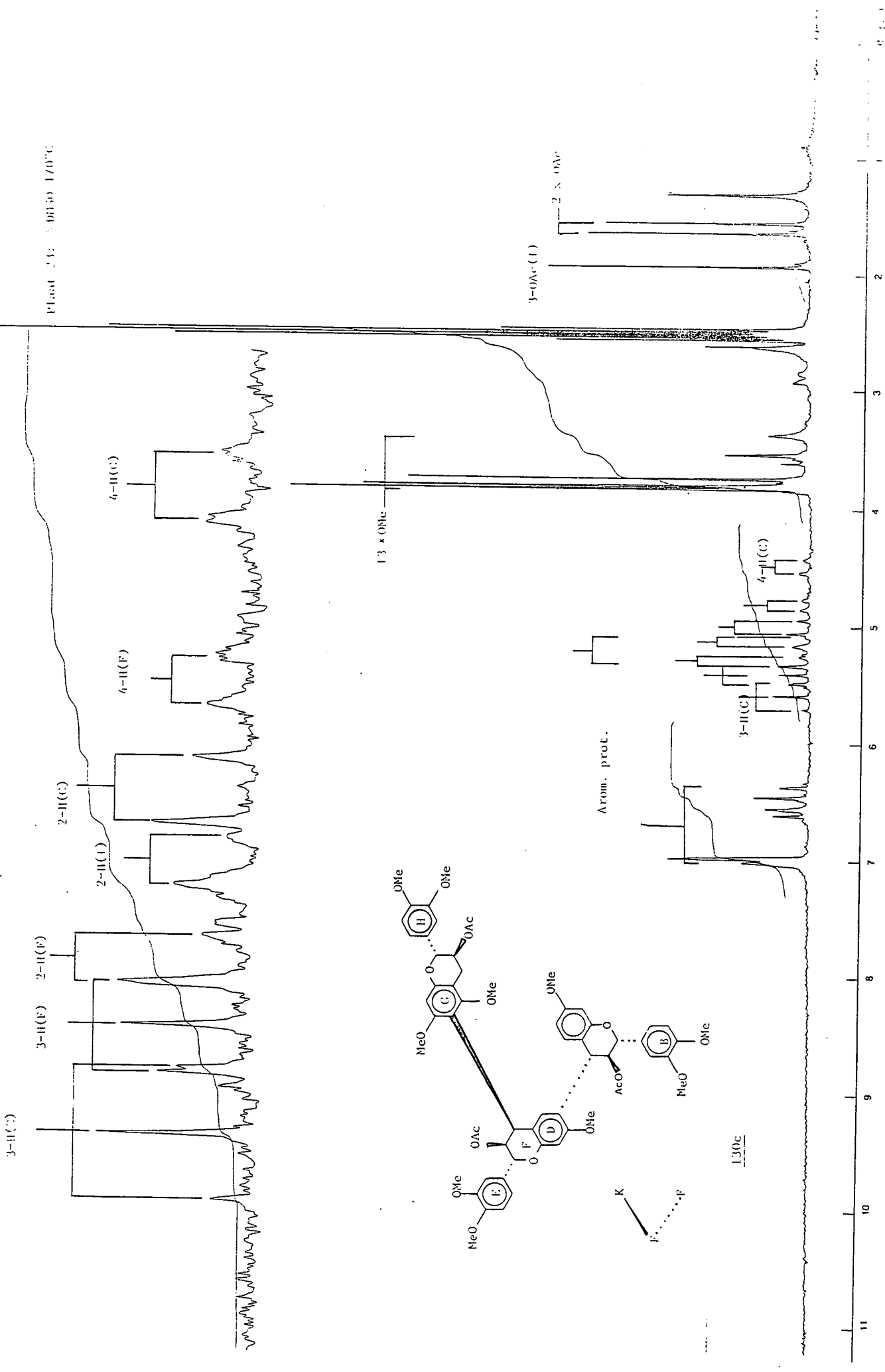
3-II(f)

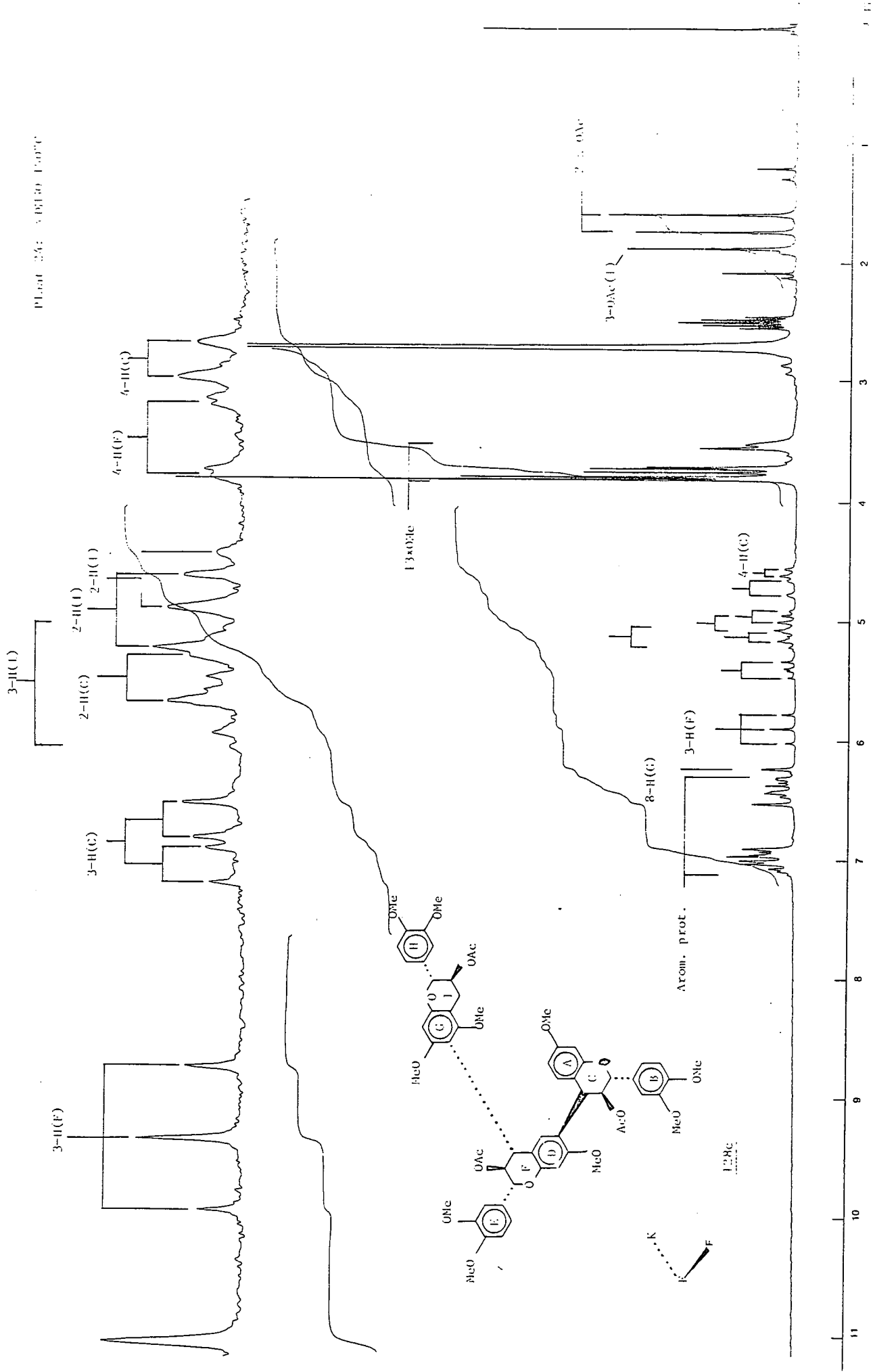


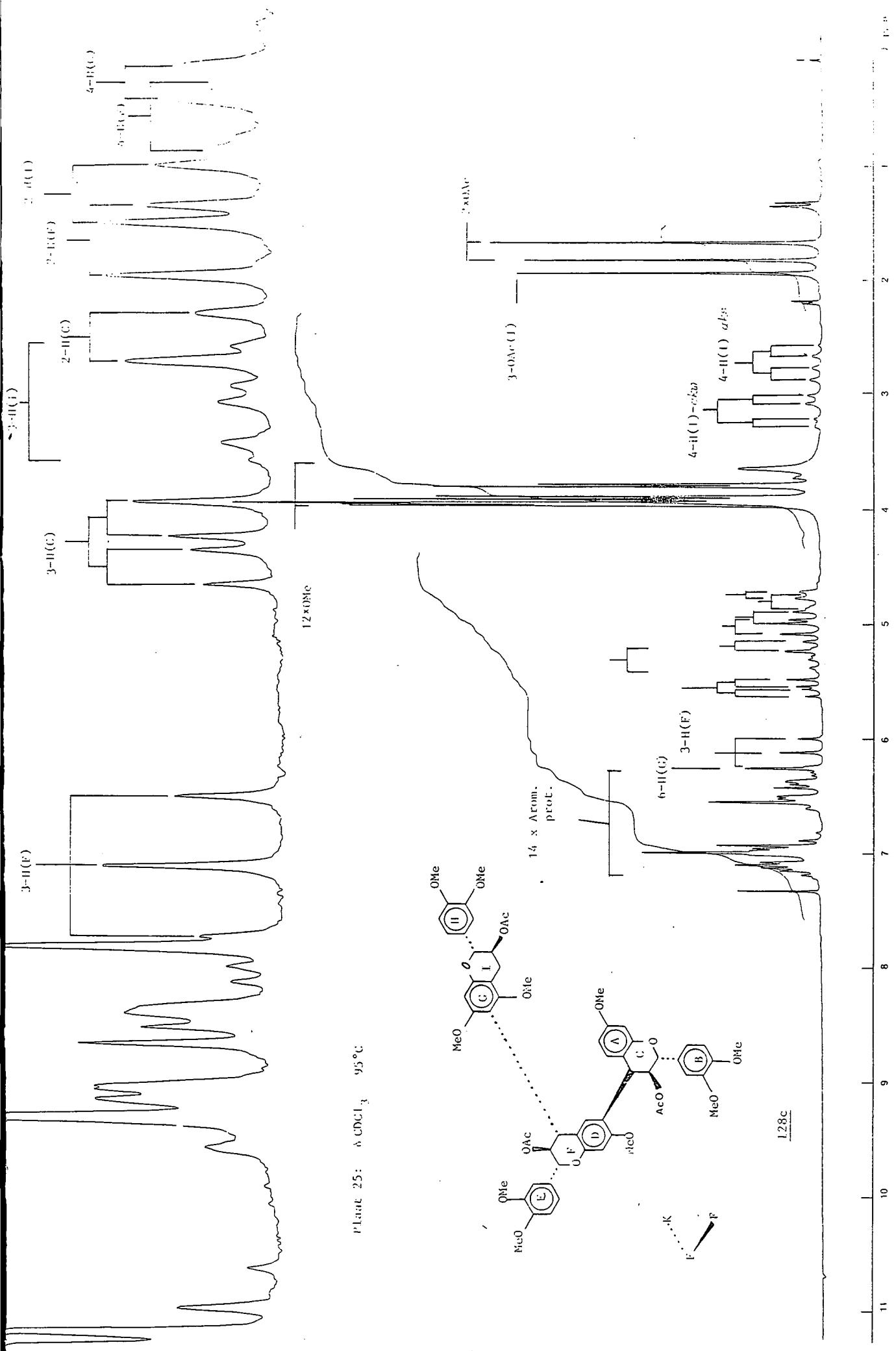


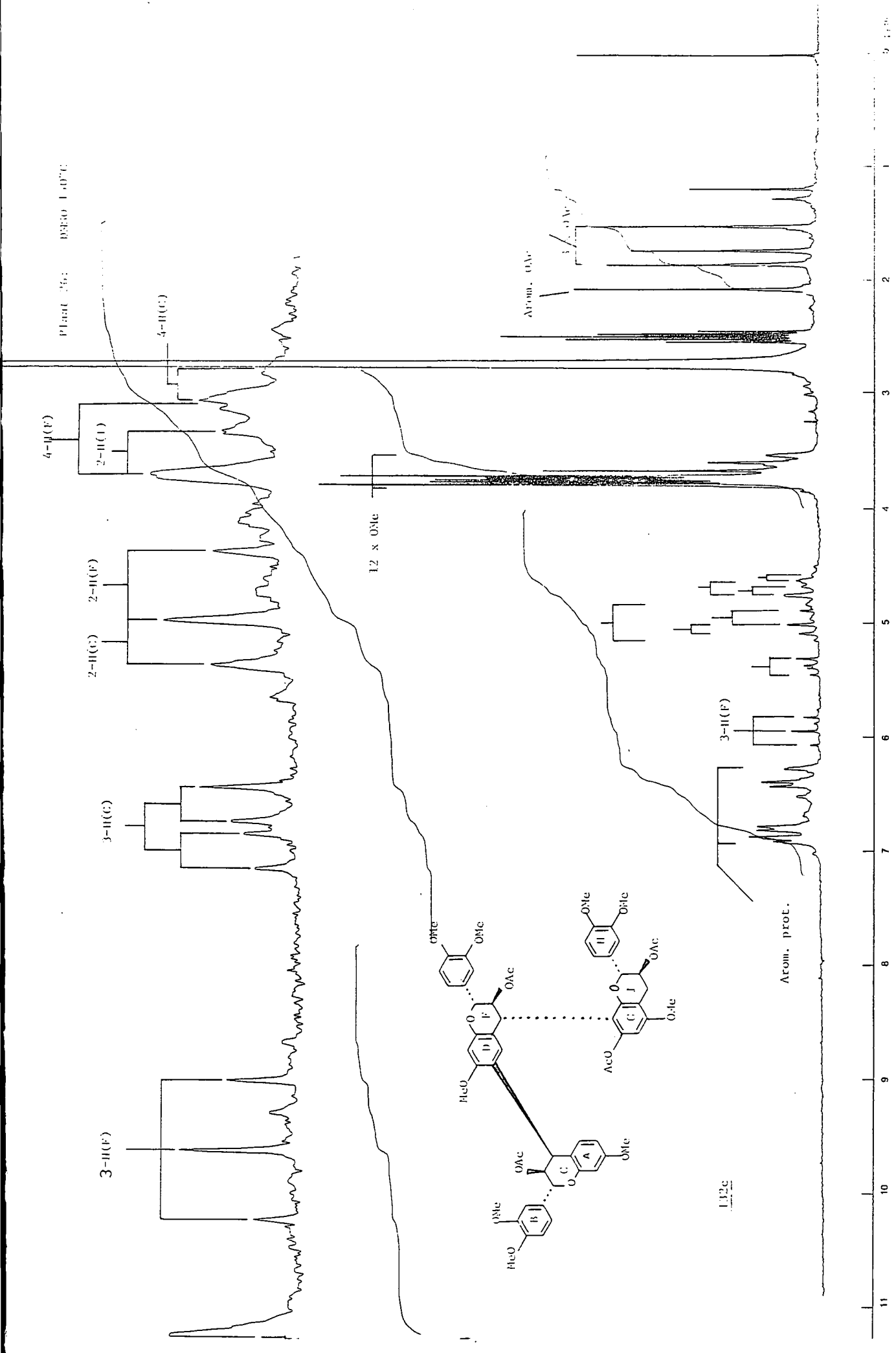
Tabel 16: Chemiese verskuiwings van die lineêre triflavanoïede -  $\delta$  DMSO

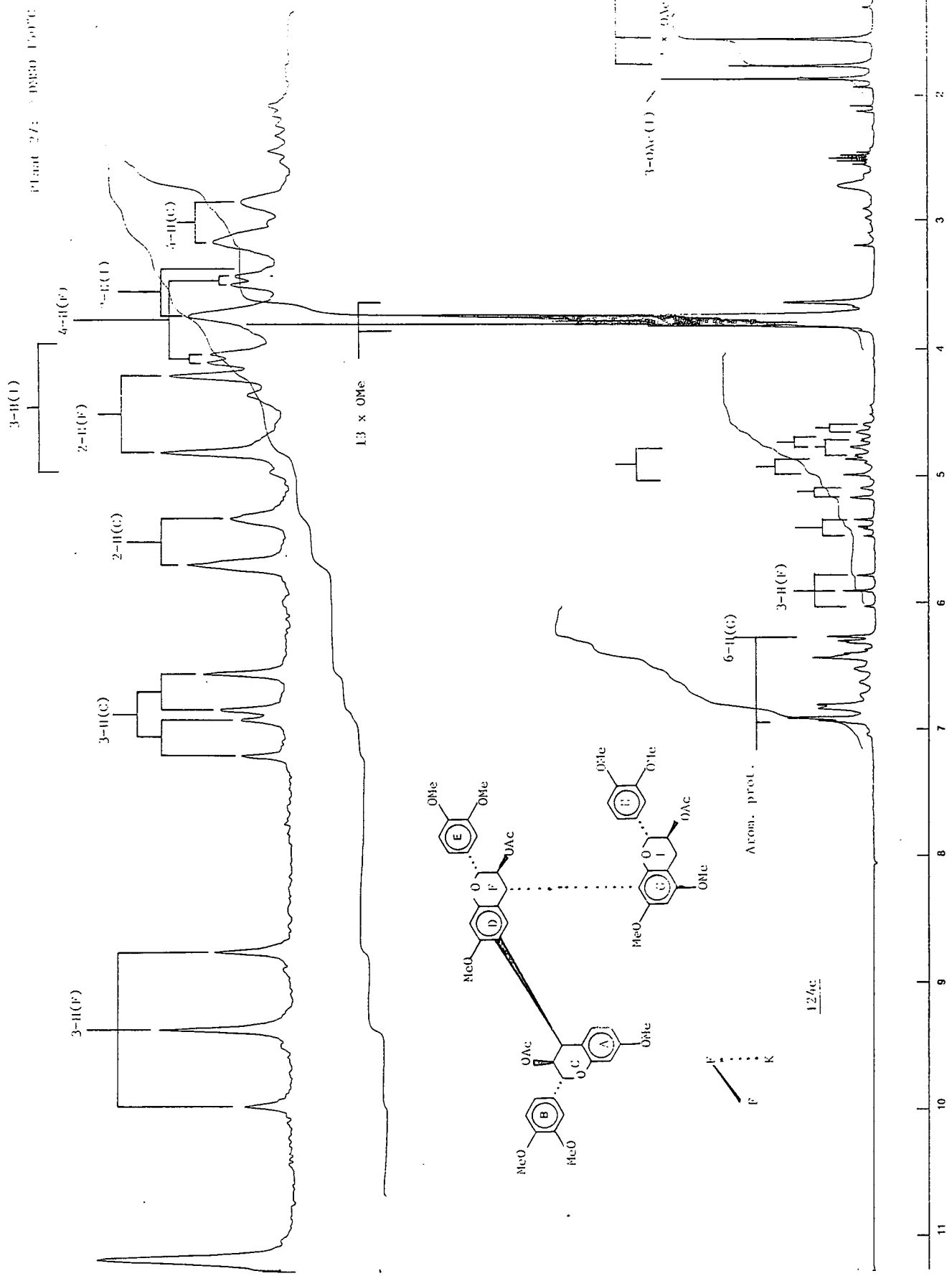
Protone	<u>124c</u> (150°C) plaat 27	<u>128c</u> (150°C) plaat 24	<u>130c</u> (170°C) plaat 23	<u>132c</u> (150°C) plaat 26
Arom. prot.	6.89-6.22	7.06-6.19	6.99-6.25	6.89-6.72
2x4H(I)	2.80, m	2.72, m	2.84 m	2.84, m
3-H(I)	4.86, m	5.08, m	5.18, m	4.96, m
2-H(I)	4.69, d, J6.0Hz	4.92, d, J7.5Hz	5.09, d, J6.5Hz	4.68, d, J6.0Hz
4-H(F)	4.74, d, J9.75Hz	4.67, d, J9.5Hz	4.78, d, J6.5Hz	4.65, d, J9.75Hz
3-H(F)	5.85, tr, $\Sigma$ J19.5Hz	5.85, tr, $\Sigma$ J19.0Hz	5.37, tr, $\Sigma$ J13.0Hz	5.90, tr, $\Sigma$ J19.5Hz
2-H(F)	4.88, d, J9.75Hz	4.96, d, J9.5Hz	5.25, d, J6.5Hz	4.9, d, J9.75Hz
3-H(C)	5.35, dd, J5.75 en 4.5Hz	5.36, dd, J6.0 en 4.75Hz	5.56, tr, $\Sigma$ J18.0Hz	5.34, dd, J6.5 en 4.75Hz
2-H(C)	5.08, d, J5.75Hz 3.78-3.27, sx10	5.08, d, J6.0Hz 3.77-3.47, sx10	4.96, d, J9.0Hz 3.78-3.43, 5x10	5.01, d, J6.5Hz 3.76-3.50, sx9
Heterosi= kliese - OAc	1.83, 1.72 en 1.52	1.84, 1.70 en 1.56	1.91, 1.61 en 1.53	1.84, 1.71 en 1.50 Aromatiese asetoksi 2.05





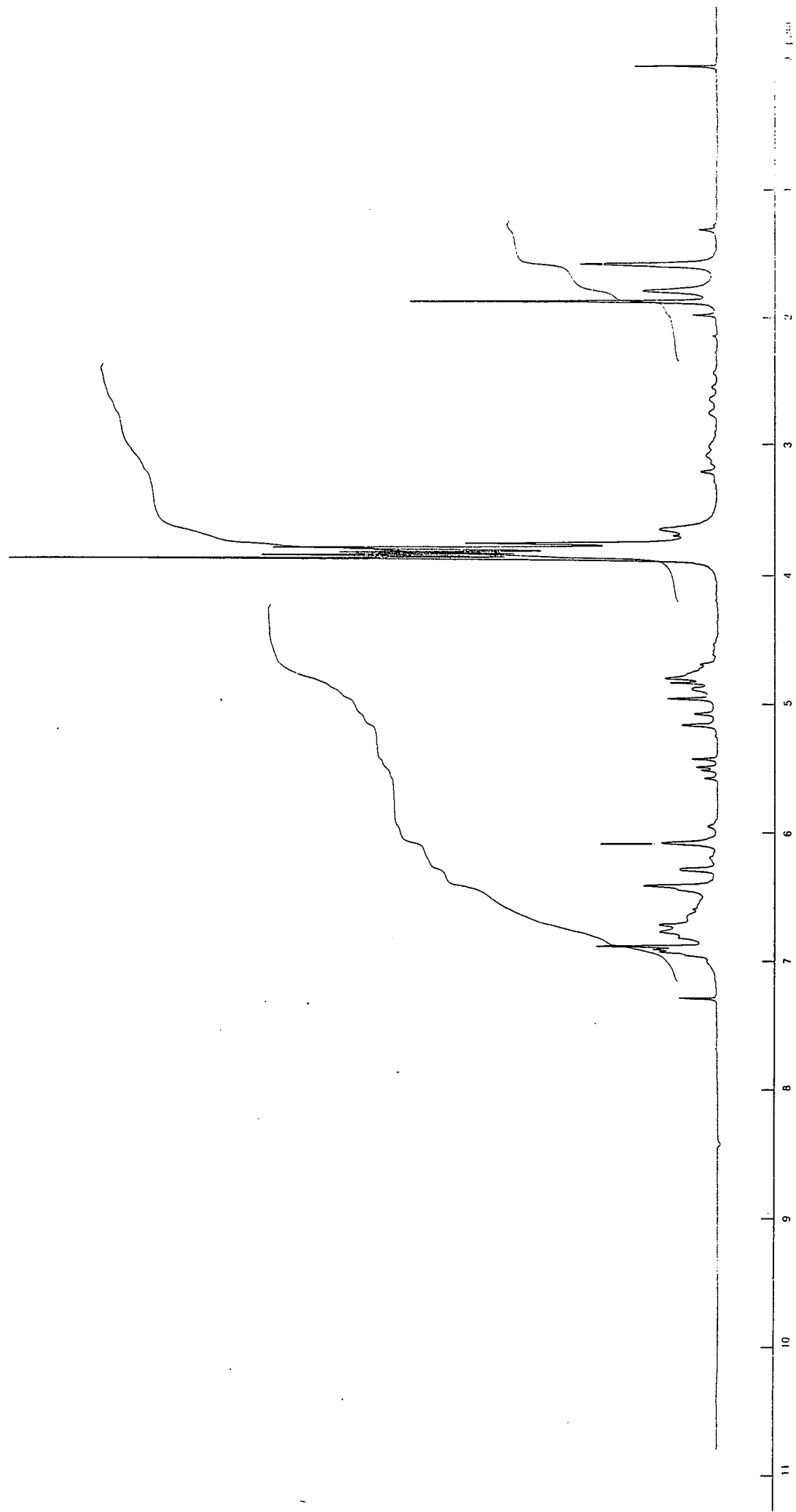






Plant 28:  $\delta^{13}\text{C}$  95.9 $^{\circ}\text{C}$

$\frac{12.4\text{e}}{12.5\text{e}}$

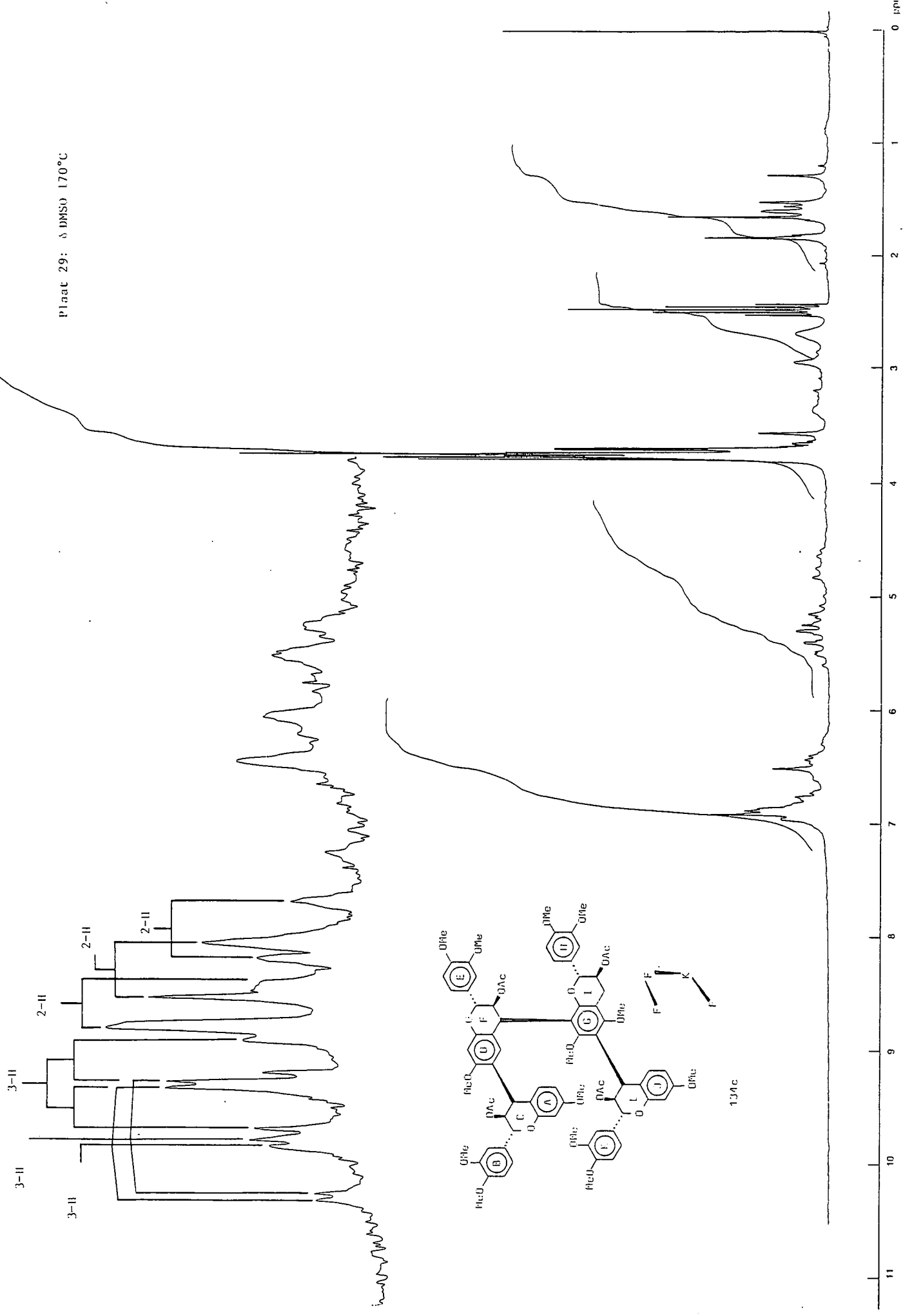


Tabel 17: Chemiese verskuiwings van die [4,8]-bi-(-)-fisetinidolangulêre tetraflavaneïde

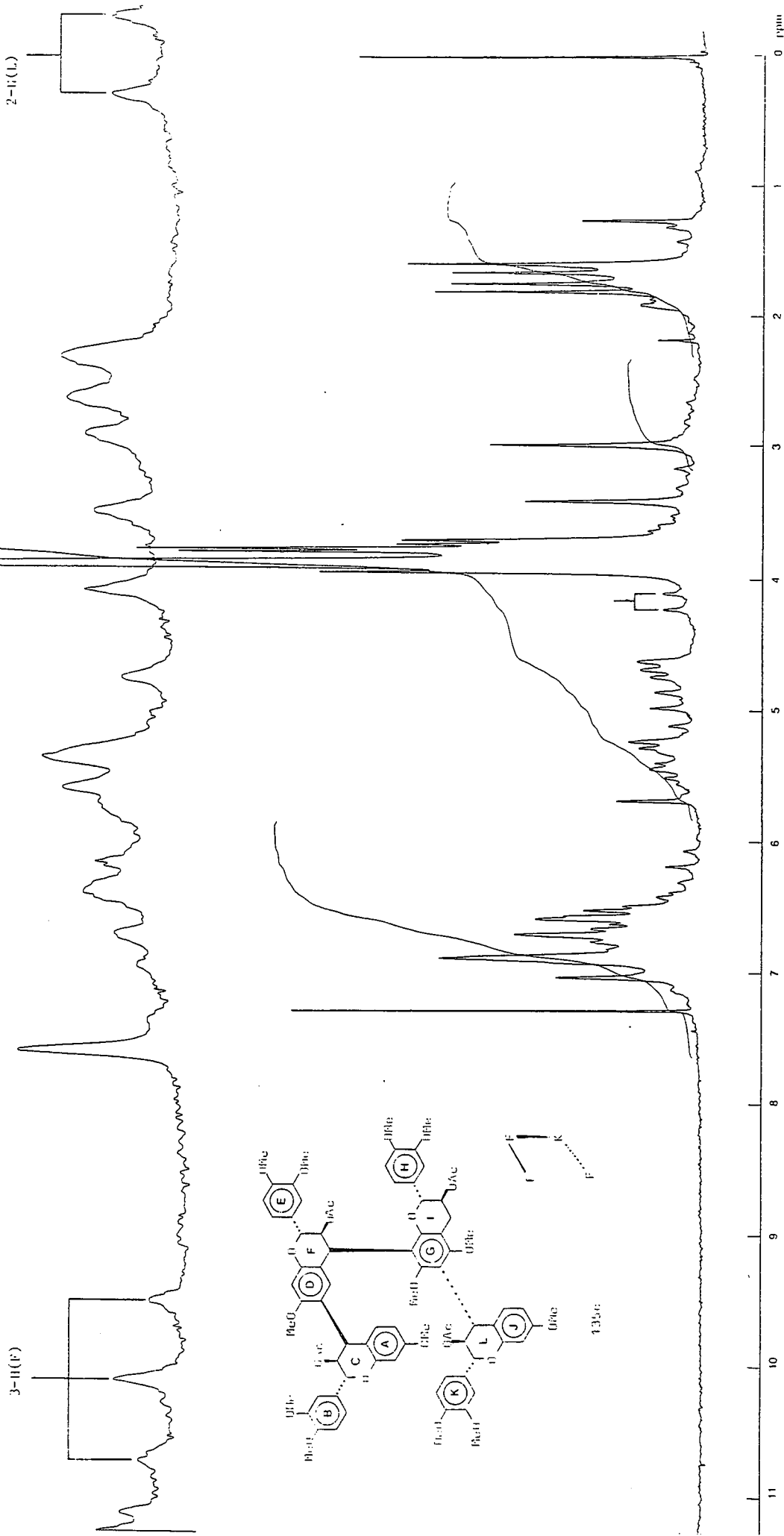
Protone	<u>134c</u> plaat 29	<u>135c</u> plaat 30 $\delta$ CDCl <sub>3</sub> - 30°C	<u>136c</u> plaat 33	<u>137c</u> plaat 32	<u>138c</u> plaat 36	<u>139c</u> plaat 37
20xArom.prot.			7.03-6.29	6.97-6.34	6.94-6.24	7.03-6.29
4-H(L)			4.72, d, J9.5Hz	4.22, d, J6.75Hz	4.53, d, J9.75Hz	4.53, d, J9.75Hz
3-H(L)	*5.37, dd, J6.75 en 5.5Hz		5.90, tr, $\Sigma$ J19.0Hz	5.50, dd, J8.0 en 6.75Hz	5.84, tr, $\Sigma$ J15.0Hz	5.84, tr, $\Sigma$ J19.5Hz
2-H(L)			4.91, d, J9.5Hz	5.29, d, J8.0Hz	5.05, d, J7.5Hz	4.96, d, J9.75Hz
4-H(1) ( <i>ijk</i> )			3.12, dd	3.10, dd		
4-H(1) ( <i>klm</i> )			2.70, dd	2.74, dd	2.90, m	2.91, m
3-H(1)			5.04, m	5.03, m	4.95, m	4.88, m
2-H(1)		4.13, d, J9.5Hz	4.72, d, J8.0Hz	4.81, d, J7.0Hz	4.84, d, J7.0Hz	4.67, d, J9.0Hz
4-H(F)			4.56, d, J9.5Hz	4.62, d, J9.5Hz	4.66, d, J10.0Hz	4.69, d, J9.5Hz
3-H(F)	*5.47, tr, $\Sigma$ J16.0Hz	6.14, tr, $\Sigma$ J19.5Hz	5.92, tr, $\Sigma$ J19.0Hz	6.06, tr, $\Sigma$ J19.0Hz	5.95, tr, $\Sigma$ J20.0Hz	5.88, tr, $\Sigma$ J19.0Hz
2-H(F)			4.87, d, J9.5Hz	4.84, d, J10.0Hz	4.75, d, J10.0Hz	4.87, d, J9.5Hz
4-H(C)			4.34, d, J9.5Hz	4.37, d, J10.0Hz	4.65, d, J4.5Hz	4.69, d, J5.0Hz
3-H(C)	*5.45, tr, $\Sigma$ J15.0Hz		5.47, tr, $\Sigma$ J19.0Hz	5.47, tr, $\Sigma$ J20.0Hz	5.34, dd, J6.0 en 4.5Hz	5.35, dd, J7.0 en 5.0Hz
2-H(C)			4.82, d, J9.5Hz	4.84, d, J10.0Hz	5.09, d, J6.0Hz	4.92, d, J7.0Hz
13xOMe	3.76-3.53	3.92-2.93	3-75-3.44	3.76-3.67	3.76-3.53	3.78-3.28
4xOAc	1.81, 1.62, 1.58 en 1.50	1.78, 1.72, 1.63 en 1.57	1.80, 1.56, 1.55 en 1.45	1.83, 1.55, 1.52, 1.51	1.83, 1.72, 1.53 en 1.50	1.82, 1.56, 1.50 en 1.45

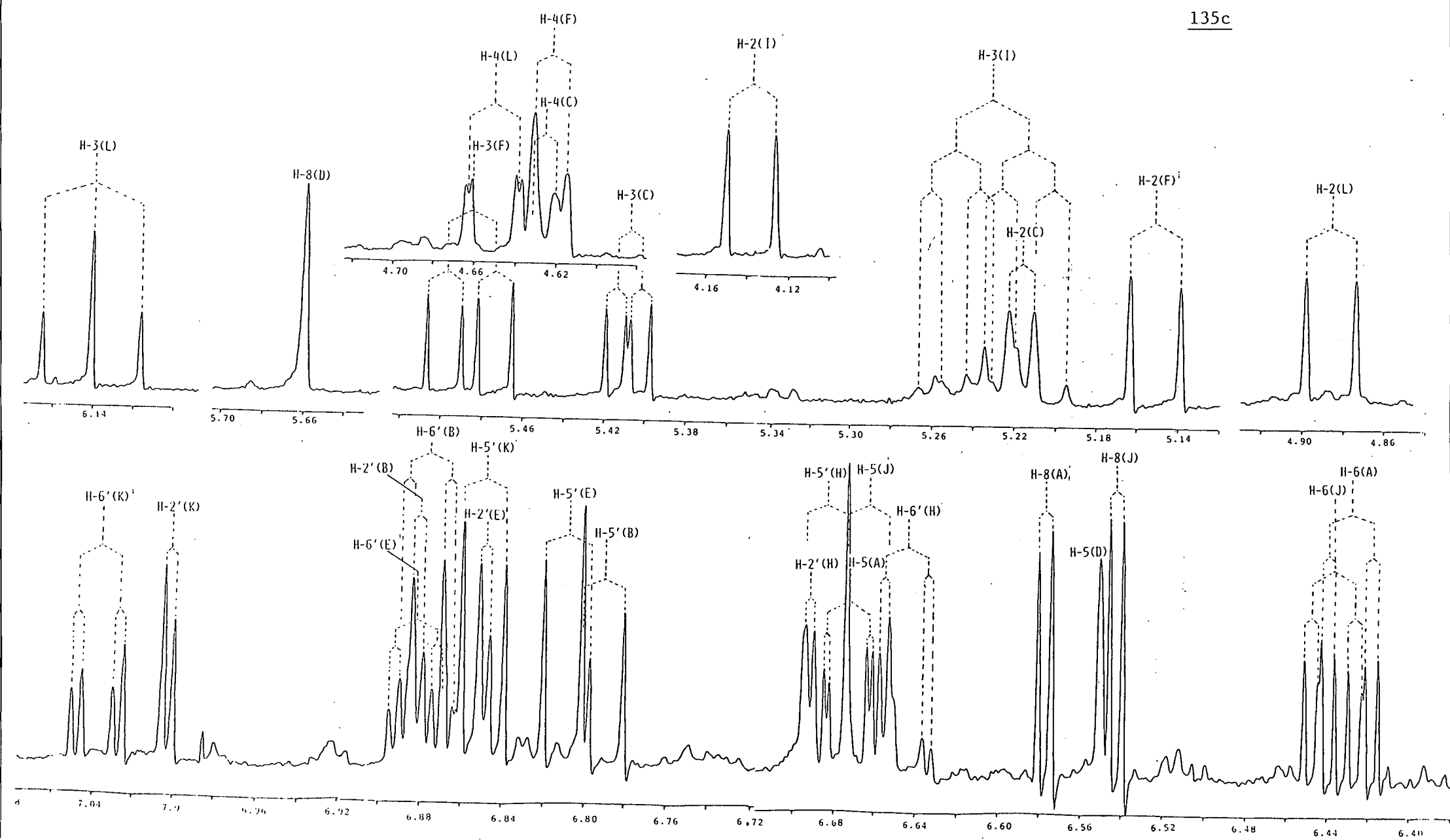
\*Arbitrale toekennings aangesien geen onderskeid tussen die verskillende spin sisteme moontlik is nie.

Plaat 29:  $\delta$  DMSO 170°C



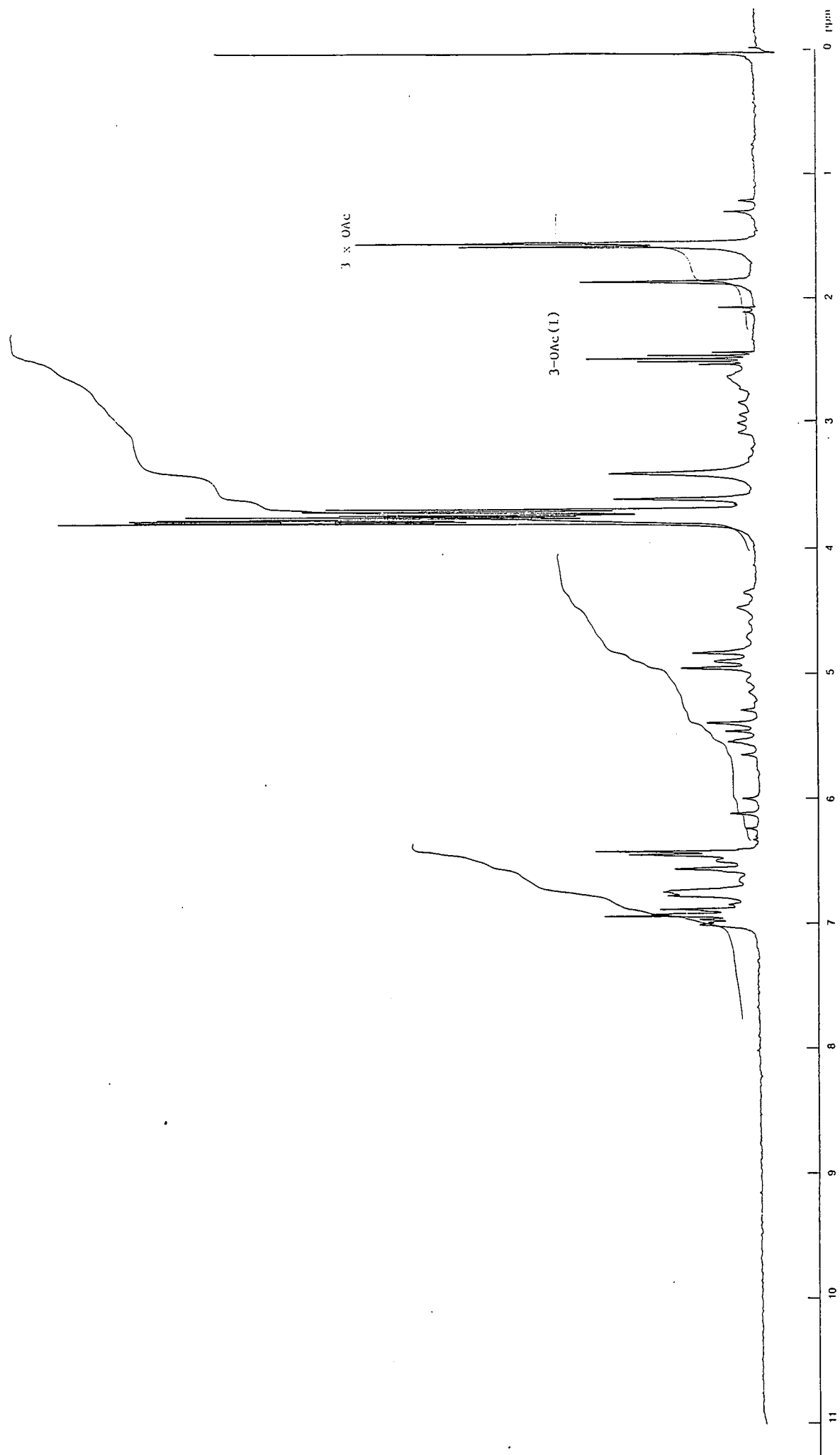
Plaat 30: δ DMSO 30°C

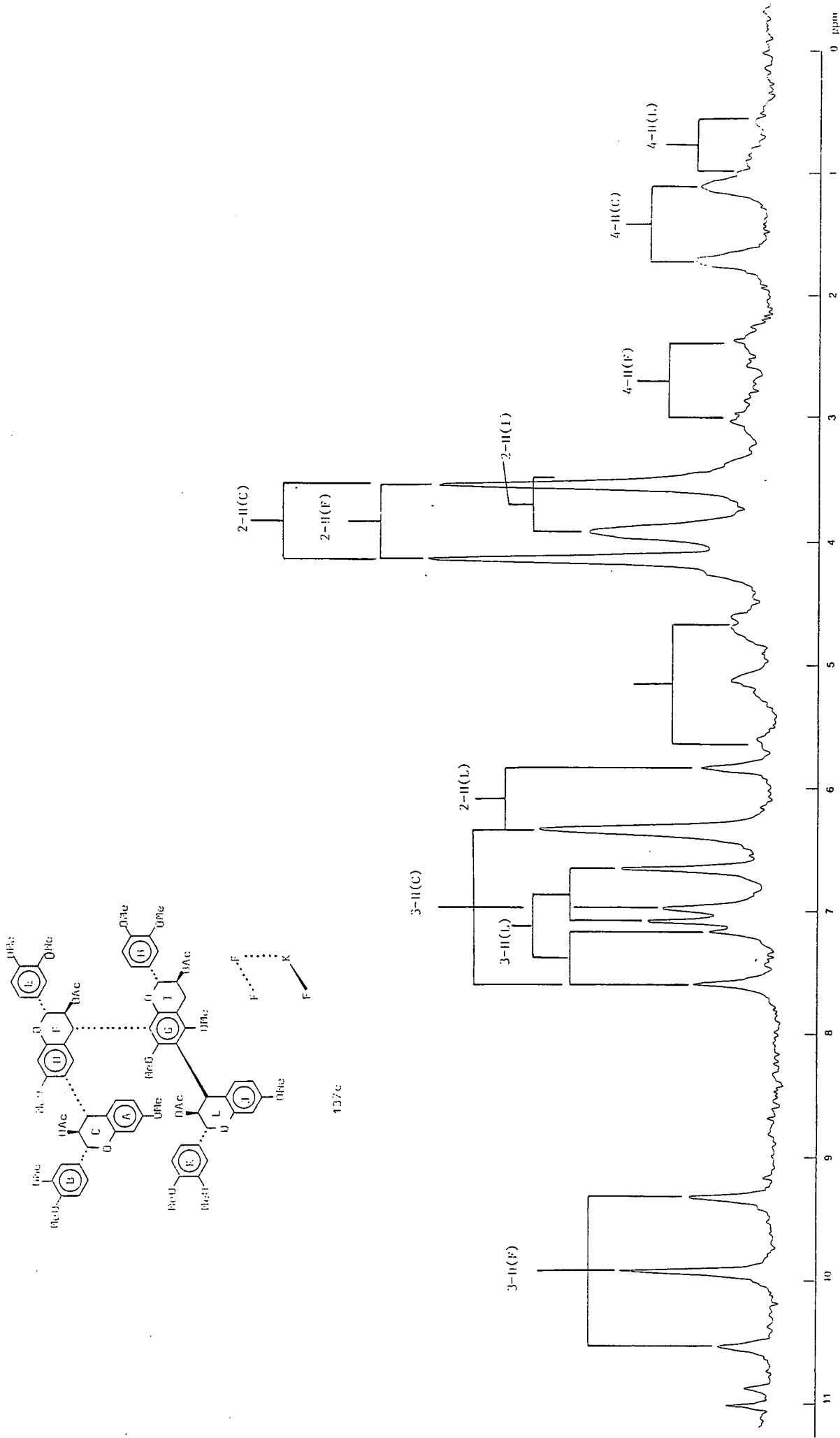


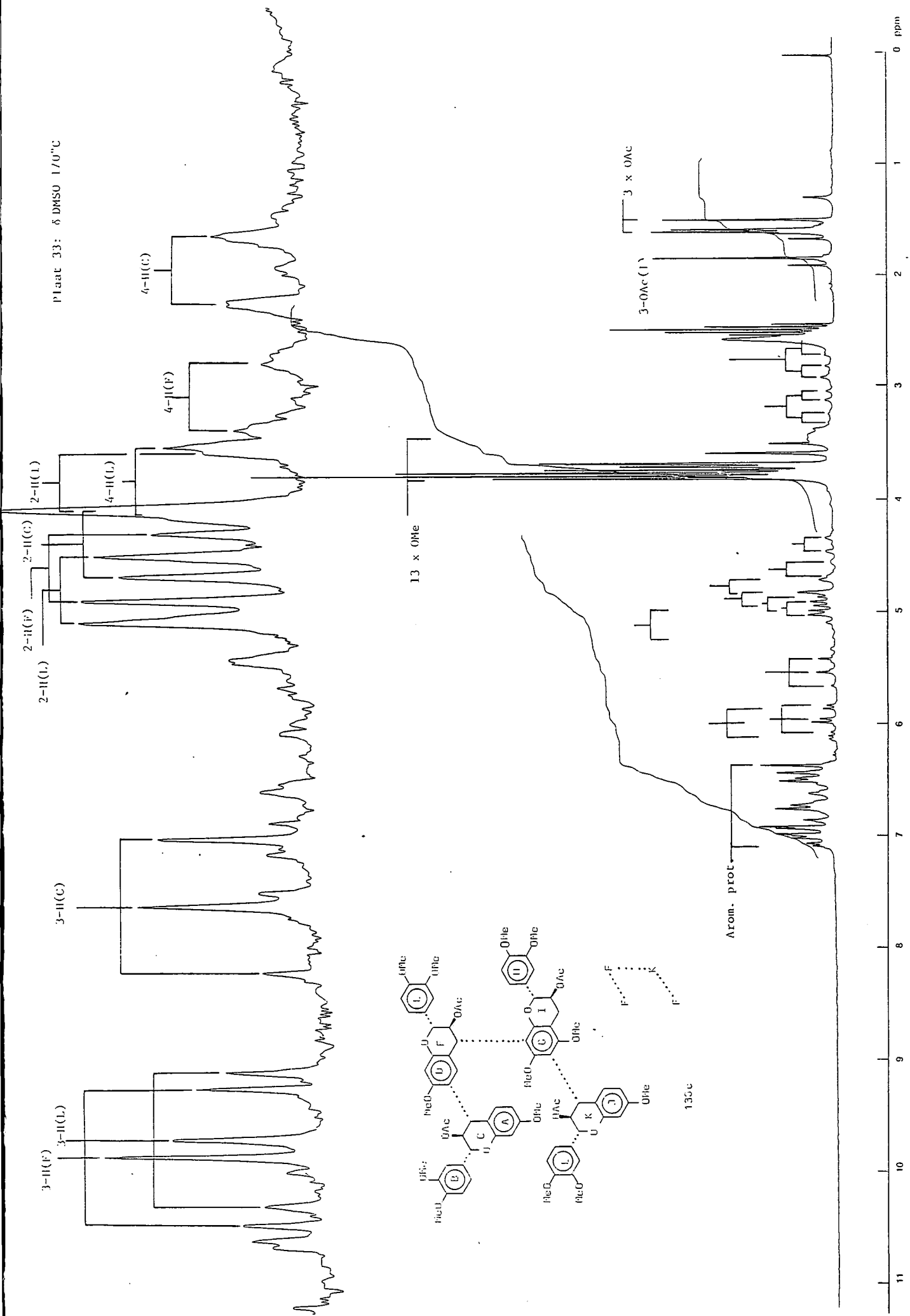
135c

Plant 32:  $\delta$  DMSO 180°C

137c

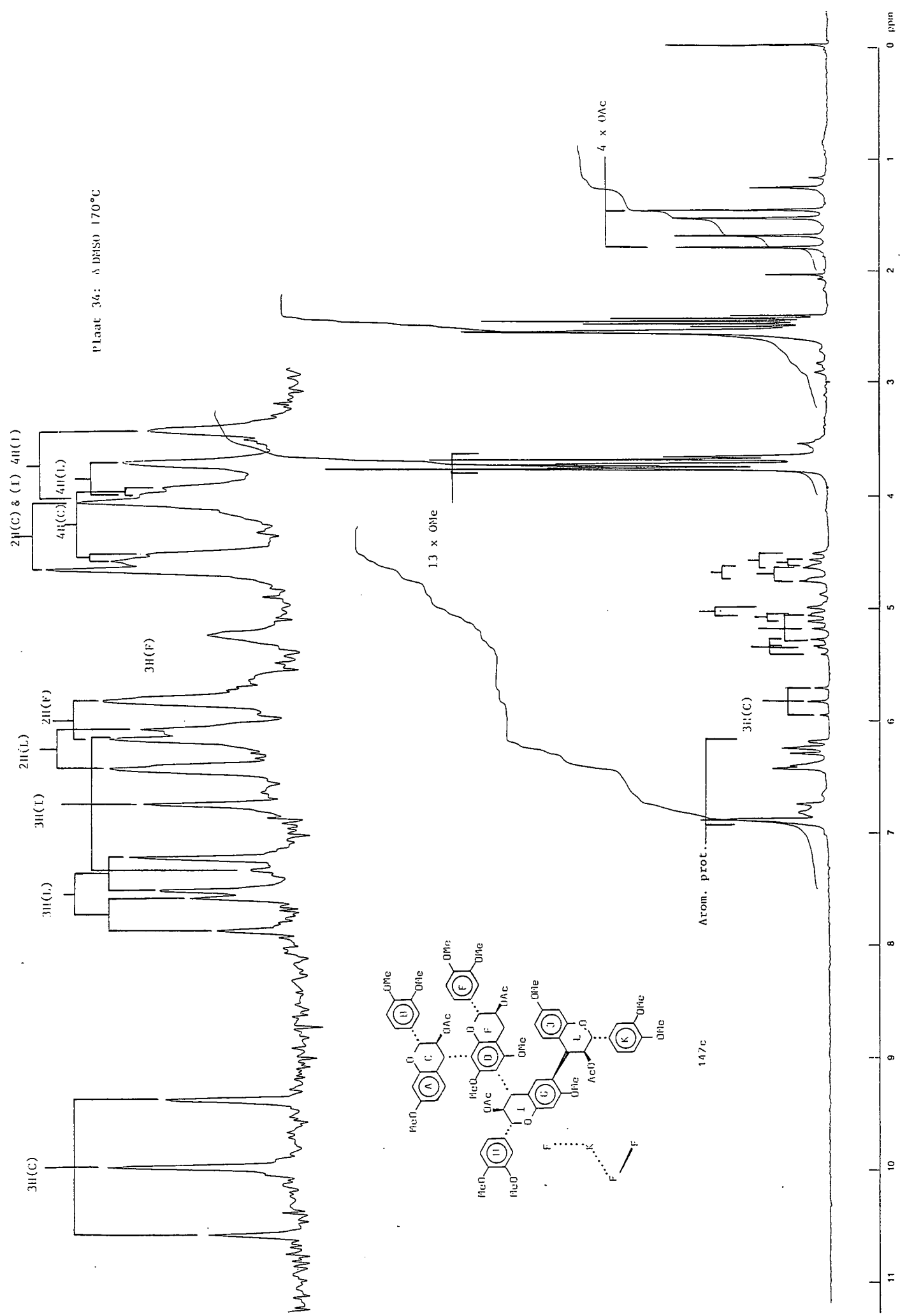




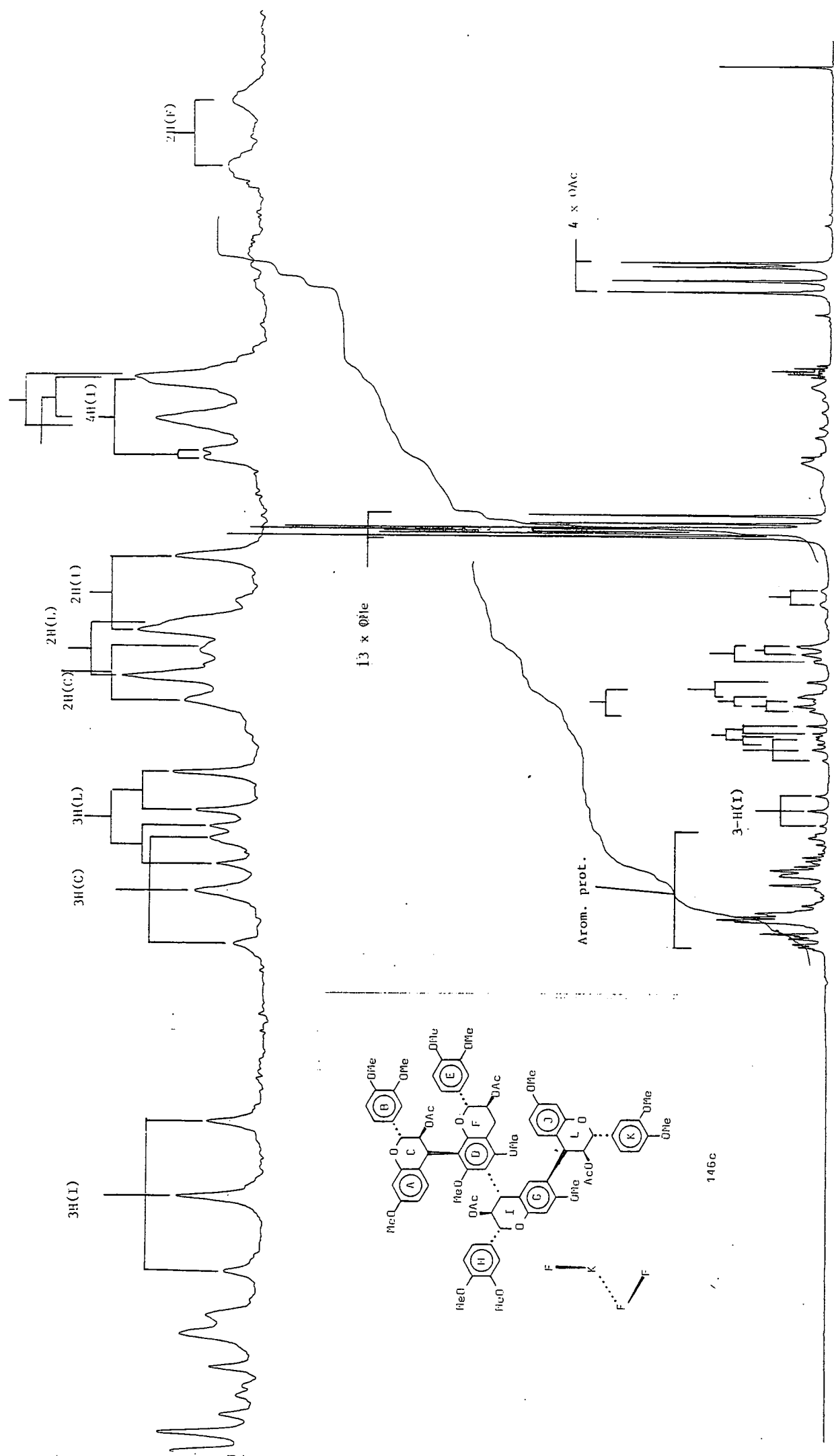


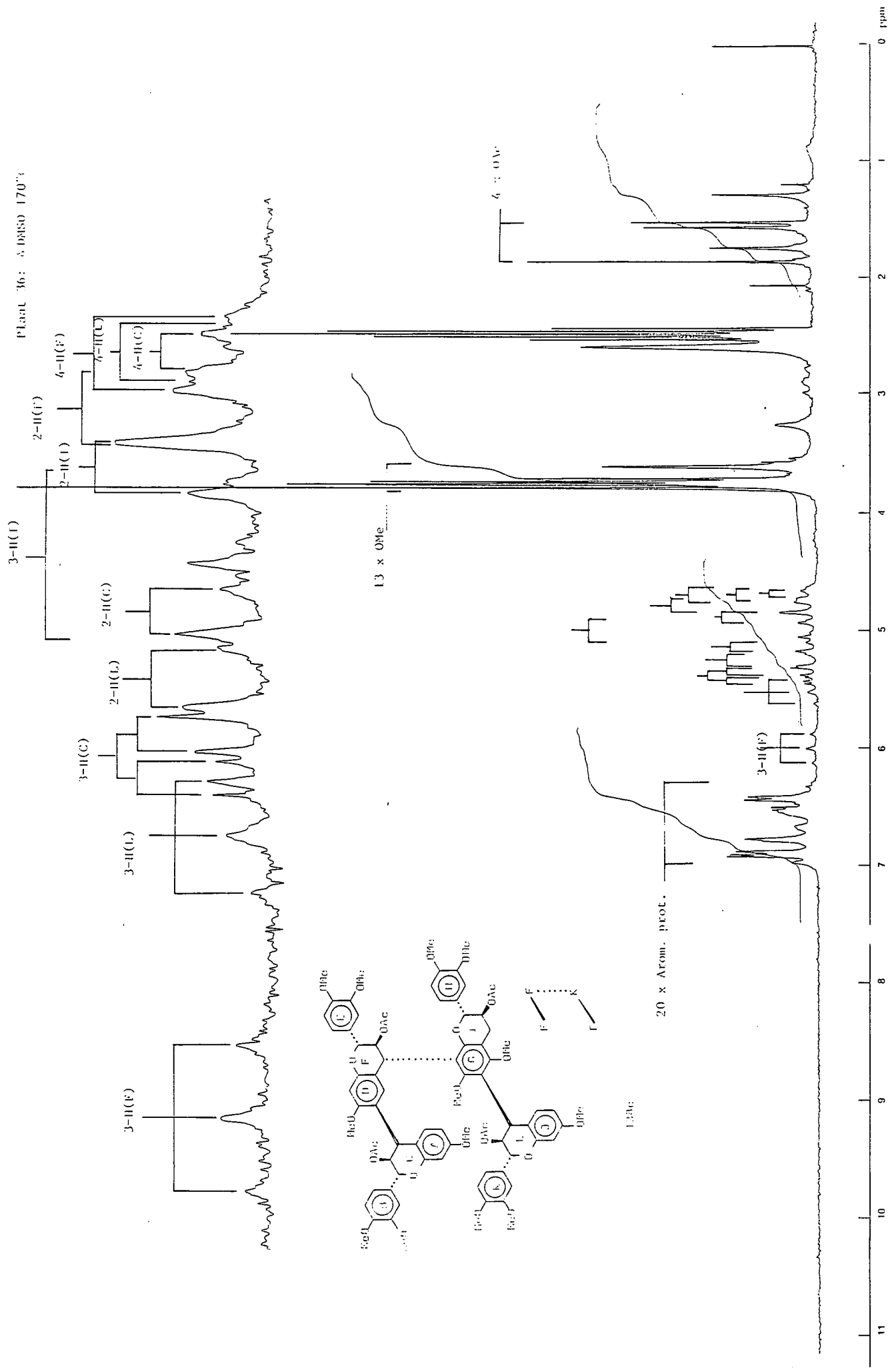
Tabel 18 Chemiese verskuiwings van die [4,6]-bi-(-)-fisetinidolangulêre tetraflavanoïede.

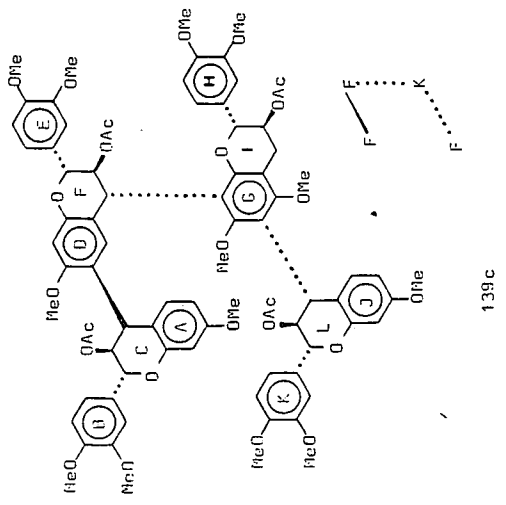
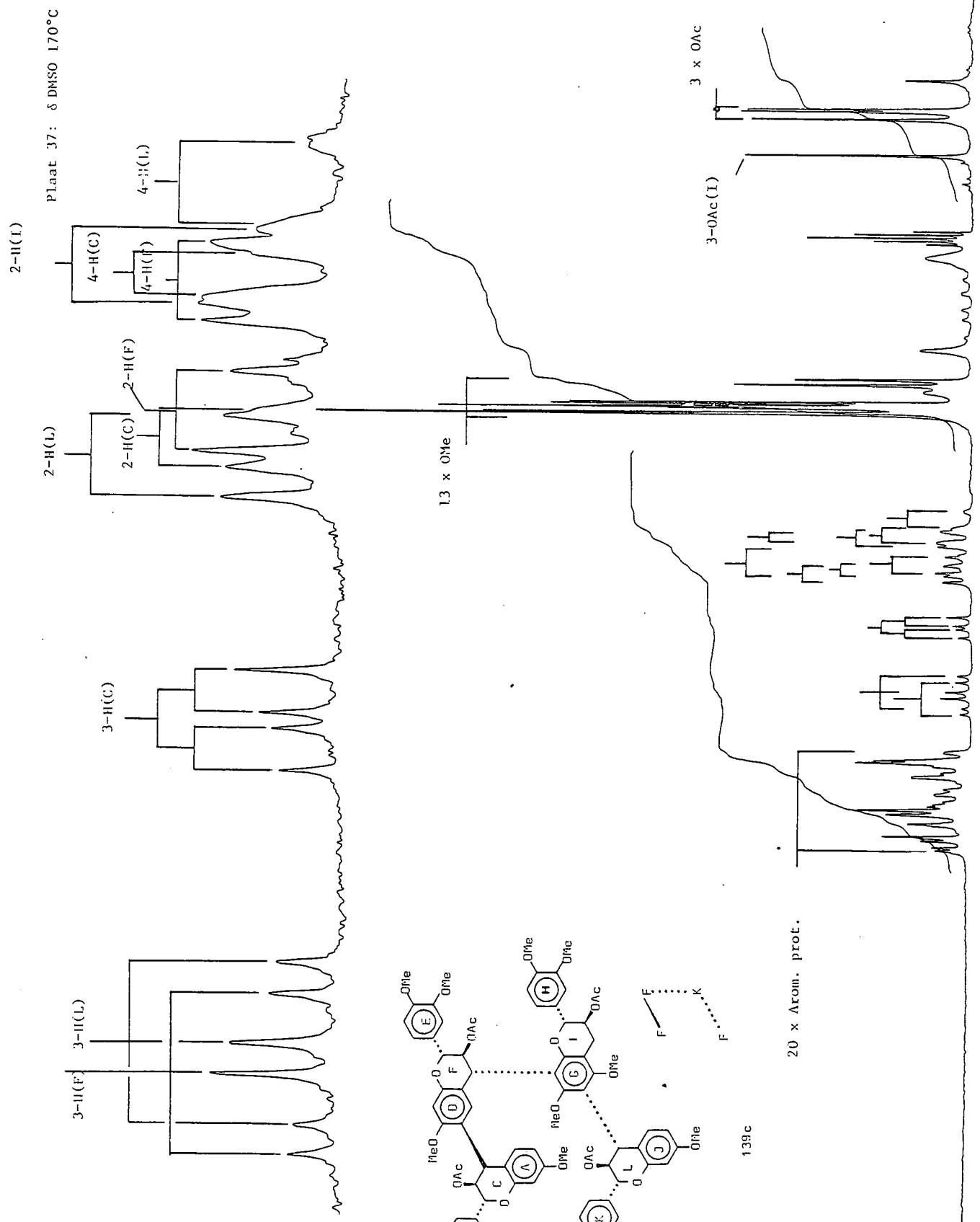
Protone	<u>146c</u>	<u>147c</u>
	Plaat 35	Plaat 34
20xarom prot	7.11-6.15, m	6.17-6.87, m
4-H(C)	4.69, d, J5.0Hz	4.58, d, J4.5Hz
3-H(L)	5.37, dd, J5.0 en 7.0Hz	5.33, dd, J4.5 en 5.75Hz
2-H(L)	5.14d, J7.0Hz	5.06, d, J5.75Hz
4-H(I)	4.72, d, J9.5Hz	4.56, d, J9.5Hz
3-H(I)	5.97, tr $\Sigma$ J19.0Hz	5.17, tr, $\Sigma$ J19.0Hz
2-H(I)	5.01, d, J9.5Hz	4.68, d, J9.5Hz
4-H(aks en $\epsilon_k^F$ )	2.84, m	2.90, m
3-H(F)	5.13,m	4.91, m
2-H(F)	4.25, d, J8.5Hz	5.01, d, J5.5Hz
4-H(C)	4.69, d, J6.75Hz	4.66, verb. d, J9.5Hz
3-H(C)	5.49, d, J13.5Hz	5.81, tr, $\Sigma$ J19.0Hz
2-H(C)	5.11, d, J6.75Hz	4.68, d, J9.5Hz
13xOMe	3.78-3.67, s	3.64-3.77, s
4xOAc	1.82, 1.73, 1.62 en 1.58, s.	1.79, 1.69, 1.53 en 1.46, s.

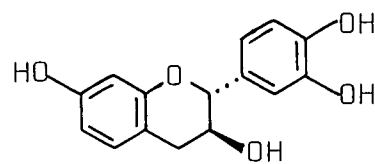


<sup>1</sup>H at 35: δ DMSO 170°C

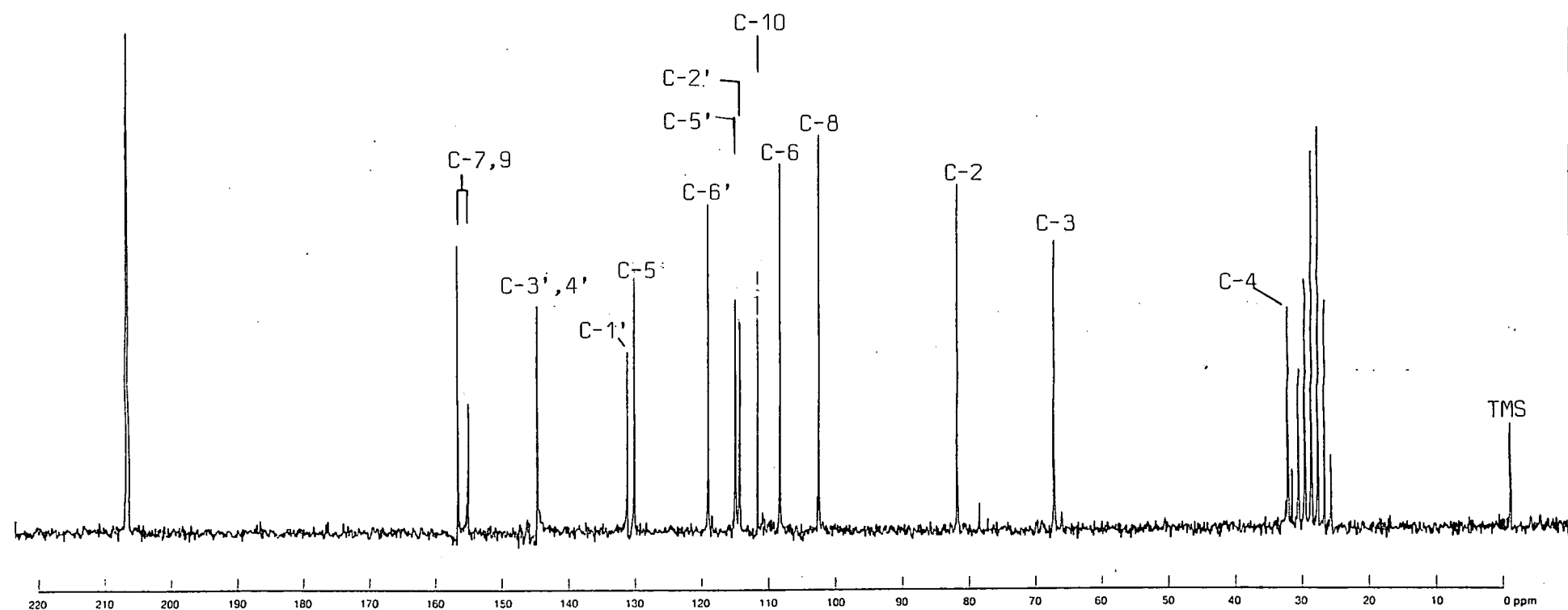


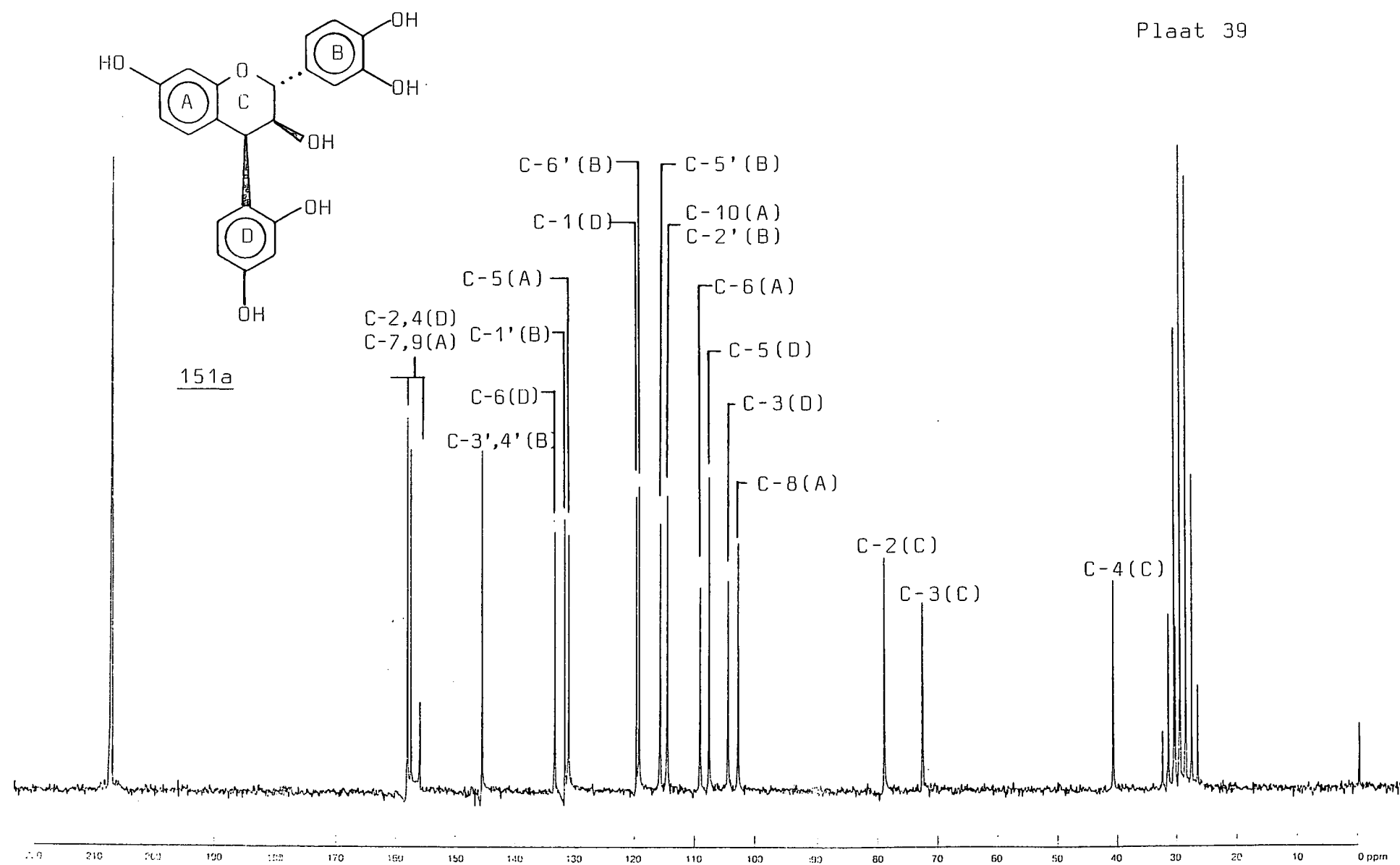




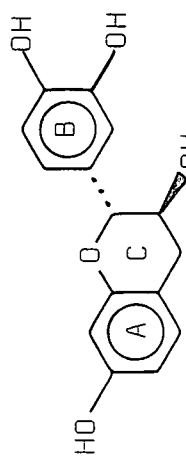


32a





Plaat 40



152a

C-1(D)

C-6'(B)

C-2,4(D)

C-10(A)

C-2',5'(B)

C-5(A),6(D)

C-6(A)

C-3',4'(B)

C-1'(B)

C-3(D)

C-2(D)

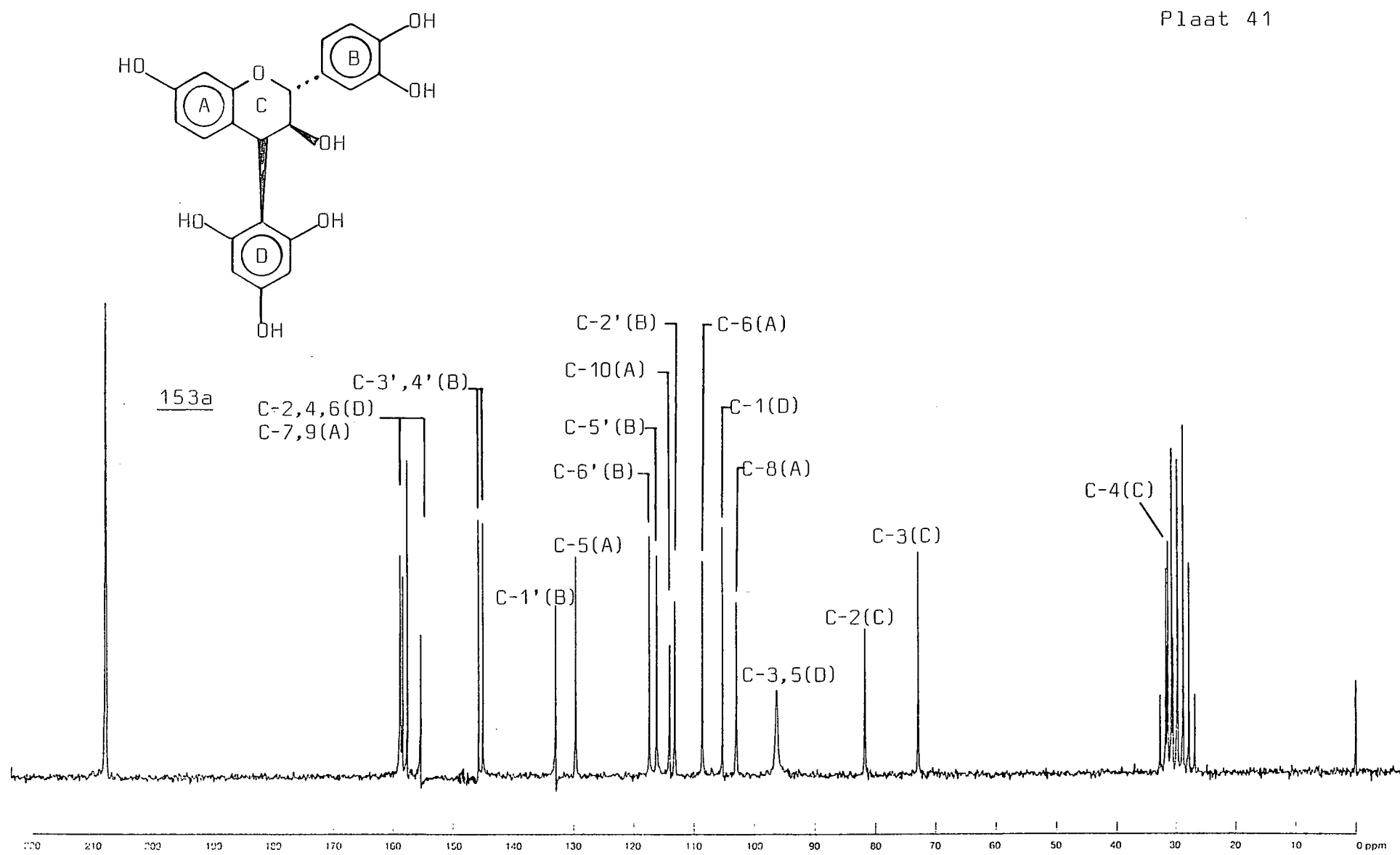
C-3(A)

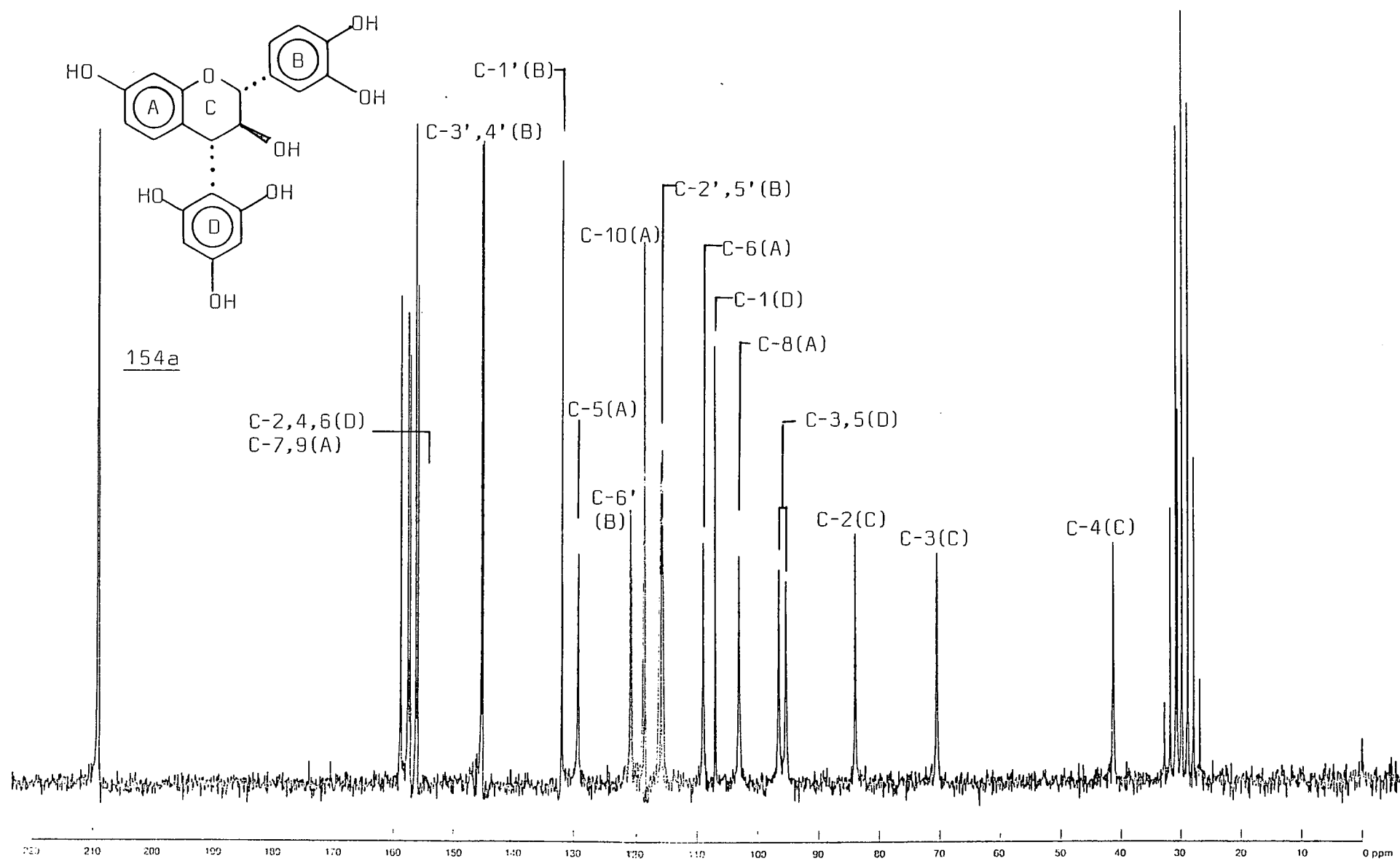
C-8(A)

C-3(C)

C-4(C)



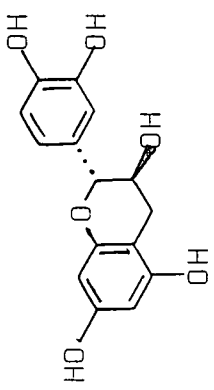




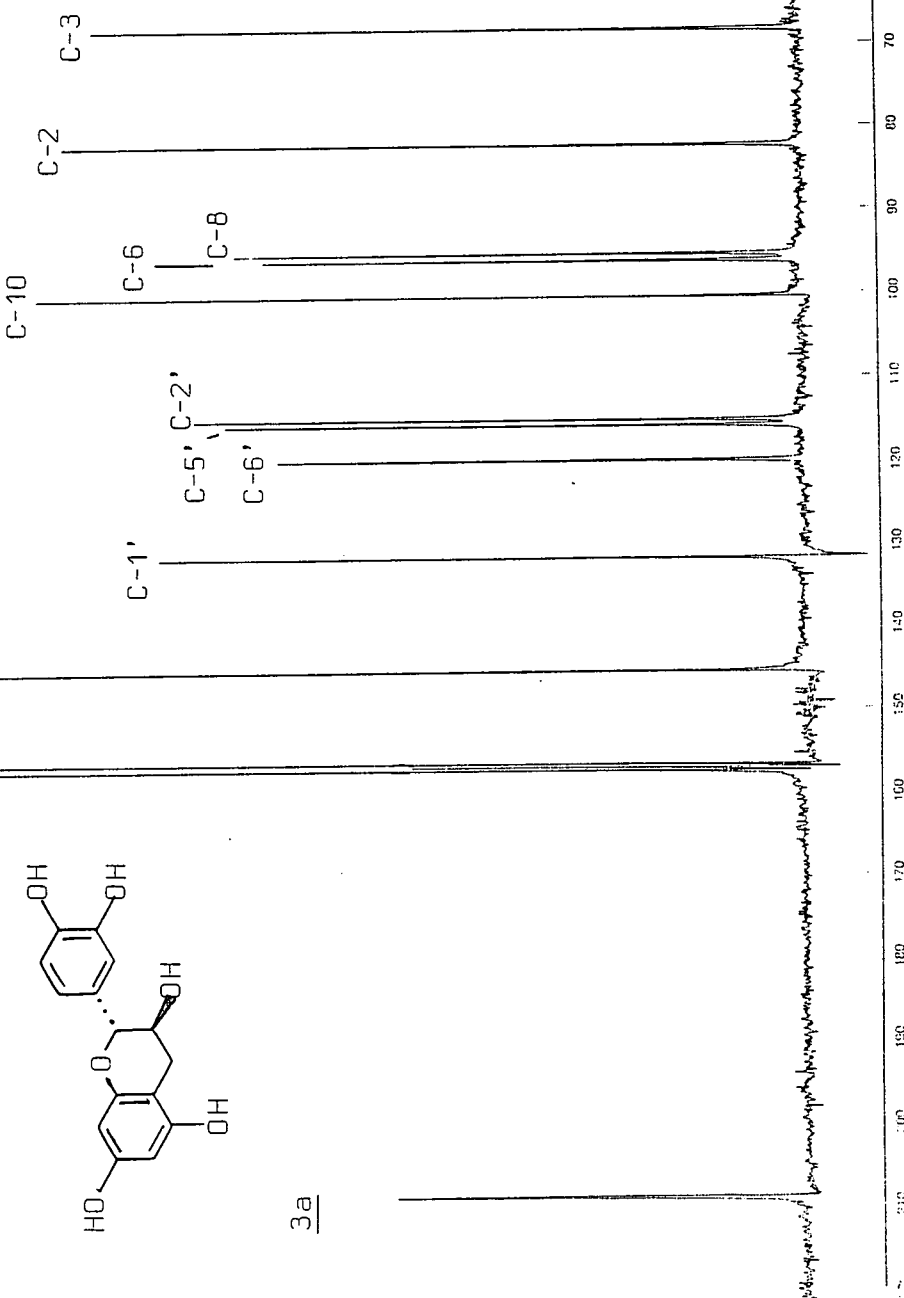
Plaat 43

C-3', 4'

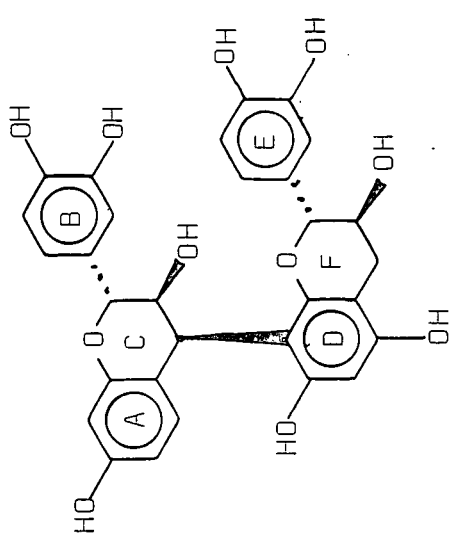
C-5, 7, 9



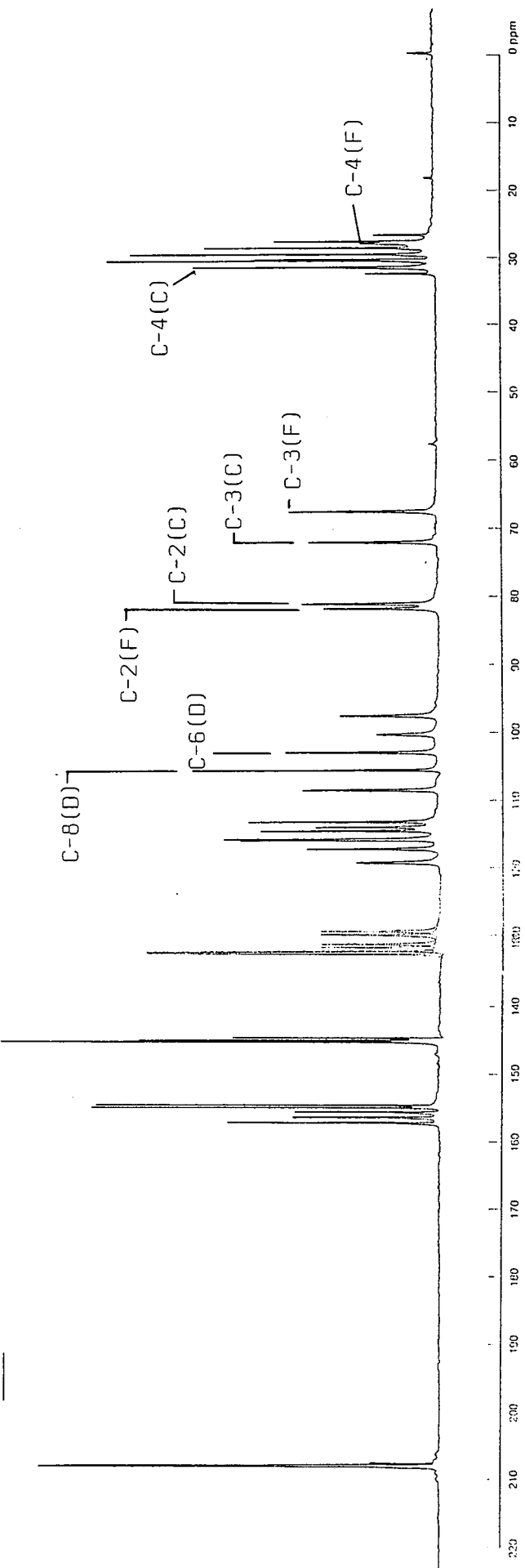
3a

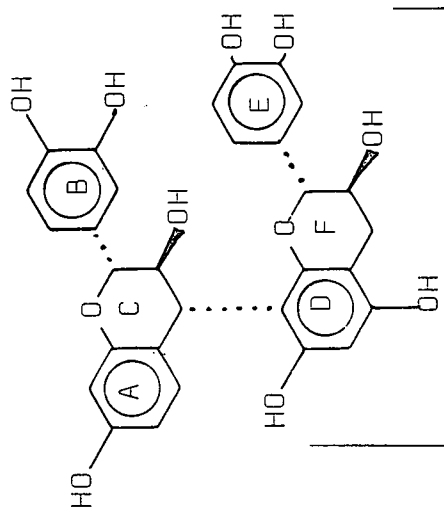


Plaat 44

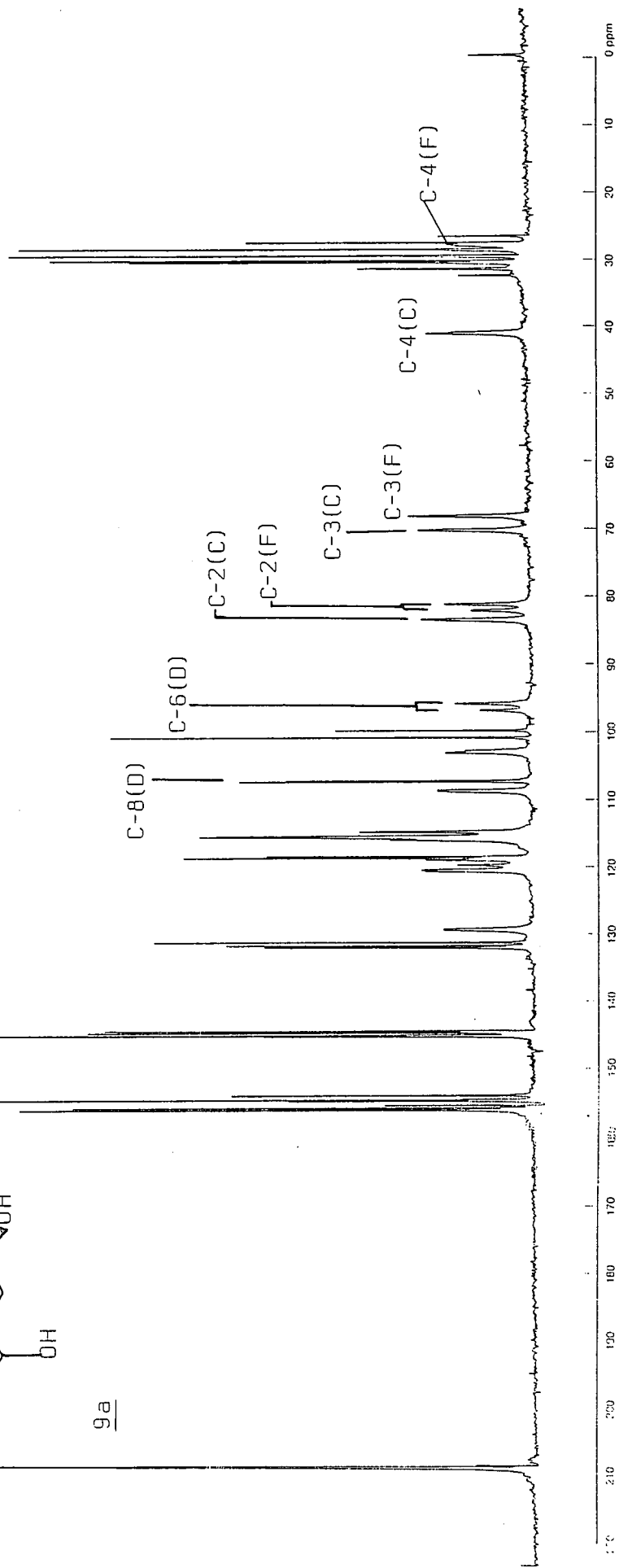


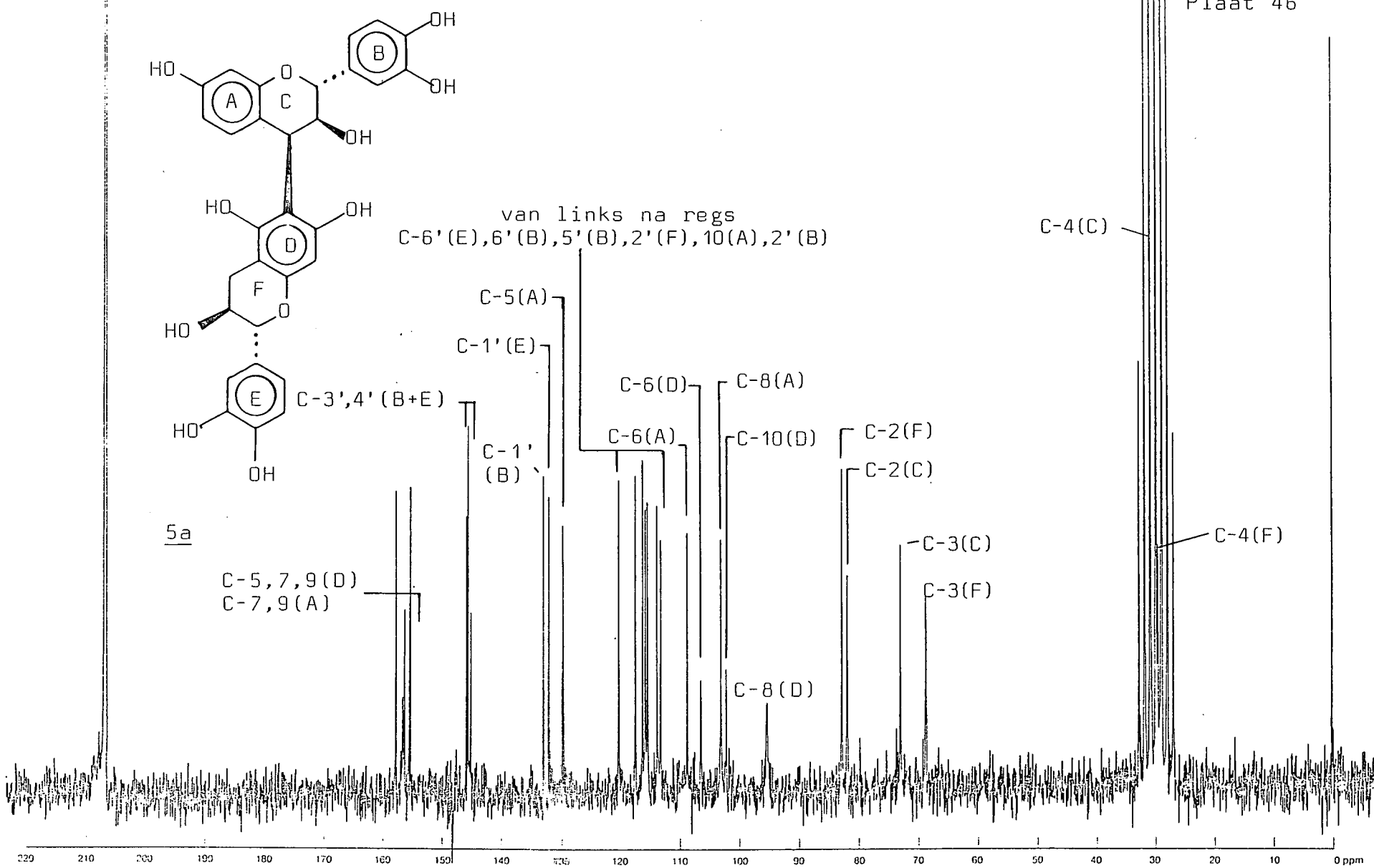
10 c





9a





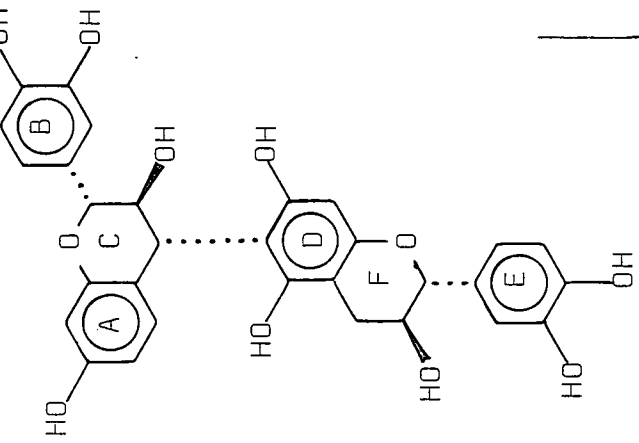
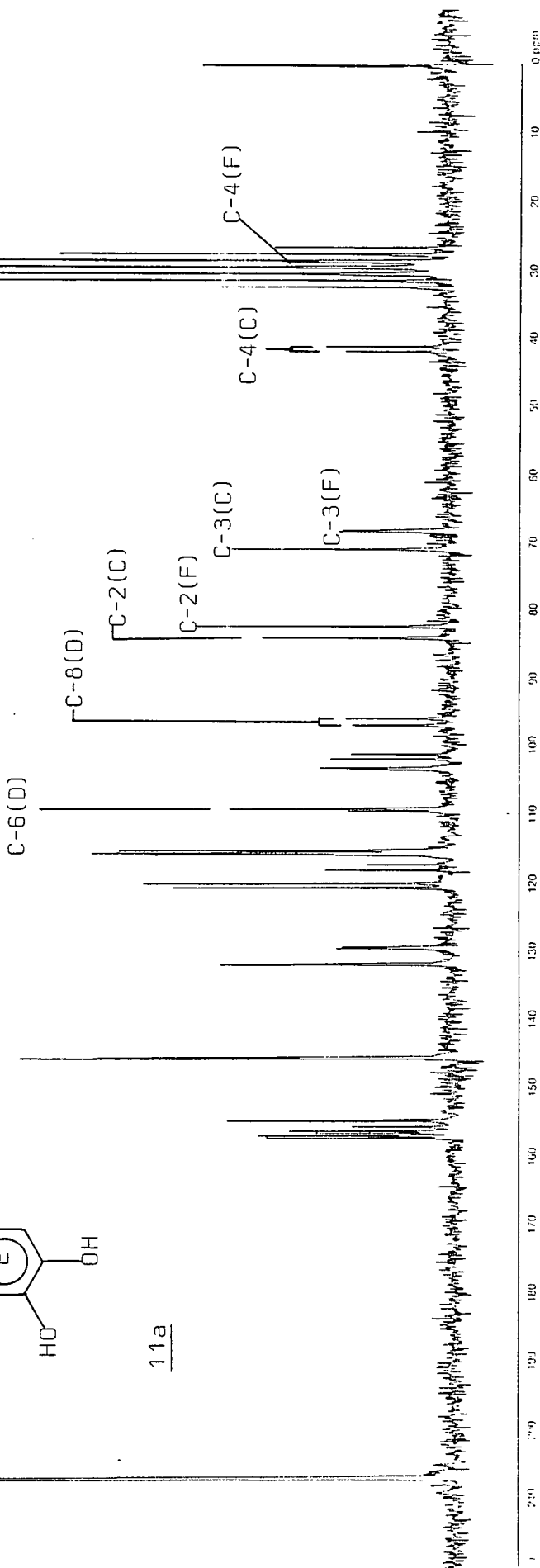
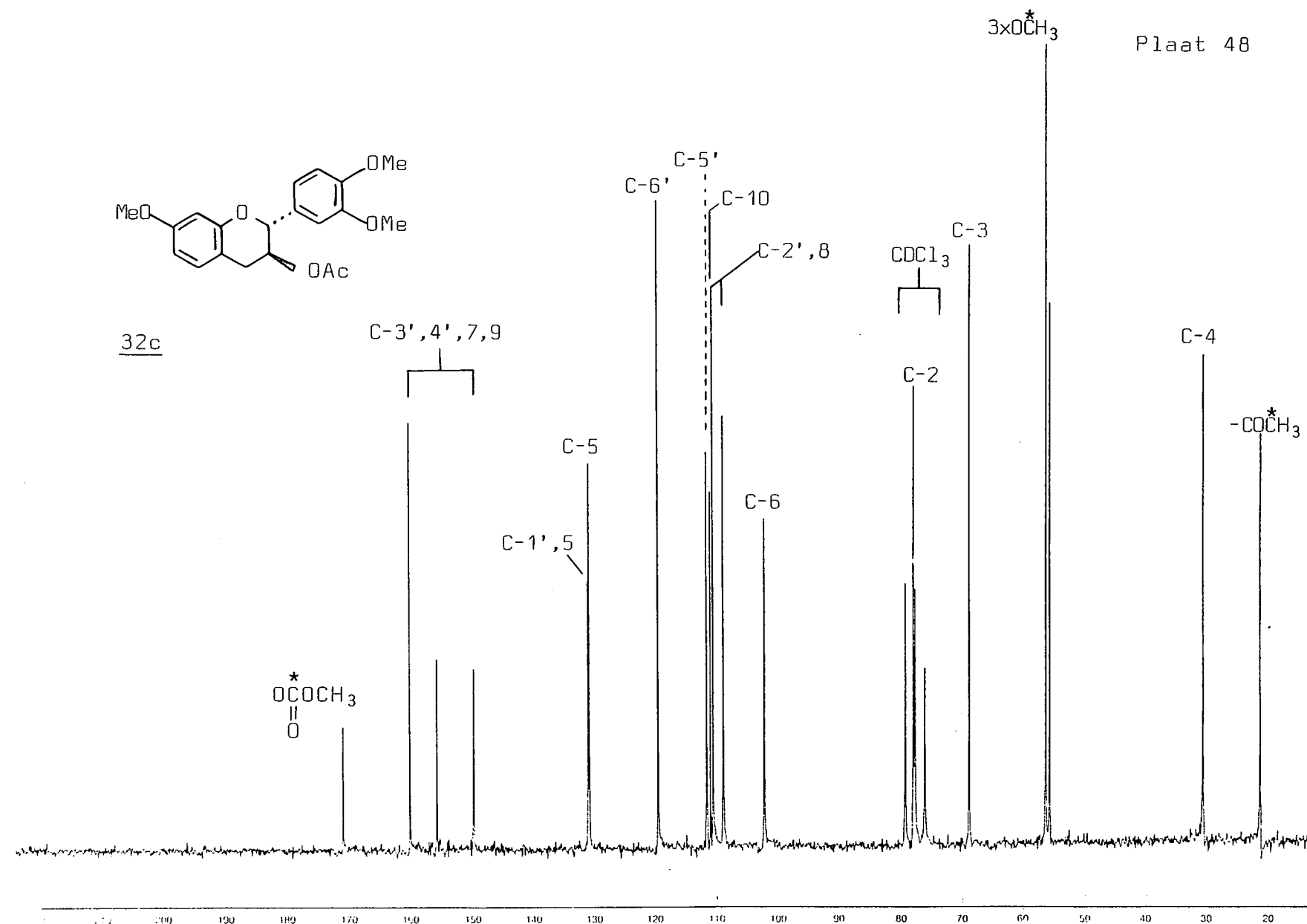
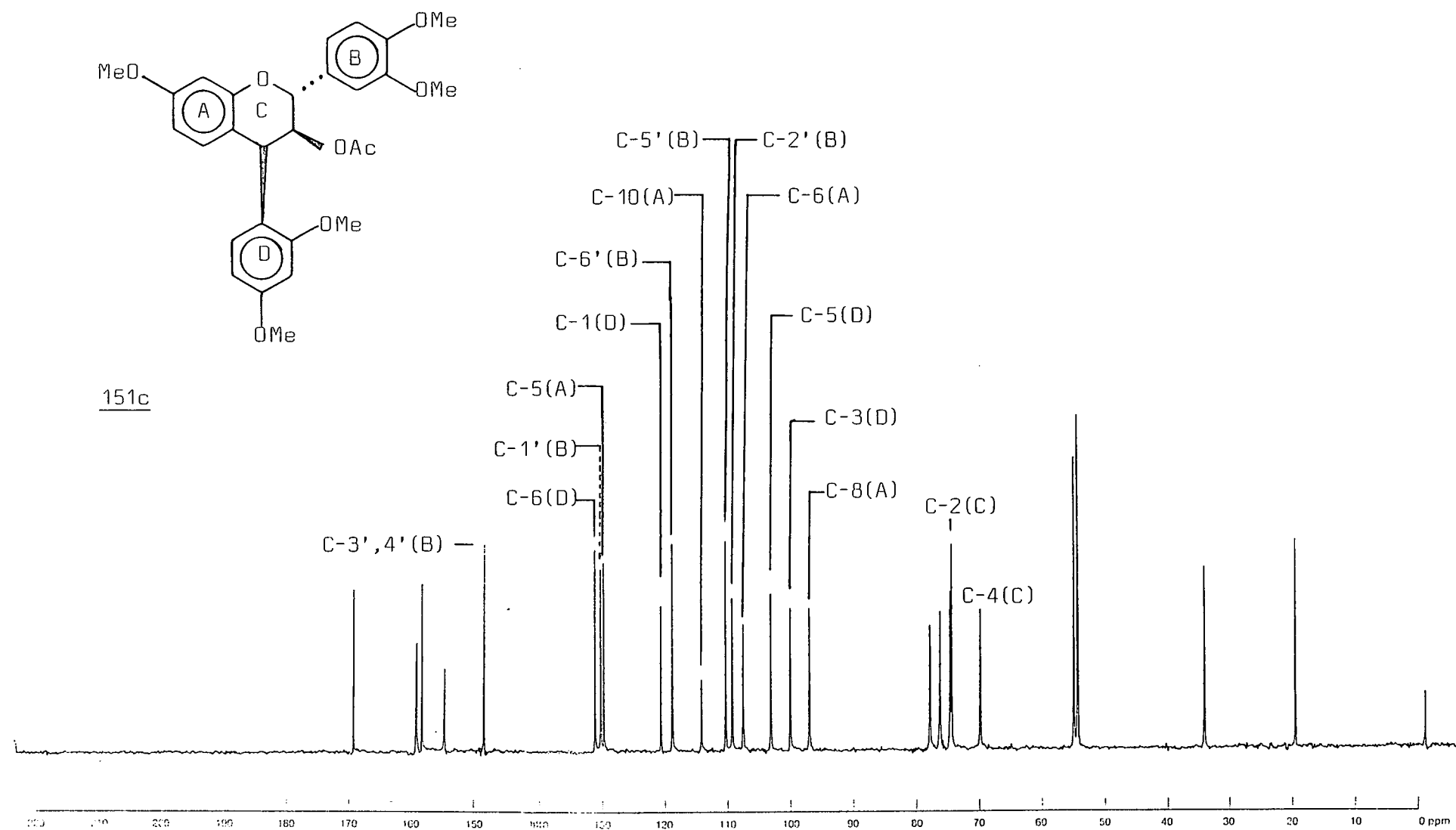


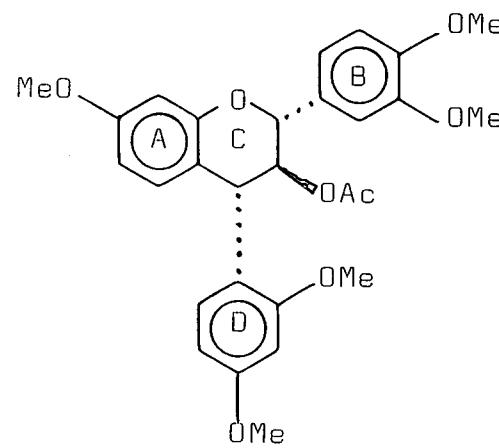
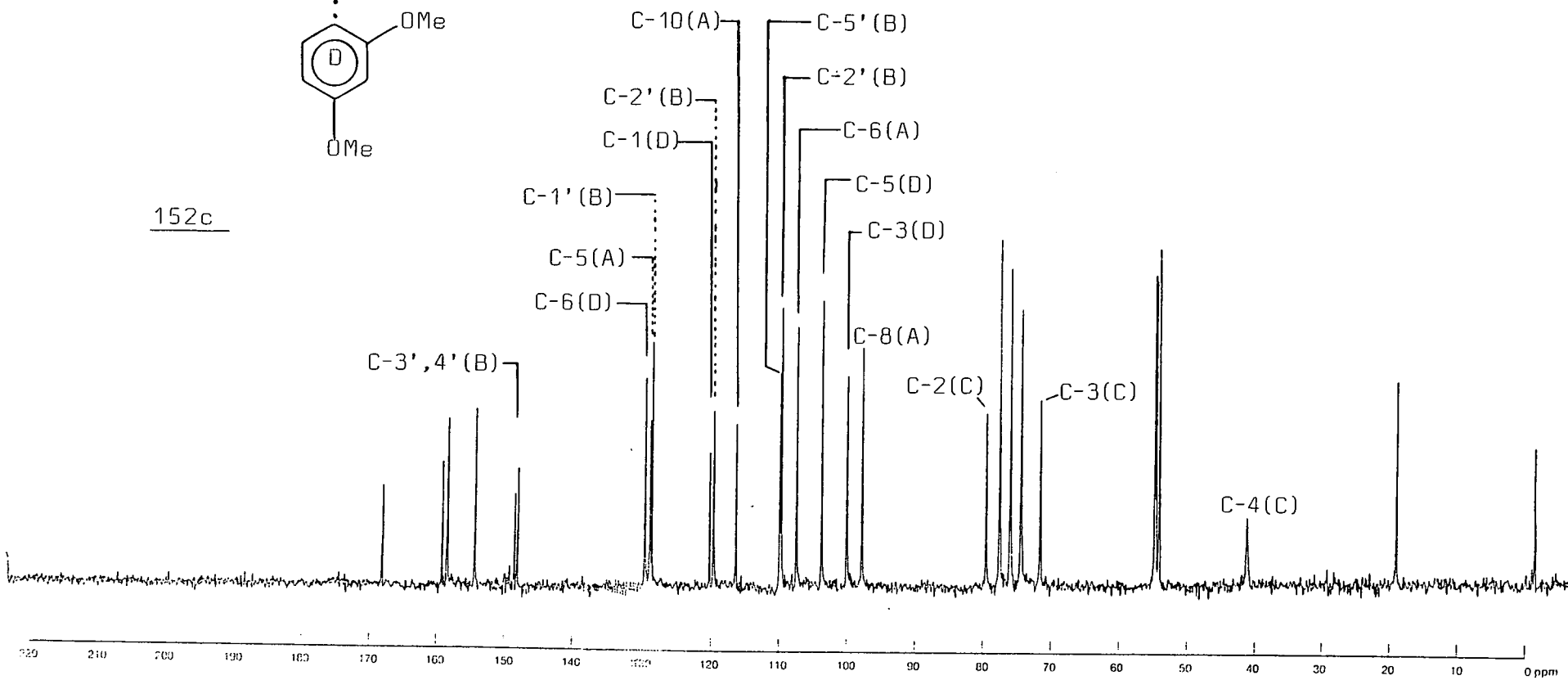
Plate 47

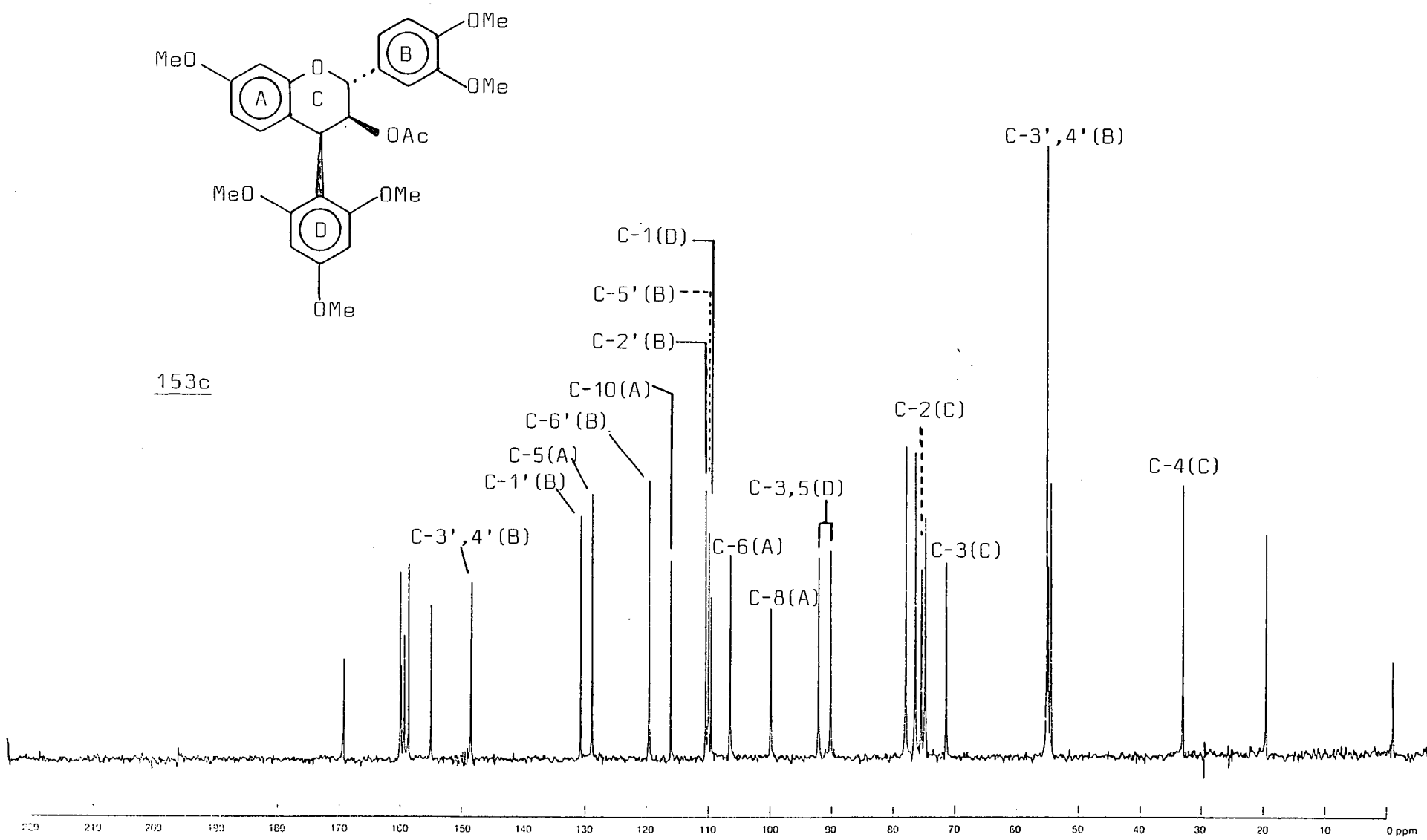


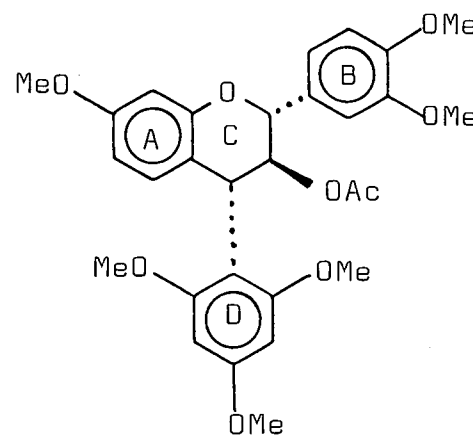
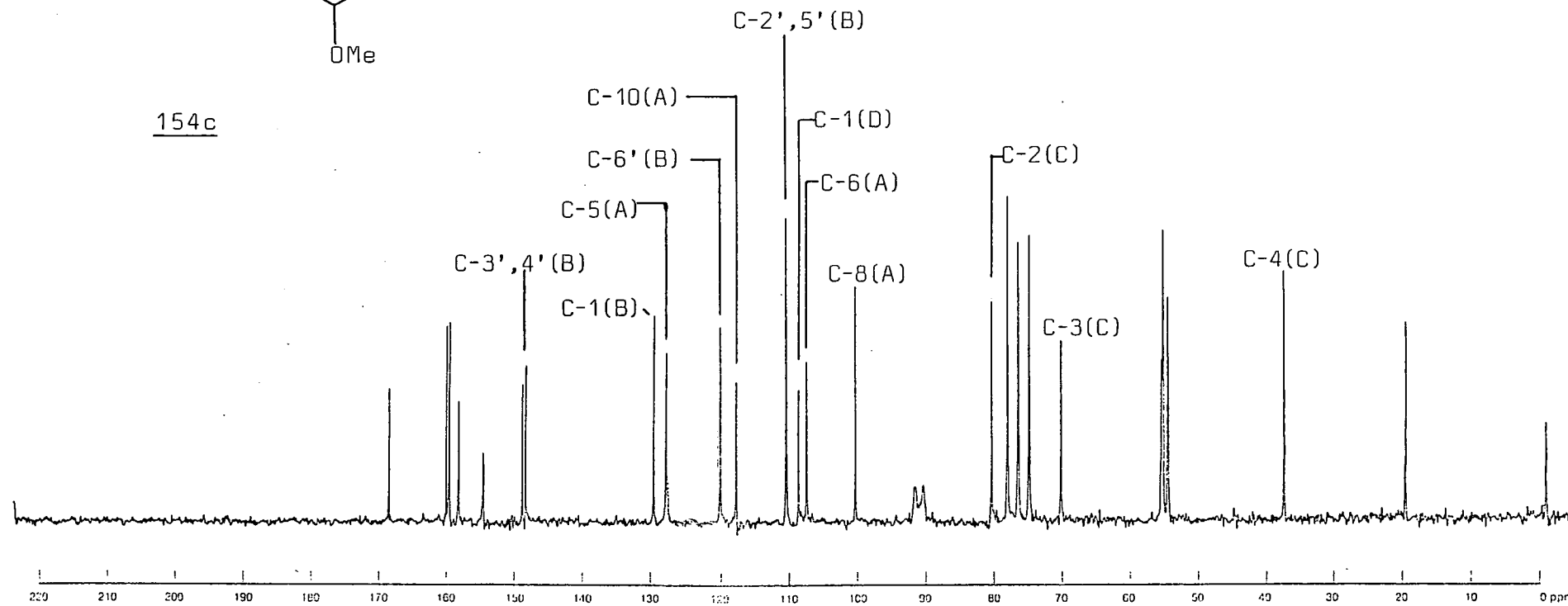
Plaat 48

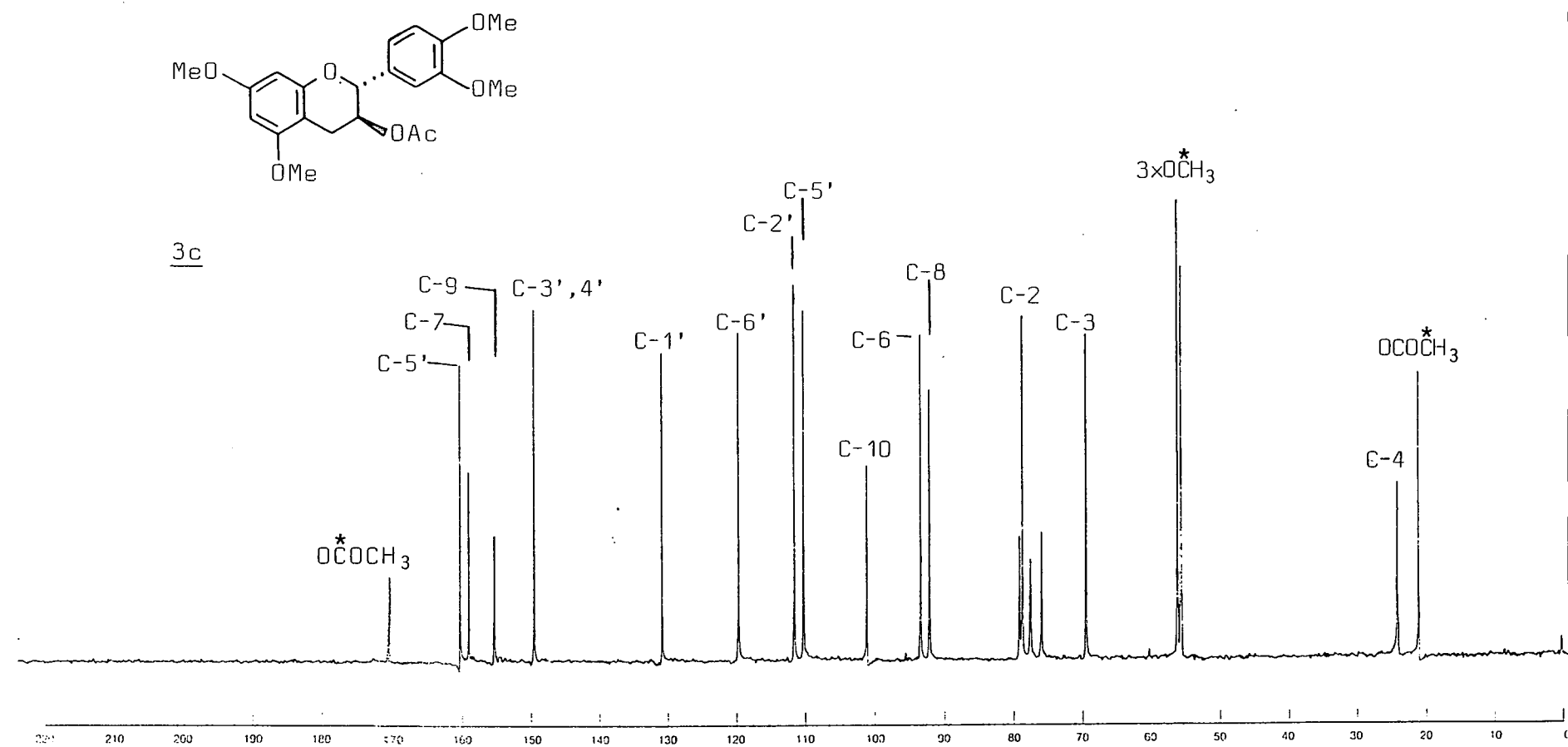


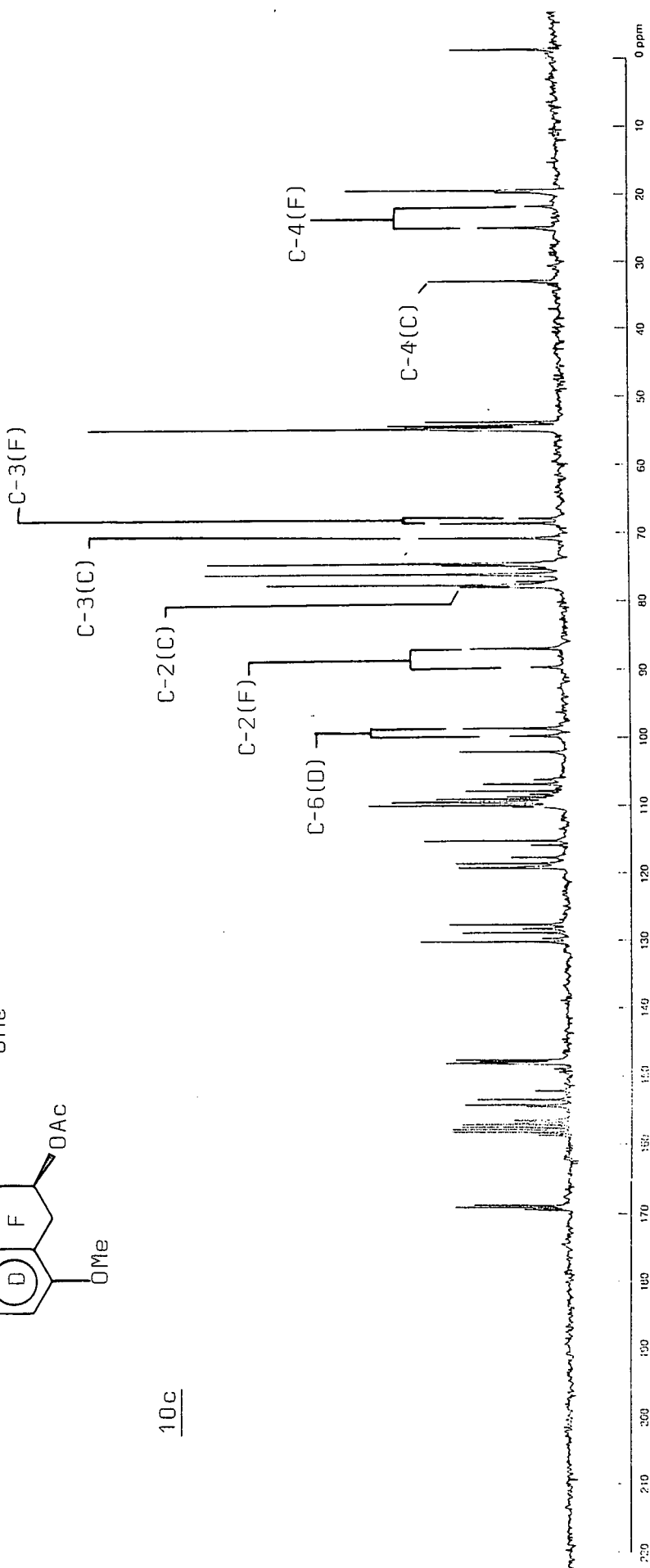
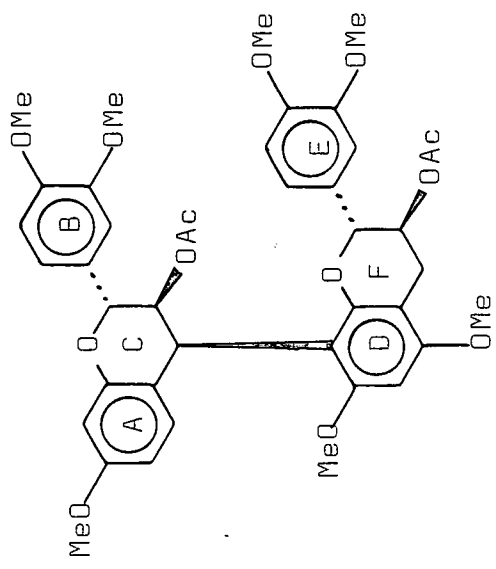


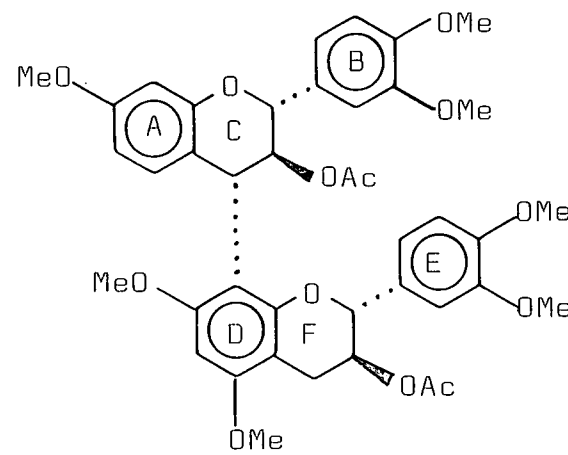
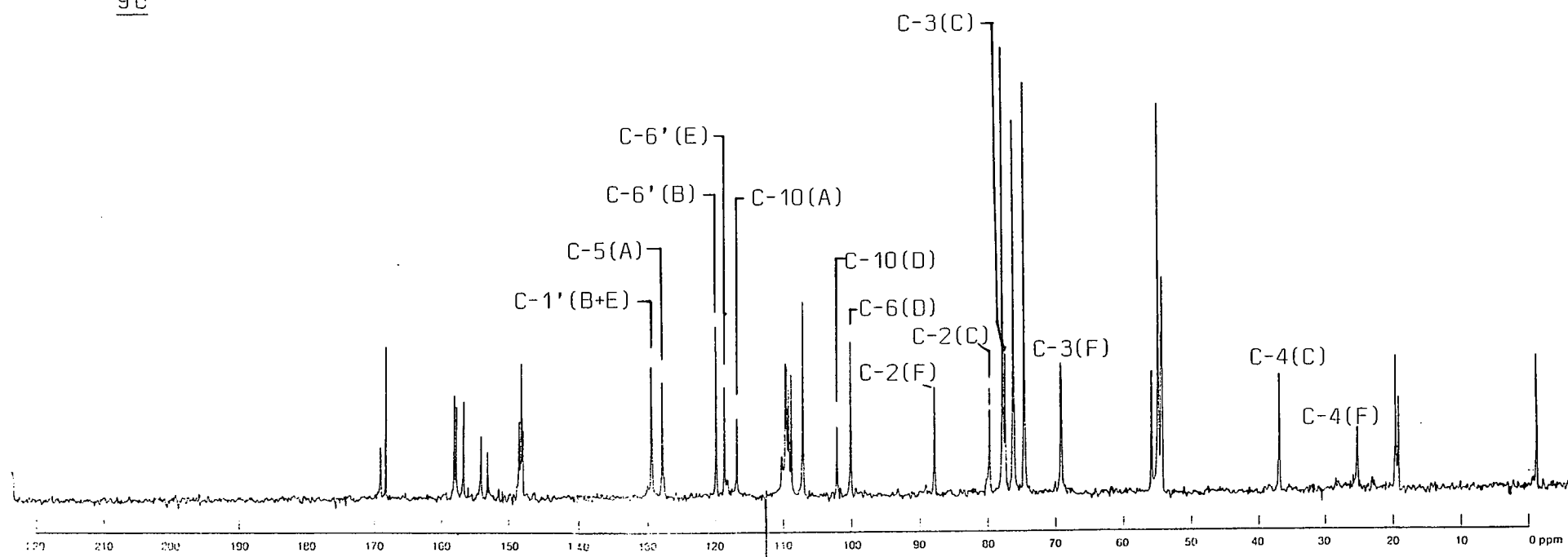
152c

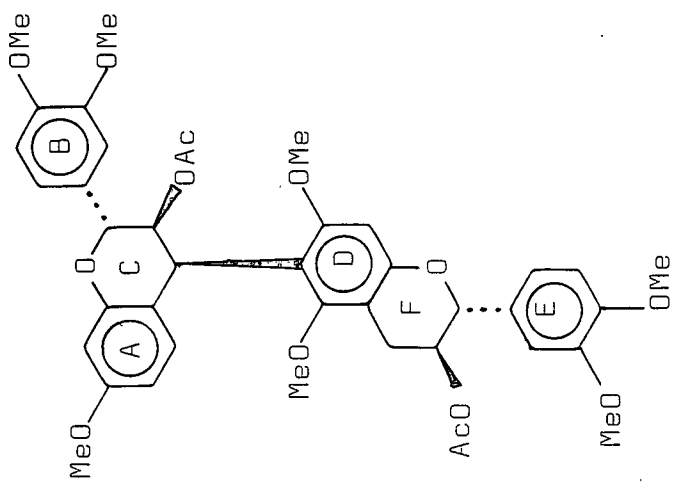


154c





9c



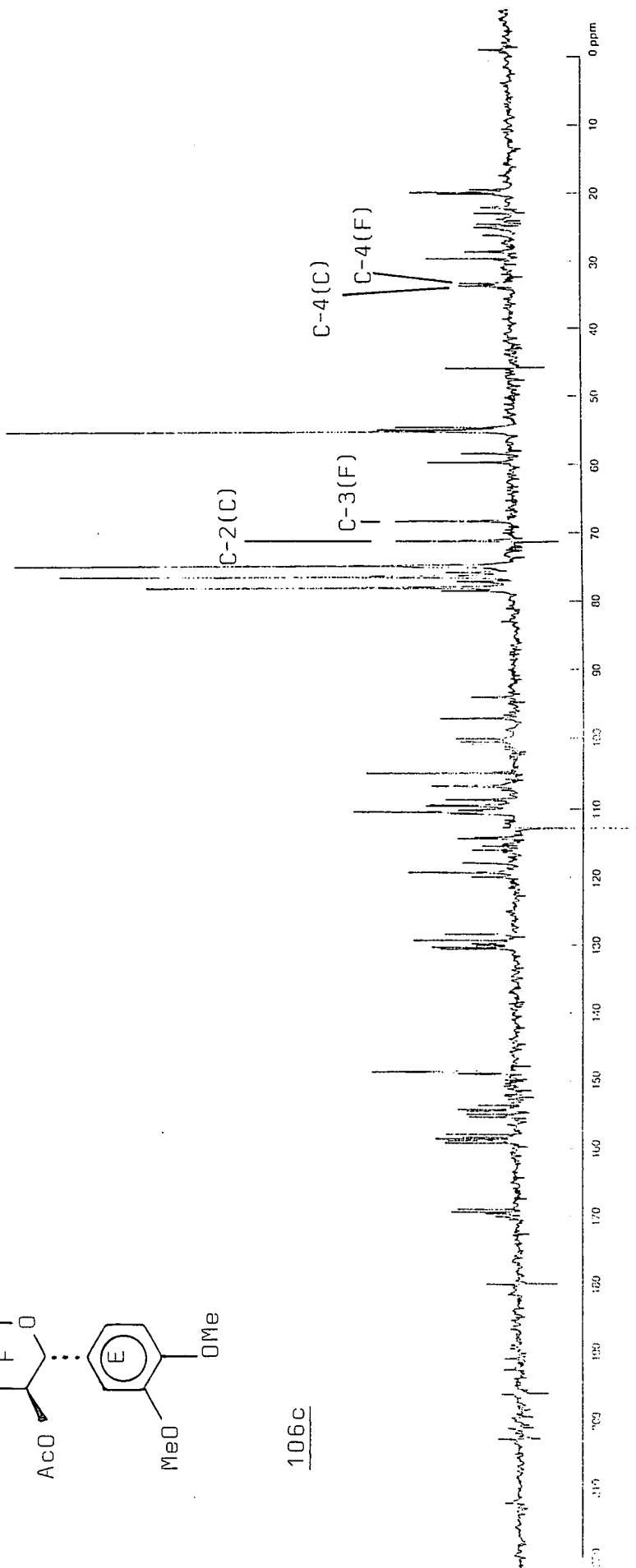
C-3(C)

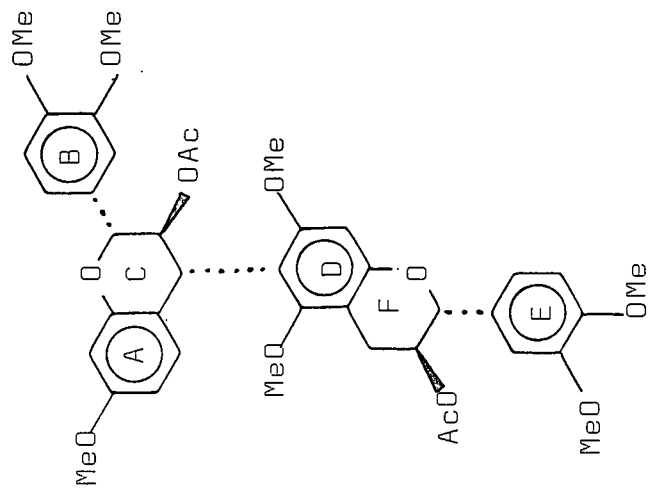
C-2(C)

C-3(F)

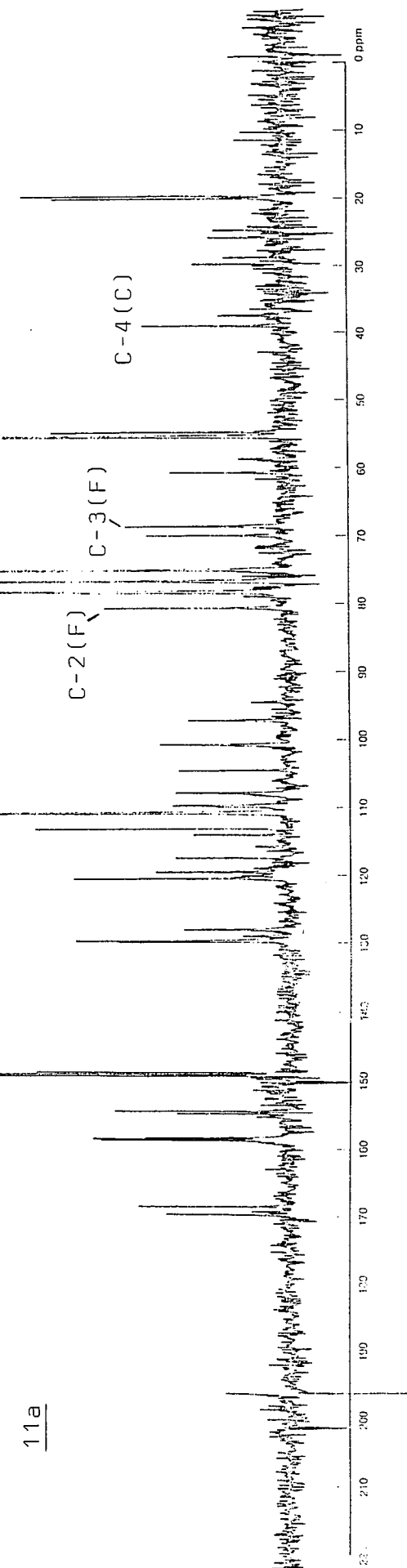
C-4(C)  
C-4(F)

106C

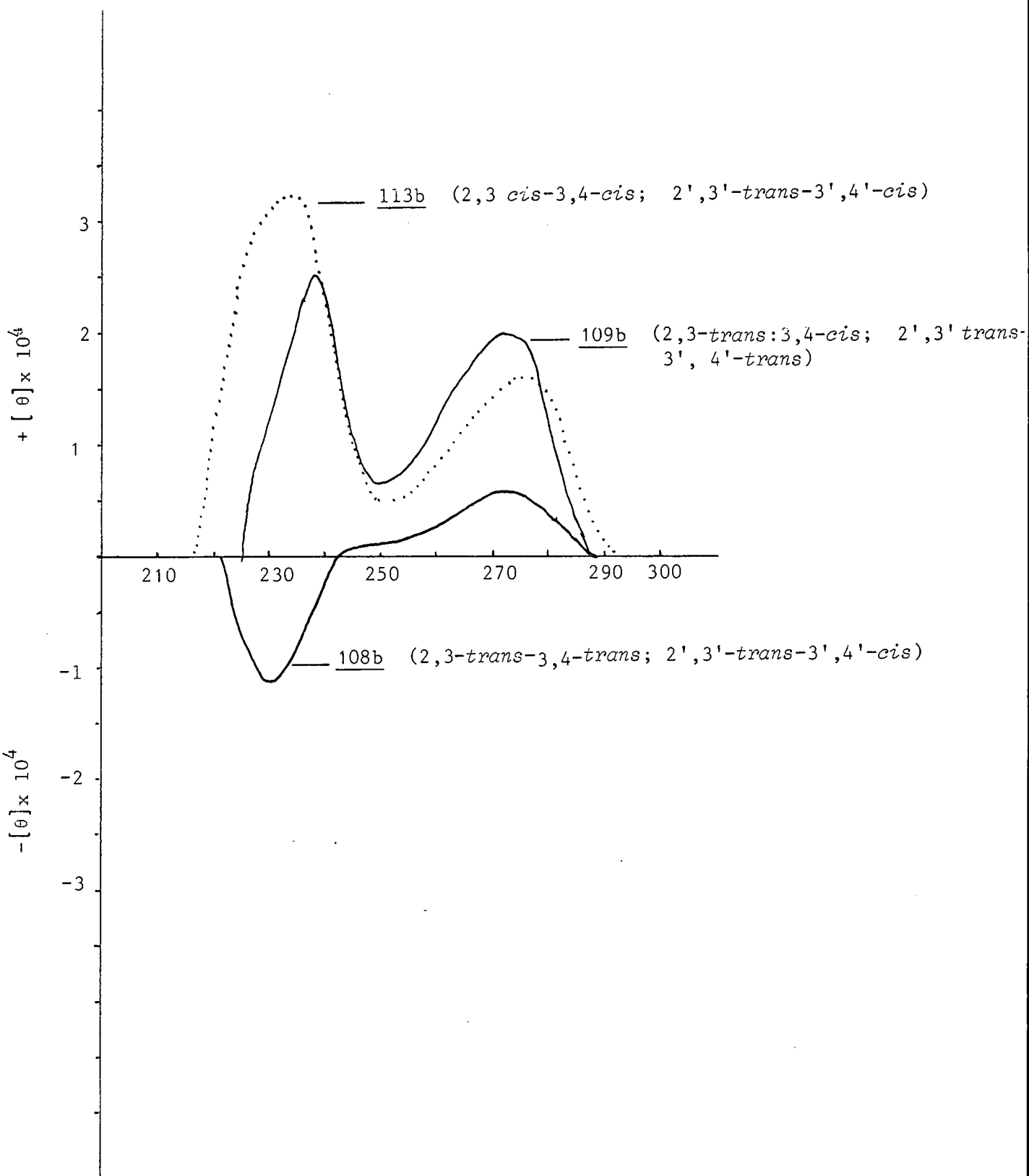




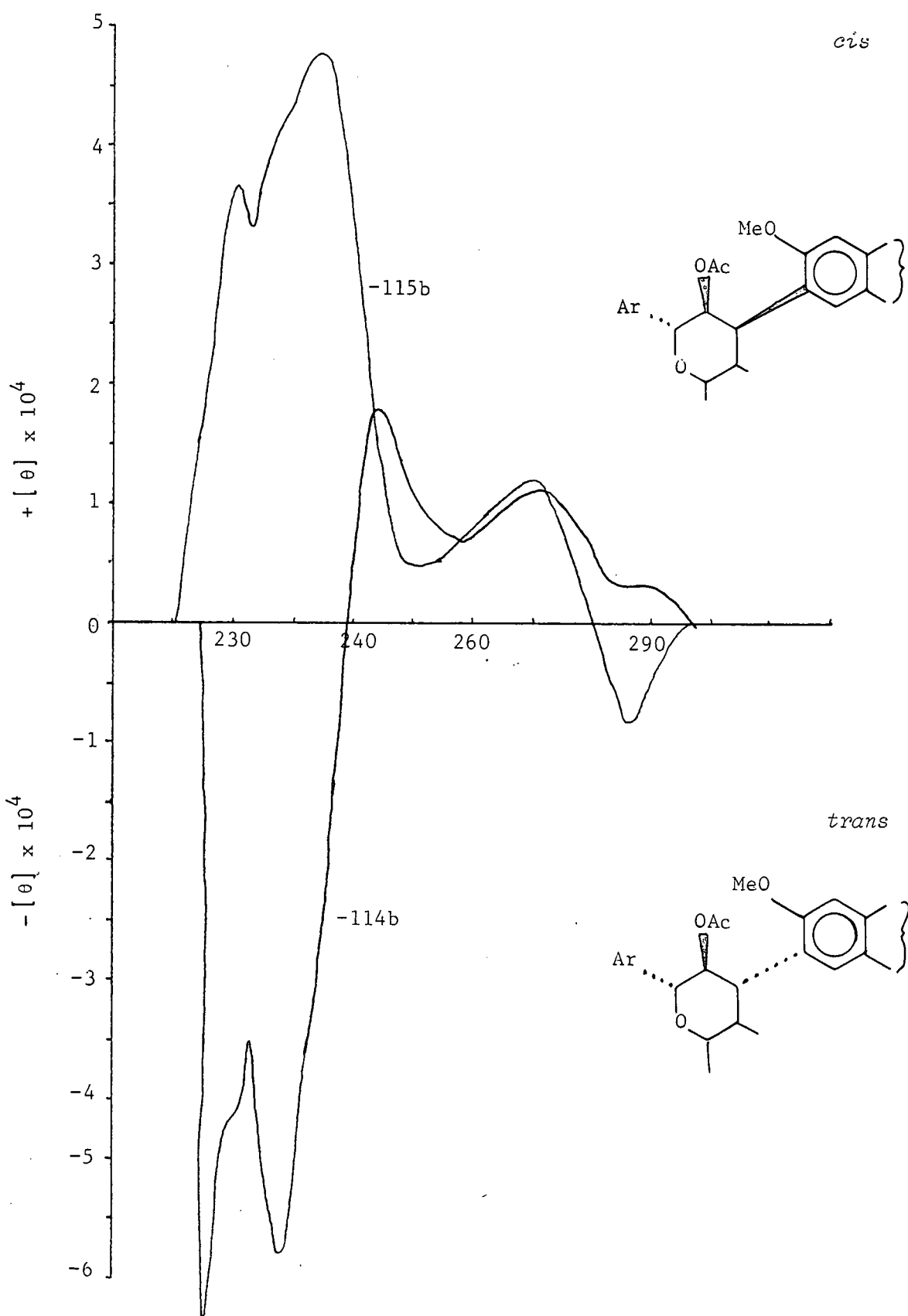
11a



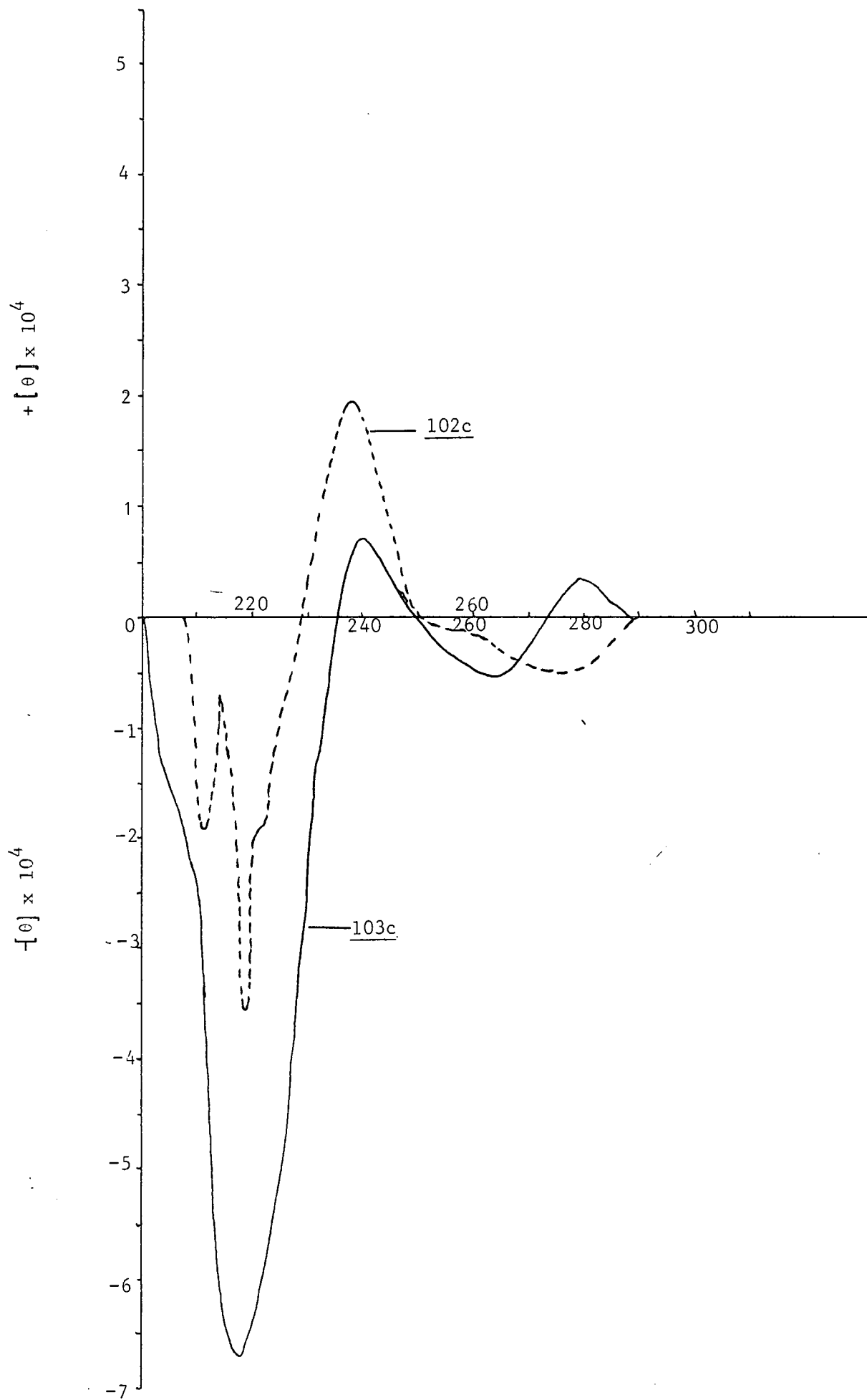
Plaat 58: SD ( $\text{CH}_3\text{CN}$ ) spektra van die dioksaanbiflavanoïede



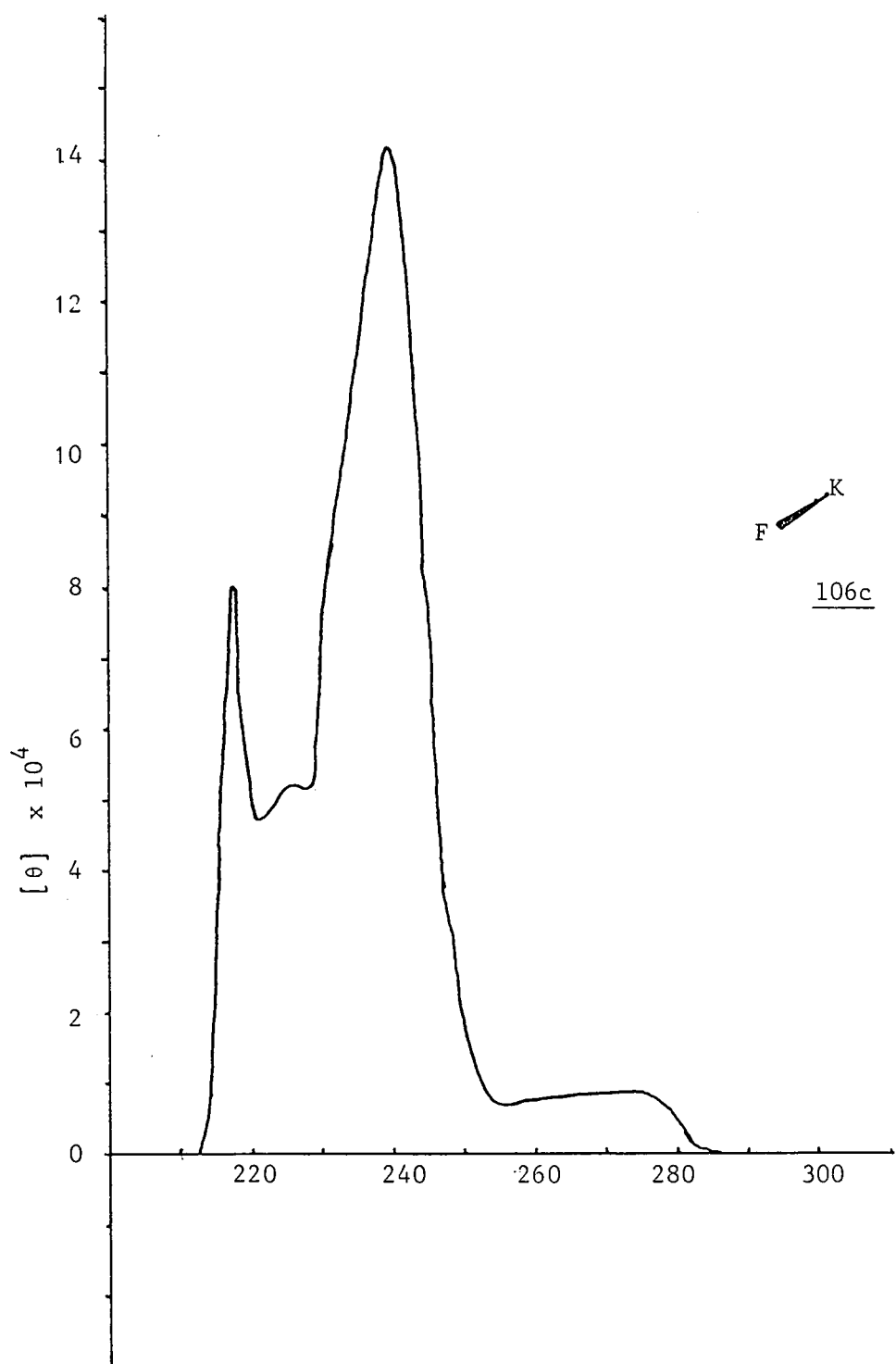
Plaat 59: SD-spektra van 6 Flavanielderivate van dioksaan



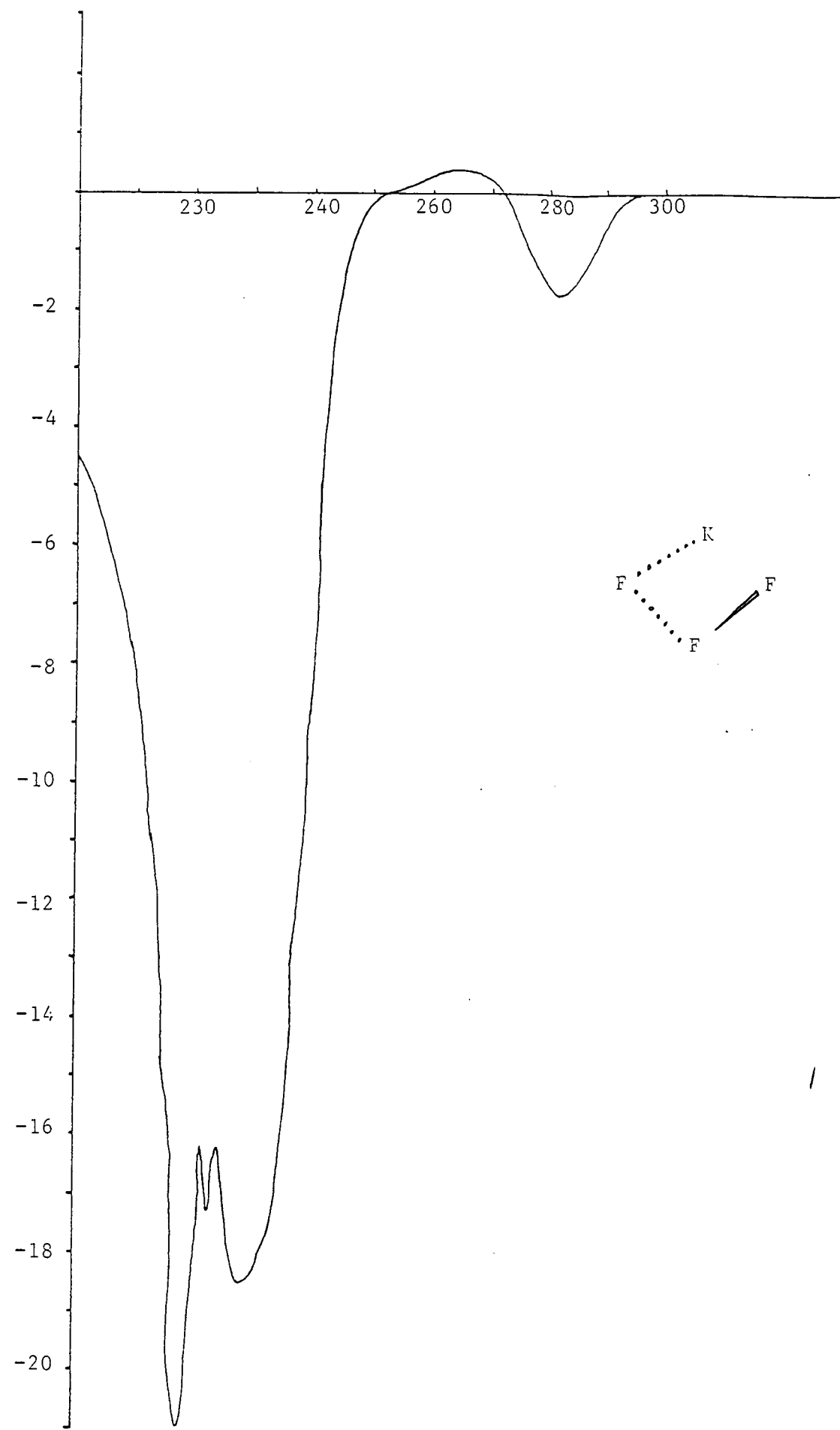
Plaat 60: SD-spektra van die dihidropirano-dihidrochromene



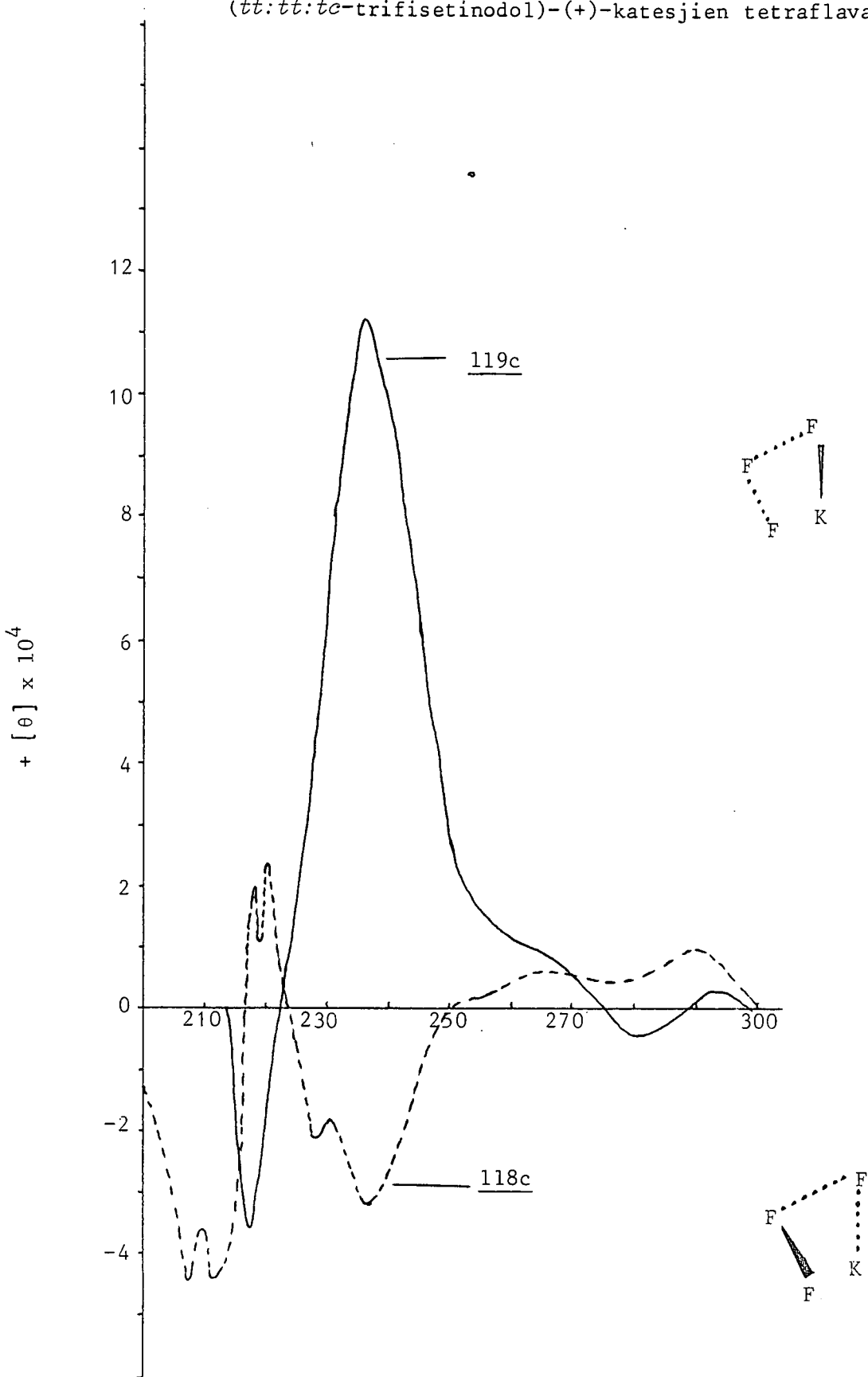
Plaat 61: SD-spektra van [4,6] -3,4-cis-fisetinidol- $\alpha$ -katesjienbiflavanoided



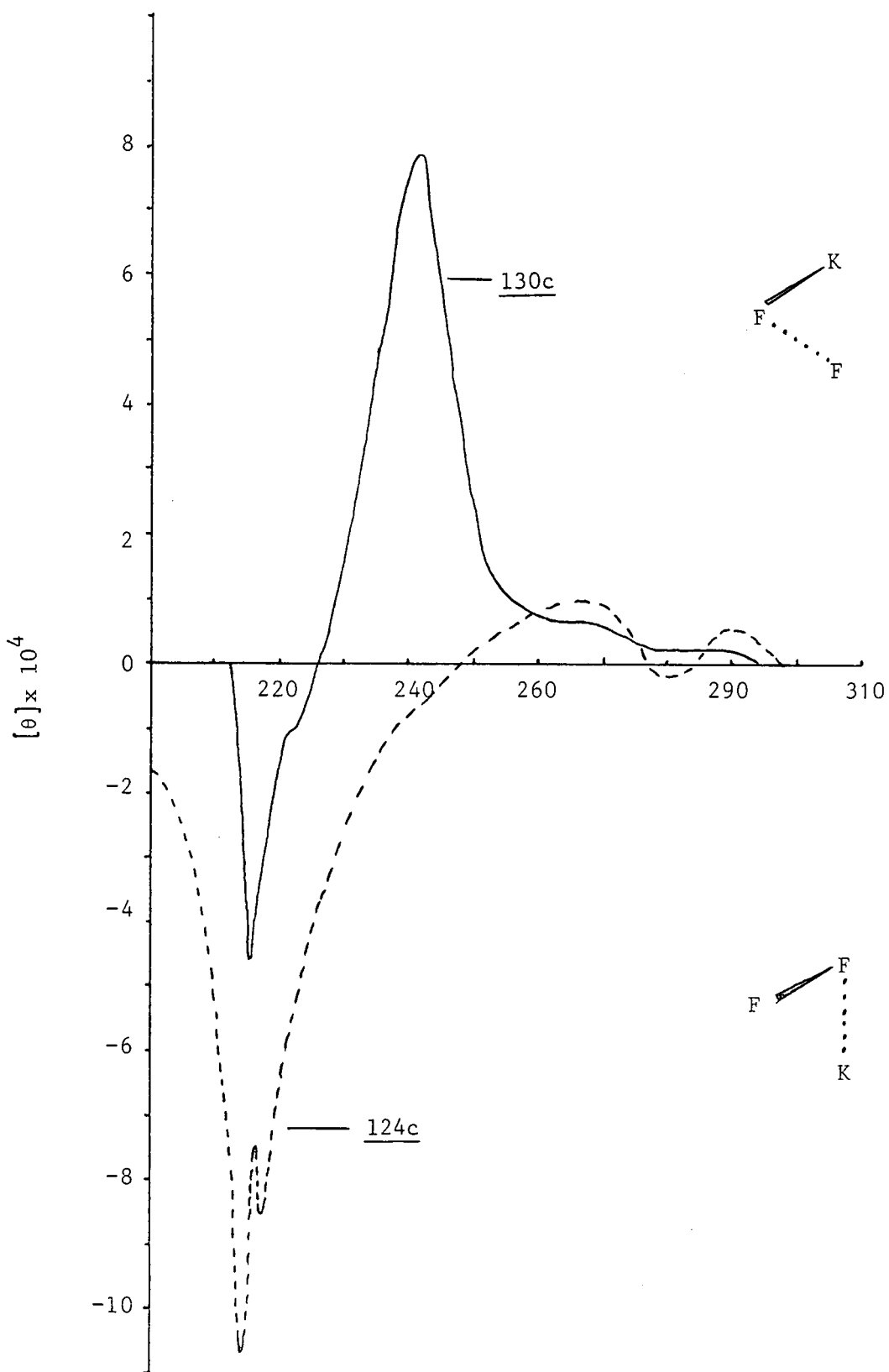
Plaat 62: SD-spektrum van die [4,6]-(*tc:tt:tt*) linêere tetraflavanoïed (117c)



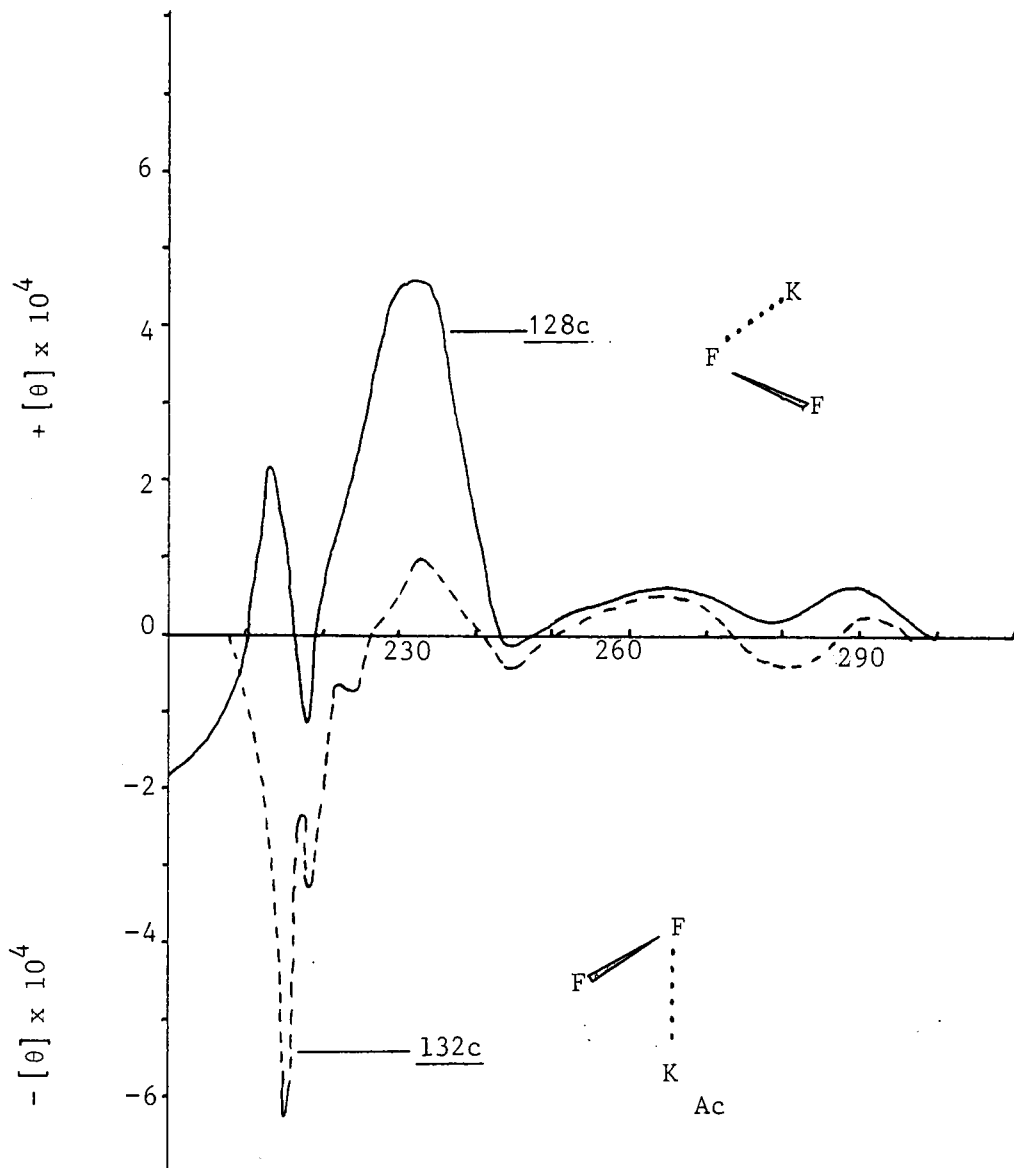
Plaat 63: SD-spektra van [4,8]-(*tc*, *tt*, *tc*-trifisetinodol) en [4,8]-  
(*tt:tt:tc*-trifisetinodol)-(+)-katesjien tetraflavanoïede 118c en 119c



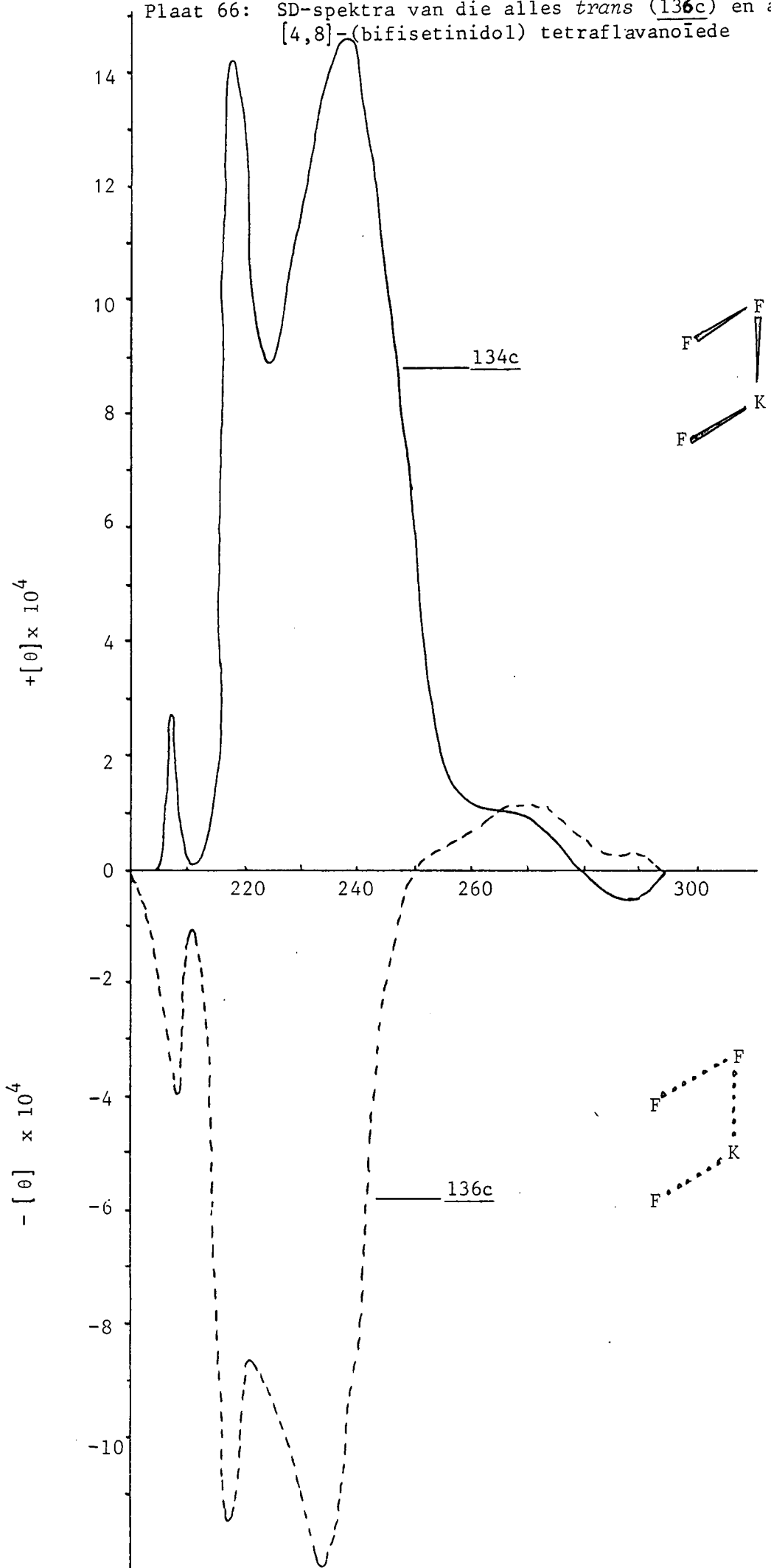
Plaat 64: SD-spektra van die [4,6]-(*tt:tc*-bifisetinidol) (130c) en [4,8]-(*tc:tt*-bifisetinidol) (124c)-(+)-katesjien linêere triflavanoïede



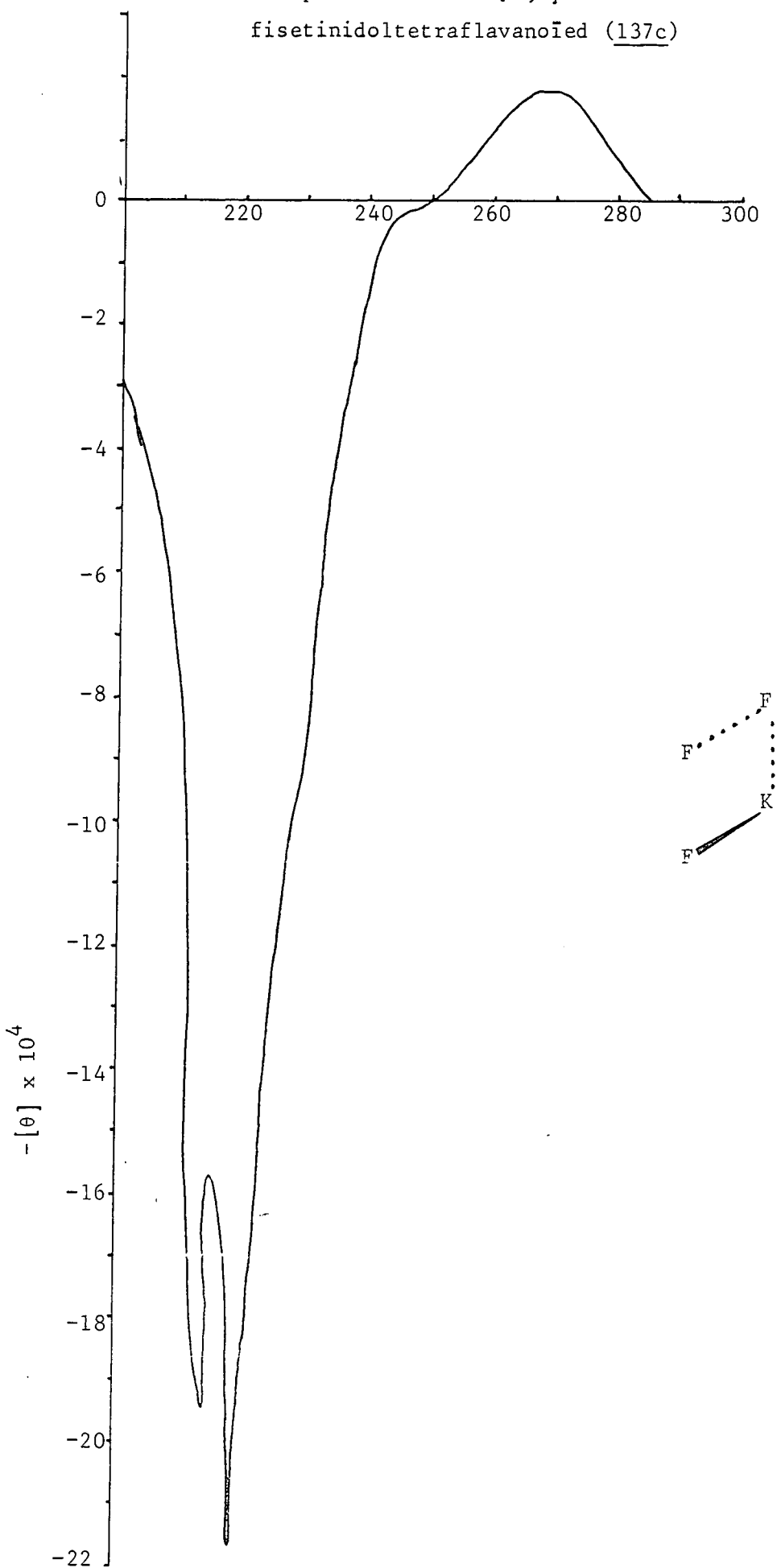
Plaat 65: SD-spektra van die [4,6]-(*tc:tt*-bifisetinidol) (128c) en [4,8]-(*tc:tt* bifisetinidol) (132c)-(\*)-katesjien linêere triflavanoïede



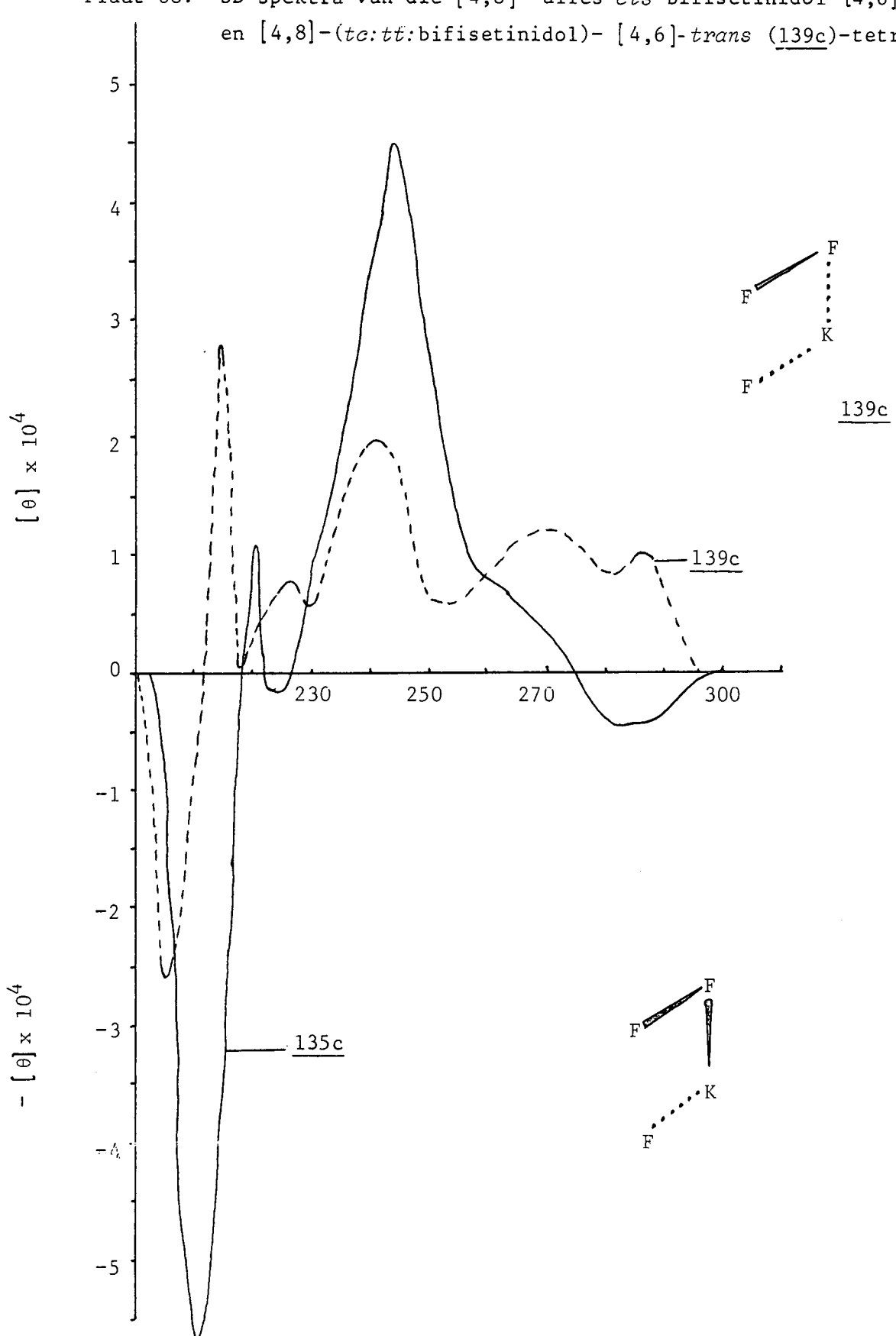
Plaat 66: SD-spektra van die alles *trans* (136c) en alles *cis* (134c)  
[4,8]-(bifisetinidol) tetraflavanoïede



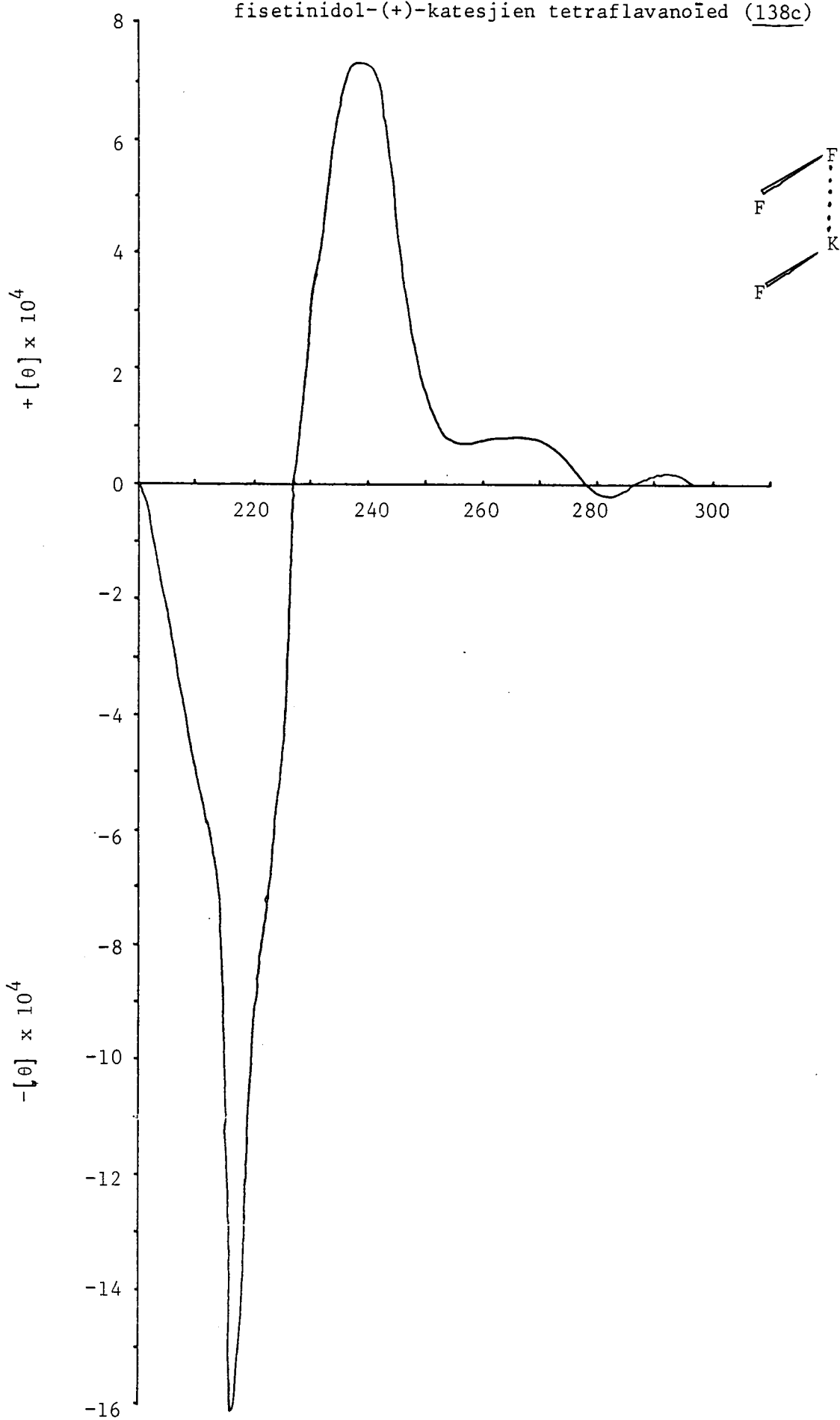
Plaat 67: SD-spektra van die [4,8]-alles *trans* bifisetinidol-[4,6]-*cis*(-)fisetinidoltetraflavanoïed (137c)



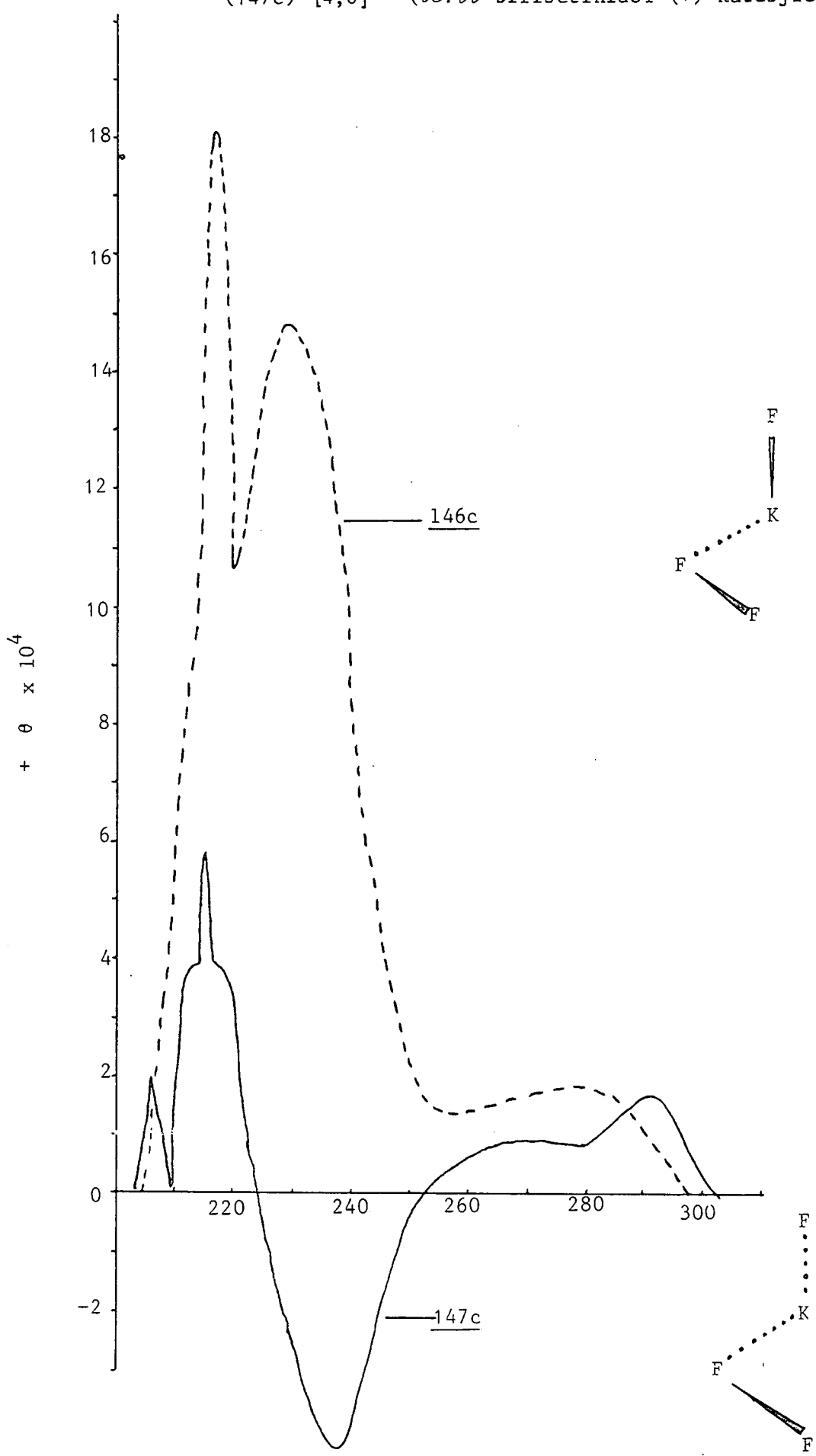
Plaat 68: SD-spektra van die [4,8]-alleles *cis*-bifisetinidol-[4,6]-*trans* (135c) en [4,8]-(*tc:tt*:bifisetinidol)-[4,6]-*trans* (139c)-tetraflavanoïede



Plaat 69: SD-spektra van die [4,8]-(*tt:tc*-bifisetinidol)-[4,6]-*trans-cis*-(-)-fisetinidol-(+)-katesjien tetraflavanoïed (138c)



Plaat 70: SD-spektra van die [4,8] -tc (146c) en [4,8] tt-fisetinedol (147c)-[4,6] - (tc:tt-bifisetinidol-(+)-katesjien) tetraflavanoïede



### BIBLIOGRAFIE

1. T.A. Geissman en N.N. Yoshimura, *Tetrahedron Letters*, 2669 (1966)
2. L.L. Creasy en T. Swain, *Nature*, 208, 151 (1965)
3. D.G. Roux en S.E. Drewes, *Biochem J*, 90, 343 (1964)
4. D.G. Roux en S.E. Drewes, *ibid*, 92, 555 (1964)
5. D.G. Roux en S.E. Drewes, *ibid*, 94, 982 (1965)
6. D.G. Roux en S.E. Drewes, *ibid*, 98, 493 (1966)
7. G. Cardillo, L. Merlini, G. Nasini en P. Salvadori, *J. Chem. Soc (C)*, 3967 (1971)
8. R.W. Hemmingway en L.Y. Foo, *J. Chem. Soc. Chem. Commun.*, 1035 (1983)
9. K. Weinges, W. Buhr, W. Ebert en H.D. Marx, *Fortschr. Chem. Org. Naturstoffe*, 27, 158 (1969)
10. E. Haslam, *J. Chem. Soc. (C)*, 1824 (1969)
11. M.I. Baig, J.W. Clark-Lewis en M.J. Thompson, *Austral. J. Chem.*, 22, 2645 (1969)
12. M.J. Betts, B.R. Brown en M.R. Shaw, *J. Chem. Soc. (C)*, 1178 (1969)

13. K. Weinges, K. Goritz en F. Nader, *Annalen*, 715, 164 (1968)
14. K. Weinges, W. Kaltenhauser, H.D. Marx, E. Nader, J. Perner en D. Seiter, *ibid*, 711, 184 (1968)
15. W. Mayer, L. Goll, E.V. Arndt en A. Mannschreck, *Tetrahedron Lett.*, 429 (1966)
16. R.S. Thompson, D. Jacques, E. Haslam en R.J.N. Tanner, *J. Chem. Soc. Perkin Trans I*, 1387 (1972)
17. J.J. Botha, P.M. Viviers, D.A. Young, I.C. du Preez, D. Ferreira, D.G. Roux en W.E. Hull, *ibid*, 527 (1982)
18. A.L. Botes, M.Sc.-verhandeling, UOVS, 1984
19. King en Bottomley, *Chem. and Ind.*, 1368 (1953);  
*J. Chem. Soc.*, 1399 (1954)
20. Hathway, *Biochem J.*, 70, 34 (1958)
21. Keppler, *Chem. and Ind.*, 380 (1956)
22. D.G. Roux, *ibid*, 161 (1958)
23. S.E. Drewes, D.G. Roux, S.H. Eggers en J. Feeney, *J. Chem. Soc. (C)*, 1217 (1967)
24. P.M. Viviers, D.A. Young, J.J. Botha, D. Ferreira, D.G. Roux en W.E. Hull, *J. Chem. Soc. Perkin Trans I*, 535 (1982)

25. J.J. Botha, D. Ferreira en D.G. Roux, *ibid*, 1235 (1981)
26. J.J. Botha, D.A. Young, D. Ferreira en D.G. Roux, *ibid*, 1213 (1981)
27. L.J. Porter en L.Y. Foo, *Phytochemistry*, 2947 (1982)
28. D.A. Young, M.Sc.-verhandeling, UOVS, (1981)
29. A.J. Birch, 'Chemical Plant Tasconomy' ed. T. Swain, Academic Press, London & New York, p.148 (1963)
30. J.W. Clark-Lewis en D.C. Skingle, *Austral. J. Chem.*, 20, 2169 (1967)
31. D.G. Roux en D. Ferreira, *Phytochemistry*, 13, 2039 (1974)
32. G. Cardillo, L. Merlini, G. Nasini en P. Salvadori, *J. Chem. Soc (C)*, 3967 (1971)
33. F.M. Dean, 'Naturally Occuring Oxygen Ring Compounds', Butterworths, London, pp.412 en 491 (1963)
34. J.A. Steenkamp, D. Ferreira, D.G. Roux en W.E. Hull, *J. Chem. Soc. Perkin Trans I*, 23 (1983)

35. J. Lars, G. Nilsson, H. Selander, H. Sievertsson, I. Skanberg en K-G. Svensson - *Acta Chem. Scand.*, 25, 94 (1971)
36. J.H. Behan, F.M. Dean en R.A. Johnstone, *Tetrahedron*, 32, 167 (1976)
37. H. Gheysens, 'Conformatiebepaling, Adsorptiedrag en Zuurgekatalyseerde Polymerisaties van Monomere Catechinen: Een Semi-Quantummechanische studie'. Voordrag vir die graad Ingenieur voor de Scheikunde en de Landbouwindustrieën - Katholieke Universiteit Leuven (1982)
38. R.J. Elliot, V. Sackwild en W.G. Richards, *J. Molecular Structure*, 86, 301 (1982)
39. K. Fukui, 'Frontier Orbitals and Organic Chemical Reactions', Wiley, New York (1971)
40. A.C. Fletcher, L.J. Porter, E. Haslam en R.K. Gupta, *J. Chem. Soc. Perkin Trans I*, 1628 (1977)
41. J.B. Stothers, 'Carbon-13 NMR Spectroscopy', Academic Press, London and New York 1972
42. J.D. Roberts, F.J. Weigert, J. Kroschwitz en H.J. Reich, *J. Amer. Chem. Soc*, 1338 (1970)
43. E.L. Eliel, W.F. Baily et al. *ibid.* 97, 322 (1975)

44. L.J. Porter, R.H. Newman, L.Y. Foo, H. Wong en  
R.W. Hemmingway, *J. Chem. Soc. Perkin Trans I*,  
1217 (1982)
45. G.W. McGraw en R.W. Hemmingway, *ibid*, 973 (1982)
46. E. Haslam, *Phytochemistry*, 16, 1625 (1977)
47. L.Y. Foo en L.J. Porter, *J. Chem. Soc. Perkin Trans I*, 1535 (1983)
48. S. Sternhell, "Dynamic Nuclear Magnetic Resonance Spectroscopy" ed. L.M. Jackman en F.A. Cotton,  
Academic Press 1973 p.163
49. R.K. Gupta en E. Haslam, *J. Chem. Soc. Perkin Trans I*, 893 (1978)
50. G. Nonaka, F. Hsu en I. Nishioka, *J. Chem. Soc. Chem. Commun.*, 781 (1979)
51. D. Jacques, E. Haslam, G.R. Bedford en D. Greatbanks, *J. Chem. Soc. Perkin Trans I*, 2263 (1974)
52. G. Nonaka, S. Morimoto en I. Nishioka, *ibid*, 2139 (1983)
53. H.K.L. Hundt en D.G. Roux, *ibid*, 1227 (1981)
54. F.R. van Heerden, E.V. Brandt, D. Ferreira en  
D.G. Roux, *ibid*, 2483 (1981)

55. A.P.N. Burger, E.V. Brandt en D.G. Roux, *Phyto=chemistry* (1983) - in pers
56. S.E. Drewes en A.H. Ilsley, *J. Chem. Soc. (C)*, 897 (1969)
57. M. Karplus, *J. Americ. Chem. Soc.*, 85, 2870 (1963); *J. Chem. Phys.* 30, 11 (1959)
58. J.W. Clark-Lewis, *Austral. J. Chem.*, 21, 2059 (1968); J.W. Clark-Lewis en L.R. Williams, *ibid*, 20, 2151 (1967)
59. O. Bateman en B.R. Brown, *Chem. Commun.* 409 (1971)
60. F.J. Sowa, G.F. Hennion en J.A. Nieuwland, *J. Amer. Chem. Soc.*, 57, 709 (1935)
61. D. Ferreira, Ph.D.-thesis, UOVS (1973)
62. K. Freudenberg, 'Die Chemie Der Natürlichen Gerbstoffe', Berlin, Springer-Verlag (1970).  
K. Freudenberg en K. Weinges, *Fortschritte Der Chemie Organischer Naturstoffe*, 16 (1958)
63. W. Mayer, F. Merger, *Chem. and Ind.* 485 (1959)
64. W. Mayer, F. Merger, G. Frank, R. Heyns, H.F. Grütmacher, *Naturwissenschaften*, 50, 152 (1963)

65. K. Freudenberg en K. Weinges, *Chem. and Ind.*  
486 (1959)
66. J.J. Botha, M.Sc.-verhandeling, UOVS, (1976)
67. J.J. Botha, Ph.D.-thesis, UOVS (1978)
68. J.H. van der Westhuizen, Ph.D.-thesis, UOVS (1979)
69. D. Ferreira, H.K.L. Hundt en D.G. Roux, *J. Chem. Soc. Chem. Commun.* 1257 (1971)
70. D.G. Roux en H.M. Saayman, *Biochem. J.* 96, 36  
(1965)
71. A.I. Vogel, *Textbook of Practical Organic Chemistry*, 4th edition, Longman's, London, p.292  
(1978)
72. F.R. van Heerden, Ph.D.-thesis, UOVS (1980)
73. S.E. Drewes en D.G. Roux, *J. Chem. Soc. (C)*,  
1407 (1967)
74. J.W. Clark-Lewis en G.F. Katekar, *J. Chem. Soc.*  
4502 (1962)
75. J.W. Clark-Lewis en D.G. Roux, *J. Chem. Soc.*  
1402 (1959);  
S.E. Drewes en D.G. Roux, *Chem. and Ind.*, 532  
(1963)

-----

ERRATA BLADSY

B1.

2 Reël 5 op : sin moet as volg lees. As 'n biflavanoïed,  
byvoorbeeld 5, in asynsuur/etanol in teenwoor=  
digheid van tolueen- $\alpha$ -tiol gerefleks word,  
.....

22 Tabel 2 :  $^{13}\text{C}$  KMR chemiese verskuiwings van prosianidiene  
B-1-4